

# Modèle de donnée géologique, Révision 3.1

Description et catalogue de donnée

Office fédéral de topographie swisstopo

septembre 2024

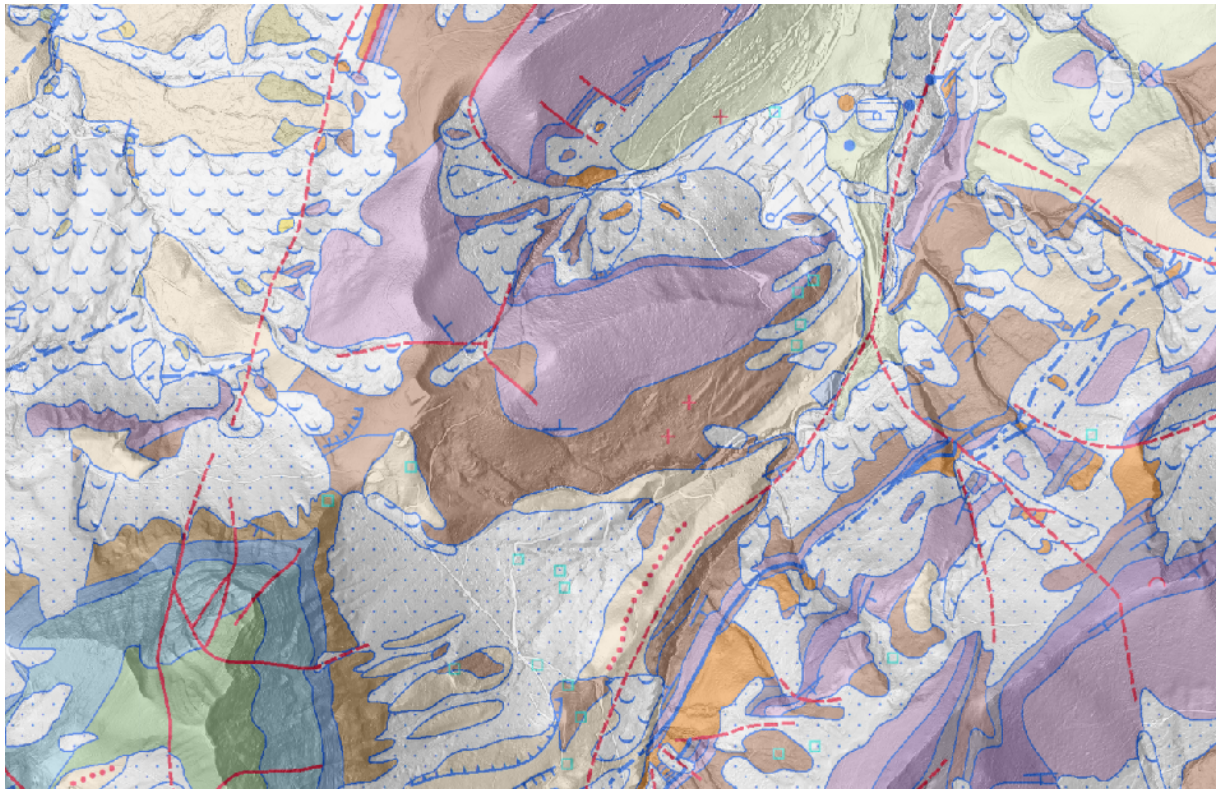


Figure 1: Extrait de Geocover et exemple de représentation

# 1 Thème ROCK\_BODIES

## 1.1 Classe Unconsolidated\_Deposits\_PT

La classe [Unconsolidated\\_Deposits\\_PT](#) comprend les volumes rocheux individualisés (de taille variable, des galets aux blocs) qui ont été transportés par des processus gravitaires, glaciaires ou anthropogéniques jusqu'à leur position actuelle, ou dégagés sur place par dégradation de la roche sous-jacente.

|   | Nom                                     | Type                        | Description  |
|---|---|-----------------------------|--|
| 1 | <b>KIND</b><br>Cardinalité [1]          | subtype                     | Type de l'objet et description                             |
| 2 | <b>STATUS</b><br>Cardinalité [1]        | <a href="#">CodedDomain</a> | État du type d'objet.                                      |
| 3 | <b>ROCK_TYPE</b><br>Cardinalité [0..1]  | <a href="#">CodedDomain</a> | Type de roche.   |
| 4 | <b>ROCK_SPE</b><br>Cardinalité [0..1]   | <a href="#">CodedDomain</a> | Description de la roche repère..                           |
| 5 | <b>MAT_TYPE</b><br>Cardinalité [0..1]   | <a href="#">Table</a>       | Description du matériel (unité lithologique).              |
| 6 | <b>ORIG_DESCR</b><br>Cardinalité [0..1] | string                      | Description de la légende de la carte géologique originale |
| 7 | <b>PROTECTED</b><br>Cardinalité [0..1]  | boolean                     | Objet géologique protégé (oui / non)?                      |

### 1.1.1 Attribut KIND

*Type de l'objet et description*

| GeolCode | Deutsch   | Français                                  |
|----------|---|---|
| 14401001 | erratischer Block                                       | bloc erratique                            |
| 14401002 | Schwarm erratischer Blöcke                              | accumulation de blocs erratiques          |
| 14401003 | anthropogene Ansammlung von erratischen Blöcken         | amas anthropique de blocs erratiques      |
| 14401004 | Wanderblock   | bloc laboureur                            |
| 14401005 | Geschiebe   | cailloutis glaciaire                      |
| 14401006 | Sturzblock  | bloc éboulé                               |
| 14401007 | Lesesteinhaufen   | dépôt d'épierrage                         |
| 14401008 | Verwitterungsrückstände (Gerölle und/oder Konkretionen) | éléments résiduels (galets et/ou rognons) |

### 1.1.2 Attribut STATUS

*État du type d'objet*

| GeolCode | Deutsch    | Français              |
|----------|------------|-----------------------|
| 14402003 | in Situ    | in situ               |
| 14402004 | umgelagert | déplacé naturellement |

| GeolCode | Deutsch        | Français                 |
|----------|----------------|--------------------------|
| 14402001 | versetzt       | déplacé artificiellement |
| 14402002 | zerstört       | détruit                  |
| 999997   | Unknown        | inconnu                  |
| 999998   | Not applicable | not applicable           |

### 1.1.3 Attribut ROCK\_TYPE

*Type de roche*

| GeolCode | Deutsch                            | Français                     |
|----------|------------------------------------|------------------------------|
| 14403003 | Basisches / Ultrabasisches Gestein | roche basique / ultrabasique |
| 14403001 | Kristallingestein                  | roche cristalline            |
| 14403002 | Sedimentgestein                    | roche sédimentaire           |
| 999997   | Unknown                            | inconnu                      |
| 999998   | Not applicable                     | not applicable               |

### 1.1.4 Attribut ROCK\_SPE

*Description de la roche repère.*

| GeolCode | Deutsch  | Français                                       |
|----------|--|--|
| 14404008 | Aare-Granit                                    | Aare-Granit                                    |
| 14404017 | Albula-Granit                                  | Albula-Granit                                  |
| 14404002 | Allalin-Gabbro                                 | Allalin-Gabbro                                 |
| 14404024 | Alpines Sedimentgestein                        | Alpines Sedimentgestein                        |
| 14404020 | Degersheim-Kalknagelfluh                       | Degersheim-Kalknagelfluh                       |
| 14404009 | Gastern-Granit                                 | Gastern-Granit                                 |
| 14404012 | Glarner Verrucano                              | Glarner Verrucano                              |
| 14404007 | Grindelwald-Marmor                             | Grindelwald-Marmor                             |
| 14404026 | Gruontal-Konglomerat                           | Gruontal-Konglomerat                           |
| 14404010 | Habkern-Granit                                 | Habkern-Granit                                 |
| 14404006 | Hohgant-Sandstein                              | Hohgant-Sandstein                              |
| 14404014 | Ilanz-Verrucano                                | Ilanz-Verrucano                                |
| 14404013 | Kalknagelfluh des Speer- und Stockberggebietes | Kalknagelfluh des Speer- und Stockberggebietes |
| 14404023 | Karbon-Brekzie                                 | Karbon-Brekzie                                 |
| 14404015 | Mels-Sandstein                                 | Mels-Sandstein                                 |
| 14404025 | Molassegestein                                 | Molassegestein                                 |
| 14404003 | Mont-Blanc-Granit                              | Mont-Blanc-Granit                              |
| 14404022 | Muschelsandstein                               | Muschelsandstein                               |
| 14404005 | Niesen-Brekzie                                 | Niesen-Brekzie                                 |
| 14404018 | Punteglias-Granit                              | Punteglias-Granit                              |
| 14404019 | Rofna-Porphyr                                  | Rofna-Porphyr                                  |
| 14404004 | Serpentinit                                    | Serpentinit                                    |
| 14404016 | Taspinit-Brekzie                               | Taspinit-Brekzie                               |
| 14404021 | Taveyannaz-Sandstein                           | Taveyannaz-Sandstein                           |
| 14404001 | Vallorcine-Konglomerat                         | Vallorcine-Konglomerat                         |
| 14404011 | Windgällen-Porphyr                             | Windgällen-Porphyr                             |
| 999997   | Unknown  | inconnu  |
| 999998   | Not applicable                                 | not applicable                                 |

### 1.1.5 Attribut MAT\_TYPE

Description du matériel (unité lithologique)

Voir [GC\\_LITHO\\_UNCO\\_CD](#) dans l'annexe

### 1.1.6 Attribut ORIG\_DESCR

Description de la légende de la carte géologique originale

Type de donnée : string

### 1.1.7 Attribut PROTECTED

Objet géologique protégé (oui / non)?

Type de donnée : boolean

## 1.2 Classe Unconsolidated\_Deposits\_PLG

La classe [Unconsolidated\\_Deposits\\_PLG](#) contient toutes les masses distinctes de roches meubles occupant une surface.

|    | Nom                                     | Type                                      | Description   |
|----|---|---|---|
| 1  | <b>KIND</b><br>Cardinalité [1]          | subtype                                   | Type de l'objet et description  |
| 2  | <b>LITSTRAT</b><br><br>Cardinalité [1]  | <a href="#">Table</a>                     | Description lithostratigraphique.<br><b>obligatoire</b>                                     |
| 3  | <b>LITHO</b><br>Cardinalité [1..3]      | <a href="#">Table</a>                     | Description lithologique..  |
| 4  | <b>CHRONO_T</b>                         | <a href="#">Table</a>                     | Attribution chronostratigraphique du toit de la formation (top).<br><b>obligatoire</b>      |
| 5  | <b>CHRONO_B</b><br>Cardinalité [1]      | <a href="#">Table</a>                     | Attribution chronostratigraphique de la base de la formation (basis).<br><b>obligatoire</b> |
| 6  | <b>MAT_TYPE</b><br>Cardinalité [1]      |   | Description du matériel (unité lithologique)  |
| 7  | <b>BURIED_OUT</b><br>Cardinalité [0..3] | Lithostratigraphic_Units_Litho<br>boolean | Est-ce que la roche consolidée est recouvert (oui / non)?                                   |
| 8  | <b>COMPOSIT</b><br>Cardinalité [1]      | <a href="#">Table</a>                     | Composition de la roche meuble.   |
| 9  | <b>ADMIXTURE</b><br>Cardinalité [0..3]  | <a href="#">Table</a>                     | Incorporation.  |
| 10 | <b>STRUCTUR</b><br>Cardinalité [0..1]   | <a href="#">CodedDomain</a>               | .   |

|    | Nom                                     | Type        | Description   |
|----|---|-------------|---|
| 11 | <b>CHARACT</b><br>Cardinalité [0..3]    | Table       | Structure sédimentaire.   |
| 12 | <b>MORPHOLO</b><br>Cardinalité [0..1]   | CodedDomain | Morphologie de l'unité de roche meuble.   |
| 13 | <b>GLAC_TYPE</b><br>Cardinalité [0..1]  | CodedDomain | Type de glacier auquel le type d'objet est associé. Cet attribut n'est valable que pour des moraines. |
| 14 | <b>REF_YEAR</b><br>Cardinalité [0..1]   | string      | Année de référence de l'ancienne ligne de rivage.   |
| 15 | <b>THIN_COVER</b><br>Cardinalité [0..1] | CodedDomain | Couverture meuble pelliculaire.   |
| 16 | <b>ORIG_DESCR</b><br>Cardinalité [0..1] |             | Description de la légende de la carte géologique originale.   |
|    | Cardinalité [1]                         | string      |   |

### 1.2.1 Attribut KIND

*Type de l'objet et description*

| GeolCode | Deutsch       | Français     |
|----------|---------------|--------------|
| 14517001 | Lockergestein | roche meuble |

### 1.2.2 Attribut LITSTRAT

*Description lithostratigraphique*

Voir [GC\\_LITSTRAT\\_UNCO\\_CD](#) dans l'annexe

### 1.2.3 Attribut LITHO

*Description lithologique.*

Voir [GC\\_LITHO\\_CD](#) dans l'annexe

### 1.2.4 Attribut CHRONO\_T

*Attribution chronostratigraphique du toit de la formation (top)*

Voir [GC\\_CHRONO\\_CD](#) dans l'annexe

### 1.2.5 Attribut CHRONO\_B

*Attribution chronostratigraphique de la base de la formation (basis)*

Voir [GC\\_CHRONO\\_CD](#) dans l'annexe

### 1.2.6 Attribut MAT\_TYPE

*Description du matériel (unité lithologique)*

### 1.2.7 Attribut BURIED\_OUT

*Est-ce que la roche consolidée est recouvert (oui / non)?*

Type de donnée : boolean

### 1.2.8 Attribut COMPOSIT

*Composition de la roche meuble*

Voir [gc\\_composit](#) dans l'annexe

### 1.2.9 Attribut ADMIXTURE

*Incorporation*

Voir [gc\\_admixture](#) dans l'annexe

### 1.2.10 Attribut STRUCTUR

—

| GeolCode | Deutsch  | Français   |
|----------|--|--|
| 14510011 | bioturbiert  | bioturbé   |
| 14510002 | geschichtet  | stratifié  |
| 14510005 | glaziale Überprägung<br>(Glazitektonik)                          | soumis à des déformations<br>glaciotectoniques                                 |
| 14510004 | grossmassstäbliche<br>Schrägschichtung (z.B.<br>Deltaschichtung) | stratification oblique à grande<br>échelle (p.ex. stratification<br>deltaïque) |
| 14510010 | invers gradiert  | à granoclasement inverse   |
| 14510007 | laminert   | laminé   |
| 14510008 | mit Warven   | varvé  |
| 14510009 | normal gradiert  | à granoclasement normal  |
| 14510012 | pedogen überprägt  | pédogénétisé   |
| 14510006 | periglazial gestörte Schichtung<br>(Diapir, Eiskeil, etc.)       | affecté par la cryoturbation (diapir,<br>coin de glace, etc.)                  |
| 14510003 | schräg-/kreuzgeschichtet   | à stratification oblique/entrecroisée  |
| 14510001 | texturlos  | sans structure   |
| 999997   | Unknown  | inconnu  |
| 999998   | Not applicable   | not applicable   |

### 1.2.11 Attribut CHARACT

*Structure sédimentaire*

Voir [gc\\_charcat](#) dans l'annexe

### 1.2.12 Attribut MORPHOLO

*Morphologie de l'unité de roche meuble*

| GeolCode | Deutsch | Français |
|----------|---------|----------|
| 14512008 | Bastion | bastion  |
| 14512003 | Düne    | dune     |

| GeolCode | Deutsch        | Français       |
|----------|----------------|----------------|
| 14512001 | Kegel / Fächer | cône           |
| 14512007 | Os             | esker          |
| 14512006 | Sander         | sandur         |
| 14512002 | Schleier       | voile          |
| 14512005 | Terrasse       | terrasse       |
| 14512004 | Wall           | vallum         |
| 999997   | Unknown        | inconnu        |
| 999998   | Not applicable | not applicable |

### 1.2.13 Attribut GLAC\_TYPE

Type de glacier auquel le type d'objet est associé. Cet attribut n'est valable que pour des moraines

| GeolCode | Deutsch                          | Français                                  |
|----------|----------------------------------|---|
| 14513009 | Aaregletscher                    | glacier de l'Aar                          |
| 14513004 | Bodensee-Rheingletscher          | glacier du Bodensee-Rhein                 |
| 14513013 | Brünig-Aaregletscher             | glacier du Brünig-Aar                     |
| 14513003 | Bündner Gletscher                | glacier des Grisons                       |
| 14513012 | Engelberger Gletscher            | glacier d'Engelberg                       |
| 14513002 | grosse Tal- und Vorlandgletscher | grands glaciers de vallées et de piedmont |
| 14513005 | Linth-Rheingletscher             | glacier de la Linth-Rhein                 |
| 14513001 | Lokalgletscher                   | glacier local                             |
| 14513006 | Reussgletscher                   | glacier de la Reuss                       |
| 14513010 | Saaneletscher                    | glacier de la Sarine                      |
| 14513011 | Schlierengletscher               | glacier des Schlieren                     |
| 14513007 | Waldemme- und Entlegletscher     | glaciers de la Waldemme et de l'Entle     |
| 14513008 | Walliser Gletscher               | glacier Valaisan                          |
| 999997   | Unknown                          | inconnu                                   |
| 999998   | Not applicable                   | not applicable                            |

### 1.2.14 Attribut REF\_YEAR

Année de référence de l'ancienne ligne de rivage.

Type de donnée : string

### 1.2.15 Attribut THIN\_COVER

Couverture meuble pelliculaire

| GeolCode | Deutsch   | Français   |
|----------|---|--|
| 14515001 | geringmächtige Lockergesteinsbedeckung, undifferenziert | couverture de roches meubles peu épaisse, indifférenciée |
| 14515005 | geringmächtige Löss- oder Lösslehmbedeckung             | couverture de loess ou de loess argileux peu épaisse     |
| 14515002 | geringmächtige Moränenbedeckung                         | couverture morainique peu épaisse                        |
| 14515003 | geringmächtige Schotterbedeckung                        | couverture de graviers peu épaisse                       |

| GeolCode | Deutsch                                | Français                                |
|----------|--|---|
| 14515004 | geringmächtige<br>Schwemmlehmbedeckung | couverture de colluvions peu<br>épaisse |
| 14515006 | tiefgründige Verwitterungsdecke        | sol d'altération profonde               |
| 999997   | Unknown                                | inconnu                                 |
| 999998   | Not applicable                         | not applicable                          |

### 1.2.16 Attribut ORIG\_DESCR

Description de la légende de la carte géologique originale.

## 1.3 Classe Bedrock\_PLG

La classe **Bedrock\_PLG** regroupe toutes les unités lithostratigraphiques de roches consolidées qui constituent une surface. L'information indiquant si une roche consolidée est en mouvement (déplacée par gravitation) se trouve dans la classe Instabilities\_within\_Bedrock\_PLG (Thème Geomorphology).

|    | Nom  | Type                   | Description  |
|----|--|------------------------|--|
| 1  | <b>KIND</b><br>Cardinalité [1]             | subtype                | Type de l'objet et description.  |
| 3  | <b>LITSTRAT</b><br>Cardinalité [1]         | Table                  | Description lithostratigraphique.  |
| 4  | <b>LITHO</b><br>Cardinalité [1..3]         | Table                  | Description lithologique.  |
| 5  | <b>CHRONO_T</b>                            | Table                  | Attribution chronostratigraphique du toit de la formation (top).<br><b>obligatoire</b>       |
| 6  | <b>CHRONO_B</b><br>Cardinalité [1]         | Table                  | Attribution chronostratigraphique de la base de la formation (basis)..<br><b>obligatoire</b> |
| 7  | <b>TECTO</b><br>Cardinalité [1]            | Table                  | Attribution tectonique.<br><b>obligatoire</b>  |
| 8  | <b>ORIG_DESCR</b><br>Cardinalité [1]       | string                 | Description de la légende de la carte géologique originale.                                  |
| 9  | <b>BURIED_OUT</b><br>Cardinalité [1]       | boolean                | Est-ce que la roche consolidée est recouvert (oui / non)?                                    |
| 10 | <b>EXOTIC_ELE</b><br>Cardinalité [1]       |                        | S'agit-il d'un élément exotique (oui / non)?   |
| 12 | <b>SEDI_MAIN_COM</b><br>Cardinalité [0..1] | boolean<br>CodedDomain | Composant principal de la roche sédimentaire clastique..                                     |



|    | Nom   | Type        | Description                                      |
|----|---|-------------|--|
| 13 | <b>SEDI_SECO_COM</b><br>Cardinalité [0..2]                  | CodedDomain | Composant secondaire de la roche sédimentaire.   |
| 14 | <b>SEDI_BOND_MAT</b><br>Cardinalité [0..1]                  | CodedDomain | .  |
| 15 | <b>SEDI_BEDDING</b><br>Cardinalité [0..2]                   | CodedDomain | Matrice ou ciment de la roche sédimentaire.      |
| 16 | <b>SEDI_STR</b><br>Cardinalité [0..2]                       | CodedDomain | Structure sédimentaire de la roche sédimentaire. |
| 17 | <b>SEDI_TEX</b><br>Cardinalité [0..2]                       | CodedDomain | Texture de la roche sédimentaire.                |
| 18 | <b>IGNE_TEXT</b><br>Cardinalité []                          | CodedDomain | Texture de la roche magmatique.                  |
| 19 | <b>IGNE_GRAIN_SI</b><br>Cardinalité [0..1]                  | CodedDomain | Granulométrie de la roche magmatique.            |
| 20 | <b>IGNE_AFFINITY</b><br>Cardinalité [0..1]                  | CodedDomain | Affinité avec une série magmatique.              |
| 21 | <b>META_FULL_NAME</b><br>Cardinalité [0..1]                 | string      | Description de la roche métamorphique.           |
| 22 | <b>META_MINERAL</b><br>Cardinalité [0..1]                   | Table       | Minéral important de la roche métamorphique.     |
| 23 | <b>META_STR</b><br>Cardinalité [0..3]<br>Cardinalité [0..3] | CodedDomain | Structure de la roche métamorphique.             |

### 1.3.1 Attribut KIND

Type de l'objet et description.

| GeolCode | Deutsch     | Français         |
|----------|-------------|------------------|
| 14334001 | Festgestein | roche consolidée |

### 1.3.2 Attribut LITSTRAT

Description lithostratigraphique

Voir [GC\\_LITSTRAT\\_BED\\_CD](#) dans l'annexe

### 1.3.3 Attribut LITHO

Description lithologique

Voir [GC\\_LITHO\\_CD](#) dans l'annexe

#### 1.3.4 Attribut CHRONO\_T

Attribution chronostratigraphique du toit de la formation (top)

Voir [GC\\_CHRONO\\_CD](#) dans l'annexe

#### 1.3.5 Attribut CHRONO\_B

Attribution chronostratigraphique de la base de la formation (basis).

Voir [GC\\_CHRONO\\_CD](#) dans l'annexe

#### 1.3.6 Attribut TECTO

Attribution tectonique

Voir [GC\\_TECTO\\_CD](#) dans l'annexe

#### 1.3.7 Attribut ORIG\_DESCR

Description de la légende de la carte géologique originale.

Type de donnée : string

#### 1.3.8 Attribut BURIED\_OUT

Est-ce que la roche consolidée est recouvert (oui / non)?

Type de donnée : boolean

#### 1.3.9 Attribut EXOTIC\_ELE

S'agit-il d'un élément exotique (oui / non)?

#### 1.3.10 Attribut SEDI\_MAIN\_COM

Composant principal de la roche sédimentaire clastique.

| GeolCode | Deutsch  | Français  |
|----------|--|---|
| 15602006 | Dolomitstein   | roche dolomitique   |
| 15602001 | Gesteinsbruchstück undifferenziert   | fragments de roches indifférenciés  |
| 15602005 | Kalkstein  | roche calcaire  |
| 15602002 | kieselige Gesteine (Quarzit, Quarz (Mineralisch), Radiolarit, Kieselkalk, Quarzsandstein, Hornstein) | roches siliceuses (quartzite, quartz (minéral), radiolarite, calcaire siliceux, grès siliceux, silex) |
| 15602007 | Kristallingestein undifferenziert  | roche cristalline indifférenciée  |
| 15602010 | Mergelstein  | marne   |
| 15602009 | Metamorphit  | roche métamorphique   |
| 15602003 | Sedimentgestein undifferenziert  | roche sédimentaire indifférenciée   |
| 15602004 | Tonstein   | argilite  |
| 15602008 | Vulkanit   | roche volcanique  |
| 999997   | Unknown  | inconnu   |
| 999998   | Not applicable   | not applicable  |

### 1.3.11 Attribut SEDI\_SECO\_COM

*Composant secondaire de la roche sédimentaire*

| GeolCode | Deutsch                            | Français                            |
|----------|------------------------------------|-------------------------------------|
| 20001019 | biogene Komponenten                | composants biogènes                 |
| 20001024 | Bitumen                            | bitume                              |
| 20001005 | Dolomitstein                       | roche dolomitique                   |
| 20001026 | Eisenmineralien                    | minéraux de fer                     |
| 20001025 | Evaporit                           | évaporite                           |
| 20001012 | Feldspat                           | feldspath                           |
| 20001001 | Gesteinsbruchstück undifferenziert | fragments de roches indifférenciées |
| 20001013 | Glaukonit                          | glauconite                          |
| 20001014 | Glimmer                            | mica                                |
| 20001015 | intraformationelle Gerölle         | galets intraformationnels           |
| 20001016 | Kalkkonkretionen                   | rognons de calcaire                 |
| 20001004 | Kalkstein                          | roche calcaire                      |
| 20001023 | Kohle                              | charbon                             |
| 20001006 | Kristallingestein undifferenziert  | roche cristalline indifférenciée    |
| 20001022 | Mergelstein                        | marne                               |
| 20001008 | Metamorphit                        | roche métamorphique                 |
| 20001021 | Phosphorit                         | phosphorite                         |
| 20001010 | pyroklastische Komponenten         | composants pyroclastiques           |
| 20001011 | Quarz                              | quartz                              |
| 20001009 | Quarzit                            | quartzite                           |
| 20001002 | Sedimentgestein undifferenziert    | roche sédimentaire indifférenciée   |
| 20001017 | Sideritkonkretionen                | rognons de sidérite                 |
| 20001018 | Silexkonkretionen                  | rognons de silex                    |
| 20001020 | terrigenes Detritus                | débris terrigènes                   |
| 20001003 | Tonstein                           | argilite                            |
| 20001007 | Vulkanit                           | roche volcanique                    |
| 999997   | Unknown                            | inconnu                             |
| 999998   | Not applicable                     | not applicable                      |

### 1.3.12 Attribut SEDI\_BOND\_MAT

—

| GeolCode | Deutsch                            | Français                                     |
|----------|------------------------------------|--|
| 14313008 | dolomitische Matrix                | matrice dolomitique                          |
| 14313002 | dolomitischer Zement               | ciment dolomitique                           |
| 14313007 | kalkige Matrix                     | matrice calcaire                             |
| 14313001 | kalkiger Zement                    | ciment calcaire                              |
| 14313003 | kieseliger Zement                  | ciment siliceux                              |
| 14313010 | mineralische Imprägnierung         | imprégnation minérale                        |
| 14313009 | organische Imprägnierung (Asphalt) | imprégnation de matière organique (asphalte) |
| 14313006 | sandige Matrix                     | matrice sableuse                             |
| 14313005 | siltige Matrix                     | matrice silteuse                             |
| 14313004 | tonige Matrix                      | matrice argileuse                            |
| 999997   | Unknown                            | inconnu                                      |
| 999998   | Not applicable                     | not applicable                               |

### 1.3.13 Attribut SEDI\_BEDDING

*Matrice ou ciment de la roche sédimentaire*

| GeolCode | Deutsch            | Français        |
|----------|--------------------|-----------------|
| 20101005 | blätterig          | feuilleté       |
| 20101003 | dickbankig (>30cm) | en gros bancs   |
| 20101004 | dünbankig (1-10cm) | en petits bancs |
| 20101002 | gebant             | lité            |
| 20101006 | knauerig           | concrétionné    |
| 20101007 | knollig            | noduleux        |
| 20101008 | linsenförmig       | lenticulaire    |
| 20101001 | massig             | massif          |
| 999997   | Unknown            | inconnu         |
| 999998   | Not applicable     | not applicable  |

### 1.3.14 Attribut SEDI\_STR

*Structure sédimentaire de la roche sédimentaire*

| GeolCode | Deutsch                  | Français                              |
|----------|--------------------------|---------------------------------------|
| 20201007 | bioturbiert              | bioturbé                              |
| 20201002 | geschichtet              | stratifié                             |
| 20201006 | invers gradiert          | à granoclasement inverse              |
| 20201004 | laminert                 | laminé                                |
| 20201005 | normal gradiert          | à granoclasement normal               |
| 20201003 | schräg-/kreuzgeschichtet | à stratification oblique/entrecroisée |
| 20201008 | stromatolitisch          | stromatolitique                       |
| 20201001 | texturlos                | sans structure                        |
| 999997   | Unknown                  | inconnu                               |
| 999998   | Not applicable           | not applicable                        |

### 1.3.15 Attribut SEDI\_TEX

*Texture de la roche sédimentaire*

| GeolCode | Deutsch        | Français       |
|----------|----------------|----------------|
| 20301005 | bioklastisch   | bioclastique   |
| 20301003 | mikritisch     | micritique     |
| 20301001 | monomikt       | monomicté      |
| 20301007 | onkolithisch   | oncolitique    |
| 20301008 | oolithisch     | oolitique      |
| 20301009 | pelitisch      | pélitique      |
| 20301010 | pisolithisch   | pisolitique    |
| 20301002 | polymikt       | polymicté      |
| 20301004 | spätig         | spathique      |
| 999997   | Unknown        | inconnu        |
| 999998   | Not applicable | not applicable |

### 1.3.16 Attribut IGNE\_TEXT

*Texture de la roche magmatique*

| GeolCode | Deutsch        | Français         |
|----------|----------------|------------------|
| 14317001 | gleichkörnig   | équigranulaire   |
| 14317003 | porphyrisch    | porphyrique      |
| 14317002 | ungleichkörnig | hétérogranulaire |
| 999997   | Unknown        | inconnu          |
| 999998   | Not applicable | not applicable   |

### 1.3.17 Attribut IGNE\_GRAIN\_SI

*Granulométrie de la roche magmatique*

| GeolCode | Deutsch        | Français       |
|----------|----------------|----------------|
| 14318003 | aphanitisch    | aphanitique    |
| 14318002 | feinkörnig     | fine           |
| 14318001 | grobkörnig     | grossière      |
| 999997   | Unknown        | inconnu        |
| 999998   | Not applicable | not applicable |

### 1.3.18 Attribut IGNE\_AFFINITY

*Affinité avec une série magmatique*

| GeolCode | Deutsch        | Français       |
|----------|----------------|----------------|
| 15733001 | alkalisch      | alcalin        |
| 15733002 | kalkalkalisch  | calco-alcalin  |
| 15733003 | tholeiitisch   | tholéitique    |
| 999997   | Unknown        | inconnu        |
| 999998   | Not applicable | not applicable |

### 1.3.19 Attribut META\_FULL\_NAME

*Description de la roche métamorphique.*

*Type de donnée : string*

### 1.3.20 Attribut META\_MINERAL

*Minéral important de la roche métamorphique*

Voir [GC\\_MINERAL\\_CD](#) dans l'annexe

### 1.3.21 Attribut META\_STR

*Structure de la roche métamorphique*

| GeolCode | Deutsch                    | Français           |
|----------|----------------------------|--------------------|
| 20501016 | agmatitisch (migmatitisch) | agmatitique        |
| 20501003 | augig                      | oeillé             |
| 20501017 | brekziös                   | bréchique          |
| 20501015 | flaserig                   | à structure flaser |
| 20501012 | geadert                    | veiné              |

| GeolCode | Deutsch        | Français       |
|----------|----------------|----------------|
| 20501002 | gebändert      | rubané         |
| 20501010 | gebankt        | lité           |
| 20501011 | gefältelt      | plissoté       |
| 20501008 | lagig          | stratifié      |
| 20501007 | laminert       | laminé         |
| 20501014 | linsig         | lenticulaire   |
| 20501001 | massig         | massif         |
| 20501004 | mit Schollen   | à enclaves     |
| 20501006 | phyllitisch    | phylliteux     |
| 20501009 | plattig        | plaqueté       |
| 20501005 | schiefrig      | schisteux      |
| 20501013 | schlierig      | à schlieren    |
| 999997   | Unknown        | inconnu        |
| 999998   | Not applicable | not applicable |

## 2 Thème GEOMORPHOLOGY

### 2.1 Classe Instability\_Structures\_PT

La classe [Instability\\_Structures\\_PT](#) contient des indications sur des instabilités de pentes (glissements) observés localement, qui ne peuvent pas être délimités spatialement. Cependant, lorsque cela est possible, les masses de roches instables doivent être saisies comme polygones (classe [Instabilities\\_within\\_Unconsolidated\\_Deposits\\_PLG](#)). La représentation sous forme de point est à éviter et a été conservée avant tout pour la vectorisation d'anciennes cartes imprimées.

|   | Nom                            | Type    | Description                    |
|---|--------------------------------|---------|--------------------------------|
| 1 | <b>KIND</b><br>Cardinalité [1] | subtype | Type de l'objet et description |

#### 2.1.1 Attribut KIND

*Type de l'objet et description*

| GeolCode | Deutsch                      | Français             |
|----------|------------------------------|----------------------|
| 11601001 | Hinweis auf Hanginstabilität | indice d'instabilité |

### 2.2 Classe Instability\_Structures\_L

None

|   | Nom                            | Type    | Description                     |
|---|--------------------------------|---------|---------------------------------|
| 1 | <b>KIND</b><br>Cardinalité [1] | subtype | Type de l'objet et description. |

#### 2.2.1 Attribut KIND

*Type de l'objet et description.*

| GeolCode | Deutsch                     | Français                |
|----------|-----------------------------|-------------------------|
| 11701001 | Stauchwulst                 | bourrelet de glissement |
| 11701002 | Nackentälchen, Zerrstruktur | limite de contrepente   |
| 11701003 | Abrisrand                   | niche d'arrachement     |
| 11701004 | offene Spalte               | fissure ouverte         |

## 2.3 Classe Instabilities\_PLG

La classe `Instabilities_within_Bedrock_PLG` contient tous les polygones qui délimitent des zones de roche consolidée instable. Dans cette classe on distingue les surfaces affectées par les différents types de phénomènes de mouvement de masse. Les corps rocheux proprement dits qui sont affectés par ces processus de mouvement de masse seront décrits dans la classe `Bedrock_PLG`. A des fins de clarification, quelques exemples des différents types d'objets sont illustrés dans l'annexe A.

|   | Nom                                   | Type                        | Description                     |
|---|---------------------------------------|-----------------------------|---------------------------------|
| 1 | <b>KIND</b><br>Cardinalité [1]        | subtype                     | Type de l'objet et description. |
| 2 | <b>MAIN_MOV</b><br>Cardinalité [0..1] | <a href="#">CodedDomain</a> | .                               |

### 2.3.1 Attribut KIND

*Type de l'objet et description.*

| GeolCode | Deutsch                 | Français            |
|----------|-------------------------|---------------------|
| 15801001 | Sackungsgebiet          | zone de tassement   |
| 15801002 | Gebiet mit Hakenwurf    | zone de fauchage    |
| 15801003 | Rutschgebiet            | zone de glissement  |
| 15801004 | Gebiet mit Solifluktion | zone de solifluxion |

### 2.3.2 Attribut MAIN\_MOV

—

| GeolCode | Deutsch   | Français   |
|----------|---|--|
| 11502002 | Hauptbewegungsphase nach dem letzteiszeitlichen Maximum | phase principale du mouvement après le Dernier Maximum Glaciaire |
| 11502001 | Hauptbewegungsphase vor dem letzteiszeitlichen Maximum  | phase principale du mouvement avant le Dernier Maximum Glaciaire |
| 999997   | Unknown   | inconnu  |
| 999998   | Not applicable  | not applicable   |

## 2.4 Classe Glacial\_Structures\_PT

La classe [Glacial\\_Structures\\_PT](#) contient des types d'objets qui montrent ponctuellement la présence dans le passé d'un glacier (les stries glaciaires sont des objets orientés et se trouvent en conséquence dans la classe `Lineation_PT`.)

|   | Nom                            | Type    | Description                     |
|---|--------------------------------|---------|---------------------------------|
| 1 | <b>KIND</b><br>Cardinalité [1] | subtype | Type de l'objet et description. |

#### 2.4.1 Attribut KIND

Type de l'objet et description.

| GeolCode | Deutsch                      | Français                            |
|----------|------------------------------|-------------------------------------|
| 11201001 | glazitektonische Deformation | déformation glaciotectionique       |
| 11201002 | Gletschermühle, Strudeloch   | marmite glaciaire, cavité d'érosion |

## 2.5 Classe Glacial\_and\_Periglacial\_Structures\_L

La classe [Glacial\\_and\\_Periglacial\\_Structures\\_L](#) contient des structures de formes linéaires, façonnant une formation glaciaire ou périglaciaire. A l'exception des limites supérieures de l'érosion glaciaire, il s'agit principalement dans cette classe de formes d'accumulation telles que les vallums morainiques ou les bourrelets d'un glacier rocheux.

|   | Nom                                   | Type                        | Description  |
|---|---------------------------------------|-----------------------------|--|
| 1 | <b>KIND</b><br>Cardinalité [1]        | subtype                     | Type de l'objet et description.  |
| 2 | <b>MORAI_MO</b><br>Cardinalité [0..1] | <a href="#">CodedDomain</a> | Morphologie de la moraine.   |
| 3 | <b>GLAC_TYP</b><br>Cardinalité [0..1] | <a href="#">CodedDomain</a> | Type de glacier auquel le type d'objet est associé.                            |
| 4 | <b>ICE_M_P</b><br>Cardinalité [0..1]  | <a href="#">CodedDomain</a> | Stade glaciaire.   |
| 5 | <b>QUAT_STR</b><br>Cardinalité [0..1] | <a href="#">CodedDomain</a> | Attribution chronostratigraphique du vallum morainique au sein du Quaternaire. |
| 6 | <b>REF_YEAR</b><br>Cardinalité [0..1] | integer                     | Année de référence de l'ancienne ligne de rivage.                              |
| 7 | <b>SOURCE</b><br>Cardinalité [0..1]   | string                      | Source des données déduites à partir de données historiques.                   |

#### 2.5.1 Attribut KIND

Type de l'objet et description.

| GeolCode | Deutsch                                   | Français   |
|----------|---|--|
| 11301001 | Moränenwall                               | vallum morainique                                |
| 11301002 | Moränenwall auf Gletscher oder auf Toteis | cordon morainique sur glacier ou sur glace morte |



| GeolCode | Deutsch  | Français  |
|----------|--|---|
| 11301003 | Kameterrassenkante                                       | bord de terrasse de kame                              |
| 11301004 | älterer Gletscherstand, basierend auf historischen Daten | ancien stade glaciaire, déduit de données historiques |
| 11301005 | Schliffgrenze  | limite supérieure de l'érosion glaciaire (trimline)   |
| 11301006 | Protales Rampart Wulst                                   | bourrelet de protalus rampart                         |
| 11301007 | Blockwulst im Blockgletscher                             | bourrelet de glacier rocheux                          |
| 11301008 | Schneehaldenmoränenwall                                  | vallum de moraine de névé                             |
| 11301009 | Verbreitungsgrenze von Geschiebe                         | limite de l'étendue des blocs                         |

### 2.5.2 Attribut MORAI\_MO

*Morphologie de la moraine*

| GeolCode | Deutsch             | Français       |
|----------|---------------------|----------------|
| 11302002 | einseitig abfallend | unilatéral     |
| 11302001 | symmetrisch         | symétrique     |
| 999997   | Unknown             | inconnu        |
| 999998   | Not applicable      | not applicable |

### 2.5.3 Attribut GLAC\_TYP

*Type de glacier auquel le type d'objet est associé*

| GeolCode | Deutsch                          | Français                                  |
|----------|----------------------------------|---|
| 11303002 | grosse Tal- und Vorlandgletscher | grands glaciers de vallées et de piedmont |
| 11303001 | Lokalgletscher                   | glacier local                             |
| 999997   | Unknown                          | inconnu                                   |
| 999998   | Not applicable                   | not applicable                            |

### 2.5.4 Attribut ICE\_M\_P

*Stade glaciaire*

| GeolCode | Deutsch                      | Français                   |
|----------|------------------------------|----------------------------|
| 11304002 | Bern                         | Berne                      |
| 11304050 | Bremgarten I                 | Bremgarten I               |
| 11304051 | Bremgarten II                | Bremgarten II              |
| 11304003 | Bremgarten, undifferenziert  | Bremgarten, indifférencié  |
| 11304052 | Bülach I                     | Bülach I                   |
| 11304053 | Bülach II                    | Bülach II                  |
| 11304054 | Bülach, undifferenziert      | Bülach, indifférencié      |
| 11304037 | Chur                         | Coire                      |
| 11304055 | Dättikon                     | Dättikon                   |
| 11304028 | Feuerthalen I                | Feuerthalen I              |
| 11304029 | Feuerthalen II               | Feuerthalen II             |
| 11304005 | Feuerthalen, undifferenziert | Feuerthalen, indifférencié |
| 11304040 | Fideris                      | Fideris                    |
| 11304006 | Gurten                       | Gurten                     |

| GeolCode | Deutsch                         | Français                      |
|----------|---------------------------------|-------------------------------|
| 11304007 | Hurden                          | Hurden                        |
| 11304008 | Killwangen                      | Killwangen                    |
| 11304039 | Koblach                         | Koblach                       |
| 11304004 | Konstanz                        | Constance                     |
| 11304035 | Küblis                          | Küblis                        |
| 11304036 | Lunden                          | Lunden                        |
| 11304001 | Maximalstand, undifferenziert   | stade maximal, indifférencié  |
| 11304009 | Mellingen                       | Mellingen                     |
| 11304010 | Muri                            | Muri                          |
| 11304056 | Regensdorf                      | Regensdorf                    |
| 11304011 | Rotkreuz                        | Rotkreuz                      |
| 11304038 | Sargans                         | Sargans                       |
| 11304030 | Schaffhausen I                  | Schaffhouse I                 |
| 11304031 | Schaffhausen II                 | Schaffhouse II                |
| 11304012 | Schaffhausen, undifferenziert   | Schaffhouse, indifférencié    |
| 11304048 | Schlieren I                     | Schlieren I                   |
| 11304049 | Schlieren II                    | Schlieren II                  |
| 11304013 | Schlieren, undifferenziert      | Schlieren, indifférencié      |
| 11304014 | Schosshalde                     | Schosshalde                   |
| 11304057 | Seeb                            | Seeb                          |
| 11304015 | Seftigschwand                   | Seftigschwand                 |
| 11304041 | Serneus                         | Serneus                       |
| 11304016 | Solothurn                       | Soleure                       |
| 11304017 | Spreitenbach                    | Spreitenbach                  |
| 11304018 | Spreitenbach-Killwangen         | Spreitenbach-Killwangen       |
| 11304045 | Staffelbach-Stand               | Staffelbach-Stand             |
| 11304025 | Stein-am-Rhein I                | Stein am Rhein I              |
| 11304026 | Stein-am-Rhein II               | Stein am Rhein II             |
| 11304027 | Stein-am-Rhein III              | Stein am Rhein III            |
| 11304019 | Stein am Rhein, undifferenziert | Stein am Rhein, indifférencié |
| 11304058 | Stetten I                       | Stetten I                     |
| 11304059 | Stetten II                      | Stetten II                    |
| 11304020 | Stetten, undifferenziert        | Stetten                       |
| 11304043 | Sursee                          | Sursee                        |
| 11304044 | Triengen                        | Triengen                      |
| 11304021 | Wangen I                        | Wangen I                      |
| 11304022 | Wangen II                       | Wangen II                     |
| 11304042 | Wangen, undifferenziert         | Wangen, indifférencié         |
| 11304023 | Wittigkofen                     | Wittigkofen                   |
| 11304060 | Würenlos I                      | Würenlos I                    |
| 11304061 | Würenlos II                     | Würenlos II                   |
| 11304062 | Würenlos, undifferenziert       | Würenlos, indifférencié       |
| 11304046 | Zürich I                        | Zürich I                      |
| 11304047 | Zürich II                       | Zürich II                     |
| 11304024 | Zürich, undifferenziert         | Zurich, indifférencié         |
| 999997   | Unknown                         | inconnu                       |
| 999998   | Not applicable                  | not applicable                |

### 2.5.5 Attribut QUAT\_STR

*Attribution chronostratigraphique du vallum morainique au sein du Quaternaire*

| GeolCode | Deutsch   | Français  |
|----------|---|---|
| 11305001 | 1. Vergletscherung der letzten Eiszeit (MIS 5d)     | 1ère glaciation de la Dernière Période glaciaire (MIS 5d)     |
| 11305002 | 2. Vergletscherung der letzten Eiszeit (MIS 4)      | 2ème glaciation de la Dernière Période glaciaire (MIS 4)      |
| 11305003 | 3. Vergletscherung der letzten Eiszeit (LGM, MIS 2) | 3ème glaciation de la Dernière Période glaciaire (LGM, MIS 2) |
| 11305005 | Clavadel  | Clavadel  |
| 11305006 | Daun  | Daun  |
| 11305007 | Egesen  | Egesen  |
| 11305004 | Gschnitz  | Gschnitz  |
| 11305008 | Mittleres Pleistozän                                | Pléistocène moyen   |
| 999997   | Unknown   | inconnu   |
| 999998   | Not applicable                                      | not applicable  |

### 2.5.6 Attribut REF\_YEAR

Année de référence de l'ancienne ligne de rivage.

Type de donnée : integer

### 2.5.7 Attribut SOURCE

Source des données déduites à partir de données historiques.

Type de donnée : string

## 2.6 Classe Glacial\_Structures\_PLG

La classe [Glacial\\_Structures\\_PLG](#) regroupe les formes du paysage d'origine glaciaire qui se sont formées par écoulement basal de la glace du glacier ou par sa fonte.

|   | Nom                            | Type    | Description                     |
|---|--------------------------------|---------|---------------------------------|
| 1 | <b>KIND</b><br>Cardinalité [1] | subtype | Type de l'objet et description. |

### 2.6.1 Attribut KIND

Type de l'objet et description.

| GeolCode | Deutsch                          | Français                                       |
|----------|----------------------------------|--|
| 11401001 | Drumlin, drumlinartige Kieskuppe | drumlin, croupe graveleuse en forme de drumlin |
| 11401003 | Rundhöcker                       | roches moutonnées                              |
| 11401004 | Toteisloch, Soll                 | doline glaciaire, soll                         |

## 2.7 Classe Erosional\_Structures\_PT

La classe [Erosional\\_Structures\\_PT](#) contient des éléments locaux du paysage qui se sont formés au cours du temps sous l'influence de processus érosifs.

|   | Nom                            | Type    | Description                     |
|---|--------------------------------|---------|---------------------------------|
| 1 | <b>KIND</b><br>Cardinalité [1] | subtype | Type de l'objet et description. |

### 2.7.1 Attribut KIND

Type de l'objet et description.

|          |             |                    |
|----------|-------------|--------------------|
| GeolCode | Deutsch     | Français           |
| 11001001 | Erdpyramide | demoiselle coiffée |

## 2.8 Classe Erosional\_Structures\_L

La classe [Erosional\\_Structures\\_L](#) regroupe des formes érosives linéaires comme les bords d'érosion en général ou les bords de terrasse. Sur les anciennes cartes imprimées, les bords de terrasse et les bords d'érosion n'étaient souvent pas distingués. Dans les données vectorielles, cette distinction doit être effectuée. Par conséquent, dans les cas de vectorisation d'anciennes cartes imprimées, les bords de terrasse et d'érosion devront être séparés. Les bords de terrasse seront attribués en tant que tels seulement lorsqu'il sera clairement possible de les identifier par leur position ainsi que par leur association avec des terrasses de graviers. Les cas incertains seront attribués en tant que bords d'érosion.

|   | Nom                            | Type    | Description                     |
|---|--------------------------------|---------|---------------------------------|
| 1 | <b>KIND</b><br>Cardinalité [1] | subtype | Type de l'objet et description. |

### 2.8.1 Attribut KIND

Type de l'objet et description.

|          |                    |                             |
|----------|--------------------|-----------------------------|
| GeolCode | Deutsch            | Français                    |
| 11101001 | Erosionsrand       | bord d'érosion              |
| 11101002 | Terrassenkante     | bord de terrasse            |
| 11101003 | Schichtstufenkante | escarpement en tête de banc |

## 2.9 Classe Karstic\_Structures\_PT

La classe [Karstic\\_Structures\\_PT](#) regroupe les phénomènes karstiques qui sont représentés par des formes ponctuelles. Elle contient entre autres le ponor ou l'entrée d'une grotte.

|   | Nom                                       | Type    | Description                          |
|---|---|---------|--------------------------------------|
| 1 | <b>KIND</b><br>Cardinalité [1]            | subtype | Type de l'objet et description.      |
| 2 | <b>ICE_CAVE</b><br><br>Cardinalité [0..1] | boolean | S'agit-il d'une glacière (oui / non) |

### 2.9.1 Attribut KIND

Type de l'objet et description.

| GeolCode | Deutsch  | Français  |
|----------|--|---|
| 11301001 | Moränenwall  | vallum morainique                                     |
| 11301002 | Moränenwall auf Gletscher oder auf Toteis                | cordon morainique sur glacier ou sur glace morte      |
| 11301003 | Kameterrassenkante                                       | bord de terrasse de kame                              |
| 11301004 | älterer Gletscherstand, basierend auf historischen Daten | ancien stade glaciaire, déduit de données historiques |
| 11301005 | Schliffgrenze  | limite supérieure de l'érosion glaciaire (trimline)   |
| 11301006 | Protales Rampart Wulst                                   | bourrelet de protalus rampart                         |
| 11301007 | Blockwulst im Blockgletscher                             | bourrelet de glacier rocheux                          |
| 11301008 | Schneehaldenmoränenwall                                  | vallum de moraine de névé                             |
| 11301009 | Verbreitungsgrenze von Geschiebe                         | limite de l'étendue des blocs                         |

### 2.9.2 Attribut ICE\_CAVE

S'agit-il d'une glacière (oui / non)

Type de donnée : boolean

## 2.10 Classe Karstic\_Structures\_PLG

La classe [Karstic\\_Structures\\_PLG](#) comprend les formes karstiques surfaciques telles que les dolines ou les poljés.

|   | Nom                            | Type    | Description                     |
|---|--------------------------------|---------|---------------------------------|
| 1 | <b>KIND</b><br>Cardinalité [1] | subtype | Type de l'objet et description. |

### 2.10.1 Attribut KIND

Type de l'objet et description.

| GeolCode | Deutsch                          | Français                             |
|----------|----------------------------------|--------------------------------------|
| 12001001 | Senke ohne oberirdischen Abfluss | dépression sans exutoire superficiel |
| 12001002 | Doline                           | doline                               |
| 12001003 | Karrenfeld                       | lapiez                               |
| 12001004 | Polje                            | poljé                                |

## 2.11 Classe Alluvial\_and\_Lacustrine\_Structures\_L

La classe [Alluvial\\_and\\_Lacustrine\\_Structures\\_L](#) contient les morphologies linéaires d'origine fluviale ou lacustre.

|   | Nom                            | Type    | Description                     |
|---|--------------------------------|---------|---------------------------------|
| 1 | <b>KIND</b><br>Cardinalité [1] | subtype | Type de l'objet et description. |

|   | Nom                              | Type                        | Description         |
|---|----------------------------------|-----------------------------|---------------------|
| 2 | <b>AGE</b><br>Cardinalité [0..1] | <a href="#">CodedDomain</a> | Âge du type d'obje. |

### 2.11.1 Attribut KIND

Type de l'objet et description.

| GeolCode | Deutsch                  | Français                             |
|----------|--------------------------|--------------------------------------|
| 10901001 | Strandwall               | cordon littoral                      |
| 10901002 | Achse einer Murgangrinne | axe d'un chenal de lave torrentielle |

### 2.11.2 Attribut AGE

Âge du type d'obje

| GeolCode | Deutsch        | Français       |
|----------|----------------|----------------|
| 10902001 | fossil         | fossile        |
| 10902002 | rezent         | récent         |
| 999997   | Unknown        | inconnu        |
| 999998   | Not applicable | not applicable |

## 3 Thème TECTONICS

### 3.1 Classe Deformation\_Structures\_PT

La classe [Deformation\\_Structures\\_PT](#) contient les structures de déformation ponctuelles observées, comme les endroits fortement plissés (plissotement) ou les lieux avec des diaclasses bien marquées. Dans cette classe se trouvent aussi les points construits, comme p. ex. la représentation de la trace d'une surface axiale. Celle-ci correspond à la symbolisation d'une charnière de pli construite à partir de l'intersection de la surface axiale avec la topographie et elle est représentée par un ou plusieurs points. Ces deux derniers types d'objets sont illustrés dans l'annexe A pour en faciliter la compréhension.

|   | Nom                                      | Type    | Description   |
|---|--|---------|---|
| 1 | <b>KIND</b><br>Cardinalité [1]           | subtype | Type de l'objet et description.   |
| 2 | <b>AZIMUTH</b><br><br>Cardinalité [0..1] | integer | Azimut du type d'objet.<br>L'azimut est mesuré depuis le nord en degré de 0° à 359° dans le sens des aiguilles d'une montre |
| 3 | <b>DIP</b>                               | integer | Valeur du plongement du type d'objet (valeur en   |

degrés, mesurée de l'horizontale (0°) vers le bas jusqu'à la verticale (90°) | Cardinalité [0..1] || 4 | **FOLD\_TYP** | [CodedDomain](#) | Caractéristique du type d'objet. | Cardinalité [0..1] ||  
5 | **FOLD\_FOR** | [CodedDomain](#) | Forme du type d'objet. | Cardinalité [0..1] ||

### 3.1.1 Attribut KIND

Type de l'objet et description.

| GeolCode | Deutsch                                   | Français  |
|----------|---|---|
| 14601001 | punktuell beobachtete tektonische Brekzie | brèche tectonique observée ponctuellement       |
| 14601002 | ausgeprägte Klüftung                      | diaclasses bien marquées                        |
| 14601003 | tektonische Diskordanz                    | discordance tectonique                          |
| 14601004 | Orientierung der Faltenachsenfläche       | orientation de la surface axiale d'un pli       |
| 14601005 | Fältelung                                 | plissotement (plis)                             |
| 14601006 | Darstellung der Spur einer Achsenfläche   | représentation de la trace d'une surface axiale |
| 14601007 | Chevron-Falte, Kink Fold                  | plis en chevron, Kink Fold                      |

### 3.1.2 Attribut AZIMUTH

Azimut du type d'objet. L'azimut est mesuré depuis le nord en degré de 0° à 359° dans le sens des aiguilles d'une montre

Type de donnée : integer

### 3.1.3 Attribut DIP

Valeur du plongement du type d'objet (valeur en degrés, mesurée de l'horizontale (0°) vers le bas jusqu'à la verticale (90°))

Type de donnée : integer

### 3.1.4 Attribut FOLD\_TYP

Caractéristique du type d'objet

| GeolCode | Deutsch        | Français       |
|----------|----------------|----------------|
| 14604001 | Antiklinale    | anticlinal     |
| 14604002 | Synklinale     | synclinal      |
| 999997   | Unknown        | inconnu        |
| 999998   | Not applicable | not applicable |

### 3.1.5 Attribut FOLD\_FOR

Forme du type d'objet

| GeolCode | Deutsch        | Français       |
|----------|----------------|----------------|
| 14605001 | Antiform       | antiforme      |
| 14605002 | Synform        | synforme       |
| 999997   | Unknown        | inconnu        |
| 999998   | Not applicable | not applicable |

## 3.2 Classe Deformation\_Structures\_L

La classe [Deformation\\_Structures\\_L](#) regroupe les structures linéaires de déformations tectoniques comme le tracé d'une charnière de pli.

|   | Nom                            | Type    | Description                     |
|---|--------------------------------|---------|---------------------------------|
| 1 | <b>KIND</b><br>Cardinalité [1] | subtype | Type de l'objet et description. |

### 3.2.1 Attribut KIND

*Type de l'objet et description.*

| GeolCode | Deutsch         | Français         |
|----------|-----------------|------------------|
| 14701001 | Faltenscharnier | charnière de pli |

## 3.3 Classe Deformation\_Structures\_PLG

Dans la classe [Deformation\\_Structures\\_PLG](#) se trouvent les régions marquées par des structures tectoniques à grande échelle comme les zones tectonisées ou les zones diaclasées.

|   | Nom                                   | Type                        | Description                      |
|---|---------------------------------------|-----------------------------|----------------------------------|
| 1 | <b>KIND</b><br>Cardinalité [1]        | subtype                     | Type de l'objet et description.  |
| 2 | <b>TYPE</b><br>Cardinalité [0..1]     | <a href="#">CodedDomain</a> | Caractéristique du type d'objet. |
| 3 | <b>GEN_RELA</b><br>Cardinalité [0..1] | <a href="#">CodedDomain</a> | Relation génétique.              |

### 3.3.1 Attribut KIND

*Type de l'objet et description.*

| GeolCode | Deutsch            | Français        |
|----------|--------------------|-----------------|
| 14801001 | Kluftzone          | zone diaclasée  |
| 14801002 | tektonisierte Zone | zone tectonisée |

### 3.3.2 Attribut TYPE

*Caractéristique du type d'objet*

| GeolCode | Deutsch            | Français           |
|----------|--------------------|--------------------|
| 14802002 | kakiritisch        | kakiritique        |
| 14802001 | kataklastisch      | cataclastique      |
| 14802003 | mylonitisch        | mylonitique        |
| 14802004 | pseudotachylitisch | pseudotachylitique |
| 999997   | Unknown            | inconnu            |



| GeolCode | Deutsch        | Français       |
|----------|----------------|----------------|
| 999998   | Not applicable | not applicable |

### 3.3.3 Attribut GEN\_RELA

*Relation génétique*

## 3.4 Classe Tectonic\_Boundaries\_L

La classe [Tectonic\\_Boundaries\\_L](#) comprend toutes les failles tectoniques.

|   | Nom                                   | Type                        | Description   |
|---|---------------------------------------|-----------------------------|---|
| 1 | <b>KIND</b><br>Cardinalité [1]        | subtype                     | Type de l'objet et description.                         |
| 2 | <b>FAULT_MO</b><br>Cardinalité [0..1] | <a href="#">CodedDomain</a> | Mouvement de la faille.                                 |
| 3 | <b>VERTI_MO</b><br>Cardinalité [0..1] | <a href="#">CodedDomain</a> | Mouvement parallèle au pendage du plan de faille.       |
| 4 | <b>HORIZ_MO</b><br>Cardinalité [0..1] | <a href="#">CodedDomain</a> | Mouvement parallèle à la direction du plan de faille ou |

de cisaillement. | Cardinalité [0..1] ||

5 | **LIM\_TECT\_B** | boolean | Limite d'unité tectonique (oui / non)? | Cardinalité [1] || 6 | **STATUS** | [CodedDomain](#) | État du type d'objet. | Cardinalité [1] ||

8 | **META\_STA** | [CodedDomain](#) | Chronologie tecto-métamorphique du type d'objet.. | Cardinalité [0..1] ||

9 | **NAME** | string | Nom de la localité-type. / Description de l'affleurement géologique important | Cardinalité [0..1] ||

### 3.4.1 Attribut KIND

*Type de l'objet et description.*

| GeolCode | Deutsch           | Français   |
|----------|-------------------|--|
| 14901001 | Überschiebung     | chevauchement  |
| 14901002 | Abschiebung       | détachement (faille normale de grande extension et faible pendage) |
| 14901004 | Bruch             | faille   |
| 14901005 | Aufschiebung      | faille inverse   |
| 14901006 | Blattverschiebung | décrochement   |
| 14901007 | komplexe Störung  | accident tectonique complexe                                       |
| 14901008 | Störung i. Allg.  | accident tectonique en général                                     |

### 3.4.2 Attribut FAULT\_MO

*Mouvement de la faille*

| GeolCode | Deutsch                                 | Français                           |
|----------|---|------------------------------------|
| 14902003 | parallel zur Fallrichtung (strike slip) | parallèle au pendage (strike slip) |

| GeolCode | Deutsch  | Français                 |
|----------|--|--------------------------|
| 14902002 | parallel zur Streichrichtung<br>(Horizontalverschiebung) | parallèle à la direction |
| 14902001 | schrägverschiebend (oblique slip)                        | oblique (oblique slip)   |
| 999997   | Unknown  | inconnu                  |
| 999998   | Not applicable   | not applicable           |

### 3.4.3 Attribut VERTI\_MO

*Mouvement parallèle au pendage du plan de faille*

| GeolCode | Deutsch        | Français       |
|----------|----------------|----------------|
| 14903002 | abschiebend    | abschiebend    |
| 14903001 | aufschiebend   | aufschiebend   |
| 999997   | Unknown        | inconnu        |
| 999998   | Not applicable | not applicable |

### 3.4.4 Attribut HORIZ\_MO

*Mouvement parallèle à la direction du plan de faille ou de cisaillement*

| GeolCode | Deutsch        | Français       |
|----------|----------------|----------------|
| 14904001 | dextral        | dextre         |
| 14904002 | sinistral      | sénestre       |
| 999997   | Unknown        | inconnu        |
| 999998   | Not applicable | not applicable |

### 3.4.5 Attribut LIM\_TECT\_B

*Limite d'unité tectonique (oui / non)?*

*Type de donnée : boolean*

### 3.4.6 Attribut STATUS

*État du type d'objet*

| GeolCode | Deutsch                            | Français  |
|----------|------------------------------------|---|
| 14906004 | aus Seismikdaten interpretiert     | interprété de données sismiques                       |
| 14906001 | gesichert, im Allgemeinen          | certain, en général                                   |
| 14906002 | gesichert, unter Tage festgestellt | certain, mis en évidence dans des travaux souterrains |
| 14906003 | vermutet                           | probable  |
| 999997   | Unknown                            | inconnu   |
| 999998   | Not applicable                     | not applicable  |

### 3.4.7 Attribut META\_STA

*Chronologie tecto-métamorphique du type d'objet.*

| GeolCode | Deutsch                           | Français       |
|----------|-----------------------------------|----------------|
| 14908003 | nach der Platznahme der Decken    | post-nappe     |
| 14908001 | vor der Platznahme der Decken     | anté-nappe     |
| 14908002 | während der Platznahme der Decken | syn-nappe      |
| 999997   | Unknown                           | inconnu        |
| 999998   | Not applicable                    | not applicable |

### 3.4.8 Attribut NAME

*Nom de la localité-type. / Description de l’affleurement géologique important*

*Type de donnée : string*

## 4 Thème MEASUREMENTS\_SPATIAL\_ORIENTATION

### 4.1 Classe Folds\_PT

La classe **Folds\_PT** contient les motifs qui décrivent la position spatiale d’objets géologiques plissés (par des mesures prises directement sur le terrain).

|   | Nom                                    | Type        | Description   |
|---|--|-------------|---|
| 1 | <b>KIND</b><br>Cardinalité [1]         | subtype     | Type de l'objet et description.   |
| 2 | <b>FOLD_TYP</b><br>Cardinalité [0..1]  | CodedDomain | Type de l'objet.  |
| 3 | <b>FOLD_FOR</b><br>Cardinalité [0..1]  | 13603       | Forme du type d'objet   |
| 4 | <b>PHASE</b><br>Cardinalité [0..1]     | CodedDomain | Phase de déformation.   |
| 5 | <b>PHASE_REF</b><br>Cardinalité [0..1] | string      | Référence pour les données concernant la phase de déformation.  |
| 6 | <b>AZIMUTH</b><br>Cardinalité [0..1]   | integer     | Azimut du type d'objet.<br>L'azimut est mesuré depuis le nord en degré de 0° à 359° dans le sens des aiguilles d'une montre   |
| 7 | <b>DIP</b><br>Cardinalité [0..1]       | integer     | Valeur du plongement du type d'objet (valeur en degrés, mesurée de l'horizontale (0°) vers le bas jusqu'à la verticale (90°)) |

#### 4.1.1 Attribut KIND

*Type de l'objet et description.*

| GeolCode | Deutsch                        | Français                         |
|----------|--------------------------------|----------------------------------|
| 13601001 | Orientierung der Faltenachse   | orientation d'un axe de pli      |
| 13601002 | Orientierung der Scheitellinie | orientation d'une ligne de crête |
| 13601003 | Orientierung der Muldenlinie   | orientation d'une ligne de creux |

#### 4.1.2 Attribut FOLD\_TYP

*Type de l'objet*

| GeolCode | Deutsch        | Français       |
|----------|----------------|----------------|
| 13602001 | Antiklinale    | anticlinal     |
| 13602002 | Synklinale     | synclinal      |
| 999997   | Unknown        | inconnu        |
| 999998   | Not applicable | not applicable |

#### 4.1.3 Attribut FOLD\_FOR

*Forme du type d'objet*

#### 4.1.4 Attribut PHASE

*Phase de déformation*

| GeolCode | Deutsch        | Français        |
|----------|----------------|-----------------|
| 13604001 | F1 (1. Phase)  | F1 (1ère phase) |
| 13604002 | F2 (2. Phase)  | F2 (2ème phase) |
| 13604003 | F3 (3. Phase)  | F3 (3ème phase) |
| 999997   | Unknown        | inconnu         |
| 999998   | Not applicable | not applicable  |

#### 4.1.5 Attribut PHASE\_REF

*Référence pour les données concernant la phase de déformation.*

*Type de donnée : string*

#### 4.1.6 Attribut AZIMUTH

*Azimut du type d'objet. L'azimut est mesuré depuis le nord en degré de 0° à 359° dans le sens des aiguilles d'une montre*

*Type de donnée : integer*

#### 4.1.7 Attribut DIP

*Valeur du plongement du type d'objet (valeur en degrés, mesurée de l'horizontale (0°) vers le bas jusqu'à la verticale (90°))*

*Type de donnée : integer*

## 4.2 Classe Lineation\_PT

La classe [Lineation\\_PT](#) contient des structures linéaires dont la position spatiale est décrite par des mesures directes sur le terrain. La position dans l'espace, entre autre de stries glaciaires et de tectoglyphes, fait aussi partie de cette classe tout comme l'orientation de la linéation d'intersection ou de linéation d'étirement.

|   | Nom                                   | Type    | Description   |
|---|---------------------------------------|---------|---|
| 1 | <b>KIND</b><br>Cardinalité [1]        | subtype | Type de l'objet et description.   |
| 2 | <b>AZIMUTH</b><br><br>Cardinalité [1] | integer | Azimut du type d'objet.<br>L'azimut est mesuré depuis le nord en degré de 0° à 359° dans le sens des aiguilles d'une montre |
| 3 | <b>DIP</b><br><br>Cardinalité []      |         | Valeur du plongement du type d'objet (en degrés), mesurée de l'horizontale (0°) vers le bas jusqu'à la verticale (90°)      |

### 4.2.1 Attribut KIND

*Type de l'objet et description.*

| GeolCode | Deutsch                                 | Français                                   |
|----------|---|--|
| 13701001 | Orientierung der Intersektionslineation | orientation de la linéation d'intersection |
| 13701002 | Orientierung der Streckungslineation    | orientation de la linéation d'étirement    |
| 13701003 | Orientierung von Rutschharnischen       | orientation des tectoglyphes               |
| 13701004 | Orientierung von Gletscherschliffen     | orientation des stries glaciaires          |

### 4.2.2 Attribut AZIMUTH

*Azimut du type d'objet. L'azimut est mesuré depuis le nord en degré de 0° à 359° dans le sens des aiguilles d'une montre*

*Type de donnée : integer*

### 4.2.3 Attribut DIP

*Valeur du plongement du type d'objet (en degrés), mesurée de l'horizontale (0°) vers le bas jusqu'à la verticale (90°)*

## 4.3 Classe Planar\_Structures\_PT

La classe [Planar\\_Structures\\_PT](#) contient des types d'objets qui décrivent la position spatiale de structures planes. décrivent la position des structures planaires avec des mesures directes sur le terrain.

|   | Nom                                     | Type        | Description   |
|---|---|-------------|---|
| 1 | <b>KIND</b><br>Cardinalité [1]          | subtype     | Type de l'objet et description.   |
| 2 | <b>POLARITY</b><br>Cardinalité [0..1]   | CodedDomain | Polarité du type d'objet dans l'espace..  |
| 3 | <b>PHASE</b><br>Cardinalité [0..1]      | CodedDomain | Phase de déformation.   |
| 4 | <b>PHASE_REF</b>                        | string      | Référence pour les données concernant la phase de déformation.  |
| 5 | <b>OB_DIP_SLO</b><br>Cardinalité [0..1] | boolean     | Dip slope (oui / non)?  |
| 6 | <b>AZIMUTH</b>                          | integer     | Azimut du type d'objet.<br>L'azimut est mesuré depuis le nord en degré de 0° à 359° dans le sens des aiguilles d'une montre |
| 7 | <b>DIP</b><br>Cardinalité [1]           |             | Valeur du plongement du type d'objet (en degrés),   |

mesurée de l'horizontale (0°) vers le bas jusqu'à la verticale (90°) | Cardinalité [1] ||

#### 4.3.1 Attribut KIND

Type de l'objet et description.

| GeolCode | Deutsch  | Français                                      |
|----------|--|---|
| 13801001 | Orientierung der Schichten                     | orientation des couches                       |
| 13801002 | Orientierung eines Ganges                      | orientation d'un filon                        |
| 13801003 | Orientierung einer Bruchfläche                 | orientation d'un plan de faille               |
| 13801004 | Orientierung der Schieferung                   | orientation d'une schistosité                 |
| 13801005 | Orientierung einer Schichtung oder Schieferung | orientation d'une couche ou d'une schistosité |
| 13801006 | Schüttungsrichtung                             | direction de transport sédimentaire           |

#### 4.3.2 Attribut POLARITY

Polarité du type d'objet dans l'espace.

| GeolCode | Deutsch        | Français       |
|----------|----------------|----------------|
| 13802001 | normal         | normale        |
| 13802002 | überkippt      | renversée      |
| 999997   | Unknown        | inconnu        |
| 999998   | Not applicable | not applicable |

#### 4.3.3 Attribut PHASE

Phase de déformation

| GeolCode | Deutsch        | Français        |
|----------|----------------|-----------------|
| 13803001 | S1 (1. Phase)  | S1 (1ère phase) |
| 13803002 | S2 (2. Phase)  | S2 (2ème phase) |
| 13803003 | S3 (3. Phase)  | S3 (3ème phase) |
| 999997   | Unknown        | inconnu         |
| 999998   | Not applicable | not applicable  |

#### 4.3.4 Attribut PHASE\_REF

Référence pour les données concernant la phase de déformation.

Type de donnée : string

#### 4.3.5 Attribut OB\_DIP\_SLO

Dip slope (oui / non)?

Type de donnée : boolean

#### 4.3.6 Attribut AZIMUTH

Azimet du type d'objet. L'azimet est mesuré depuis le nord en degré de 0° à 359° dans le sens des aiguilles d'une montre

Type de donnée : integer

#### 4.3.7 Attribut DIP

Valeur du plongement du type d'objet (en degrés), mesurée de l'horizontale (0°) vers le bas jusqu'à la verticale (90°)

## 5 Thème LOCAL\_ADDITIONAL\_INFORMATION

### 5.1 Classe Anomalies\_PT

None

|   | Nom                               | Type           | Description                             |
|---|-----------------------------------|----------------|---|
| 1 | <b>KIND</b><br>Cardinalité [1]    | subtype        | Type de l'objet et description.         |
| 2 | <b>TYPE</b><br><br>Cardinalité [] | <br><br>128002 | <br><br>Caractéristique du type d'objet |

#### 5.1.1 Attribut KIND

Type de l'objet et description.

| GeolCode | Deutsch | Français |
|----------|---------|----------|
|----------|---------|----------|

#### 5.1.2 Attribut TYPE

Caractéristique du type d'objet

## 5.2 Classe Fossils\_PT

La classe **Fossils\_PT** contient tous les gisements fossilifères

|   | Nom                                    | Type               | Description   |
|---|--|--------------------|---|
| 1 | <b>KIND</b><br>Cardinalité [1]         | subtype            | Type de l'objet et description.                     |
| 2 | <b>DIVISION</b><br>Cardinalité [0..1]  | <b>CodedDomain</b> | Catégorie de fossile à laquelle appartient l'objet. |
| 3 | <b>SYSTEM</b><br>Cardinalité [0..5]    | table<br>gc_system | Groupe de fossiles                                  |
| 4 | <b>DAT_METH</b><br>Cardinalité [0..1]  | <b>CodedDomain</b> | Méthode de datation.                                |
| 5 | <b>STATUS</b><br>Cardinalité [0..1]    | <b>CodedDomain</b> | État du type d'objet.                               |
| 6 | <b>PROTECTED</b><br>Cardinalité [0..1] | boolean            | Objet géologique protégé (oui / non)?               |

### 5.2.1 Attribut KIND

*Type de l'objet et description.*

| GeolCode | Deutsch          | Français             |
|----------|------------------|----------------------|
| 12901001 | Fossilfundstelle | gisement fossilifère |

### 5.2.2 Attribut DIVISION

*Catégorie de fossile à laquelle appartient l'objet*

| GeolCode | Deutsch                 | Français       |
|----------|-------------------------|----------------|
| 12902006 | Einzeller               | unicellulaires |
| 12902002 | Pflanzen- und Tierreste | faune et flore |
| 12902003 | Pflanzenreste           | flore          |
| 12902004 | Spuren                  | traces         |
| 12902001 | Tierreste               | faune          |
| 999997   | Unknown                 | inconnu        |
| 999998   | Not applicable          | not applicable |

### 5.2.3 Attribut SYSTEM

*Groupe de fossiles*

### 5.2.4 Attribut DAT\_METH

*Méthode de datation*

| GeolCode | Deutsch               | Français               |
|----------|-----------------------|------------------------|
| 12904001 | radiometrisch datiert | daté radiométriquement |
| 999997   | Unknown               | inconnu                |



| GeolCode | Deutsch        | Français       |
|----------|----------------|----------------|
| 999998   | Not applicable | not applicable |

### 5.2.5 Attribut STATUS

*État du type d'objet*

| GeolCode | Deutsch         | Français       |
|----------|-----------------|----------------|
| 12905001 | aufgeschlossen  | affleurant     |
| 12905002 | wieder verdeckt | recouvert      |
| 999997   | Unknown         | inconnu        |
| 999998   | Not applicable  | not applicable |

### 5.2.6 Attribut PROTECTED

*Objet géologique protégé (oui / non)?*

*Type de donnée : boolean*

## 5.3 Classe Indication\_of\_Resources\_PT

La classe [Indication\\_of\\_Resources\\_PT](#) regroupe les gisements de minéraux, de gas, d'hydrocarbures et de matériel volcanique

|   | Nom                                   | Type                        | Description   |
|---|---------------------------------------|-----------------------------|---|
| 1 | <b>KIND</b><br>Cardinalité [1]        | subtype                     | Type de l'objet et description.                     |
| 2 | <b>STATUS</b><br>Cardinalité [0..1]   | <a href="#">CodedDomain</a> | État du type d'objet.                               |
| 3 | <b>MATERIAL</b><br>Cardinalité [0..1] | <a href="#">CodedDomain</a> | Matériau associé au type d'objet.                   |
| 4 | <b>CHEMISTRY</b>                      | string                      | Composant(s) chimique(s) caractérisant la nature du |

type d'objet. | Cardinalité [0..1] ||

### 5.3.1 Attribut KIND

*Type de l'objet et description.*

| GeolCode | Deutsch  | Français  |
|----------|--|---|
| 13201001 | Lres Mineralfundstelle   | gisement de minéraux  |
| 13201002 | Lres Gasquelle   | source de gaz naturel   |
| 13201003 | Lres Anzeichen auf Öl  | indices de pétrole  |
| 13201004 | Lres Tasche, Karsttasche, Kluft, mit Füllung von siderolithischem Sediment | poche, poche karstique, fissure, remplie de matériel sidérolithique |
| 13201005 | Lres Fundstelle von vulkanischem Tuffit                                    | gisement de tuffite volcanique                                      |

| GeolCode | Deutsch  | Français                                     |
|----------|--|--|
| 13201006 | Lres Fundstelle vulkanischer Auswürflinge (Tephra) | gisement de projections volcaniques (tephra) |
| 13201007 | Lres Fundstelle von Ries-Auswürflingen             | gisement de projections du Ries              |
| 13201008 | Lres Asphalt, vereinzelt Vorkommen                 | asphalte, gisement isolé                     |
| 13201009 | Lres Meteoritenfundstelle                          | gisement de météorite                        |

### 5.3.2 Attribut STATUS

*tat du type d'obje*

| GeolCode | Deutsch         | Français       |
|----------|-----------------|----------------|
| 13202001 | aufgeschlossen  | affleurant     |
| 13202002 | wieder verdeckt | recouvert      |
| 999997   | Unknown         | inconnu        |
| 999998   | Not applicable  | not applicable |

### 5.3.3 Attribut MATERIAL

*Matériau associé au type d'objet*

| GeolCode | Deutsch           | Français                |
|----------|-------------------|-------------------------|
| 13203003 | Bohnerz           | pisolites ferrugineuses |
| 13203001 | Boluston          | argile à bolus          |
| 13203004 | Glas- / Quarzsand | sable vitrifiable       |
| 13203002 | Huppererde        | hupper                  |
| 13203005 | Walkerde          | terre à foulon          |
| 999997   | Unknown           | inconnu                 |
| 999998   | Not applicable    | not applicable          |

### 5.3.4 Attribut CHEMISTRY

*Composant(s) chimique(s) caractérisant la nature du type d'objet.*

*Type de donnée : string*

## 5.4 Classe Mineralised\_Zone\_L

La classe [Mineralised\\_Zone\\_L](#) contient les zones minéralisées

|   | Nom                            | Type    | Description   |
|---|--------------------------------|---------|---|
| 1 | <b>KIND</b><br>Cardinalité [1] | subtype | Type de l'objet et description.                     |
| 2 | <b>CHEMISTRY</b>               | string  | Composant(s) chimique(s) caractérisant la nature du |

type d'objet. | Cardinalité [0..1] ||

#### 5.4.1 Attribut KIND

Type de l'objet et description.

| GeolCode | Deutsch        | Français         |
|----------|----------------|------------------|
| 13301001 | Vererzungszone | zone minéralisée |

#### 5.4.2 Attribut CHEMISTRY

Composant(s) chimique(s) caractérisant la nature du type d'objet.

Type de donnée : string

### 5.5 Classe Sedimentary\_Structures\_PT

La classe [Sedimentary\\_Structures\\_PT](#) contient la description des structures sédimentaires observées.

|   | Nom                                      | Type    | Description   |
|---|--|---------|---|
| 1 | <b>KIND</b><br>Cardinalité [1]           | subtype | Type de l'objet et description.   |
| 2 | <b>AZIMUTH</b><br><br>Cardinalité [0..1] | integer | Azimet du type d'objet.<br>L'azimet est mesuré depuis le nord en degré de 0° à 359° dans le sens des aiguilles d'une montre |

#### 5.5.1 Attribut KIND

Type de l'objet et description.

| GeolCode | Deutsch  | Français  |
|----------|--|---|
| 13401001 | Sedimentstrukturen   | structures sédimentaires  |
| 13401002 | Riffstrukturen   | structures récifales  |
| 13401003 | Erosions- oder Omissionsfläche, Hartgrund, Kondensationshorizont | surface d'érosion ou lacune stratigraphique, surface durcie, niveau de condensation |
| 13401004 | stratigraphische Lage (Polarität) einer Schichtserie             | position stratigraphique (polarité) d'une couche sédimentaire                       |
| 13401005 | Winkeldiskordanz   | discordance angulaire   |
| 13401006 | Entwässerungstrichter (blow-out structure)                       | cratère d'échappement d'eau   |

#### 5.5.2 Attribut AZIMUTH

Azimet du type d'objet. L'azimet est mesuré depuis le nord en degré de 0° à 359° dans le sens des aiguilles d'une montre

Type de donnée : integer

## 5.6 Classe Type\_Localities\_PT

La classe [Type\\_Localities\\_PT](#) regroupe les types d'objets qui décrivent les profils-types ou les affleurements géologiques importants.

|   | Nom   | Type                        | Description  |
|---|---|-----------------------------|--|
| 1 | <b>KIND</b><br>Cardinalité [1]              | subtype                     | Type de l'objet et description.  |
| 2 | <b>STRATI</b><br><br>Cardinalité [0..1]     | <a href="#">CodedDomain</a> | Complément lithostratigraphique du type d'objet.                               |
| 3 | <b>NAME</b><br><br>Cardinalité [0..1]       | string                      | Nom de la localité-type. / Description de l'affleurement géologique important. |
| 4 | <b>ACCESSIBIL</b><br><br>Cardinalité [0..1] | boolean                     | Est-ce que le type d'objet était accessible au moment du levé de la carte      |
| 5 | <b>PROTECTED</b><br><br>Cardinalité [0..1]  | boolean                     | Objet géologique protégé (oui / non)?  |

### 5.6.1 Attribut KIND

*Type de l'objet et description.*

| GeolCode | Deutsch                          | Français                          |
|----------|----------------------------------|-----------------------------------|
| 13501001 | geologisch relevanter Aufschluss | affleurement géologique important |
| 13501003 | Typusprofil                      | coupe-type                        |

### 5.6.2 Attribut STRATI

*Complément lithostratigraphique du type d'objet*

| GeolCode | Deutsch        | Français       |
|----------|----------------|----------------|
| 13502005 | Bank           | banc           |
| 13502003 | Formation      | formation      |
| 13502001 | Gruppe         | groupe         |
| 13502004 | Member         | membre         |
| 13502006 | Stufe          | étage          |
| 13502002 | Subgruppe      | sous-groupe    |
| 999997   | Unknown        | inconnu        |
| 999998   | Not applicable | not applicable |

### 5.6.3 Attribut NAME

*Nom de la localité-type. / Description de l'affleurement géologique important.*

*Type de donnée : string*

#### 5.6.4 Attribut ACCESSIBIL

*Est-ce que le type d'objet était accessible au moment du levé de la carte*

Type de donnée : boolean

#### 5.6.5 Attribut PROTECTED

*Objet géologique protégé (oui / non)?*

Type de donnée : boolean

### 5.7 Classe Prominent\_Lithological\_Features\_L

None

|   | Nom                            | Type        | Description  |
|---|--------------------------------|-------------|--|
| 1 | <b>KIND</b><br>Cardinalité [1] | subtype     | Type de l'objet et description.                            |
| 2 | <b>CONG_SPE</b>                | CodedDomain | Caractérisation des<br>conglomérats selon la nature<br>des |

clastes.. | Cardinalité [0..1] ||

3 | **NAME\_HORIZ** | Table | Nom du horizon repère à bentonite.. | Cardinalité [0..1] | 4

| **ORIG\_DESCR** | string | Description de la légende de la carte géologique originale. |

Cardinalité [0..1] || 5 | **LPRO\_LITHO** | Table | Unité lithostratigraphique. | Cardinalité [1] |

#### 5.7.1 Attribut KIND

*Type de l'objet et description.*

| GeolCode | Deutsch          | Français         |
|----------|------------------|------------------|
| 13101001 | Gesteinshorizont | horizon de roche |

#### 5.7.2 Attribut CONG\_SPE

*Caractérisation des conglomérats selon la nature des clastes.*

| GeolCode | Deutsch   | Français   |
|----------|---|--|
| 13102003 | bunte bis polygene Nagelfluh                    | poudingue polygénique  |
| 13102004 | Flyschsandstein-Nagelfluh,<br>Riesenkonglomerat | poudingue à éléments de grès de<br>flysch, Riesenkonglomerat       |
| 13102001 | kristallinfreie bis -arme<br>(Kalk-)Nagelfluh   | poudingue (calcaire) dépourvu ou<br>pauvre en éléments cristallins |
| 13102002 | kristallinführende (Kalk-)Nagelfluh             | poudingue (calcaire) à éléments<br>cristallins                     |
| 999997   | Unknown   | inconnu  |
| 999998   | Not applicable                                  | not applicable   |

### 5.7.3 Attribut NAME\_HORIZ

Nom du horizon repère à bentonite.

Voir [GC\\_LITSTRAT\\_BED\\_CD](#) dans l'annexe

### 5.7.4 Attribut ORIG\_DESCR

Description de la légende de la carte géologique originale.

Type de donnée : string

### 5.7.5 Attribut LPRO\_LITHO

Unité lithostratigraphique

Voir [GC\\_LITHO\\_CD](#) dans l'annexe

## 5.8 Classe Miscellaneous\_PT

La classe [Miscellaneous\\_PT](#) est réservée aux objets locaux très particuliers qui ne sont pas pertinents pour l'ensemble des données géologiques. Par conséquent ils ne sont pas standardisés dans le Modèle de données géologiques.

|   | Nom                                 | Type    | Description                     |
|---|-------------------------------------|---------|---------------------------------|
| 1 | <b>KIND</b><br>Cardinalité [1]      | subtype | Type de l'objet et description. |
| 2 | <b>ORIG_NAME</b><br>Cardinalité [1] | string  |                                 |

### 5.8.1 Attribut KIND

Type de l'objet et description.

|          |         |          |
|----------|---------|----------|
| GeolCode | Deutsch | Français |
| 15501001 | Diverse | divers   |

### 5.8.2 Attribut ORIG\_NAME

—

Type de donnée : string

## 5.9 Classe Geological\_Outlines\_L

La classe [Geological\\_Outlines\\_L](#) contient les contours géologiques.

|   | Nom                                 | Type                        | Description                     |
|---|-------------------------------------|-----------------------------|---------------------------------|
| 1 | <b>KIND</b><br>Cardinalité [1]      | subtype                     | Type de l'objet et description. |
| 2 | <b>STATUS</b><br>Cardinalité [0..1] | <a href="#">CodedDomain</a> | État du type d'objet.           |

### 5.9.1 Attribut KIND

Type de l'objet et description.

| GeolCode | Deutsch            | Français           |
|----------|--------------------|--------------------|
| 13001001 | geologische Kontur | contour géologique |

### 5.9.2 Attribut STATUS

État du type d'objet

| GeolCode | Deutsch                         | Français               |
|----------|---------------------------------|------------------------|
| 13002004 | gesichert, tektonisch überprägt | certain, tectonisé     |
| 13002001 | im Allgemeinen                  | en général             |
| 13002003 | künstlich                       | artificiel             |
| 13002002 | vermutet                        | probable               |
| 13002005 | vermutet, tektonisch überprägt  | probable, tectonisé    |
| 999997   | Unknown                         | inconnu                |
| 999998   | Not applicable                  | not applicable         |
| 13002006 | Gewässerlinie                   | ligne d'un cours d'eau |

## 6 Thème PARAMETER\_AND\_MODELLING

### 6.1 Classe Slope\_Bedrock\_PT

La classe [Slope\\_Bedrock\\_PT](#) contient des informations ponctuelles provenant de la modélisation de l'orientation d'horizons lithologiques des roches consolidées dans le sous-sol ou de surfaces d'érosions.

|   | Nom   | Type                        | Description   |
|---|---|-----------------------------|---|
| 1 | <b>KIND</b><br>Cardinalité [1]              | subtype                     | Type de l'objet et description.   |
| 2 | <b>TYPE</b><br>Cardinalité [1]              | <a href="#">CodedDomain</a> | Surface de référence.   |
| 3 | <b>AZIMUTH</b><br><br>Cardinalité [0..1]    | integer                     | Azimut du type d'objet.<br>L'azimut est mesuré depuis le nord en degré de 0° à 359° dans le sens des aiguilles d'une montre |
| 4 | <b>DIP</b><br><br>Cardinalité [0..1]        | integer                     | Valeur du plongement du type d'objet (en degrés), mesurée de l'horizontale (0°) vers le bas jusqu'à la verticale (90°)      |
| 5 | <b>PSLO_FORMATIO</b><br><br>Cardinalité [1] | <a href="#">Table</a>       | Unité lithostratigraphique de l'horizon modélisé.   |

### 6.1.1 Attribut KIND

Type de l'objet et description.

| GeolCode | Deutsch          | Français                |
|----------|------------------|-------------------------|
| 14201001 | Neigungsrichtung | direction de plongement |

### 6.1.2 Attribut TYPE

Surface de référence

| GeolCode | Deutsch                              | Français                               |
|----------|--------------------------------------|--|
| 14202001 | Felsoberfläche                       | surface du substratum rocheux          |
| 14202002 | Obergrenze einer gegebenen Formation | surface du toit d'une formation donnée |
| 999997   | Unknown                              | inconnu                                |
| 999998   | Not applicable                       | not applicable                         |

### 6.1.3 Attribut AZIMUTH

Azimut du type d'objet. L'azimut est mesuré depuis le nord en degré de 0° à 359° dans le sens des aiguilles d'une montre

Type de donnée : integer

### 6.1.4 Attribut DIP

Valeur du plongement du type d'objet (en degrés), mesurée de l'horizontale (0°) vers le bas jusqu'à la verticale (90°)

Type de donnée : integer

### 6.1.5 Attribut PSLO\_FORMATIO

Unité lithostratigraphique de l'horizon modélisé

Voir [GC\\_LITSTRAT\\_BED\\_CD](#) dans l'annexe

## 6.2 Classe Contour\_Lines\_Bedrock\_L

La classe [Contour\\_Lines\\_Bedrock\\_L](#) contient les isohypses qui décrivent la géométrie des roches consolidées dans le sous-sol et sont le résultat d'une modélisation. Dans cette classe se trouvent entre autres les isohypses de la surface du substratum rocheux.

|   | Nom                                | Type                        | Description   |
|---|------------------------------------|-----------------------------|---|
| 1 | <b>KIND</b><br>Cardinalité [1]     | subtype                     | Type de l'objet et description.                       |
| 2 | <b>TYPE</b><br>Cardinalité [1]     | <a href="#">CodedDomain</a> | Surface de référence.                                 |
| 3 | <b>ALTITUDE</b><br>Cardinalité [1] | float                       | Valeur altimétrique des isohypses.                    |
| 4 | <b>LITSTRAT</b>                    | <a href="#">Table</a>       | Unité lithostratigraphique de la formation modelisée. |



| Nom             | Type | Description |
|-----------------|------|-------------|
| Cardinalité [1] |      |             |

### 6.2.1 Attribut KIND

Type de l'objet et description.

|          |               |          |
|----------|---------------|----------|
| GeolCode | Deutsch       | Français |
| 13901001 | Pcob Isohypse | isohypse |

### 6.2.2 Attribut TYPE

Surface de référence

|          |                                       |   |
|----------|---------------------------------------|---|
| GeolCode | Deutsch                               | Français                                  |
| 13902001 | Felsoberfläche                        | surface du substratum rocheux             |
| 13902002 | Obergrenze einer gegebenen Formation  | surface du toit d'une formation donnée    |
| 13902003 | Untergrenze einer gegebenen Formation | surface de la base d'une formation donnée |
| 999997   | Unknown                               | inconnu                                   |
| 999998   | Not applicable                        | not applicable                            |

### 6.2.3 Attribut ALTITUDE

Valeur altimétrique des isohypses.

Type de donnée : float

### 6.2.4 Attribut LITSTRAT

Unité lithostratigraphique de la formation modelisée

Voir [GC\\_LITSTRAT\\_BED\\_CD](#) dans l'annexe

## 6.3 Classe Modelled\_Water\_Table\_PT

La classe [Modelled\\_Water\\_Table\\_PT](#) contient des informations ponctuelles provenant de la modélisation du niveau piézométrique d'une nappe libre.

|   | Nom                            | Type    | Description   |
|---|--------------------------------|---------|---|
| 1 | <b>KIND</b><br>Cardinalité [1] | subtype | Type de l'objet et description.   |
| 2 | <b>AZIMUTH</b>                 | integer | Azimet du type d'objet.<br>L'azimet est mesuré depuis le nord en degré de 0° à 359° dans le sens des aiguilles d'une montre |
|   | Cardinalité [0..1]             |         |   |

|   | Nom                                     | Type    | Description  |
|---|---|---------|--|
| 3 | <b>DIP</b>                              | integer | Valeur du plongement du type d'objet (en degrés), mesurée de l'horizontale (0°) vers le bas jusqu'à la verticale (90°) |
| 4 | Cardinalité [0..1]<br><b>HEIGHT</b>     | float   | Cote de la nappe phréatique.   |
| 5 | Cardinalité [0..1]<br><b>MEA_PERIOD</b> | range   | Période de mesure de la profondeur du niveau hydrostatique.  |
|   | Cardinalité [0..1]                      |         |  |

### 6.3.1 Attribut KIND

*Type de l'objet et description.*

| GeolCode | Deutsch                               | Français                            |
|----------|---------------------------------------|-------------------------------------|
| 14101001 | Grundwasserfliessrichtung             | direction d'écoulement              |
| 14101002 | mittlere Höhe des Grundwasserspiegels | niveau moyen de la nappe phréatique |

### 6.3.2 Attribut AZIMUTH

*Azimut du type d'objet. L'azimut est mesuré depuis le nord en degré de 0° à 359° dans le sens des aiguilles d'une montre*

*Type de donnée : integer*

### 6.3.3 Attribut DIP

*Valeur du plongement du type d'objet (en degrés), mesurée de l'horizontale (0°) vers le bas jusqu'à la verticale (90°)*

*Type de donnée : integer*

### 6.3.4 Attribut HEIGHT

*Cote de la nappe phréatique.*

*Type de donnée : float*

### 6.3.5 Attribut MEA\_PERIOD

*Période de mesure de la profondeur du niveau hydrostatique.*

*Type de donnée : range*

## 6.4 Classe Contour\_Lines\_Hydro\_L

Dans la classe [Contour\\_Lines\\_Hydro\\_L](#) se trouvent les isohypses qui décrivent la surface d'une nappe d'eaux souterraine.

|   | Nom                                   | Type        | Description                          |
|---|---------------------------------------|-------------|--------------------------------------|
| 1 | <b>KIND</b><br>Cardinalité [1]        | subtype     | Type de l'objet et description.      |
| 2 | <b>CONFINE</b><br>Cardinalité [0..1]  | CodedDomain | État de la pression dans l'aquifère. |
| 3 | <b>ALTITUDE</b><br>Cardinalité [1]    |             | Valeur altimétrique des isohypses.   |
| 4 | <b>WA_TABLE</b><br>Cardinalité [0..1] | CodedDomain | Niveau des eaux.                     |

#### 6.4.1 Attribut KIND

*Type de l'objet et description.*

| GeolCode | Deutsch                               | Français                             |
|----------|---------------------------------------|--------------------------------------|
| 14001001 | Pcoh Isohypse des Grundwasserspiegels | isohypse de la surface piézométrique |

#### 6.4.2 Attribut CONFINE

*État de la pression dans l'aquifère*

| GeolCode | Deutsch        | Français       |
|----------|----------------|----------------|
| 14002003 | artesisch      | artésienne     |
| 14002001 | frei           | libre          |
| 14002002 | gespannt       | captive        |
| 999997   | Unknown        | inconnu        |
| 999998   | Not applicable | not applicable |

#### 6.4.3 Attribut ALTITUDE

*Valeur altimétrique des isohypses.*

#### 6.4.4 Attribut WA\_TABLE

*Niveau des eaux*

| GeolCode | Deutsch                               | Français                         |
|----------|---------------------------------------|----------------------------------|
| 14004002 | mittlere Höhe des Hochwasserstands    | altitude moyenne des hautes eaux |
| 14004001 | mittlere Höhe des Niedrigwasserstands | altitude moyenne des basses eaux |
| 999997   | Unknown                               | inconnu                          |
| 999998   | Not applicable                        | not applicable                   |

## 7 Thème ANTHROPOGENIC\_FEATURES

### 7.1 Classe Archaeology\_PT

La classe [Archaeology\\_PT](#) regroupe les sites archéologiques.

|   | Nom                                 | Type                        | Description                            |
|---|-------------------------------------|-----------------------------|--|
| 1 | <b>KIND</b><br>Cardinalité []       | subtype                     | Type de l'objet et description.        |
| 2 | <b>EPOCH</b><br>Cardinalité [0..1]  | <a href="#">CodedDomain</a> | Époque archéologique du type d'objet.  |
| 3 | <b>PERIOD</b><br>Cardinalité [0..1] | <a href="#">CodedDomain</a> | Période archéologique du type d'objet. |
| 4 | <b>AGE</b><br>Cardinalité [0..1]    | <a href="#">CodedDomain</a> | Âge archéologique du type d'objet.     |
| 5 | <b>TYPE</b><br>Cardinalité [0..1]   | <a href="#">CodedDomain</a> | Type de mégalithe.                     |

#### 7.1.1 Attribut KIND

*Type de l'objet et description.*

| GeolCode | Deutsch   | Français   |
|----------|---|--|
| 10101001 | archäologische Fundstelle, Anlage, Siedlungsreste | site archéologique, station, vestiges d'établissement                          |
| 10101002 | Höhlensiedlung, Abri                              | grotte, abri sous roche  |
| 10101003 | Pfahlbauten                                       | palafitte  |
| 10101004 | Burgstelle, Burghügel, Wachturm                   | motte, emplacement d'un ancien château, d'une fortification, d'un château-fort |
| 10101005 | Gräber, Gräberfeld                                | tombe, site mortuaire  |
| 10101006 | Steinplattengrab                                  | sépulture  |
| 10101007 | Grabhügel, Dolmengrab                             | tumulus, dolmen funéraire  |
| 10101008 | Kultstein   | mégalithe  |
| 10101009 | Kalkofen  | four à chaux   |
| 10101010 | Felsenkeller                                      | cave dans la roche   |
| 10101011 | Schlackenhalde                                    | crassier   |
| 10101012 | Glashütte   | verrerie   |
| 10101013 | Schmelzofen                                       | four à fer   |
| 10101015 | Abbaustelle                                       | exploitation   |

#### 7.1.2 Attribut EPOCH

*Époque archéologique du type d'objet*

| GeolCode | Deutsch       | Français      |
|----------|---------------|---------------|
| 10002001 | historisch    | historique    |
| 10002002 | prähistorisch | préhistorique |
| 999997   | Unknown       | inconnu       |

| GeolCode | Deutsch        | Français       |
|----------|----------------|----------------|
| 999998   | Not applicable | not applicable |

### 7.1.3 Attribut PERIOD

*Période archéologique du type d'objet*

| GeolCode | Deutsch        | Français         |
|----------|----------------|------------------|
| 10003005 | Bronzezeit     | âge du bronze    |
| 10003004 | Eisenzeit      | âge du fer       |
| 10003002 | Mittelalter    | Moyen Âge        |
| 10003001 | Neuzeit        | époque moderne   |
| 10003003 | Römerzeit      | époque romaine   |
| 10003006 | Steinzeit      | âge de la pierre |
| 999997   | Unknown        | inconnu          |
| 999998   | Not applicable | not applicable   |

### 7.1.4 Attribut AGE

*Âge archéologique du type d'objet*

| GeolCode | Deutsch          | Français       |
|----------|------------------|----------------|
| 10004005 | Altbronzezeit    | bronze précoce |
| 10004002 | Hallstattzeit    | Hallstatt      |
| 10004003 | Jungbronzezeit   | bronze tardif  |
| 10004001 | Latènezeit       | La Tène        |
| 10004007 | Mesolithikum     | mésolithique   |
| 10004004 | Mittelbronzezeit | bronze moyen   |
| 10004006 | Neolithikum      | néolithique    |
| 10004008 | Paläolithikum    | paléolithique  |
| 999997   | Unknown          | inconnu        |
| 999998   | Not applicable   | not applicable |

### 7.1.5 Attribut TYPE

*Type de mégalithe*

| GeolCode | Deutsch        | Français         |
|----------|----------------|------------------|
| 10105001 | Menhir         | menhir           |
| 10105002 | Schalenstein   | pierre à cupules |
| 999997   | Unknown        | inconnu          |
| 999998   | Not applicable | not applicable   |

## 7.2 Classe Archaeology\_L

La classe [Archaeology\\_L](#) contient les éléments archéologiques de forme linéaire. Les routes historiques, les chemins creux et les fossés de fortification font partie de cette classe.

|   | Nom                                 | Type        | Description                            |
|---|-------------------------------------|-------------|--|
| 1 | <b>KIND</b><br>Cardinalité []       | subtype     | Type de l'objet et description.        |
| 2 | <b>EPOCH</b><br>Cardinalité [0..1]  | CodedDomain | Époque archéologique du type d'objet.  |
| 3 | <b>PERIOD</b><br>Cardinalité [0..1] | CodedDomain | Période archéologique du type d'objet. |
| 4 | <b>AGE</b><br>Cardinalité [0..1]    | CodedDomain | Âge archéologique du type d'objet.     |

### 7.2.1 Attribut KIND

*Type de l'objet et description.*

| GeolCode | Deutsch                                   | Français                                 |
|----------|---|--|
| 10201001 | Verkehrsweg                               | voie de communication                    |
| 10201002 | Hohlweg                                   | chemin creux                             |
| 10201003 | künstlicher Graben,<br>Befestigungsgraben | fossé artificiel, fossé de fortification |
| 10201004 | künstlicher Erdwall                       | levée de terre artificielle              |
| 10201005 | Wasserleitung                             | aqueduc                                  |
| 10201006 | Steinreihe                                | alignement mégalithique                  |
| 10201007 | Schützengraben                            | tranchée                                 |

### 7.2.2 Attribut EPOCH

*Époque archéologique du type d'objet*

| GeolCode | Deutsch        | Français       |
|----------|----------------|----------------|
| 10002001 | historisch     | historique     |
| 10002002 | prähistorisch  | préhistorique  |
| 999997   | Unknown        | inconnu        |
| 999998   | Not applicable | not applicable |

### 7.2.3 Attribut PERIOD

*Période archéologique du type d'objet*

| GeolCode | Deutsch        | Français         |
|----------|----------------|------------------|
| 10003005 | Bronzezeit     | âge du bronze    |
| 10003004 | Eisenzeit      | âge du fer       |
| 10003002 | Mittelalter    | Moyen Âge        |
| 10003001 | Neuzeit        | époque moderne   |
| 10003003 | Römerzeit      | époque romaine   |
| 10003006 | Steinzeit      | âge de la pierre |
| 999997   | Unknown        | inconnu          |
| 999998   | Not applicable | not applicable   |

#### 7.2.4 Attribut AGE

Âge archéologique du type d'objet

| GeolCode | Deutsch          | Français       |
|----------|------------------|----------------|
| 10004005 | Altbronzezeit    | bronze précoce |
| 10004002 | Hallstattzeit    | Hallstatt      |
| 10004003 | Jungbronzezeit   | bronze tardif  |
| 10004001 | Latènezeit       | La Tène        |
| 10004007 | Mesolithikum     | mésolithique   |
| 10004004 | Mittelbronzezeit | bronze moyen   |
| 10004006 | Neolithikum      | néolithique    |
| 10004008 | Paläolithikum    | paléolithique  |
| 999997   | Unknown          | inconnu        |
| 999998   | Not applicable   | not applicable |

### 7.3 Classe Archaeology\_PLG

Dans la classe [Archaeology\\_PLG](#) se trouvent les vestiges archéologiques (p.ex. le Castrum romain) qui recouvrent une surface importante.

|   | Nom                                 | Type                        | Description                            |
|---|-------------------------------------|-----------------------------|--|
| 1 | <b>KIND</b><br>Cardinalité []       | subtype                     | Type de l'objet et description.        |
| 2 | <b>EPOCH</b><br>Cardinalité [0..1]  | <a href="#">CodedDomain</a> | Époque archéologique du type d'objet.  |
| 3 | <b>PERIOD</b><br>Cardinalité [0..1] | <a href="#">CodedDomain</a> | Période archéologique du type d'objet. |
| 4 | <b>AGE</b><br>Cardinalité [0..1]    | <a href="#">CodedDomain</a> | Âge archéologique du type d'objet.     |

#### 7.3.1 Attribut KIND

Type de l'objet et description.

| GeolCode | Deutsch                          | Français                         |
|----------|----------------------------------|----------------------------------|
| 10301001 | Castrum                          | castrum                          |
| 10301002 | Refugium, Höhensiedlung, Erdwerk | refugium, oppidum, fortification |

#### 7.3.2 Attribut EPOCH

Époque archéologique du type d'objet

| GeolCode | Deutsch        | Français       |
|----------|----------------|----------------|
| 10002001 | historisch     | historique     |
| 10002002 | prähistorisch  | préhistorique  |
| 999997   | Unknown        | inconnu        |
| 999998   | Not applicable | not applicable |

| GeolCode | Deutsch | Français |
|----------|---------|----------|
|----------|---------|----------|

### 7.3.3 Attribut PERIOD

*Période archéologique du type d'objet*

| GeolCode | Deutsch        | Français         |
|----------|----------------|------------------|
| 10003005 | Bronzezeit     | âge du bronze    |
| 10003004 | Eisenzeit      | âge du fer       |
| 10003002 | Mittelalter    | Moyen Âge        |
| 10003001 | Neuzeit        | époque moderne   |
| 10003003 | Römerzeit      | époque romaine   |
| 10003006 | Steinzeit      | âge de la pierre |
| 999997   | Unknown        | inconnu          |
| 999998   | Not applicable | not applicable   |

### 7.3.4 Attribut AGE

*Âge archéologique du type d'objet*

| GeolCode | Deutsch          | Français       |
|----------|------------------|----------------|
| 10004005 | Altbronzezeit    | bronze précoce |
| 10004002 | Hallstattzeit    | Hallstatt      |
| 10004003 | Jungbronzezeit   | bronze tardif  |
| 10004001 | Latènezeit       | La Tène        |
| 10004007 | Mesolithikum     | mésolithique   |
| 10004004 | Mittelbronzezeit | bronze moyen   |
| 10004006 | Neolithikum      | néolithique    |
| 10004008 | Paläolithikum    | paléolithique  |
| 999997   | Unknown          | inconnu        |
| 999998   | Not applicable   | not applicable |

## 7.4 Classe Exploitation\_Geomaterials\_PT

La classe [Exploitation\\_Geomaterials\\_PT](#) contient des informations ponctuelles sur les sites d'exploitation de matériaux géologiques.

|   | Nom                                    | Type                        | Description  |
|---|--|-----------------------------|--|
| 1 | <b>KIND</b><br>Cardinalité []          | subtype                     | Type de l'objet et description.                                  |
| 2 | <b>EXP_UNIT</b><br>Cardinalité [0..*]  | <a href="#">Table</a>       | Unité lithostratigraphique exploitée.                            |
| 3 | <b>STATUS</b><br>Cardinalité [0..1]    | <a href="#">CodedDomain</a> | État de l'exploitation.  |
| 4 | <b>DEPTH_TOT</b><br>Cardinalité [0..1] | float                       | Profondeur totale du type d'objet (en mètres depuis la surface). |
| 5 | <b>TARG_MAT</b>                        | <a href="#">CodedDomain</a> | Matériau exploité..  |



| Nom                | Type | Description |
|--------------------|------|-------------|
| Cardinalité [0..1] |      |             |

#### 7.4.1 Attribut KIND

Type de l'objet et description.

| GeolCode | Deutsch                                | Français   |
|----------|--|--|
| 10601001 | Bergwerk, Untertageabbau               | mine, exploitation souterraine                                 |
| 10601002 | Stolleneingang                         | entrée de galerie  |
| 10601003 | Schacht                                | puits de mine  |
| 10601004 | Pinge (dolinenartiger Stolleneinbruch) | fontis (effondrement de surface lié à des travaux souterrains) |
| 10601005 | Schürfloch                             | trace d'exploitation en surface                                |
| 10601006 | ausgeräumte Bohnerztasche              | poche sidérolithique vidée                                     |

#### 7.4.2 Attribut EXP\_UNIT

Unité lithostratigraphique exploitée

Voir [GC\\_LITSTRAT\\_BED\\_CD](#) dans l'annexe

#### 7.4.3 Attribut STATUS

État de l'exploitation

| GeolCode | Deutsch        | Français        |
|----------|----------------|-----------------|
| 10603003 | aufgefüllt     | comblé          |
| 10603001 | in Betrieb     | en exploitation |
| 10603002 | stillgelegt    | abandonné       |
| 10603004 | verfallen      | effondré        |
| 999997   | Unknown        | inconnu         |
| 999998   | Not applicable | not applicable  |

#### 7.4.4 Attribut DEPTH\_TOT

Profondeur totale du type d'objet (en mètres depuis la surface).

Type de donnée : float

#### 7.4.5 Attribut TARG\_MAT

Matériau exploité.

| GeolCode | Deutsch           | Français                |
|----------|-------------------|-------------------------|
| 10605010 | Antimon           | antimoine               |
| 10605023 | Asbest            | asbeste / amiante       |
| 10605029 | Asphalt / Bitumen | asphalte / bitume       |
| 10605011 | Baryt             | barytine                |
| 10605006 | Blei-Zink         | plomb-zinc              |
| 10605022 | Bohnerz           | pisolites ferrugineuses |

| GeolCode | Deutsch                                   | Français  |
|----------|---|---|
| 10605007 | Chrom-Nickel, z.T. mit Kobalt             | chrome-nickel, partiellement avec cobalt              |
| 10605031 | Dachschiefer / Tafelschiefer              | ardoise, schiste ardoisier                            |
| 10605005 | Eisen / Eisenoolith                       | fer / oolite ferrugineuse                             |
| 10605001 | Erze allgemein                            | minerais en général                                   |
| 10605013 | Fluorit                                   | fluorite  |
| 10605034 | Gips                                      | gypse   |
| 10605002 | Gold                                      | or  |
| 10605027 | Graphit                                   | graphite  |
| 10605030 | Hartgestein                               | roche dure  |
| 10605012 | Kalzit                                    | calcite   |
| 10605015 | Kaolin                                    | kaolin  |
| 10605040 | Kies                                      | gravier   |
| 10605024 | Kohle allgemein                           | charbon en général                                    |
| 10605004 | Kupfer, z.T. mit Silber, Wismut und Arsen | cuivre, partiellement avec argent, bismuth et arsenic |
| 10605026 | Lignit                                    | lignite   |
| 10605016 | Magnesit                                  | magnésite   |
| 10605017 | Magnesium                                 | magnésium   |
| 10605008 | Mangan                                    | manganèse   |
| 10605009 | Molybdän und Wolfram                      | molybdène et tungstène                                |
| 10605028 | Ölschiefer                                | schiste bitumineux                                    |
| 10605018 | Phosphorit, Apatit                        | phosphorite, apatite                                  |
| 10605039 | Pyrit                                     | pyrite  |
| 10605014 | Quarz                                     | quartz  |
| 10605035 | Salz / Steinsalz                          | sel / halite  |
| 10605037 | Sand                                      | sable   |
| 10605038 | Sand und Kies                             | sable et gravier                                      |
| 10605020 | Schwefel                                  | soufre  |
| 10605032 | Serpentin                                 | serpentine  |
| 10605003 | Silber                                    | argent  |
| 10605033 | Speckstein                                | stéatite  |
| 10605025 | Steinkohle / Anthrazit                    | houille / anthracite                                  |
| 10605019 | Talk                                      | talc  |
| 10605036 | Ton / Ton und Silt (Lehm)                 | argile / argile et silt (limon)                       |
| 10605021 | Uran                                      | uranium   |
| 999997   | Unknown                                   | inconnu   |
| 999998   | Not applicable                            | not applicable  |

## 7.5 Classe Exploitation\_Geomaterials\_L

La classe [Exploitation\\_Geomaterials\\_L](#) contient les objets de forme linéaire liés aux sites d'exploitation de matériaux géologiques (p.ex. le front de taille).

|   | Nom                                 | Type                        | Description                     |
|---|-------------------------------------|-----------------------------|---------------------------------|
| 1 | <b>KIND</b><br>Cardinalité []       | subtype                     | Type de l'objet et description. |
| 2 | <b>STATUS</b><br>Cardinalité [0..1] | <a href="#">CodedDomain</a> | État de l'exploitation.         |

### 7.5.1 Attribut KIND

*Type de l'objet et description.*

| GeolCode | Deutsch          | Français             |
|----------|------------------|----------------------|
| 10701001 | Abbaufont        | front d'exploitation |
| 10701002 | Bergwerksstollen | galerie de mine      |

### 7.5.2 Attribut STATUS

*État de l'exploitation*

| GeolCode | Deutsch        | Français        |
|----------|----------------|-----------------|
| 10702003 | aufgefüllt     | comblé          |
| 10702001 | in Betrieb     | en exploitation |
| 10702002 | stillgelegt    | abandonné       |
| 10702004 | verfallen      | effondré        |
| 999997   | Unknown        | inconnu         |
| 999998   | Not applicable | not applicable  |

## 7.6 Classe Exploitation\_Geomaterials\_PLG

La classe [Exploitation\\_Geomaterials\\_PLG](#) contient les surfaces d'exploitation de géomatériaux, telles qu'elles étaient au moment du levé de la carte géologique.

|   | Nom                                    | Type                        | Description  |
|---|--|-----------------------------|--|
| 1 | <b>KIND</b><br>Cardinalité []          | subtype                     | Type de l'objet et description.                                  |
| 2 | <b>EXP_UNIT</b><br>Cardinalité [1..*]  | <a href="#">Table</a>       | Unité lithostratigraphique exploitée.                            |
| 3 | <b>STATUS</b><br>Cardinalité [0..1]    | <a href="#">CodedDomain</a> | État de l'exploitation.  |
| 4 | <b>DEPTH_TOT</b><br>Cardinalité [0..1] | float                       | Profondeur totale du type d'objet (en mètres depuis la surface). |
| 5 | <b>TARG_MAT</b><br>Cardinalité [0..1]  | <a href="#">CodedDomain</a> | Matériel exploité..  |

### 7.6.1 Attribut KIND

*Type de l'objet et description.*

| GeolCode | Deutsch                     | Français                          |
|----------|-----------------------------|-----------------------------------|
| 10801001 | Steinbruch                  | carrière                          |
| 10801002 | Grube (Lockergesteinsabbau) | exploitation de matériaux meubles |

### 7.6.2 Attribut EXP\_UNIT

*Unité lithostratigraphique exploitée*

Voir [GC\\_LITSTRAT\\_BED\\_CD](#) dans l'annexe

### 7.6.3 Attribut STATUS

*État de l'exploitation*

| GeolCode | Deutsch        | Français        |
|----------|----------------|-----------------|
| 10802003 | aufgefüllt     | comblé          |
| 10802001 | in Betrieb     | en exploitation |
| 10802002 | stillgelegt    | abandonné       |
| 10802004 | verfallen      | effondré        |
| 999997   | Unknown        | inconnu         |
| 999998   | Not applicable | not applicable  |

### 7.6.4 Attribut DEPTH\_TOT

*Profondeur totale du type d'objet (en mètres depuis la surface).*

*Type de donnée : float*

### 7.6.5 Attribut TARG\_MAT

*Matériel exploité.*

| GeolCode | Deutsch                      | Français                        |
|----------|------------------------------|---------------------------------|
| 10804015 | Asbest                       | asbeste / amiante               |
| 10804010 | Baryt                        | barite                          |
| 10804016 | Bohnerz                      | pisolites ferrugineuses         |
| 10804005 | Dachschiefer / Tafelschiefer | ardoise, schiste ardoisier      |
| 10804012 | Eisen / Eisenoolithe         | fer / oolite ferrugineuse       |
| 10804006 | Gips                         | gypse                           |
| 10804004 | Hartgestein                  | roche dure                      |
| 10804011 | Kalzit / Kalk                | calcite / calcaire              |
| 10804013 | Kaolin                       | kaolin                          |
| 10804021 | Kies                         | gravier                         |
| 10804019 | Kohle                        | charbon                         |
| 10804018 | Mergel                       | marne                           |
| 10804014 | Quarz / Quarzit              | quartz / quartzite              |
| 10804020 | Salz / Steinsalz             | sel                             |
| 10804002 | Sand                         | sable                           |
| 10804003 | Sand und Kies                | sable et gravier                |
| 10804007 | Serpentin                    | serpentine                      |
| 10804008 | Speckstein                   | stéatite                        |
| 10804009 | Talk                         | talc                            |
| 10804001 | Ton / Ton und Silt (Lehm)    | argile / argile et silt (limon) |
| 10804017 | Torf                         | tourbe                          |
| 999997   | Unknown                      | inconnu                         |
| 999998   | Not applicable               | not applicable                  |

## 7.7 Classe Boreholes\_PT

La classe [Boreholes\\_PT](#) regroupe les forages et les sondages. (Sur les anciennes cartes imprimées, le genre d'objet n'était pas toujours distingué. D'ailleurs, il se peut que sur les anciennes cartes, les sondages par carottier battu aient été classés en tant que forages.)

|   | Nom                                   | Type    | Description  |
|---|---------------------------------------|---------|--|
| 1 | <b>KIND</b><br>Cardinalité []         | subtype | Type de l'objet et description.                      |
| 2 | <b>DRILL_MO</b><br>Cardinalité [0..1] | 10502   | Mode du forage.                                      |
| 3 | <b>DEPTH_BEDROCK</b>                  | float   | Profondeur de la roche en place (en mètres depuis la |

surface). (Si l'ouvrage n'atteint pas la roche en place, par exemple forage interrompu dans la couverture quaternaire, la valeur est -999, au cas où le forage commence déjà dans la roche en place la valeur est 0) | Cardinalité [0..1] || 4 | **D\_C\_UNDERG** | boolean | Forage réalisé à partir d'une galerie (oui / non)? | Cardinalité [1] || 5 | **MAIN\_TAR** | [CodedDomain](#) | But principal du sondage. | Cardinalité [0..1] | | 6 | **TARG\_MAT** | [CodedDomain](#) | Matériau cible du sondage. | Cardinalité [0..1] | | 7 | **DEPTH\_TOT** | float | Profondeur totale du type d'objet (en mètres depuis la surface). | Cardinalité [0..1] || 8 | **FM\_A** | [Table](#) | Unité lithostratigraphique de la formation A atteinte. | Cardinalité [0..1] | 9 | **DEPTH\_FM\_A** | float | Profondeur relative à la formation A atteinte (en mètres depuis la surface). | Cardinalité [0..1] || 10 | **FM\_B** | [Table](#) | Unité lithostratigraphique de la formation B atteinte. | Cardinalité [0..1] | 11 | **DEPTH\_FM\_B** | float | Profondeur de la formation B atteinte (en mètres depuis la surface). | Cardinalité [0..1] || 12 | **DEPTH\_WT** | float | Profondeur (m depuis la surface) de la nappe phréatique (valeur moyenne). | Cardinalité [0..1] || 13 | **AZIMUTH** | integer | Azimut du type d'objet. L'azimut est mesuré depuis le nord en degré de 0° à 359° dans le sens des aiguilles d'une montre | Cardinalité [0..1] || 14 | **DIP** | integer | Valeur du plongement du type d'objet (en degrés), mesurée de l'horizontale (0°) vers le bas jusqu'à la verticale (90°) | Cardinalité [0..1] || 15 | **REF\_NUMBER** | integer | Numéro de référence du type d'objet dans un document annexé (notice explicative,...). | Cardinalité [0..1] ||

### 7.7.1 Attribut KIND

Type de l'objet et description.

| GeolCode | Deutsch            | Français                              |
|----------|--------------------|---------------------------------------|
| 10501001 | Bohrung            | forage                                |
| 10501002 | Sondierschlitz     | fouille ou tranchée de reconnaissance |
| 10501003 | Handsondierung     | sondage à la tarière                  |
| 10501004 | Rammsondierung     | sondage au pénétromètre               |
| 10501005 | Rammkernsondierung | sondage par carottier battu           |

### 7.7.2 Attribut DRILL\_MO

Mode du forage.

### 7.7.3 Attribut DEPTH\_BEDROCK

Profondeur de la roche en place (en mètres depuis la surface). (Si l'ouvrage n'atteint pas la roche en place, par exemple forage interrompu dans la couverture quaternaire, la valeur est -999, au cas où le forage commence déjà dans la roche en place la valeur est 0)

Type de donnée : float

#### 7.7.4 Attribut D\_C\_UNDERG

Forage réalisé à partir d'une galerie (oui / non)?

Type de donnée : boolean

#### 7.7.5 Attribut MAIN\_TAR

But principal du sondage

| GeolCode | Deutsch                | Français                     |
|----------|------------------------|------------------------------|
| 10505006 | belasteter Standort    | site pollué                  |
| 10505012 | Forschung              | recherche                    |
| 10505001 | Geotechnik             | géotechnique                 |
| 10505008 | Geothermie             | géothermique                 |
| 10505002 | Hydrogeologie          | hydrogéologique              |
| 10505005 | Kohlenwasserstoffe     | hydrocarbures                |
| 10505004 | mineralische Rohstoffe | matières premières minérales |
| 10505013 | Naturgefahren          | dangers naturels             |
| 10505007 | Seismik                | sismique                     |
| 999997   | Unknown                | inconnu                      |
| 999998   | Not applicable         | not applicable               |

#### 7.7.6 Attribut TARG\_MAT

Matériau cible du sondage

| GeolCode | Deutsch          | Français             |
|----------|------------------|----------------------|
| 10506003 | Erdgas           | gaz naturel          |
| 10506002 | Erdöl            | pétrole              |
| 10506004 | Erdwärme         | énergie géothermique |
| 10506006 | Grundwasser      | eau souterraine      |
| 10506007 | Mineralwasser    | eau minérale         |
| 10506001 | Salz / Steinsalz | sel / halite         |
| 10506005 | Thermalwasser    | eau thermale         |
| 999997   | Unknown          | inconnu              |
| 999998   | Not applicable   | not applicable       |

#### 7.7.7 Attribut DEPTH\_TOT

Profondeur totale du type d'objet (en mètres depuis la surface).

Type de donnée : float

#### 7.7.8 Attribut FM\_A

Unité lithostratigraphique de la formation A atteinte

Voir [GC\\_LITSTRAT\\_BED\\_CD](#) dans l'annexe

#### 7.7.9 Attribut DEPTH\_FM\_A

Profondeur relative à la formation A atteinte (en mètres depuis la surface).

Type de donnée : float

#### 7.7.10 Attribut FM\_B

Unité lithostratigraphique de la formation B atteinte

Voir [GC\\_LITSTRAT\\_BED\\_CD](#) dans l'annexe

#### 7.7.11 Attribut DEPTH\_FM\_B

Profondeur de la formation B atteinte (en mètres depuis la surface).

Type de donnée : float

#### 7.7.12 Attribut DEPTH\_WT

Profondeur (m depuis la surface) de la nappe phréatique (valeur moyenne).

Type de donnée : float

#### 7.7.13 Attribut AZIMUTH

Azimut du type d'objet. L'azimut est mesuré depuis le nord en degré de 0° à 359° dans le sens des aiguilles d'une montre

Type de donnée : integer

#### 7.7.14 Attribut DIP

Valeur du plongement du type d'objet (en degrés), mesurée de l'horizontale (0°) vers le bas jusqu'à la verticale (90°)

Type de donnée : integer

#### 7.7.15 Attribut REF\_NUMBER

Numéro de référence du type d'objet dans un document annexé (notice explicative,...).

Type de donnée : integer

### 7.8 Classe Artificial\_Surface\_Modifications\_PLG

None

|   | Nom                            | Type    | Description                     |
|---|--------------------------------|---------|---------------------------------|
| 1 | <b>KIND</b><br>Cardinalité [1] | subtype | Type de l'objet et description. |

#### 7.8.1 Attribut KIND

Type de l'objet et description.

| GeolCode | Deutsch                                   | Français                           |
|----------|---|------------------------------------|
| 10401001 | künstlich verändertes Gelände             | terrain modelé artificiellement    |
| 10401002 | künstliche Ablagerung,<br>undifferenziert | dépôts artificiels, indifférenciés |
| 10401003 | Aufschüttung, Damm                        | remblai, digue                     |
| 10401004 | Auffüllung                                | remplissage                        |

| GeolCode | Deutsch | Français |
|----------|---------|----------|
| 10401005 | Deponie | décharge |
| 10401006 | Halde   | terril   |

## 8 Thème HYDROGEOLOGY

### 8.1 Classe Construction\_PT

Dans la classe [Construction\\_PT](#) se trouvent les constructions hydriques, comme les captages dans la nappe phréatique et les citernes. Les instruments de mesure comme les piézomètres et les limnigraphes appartiennent également à cette classe.

|   | Nom                                     | Type                        | Description   |
|---|---|-----------------------------|---|
| 1 | <b>KIND</b><br>Cardinalité [1]          | subtype                     | Type de l'objet et description.   |
| 2 | <b>STATUS</b><br>Cardinalité [0..1]     | <a href="#">CodedDomain</a> | État du type d'objet..  |
| 3 | <b>EPOCH</b><br>Cardinalité [0..1]      | <a href="#">CodedDomain</a> | Époque de construction du type d'objet.                                   |
| 4 | <b>DEPTH</b><br>Cardinalité [0..1]      | float                       | Profondeur du type d'objet.   |
| 5 | <b>DEPTH_WT</b><br>Cardinalité [0..1]   | float                       | Profondeur (m depuis la surface) de la nappe phréatique (valeur moyenne). |
| 6 | <b>MEA_PERIOD</b><br>Cardinalité [0..1] | range                       | Période de mesure de la profondeur du niveau hydrostatique.               |

#### 8.1.1 Attribut KIND

*Type de l'objet et description.*

| GeolCode | Deutsch                                   | Français                         |
|----------|---|----------------------------------|
| 12101001 | Grundwasserfassung                        | captage dans la nappe phréatique |
| 12101002 | Zisterne                                  | citerne                          |
| 12101003 | laufender Brunnen (in wasserarmem Gebiet) | fontaine (en région sèche)       |
| 12101004 | Sodbrunnen                                | puits                            |
| 12101005 | Versickerungsschacht                      | puits d'infiltration             |
| 12101006 | Limnigraph                                | limnigraphe                      |
| 12101007 | Piezometer                                | piézomètre                       |

#### 8.1.2 Attribut STATUS

*État du type d'objet.*



| GeolCode | Deutsch        | Français       |
|----------|----------------|----------------|
| 12102001 | in Betrieb     | en activité    |
| 12102002 | stillgelegt    | abandonné      |
| 999997   | Unknown        | inconnu        |
| 999998   | Not applicable | not applicable |

### 8.1.3 Attribut EPOCH

*Époque de construction du type d'objet*

| GeolCode | Deutsch        | Français       |
|----------|----------------|----------------|
| 12103001 | Mittelalter    | Moyen Âge      |
| 12103003 | prähistorisch  | préhistorique  |
| 12103002 | Römerzeit      | époque romaine |
| 999997   | Unknown        | inconnu        |
| 999998   | Not applicable | not applicable |

### 8.1.4 Attribut DEPTH

*Profondeur du type d'objet.*

*Type de donnée : float*

### 8.1.5 Attribut DEPTH\_WT

*Profondeur (m depuis la surface) de la nappe phréatique (valeur moyenne).*

*Type de donnée : float*

### 8.1.6 Attribut MEA\_PERIOD

*Période de mesure de la profondeur du niveau hydrostatique.*

*Type de donnée : range*

## 8.2 Classe Construction\_L

Dans la classe [Construction\\_L](#) se trouvent les constructions hydriques de forme linéaire comme les galeries de captage d'eau, qui peuvent être combinées avec les types d'objets de la classe [Surface\\_Water\\_PT](#).

|   | Nom                            | Type                        | Description   |
|---|--------------------------------|-----------------------------|---|
| 1 | <b>KIND</b><br>Cardinalité [1] | subtype                     | Type de l'objet et description.                     |
| 2 | <b>COMBI</b>                   | <a href="#">CodedDomain</a> | Type d'objet d'une autre classe avec lequel le type |

d'objet peut être combiné. | Cardinalité [0..1] | |

### 8.2.1 Attribut KIND

Type de l'objet et description.

| GeolCode | Deutsch                  | Français                 |
|----------|--------------------------|--------------------------|
| 12201001 | Wasserfassungsstollen    | galerie de captage d'eau |
| 12201002 | künstlicher Gewässerlauf | écoulement artificiel    |

### 8.2.2 Attribut COMBI

Type d'objet d'une autre classe avec lequel le type d'objet peut être combiné

| GeolCode | Deutsch   | Français   |
|----------|---|--|
| 12202002 | mit gefasster Mineralquelle (orientiert) in Stollen | avec source minérale (orientée) captée en galerie  |
| 12202003 | mit gefasster Thermalquelle (orientiert) in Stollen | avec source thermique (orientée) captée en galerie |
| 12202001 | mit Quelfassung (orientiert) in Stollen             | avec captage (orienté) en galerie                  |
| 999997   | Unknown   | inconnu  |
| 999998   | Not applicable                                      | not applicable                                     |

## 8.3 Classe Palaeohydrology\_L

La classe [Palaeohydrology\\_L](#) contient tous les types d'objets de forme linéaire, indiquant le tracé d'un cours d'eau dans le passé.

|   | Nom                                      | Type                        | Description  |
|---|--|-----------------------------|--|
| 1 | <b>KIND</b><br>Cardinalité [1]           | subtype                     | Type de l'objet et description.                              |
| 2 | <b>REL_AGE</b><br>Cardinalité [0..1]     | <a href="#">CodedDomain</a> | Age relatif du type d'objet.                                 |
| 3 | <b>HPAL_CHRONO</b><br>Cardinalité [0..1] | <a href="#">Table</a>       | Attribution chronostratigraphique.                           |
| 4 | <b>REF_YEAR</b><br>Cardinalité [1]       | integer                     | Année de référence de l'ancienne ligne de rivage.            |
| 5 | <b>SOURCE</b><br>Cardinalité [0..1]      | string                      | Source des données déduites à partir de données historiques. |

### 8.3.1 Attribut KIND

Type de l'objet et description.

| GeolCode | Deutsch                          | Français                           |
|----------|----------------------------------|------------------------------------|
| 12301001 | Paläotal                         | axe de paléovallée                 |
| 12301002 | ehemalige Entwässerungsrinne     | ancien chenal                      |
| 12301003 | ehemalige glaziale Abflusssrinne | axe d'un ancien effluent glaciaire |

| GeolCode | Deutsch                          | Français                             |
|----------|----------------------------------|--------------------------------------|
| 12301004 | Trockental                       | vallée sèche                         |
| 12301005 | ehemaliges Bachbett              | ancien lit de cours d'eau (ruisseau) |
| 12301006 | Ufer eines ehemaligen Flussbetts | rive d'un ancien lit de cours d'eau  |
| 12301007 | ehemalige Uferlinie              | ancienne ligne de rivage             |

### 8.3.2 Attribut REL\_AGE

*Age relatif du type d'objet*

| GeolCode | Deutsch                    | Français                                   |
|----------|----------------------------|--|
| 12302002 | älter als die Jüngste      | plus ancienne que la plus récente          |
| 12302003 | älter als die Zweitjüngste | plus ancienne que la deuxième plus récente |
| 12302001 | die Jüngste oder Einzige   | la plus récente ou la seule                |
| 999997   | Unknown                    | inconnu                                    |
| 999998   | Not applicable             | not applicable                             |

### 8.3.3 Attribut HPAL\_CHRONO

*Attribution chronostratigraphique*

Voir [GC\\_CHRONO\\_CD](#) dans l'annexe

### 8.3.4 Attribut REF\_YEAR

*Année de référence de l'ancienne ligne de rivage.*

*Type de donnée : integer*

### 8.3.5 Attribut SOURCE

*Source des données déduites à partir de données historiques.*

*Type de donnée : string*

## 8.4 Classe Subsurface\_Water\_L

Dans la classe [Subsurface\\_Water\\_L](#) se trouvent les objets de forme linéaire qui représentent les cours d'eau souterrains. Le parcours exact des cours d'eau souterrains est presque toujours supposé. Il est déduit à partir de quelques données d'études de systèmes de captage. Les essais de traçage seront mentionnées dans la notice explicative, lorsqu'elle existe. Les cours d'eau souterrains peuvent être combinés avec les objets de la classe [Surface\\_Water\\_PT](#).

|   | Nom                            | Type                        | Description   |
|---|--------------------------------|-----------------------------|---|
| 1 | <b>KIND</b><br>Cardinalité [1] | subtype                     | Type de l'objet et description.                     |
| 2 | <b>COMBI</b>                   | <a href="#">CodedDomain</a> | Type d'objet d'une autre classe avec lequel le type |

d'objet peut être combiné. | Cardinalité [0..1] | |

#### 8.4.1 Attribut KIND

Type de l'objet et description.

| GeolCode | Deutsch                     | Français              |
|----------|-----------------------------|-----------------------|
| 12401001 | unterirdischer Gewässerlauf | écoulement souterrain |

#### 8.4.2 Attribut COMBI

Type d'objet d'une autre classe avec lequel le type d'objet peut être combiné

| GeolCode | Deutsch  | Français                                  |
|----------|--|---|
| 12402001 | mit Versickerungsstelle eines Baches               | avec perte d'un cours d'eau               |
| 12402002 | mit Wiederaustritt eines unterirdischen Bachlaufes | avec résurgence d'une rivière souterraine |
| 999997   | Unknown  | inconnu                                   |
| 999998   | Not applicable                                     | not applicable                            |

### 8.5 Classe Surface\_Water\_PT

La classe [Surface\\_Water\\_PT](#) comprend les eaux de surface locales (ponctuelles) comme les sources et les pertes d'un cours d'eau. On y trouve également des types d'objets particuliers comme les cascades et les rapides, lesquels marquent des positions spécifiques du cours d'eau qui sont à relier avec la géologie sous-jacente. Une source est décrite comme «source thermique» lorsque l'eau y atteint une température annuelle moyenne  $\geq 20^{\circ}\text{C}$ . L'attribut «Temp» est associé à ce type de source et se limite en règle générale à la température moyenne de l'eau. Par conséquent aucune donnée d'analyse chimique n'est indiquée pour cet attribut. Par «source minérale», on entend une source avec une concentration minérale dans l'eau  $\geq 1\text{g/l}$  ou une concentration en  $\text{CO}_2 \geq 250\text{mg/l}$ . L'attribut «Chemistry» est associé à ce type de source. Il indique l'élément caractéristique principal de l'eau minérale et non le chimisme complet de l'eau

|   | Nom                                   | Type                        | Description  |
|---|---------------------------------------|-----------------------------|--|
| 1 | <b>KIND</b><br>Cardinalité [1]        | subtype                     | Type de l'objet et description.  |
| 2 | <b>STATUS</b><br>Cardinalité [0..1]   | <a href="#">CodedDomain</a> | État du type d'objet.  |
| 3 | <b>FLOW_CON</b><br>Cardinalité [0..1] | <a href="#">CodedDomain</a> | Condition d'écoulement.  |
| 4 | <b>TYPE</b><br>Cardinalité [0..1]     | <a href="#">CodedDomain</a> | Caractéristique du type d'objet.   |
| 5 | <b>DIS_LOCA</b><br>Cardinalité [0..1] | <a href="#">CodedDomain</a> | Lieu d'écoulement.   |
| 6 | <b>COMBI</b><br>Cardinalité [0..1]    | <a href="#">CodedDomain</a> | Type d'objet d'une autre classe avec lequel le type d'objet peut être combiné. |
| 7 | <b>TEMP</b><br>Cardinalité [0..1]     | integer                     | Température moyenne ( $^{\circ}\text{C}$ ) de l'eau.                           |

|   | Nom                | Type    | Description   |
|---|--------------------|---------|---|
| 8 | <b>CHEMISTRY</b>   | string  | Element chimique caractéristique dans l'eau minérale.   |
|   | Cardinalité [0..1] |         |   |
| 9 | <b>AZIMUTH</b>     | integer | Azimut du type d'objet.<br>L'azimut est mesuré depuis le nord en degré de 0° à 359° dans le sens des aiguilles d'une montre |
|   | Cardinalité [0..1] |         |   |

#### 8.5.1 Attribut KIND

Type de l'objet et description.

| GeolCode | Deutsch  | Français                             |
|----------|--|--------------------------------------|
| 12501001 | Quelle   | source                               |
| 12501002 | diffuse Quelle                                 | source diffuse                       |
| 12501003 | Wiederaustritt eines unterirdischen Bachlaufes | résurgence d'une rivière souterraine |
| 12501004 | Versickerungsstelle eines Baches               | perte d'un cours d'eau               |
| 12501005 | Steilstufe in Bachrinne, Wasserfall            | rapide d'un cours d'eau, cascade     |
| 12501006 | Grundwasseraufstoss                            | résurgence des eaux souterraines     |

#### 8.5.2 Attribut STATUS

État du type d'objet

| GeolCode | Deutsch        | Français       |
|----------|----------------|----------------|
| 12502001 | gefasst        | captée         |
| 12502002 | nicht gefasst  | non captée     |
| 999997   | Unknown        | inconnu        |
| 999998   | Not applicable | not applicable |

#### 8.5.3 Attribut FLOW\_CON

Condition d'écoulement

| GeolCode | Deutsch        | Français       |
|----------|----------------|----------------|
| 12503001 | perennierend   | perenne        |
| 12503002 | temporär       | temporaire     |
| 12503003 | versiegt       | tarie          |
| 999997   | Unknown        | inconnu        |
| 999998   | Not applicable | not applicable |

#### 8.5.4 Attribut TYPE

Caractéristique du type d'objet

| GeolCode | Deutsch        | Français       |
|----------|----------------|----------------|
| 12504001 | Karstquelle    | karstique      |
| 12504002 | Mineralquelle  | minérale       |
| 12504003 | Thermalquelle  | thermale       |
| 999997   | Unknown        | inconnu        |
| 999998   | Not applicable | not applicable |

#### 8.5.5 Attribut DIS\_LOCA

*Lieu d'écoulement*

| GeolCode | Deutsch        | Français       |
|----------|----------------|----------------|
| 12505002 | in Stollen     | en galerie     |
| 999997   | Unknown        | inconnu        |
| 999998   | Not applicable | not applicable |

#### 8.5.6 Attribut COMBI

*Type d'objet d'une autre classe avec lequel le type d'objet peut être combiné*

| GeolCode | Deutsch                         | Français                      |
|----------|---------------------------------|-------------------------------|
| 12506002 | mit unterirdischem Gewässerlauf | avec écoulement souterrain    |
| 12506001 | mit Wasserfassungsstollen       | avec galerie de captage d'eau |
| 999997   | Unknown                         | inconnu                       |
| 999998   | Not applicable                  | not applicable                |

#### 8.5.7 Attribut TEMP

*Température moyenne (°C) de l'eau.*

*Type de donnée : integer*

#### 8.5.8 Attribut CHEMISTRY

*Element chimique caractéristique dans l'eau minérale.*

*Type de donnée : string*

#### 8.5.9 Attribut AZIMUTH

*Azimut du type d'objet. L'azimut est mesuré depuis le nord en degré de 0° à 359° dans le sens des aiguilles d'une montre*

*Type de donnée : integer*

### 8.6 Classe Surface\_Water\_L

Dans la classe [Surface\\_Water\\_L](#) sont décrit les niveaux de sources (de forme linéaire)

|   | Nom                            | Type    | Description                     |
|---|--------------------------------|---------|---------------------------------|
| 1 | <b>KIND</b><br>Cardinalité [1] | subtype | Type de l'objet et description. |

| Nom | Type | Description |
|-----|------|-------------|
|-----|------|-------------|

### 8.6.1 Attribut KIND

Type de l'objet et description.

| GeolCode | Deutsch       | Français  |
|----------|---------------|---|
| 12601001 | Quellhorizont | niveau de sources, déversement de la nappe phréatique |
| 12601002 | Bachlauf      | ruisseau  |

## 8.7 Classe Surface\_Water\_PLG

La classe [Surface\\_Water\\_PLG](#) regroupe toutes les accumulations d'eaux superficielles comme les glaciers, les lacs et les rivières qui masquent les unités géologiques sous-jacentes. Le modèle complet du réseau hydrique ne fait pas partie du Modèle de données géologiques.

| Nom                              | Type    | Description                     |
|----------------------------------|---------|---------------------------------|
| 1 <b>KIND</b><br>Cardinalité [1] | subtype | Type de l'objet et description. |

### 8.7.1 Attribut KIND

Type de l'objet et description.

| GeolCode | Deutsch   | Français |
|----------|-----------|----------|
| 12701001 | Gletscher | glacier  |
| 12701002 | See       | lac      |
| 12701003 | Fluss     | rivière  |

## 9 Annexe GC\_LITSTRAT\_BED\_CD

Table des valeurs des unités lithostratigraphiques

| GeolCode | Deutsch                          | Français                           |
|----------|----------------------------------|------------------------------------|
| 15204121 | «Ältere Orthogneise»             | «Ältere Orthogneise»               |
| 15203300 | «Arblatsch-Flysch»               | «Arblatsch-Flysch»                 |
| 15203302 | «Arblatsch-Konglomerat»          | «Arblatsch-Konglomerat»            |
| 15202417 | «Basaler Quarzit» (Coroi-Fm.)    | «Quartzite de base» (Fm. du Coroi) |
| 15202437 | «Calcaire à ciment» (Bifé-Fm.)   | «Calcaire ciment» (Fm. de Bifé)    |
| 15202428 | «Calcaire siliceux brunâtre»     | «Calcaire siliceux brunâtre»       |
| 15200674 | «Calcaires à Entroques»          | «Calcaires à Entroques»            |
| 15202433 | «Calcaires bréchiques»           | «Calcaires bréchiques»             |
| 15202426 | «Calcaires grés-glauconieux»     | «Calcaires grés-glauconieux»       |
| 15202427 | «Calcarénites beiges oolitiques» | «Calcarénites beiges oolitiques»   |
| 15202420 | «Equisetenschiefer»              | «Equisetenschiefer»                |

| GeolCode | Deutsch                                    | Français                                   |
|----------|--|--|
| 15200594 | «Formation de la Chambotte Inférieure»     | «Formation de la Chambotte Inférieure»     |
| 15200593 | «Formation de la Chambotte Supérieure»     | «Formation de la Chambotte Supérieure»     |
| 15204120 | «Jüngere Orthogneise»                      | «Jüngere Orthogneise»                      |
| 15200510 | «Juranagelfluh-Mergel»                     | Juranagelfluh-Mergel                       |
| 15202406 | «Leitoolith»                               | «Leitoolith»                               |
| 15202425 | «Marnes noires pyriteuses»                 | «Marnes noires pyriteuses»                 |
| 15202099 | «Mergelband»                               | Mergelband (Fm. de Quinten)                |
| 15203339 | «Mittlere Rauwacke»<br>(St-Triphon-Fm.)    | «Mittlere Rauwacke»<br>(St-Triphon-Fm.)    |
| 15202415 | «Obere Tonschiefer»<br>(Bommerstein-Fm.)   | «Obere Tonschiefer» (Fm. du Bommerstein)   |
| 15202412 | «Obere Zementsteinschichten»               | «Obere Zementsteinschichten»               |
| 15202398 | «Oberer Betliskalk»                        | «Oberer Betliskalk»                        |
| 15202383 | «Oberer Öhrlikalk»                         | «Oberer Öhrlikalk»                         |
| 15202384 | «Oberer Öhrlimergel»                       | «Oberer Öhrlimergel»                       |
| 15202300 | «Oberer Schrattenkalk»                     | «Oberer Schrattenkalk»                     |
| 15200592 | «Pierre Jaune Inférieure»                  | «Pierre Jaune Inférieure»                  |
| 15200591 | «Pierre Jaune Supérieure»                  | «Pierre Jaune Supérieure»                  |
| 15203077 | «Posidonienschiefer» (der Stanserhorn-Fm.) | Schistes à Posidonies (Fm. du Stanserhorn) |
| 15203331 | «Roffna-Porphyr»                           | «Roffna-Porphyr»                           |
| 15202414 | «Rote Echinodermenbrekzie»                 | «Rote Echinodermenbrekzie»                 |
| 15202395 | «Roter Seewenkalk»                         | «Roter Seewenkalk»                         |
| 15202103 | «Schilt-Kalk»                              | Calcaire du Schilt                         |
| 15202102 | «Schilt-Mergel»                            | Marne du Schilt                            |
| 15205090 | «Série Rubanée»                            | «Série Rubanée»                            |
| 15203338 | «Silex-Niveau» (St-Triphon-Fm.)            | «Silex-Niveau» (St-Triphon-Fm.)            |
| 15202413 | «Untere Zementsteinschichten»              | «Untere Zementsteinschichten»              |
| 15202399 | «Unterer Betliskalk»                       | «Unterer Betliskalk»                       |
| 15202385 | «Unterer Öhrlikalk»                        | «Unterer Öhrlikalk»                        |
| 15202301 | «Unterer Schrattenkalk»                    | «Unterer Schrattenkalk»                    |
| 15202360 | «Wildflysch», undifferenziert              | «Wildflysch», undifferenziert              |
| 15200397 | Aargauer Juranagelfluh                     | Juranagelfluh d'Argovie                    |
| 15200559 | Aarwangen-Molasse                          | Molasse d'Aarwangen                        |
| 15200291 | Abtwil-Konglomerat                         | Conglomérat d'Abtwil                       |
| 15200494 | Achdorf-Formation                          | Achdorf-Formation                          |
| 15206004 | Adamello-Intrusiva                         | Intrusion de l'Adamello                    |
| 15203198 | Adlerflüe-Formation                        | Formation de l'Adlerflüe                   |
| 15204021 | Adnet-Kalk                                 | Calcaire d'Adnet                           |
| 15203515 | Adula-D.: Albit-Oligoklasgneis             | Adula-D.: Albit-Oligoklasgneis             |
| 15203256 | Adula-D.: Amphibolit                       | Adula-D.: Amphibolit                       |
| 15203512 | Adula-D.: Basaler Gneis                    | Adula-D.: Basaler Gneis                    |
| 15203255 | Adula-D.: Glimmerschiefer und Paragneis    | Adula-D.: Glimmerschiefer und Paragneis    |
| 15203532 | Adula-D.: Kalkschiefer und Marmor          | Adula-D.: Kalkschiefer und Marmor          |
| 15203535 | Adula-D.: Ultramafitit                     | Adula-D.: Ultramafitit                     |
| 15200285 | Aeugstertal-Bentonit                       | Bentonite de l'Aeugstertal                 |
| 15204020 | Agnelli-Formation                          | Formation d'Agnelli                        |
| 15203058 | Agreblierai-Member                         | Membre d'Agreblierai                       |
| 15202291 | Ahornen-Member                             | Membre du Ahornen                          |
| 15203334 | Aigremont-Brekzie                          | Aigremont-Brekzie                          |



| GeolCode | Deutsch  | Français  |
|----------|--|---|
| 15203416 | Aiguilles-Rouges-d'Arolla-Metagabbro                     | Métagabbro des Aiguilles Rouges d'Arolla  |
| 15200373 | Ajoie-Gompholit  | Gompholite d'Ajoie  |
| 15200384 | Ajoie-Member   | Membre d'Ajoie  |
| 15200459 | Akzessorische Mumienbänke                                | Bancs accessoires à momies  |
| 15205045 | Albenza-Formation  | Formation de l'Albenza  |
| 15203270 | Albeuve-Serie  | Série d'Albeuve   |
| 15206069 | Albit-Muskowitschiefer, undifferenziert                  | schiste à muscovite et albite, indifférencié                                      |
| 15203463 | Albitaugenschiefer (SOPA) der Adlerflüe-Formation        | Schistes oeillés à porphyroblastes d'albite (SOPA) de la Formation de l'Adlerflüe |
| 15203379 | Albitquarzit der Grava- und Tomül-Decke                  | Albitquarzit (Grava)  |
| 15200563 | Albstein   | Albstein  |
| 15200231 | Albtal-Granit  | Granite de l'Albtal   |
| 15200154 | Alectryonia-Kalk   | Calcaire à Alectryonia rectangularis  |
| 15204133 | alkalische Intrusiva des Ostalpins                       | roches intrusives alcalines de l'Austroalpin                                      |
| 15203229 | Allalin-Gabbro   | Gabbro de l'Allalin   |
| 15204016 | Allgäu-Formation   | Formation de l'Allgäu   |
| 15203031 | Allières-Member  | Membre d'Allières   |
| 15203451 | Almagelhorn-Migmatit                                     | Migmatite de l'Almagelhorn  |
| 15202338 | Alp-Cavradi-Gneiskomplex                                 | Complexe gneissique de l'Alp Cavradi  |
| 15202530 | Alp-Crap-Ner-Granit                                      | Granite de l'Alp Crap Ner   |
| 15202344 | Alp-Ramosa-Granitgneis                                   | Gneiss granitique de l'Alp Ramosa   |
| 15203560 | Alpbach-Schiefer   | Schistes de l'Alpbach   |
| 15206012 | Alpe-Cameraccio-Granodiorit                              | Alpe-Cameraccio-Granodiorit   |
| 15203353 | Alpe-Tamia-Campo-Wildflysch                              | Wildflysch de l'Alpe Tamia-Campo  |
| 15203479 | Alpigia-Gneis  | Gneiss d'Alpigia  |
| 15204148 | Alpiner Muschelkalk                                      | Alpiner Muschelkalk   |
| 15204029 | Alplihorn-Member   | Membre de l'Alplihorn   |
| 15200634 | Altbach-Süßwasserkalk                                    | Calcaire d'eau douce de l'Altbach   |
| 15204051 | Altein-Formation   | Formation de l'Altein   |
| 15200228 | Ältere Flussablagerungen                                 | Ältere Flussablagerungen (Fm. de Weiach)  |
| 15200527 | Ältere Juranagelfluh                                     | Ältere Juranagelfluh  |
| 15202481 | Altkristallin des Aiguilles-Rouges-Massivs, migmatitisch | Socle polycyclique anté-varisque du massif des Aiguilles Rouges, migmatitique     |
| 15202478 | Altkristallin des Mont-Blanc-Massivs, amphibolitreich    | Socle polycyclique anté-varisque du massif du Mont Blanc, riche en amphibolites   |
| 15202477 | Altkristallin des Mont-Blanc-Massivs, migmatitisch       | Socle polycyclique anté-varisque du massif du Mont Blanc, migmatitique            |
| 15202479 | Altkristallin des Mont-Blanc-Massivs, mylonitisch        | Socle polycyclique anté-varisque du massif du Mont Blanc, mylonitique             |
| 15202078 | Altmann-Member   | Membre de l'Altmann   |
| 15204023 | Alv-Brekzie  | Brèche d'Alv  |
| 15200577 | Amaltheenton-Formation                                   | Amaltheenton-Formation  |
| 15202049 | Amden-Mergel   | Marne d'Amden   |
| 15204006 | Ammergau-Formation                                       | Formation d'Ammergau  |
| 15205120 | Amphibolit der Valpelline-Gruppe                         | Amphibolite du Groupe de Valpelline   |

| GeolCode | Deutsch  | Français  |
|----------|--|---|
| 15203466 | Amphibolit des Ergischhorn-Ensembles             | Amphibolite du Complexe gneissique de l'Ergischhorn     |
| 15206037 | Amphibolit, undifferenziert                      | amphibolite, indifférenciée                             |
| 15200574 | Ancepsoolith-Subformation                        | Ancepsoolith-Subformation                               |
| 15205067 | Andesit und Dazit                                | Andésite et dacite permienes du Sudalpin                |
| 15203489 | Andolla-Eklogit                                  | Éclogite d'Andolla                                      |
| 15203097 | Andonces-Member                                  | Membre des Andonces                                     |
| 15200047 | Ängistein-Member                                 | Membre d'Ängistein                                      |
| 15200581 | Angulatenton-Formation                           | Angulatenton-Formation                                  |
| 15203358 | Antabia-Gruppe                                   | Groupe d'Antabia  |
| 15203365 | Antigorio-Orthogneis                             | Orthogneiss d'Antigorio                                 |
| 15200286 | Äntlisberg-Doldertobel-Süswasserkalk             | Calcaire d'eau douce de l'Äntlisberg-Doldertobel        |
| 15200052 | Anwil-Bank                                       | Banc d'Anwil  |
| 15206039 | Aplit  | aplite  |
| 15206112 | Aplitgneis, undifferenziert                      | gneiss aplitique, indifférencié                         |
| 15202326 | Aplitische Randfazies des Zentralen Aare-Granits | Faciès de bordure aplitique du Granite Central de l'Aar |
| 15200290 | Appenzellergranit-Leitniveau                     | Niveau repère de l'Appenzellergranit                    |
| 15203136 | Aptychenkalk                                     | Calcaires à Aptychus                                    |
| 15206116 | Aptychenkalk, undiff.                            | Calcaire à aptychus, indiff.                            |
| 15202137 | Arandellys-Formation                             | Formation des Arandellys                                |
| 15203301 | Arblatsch-Sandstein                              | Arblatsch-Sandstein                                     |
| 15200462 | Arenicolites-Bank                                | Banc à Arenicolites                                     |
| 15203378 | Areua-Bruschghorn-Melange                        | Mélange d'Areua-Bruschghorn                             |
| 15200580 | Arietenkalk-Formation                            | Arietenkalk-Formation                                   |
| 15204049 | Arlberg-Formation                                | Formation de l'Arlberg                                  |
| 15203159 | Aroley-Schichten                                 | Formation de l'Aroley                                   |
| 15205004 | Arolla-Serie                                     | Série d'Arolla  |
| 15203561 | Arosa-D.: Gabbro                                 | Arosa-D.: Gabbro  |
| 15203230 | Arosa-Mélange                                    | Mélange d'Arosa   |
| 15202474 | Arpette-Leukogranit                              | Leucogranite d'Arpette                                  |
| 15203053 | Arvel-Formation                                  | Formation d'Arvel                                       |
| 15202446 | Arveyes-Flysch                                   | Flysch de la nappe d'Arveyes                            |
| 15200155 | Arzier-Mergel                                    | Marne d'Arzier  |
| 15200131 | Asp-Member                                       | Membre d'Asp  |
| 15200450 | Astieria-Mergel                                  | Marne à Astieria  |
| 15202358 | Au-d'Arbignon-Schiefer                           | Schistes de l'Au d'Arbignon                             |
| 15202055 | Aubrig-Schichten                                 | Couches de l'Aubrig                                     |
| 15203401 | Augengneis der Berisal-Decke                     | Gneiss oeilé de la nappe de Berisal                     |
| 15203478 | Augengneis der Maggia-Decke                      | Gneiss oeilé de la nappe de la Maggia                   |
| 15206067 | Augengneis, undifferenziert                      | gneiss oeilé, indifférencié                             |
| 15204110 | Augsten-Brekzie                                  | Brèche de l'Augsten                                     |
| 15203249 | Aul-Marmor                                       | Marbre du Piz Aul                                       |
| 15203517 | Aula-Spruga-Gneiskomplex                         | Complexe gneissique d'Aula-Spruga                       |
| 15202258 | Ausserberg-Avat-Zone                             | zone d'Ausserberg-Avat                                  |
| 15202268 | Ausserbinn-Piz-Cavel-Zone                        | zone d'Ausserbinn-Piz Cavel                             |
| 15202130 | Bachalp-Formation                                | Formation de la Bachalp                                 |
| 15200104 | Baden-Member                                     | Membre de Baden   |
| 15200457 | Balmberg-Oolith                                  | Oolite du Balmberg                                      |
| 15202484 | Balmenegg-Granit                                 | Granite de la Balmenegg                                 |

| GeolCode | Deutsch  | Français  |
|----------|--|---|
| 15203278 | Balmi-Member   | Membre du Balmi   |
| 15200188 | Balsthal-Formation   | Formation de Balsthal   |
| 15200648 | Baltersweil-Nagelfluh                                      | Poudingue de Baltersweil  |
| 15202187 | Baltschieder-Granodiorit                                   | Granodiorite de Baltschieder                                      |
| 15202549 | Baltschieder-Granodiorit:<br>Biotittonalit                 | Granodiorite de Baltschieder:<br>tonalite à biotite               |
| 15202550 | Baltschieder-Granodiorit:<br>Hornblende Biotittonalit      | Granodiorite de Baltschieder:<br>tonalite à biotite et hornblende |
| 15202030 | Band-Member  | Membre du Bandweg   |
| 15206097 | Bänder- und Schollenamphibolit,<br>undifferenziert         | amphibolite rubanée et à blocs,<br>indifférencié                  |
| 15203464 | Bänderamphibolit der<br>Adlerflüe-Formation                | Amphibolite rubanée de la<br>Formation de l'Adlerflüe             |
| 15203477 | Bändergneis der Maggia-Decke                               | Gneiss rubané de la nappe de la<br>Maggia                         |
| 15203445 | Bändergneis der Monte-Rosa-Decke                           | Gneiss rubané de la nappe du Mont<br>Rose                         |
| 15206093 | Bändergneis, undifferenziert                               | gneiss rubané, indifférencié                                      |
| 15200128 | Bänkerjoch-Formation                                       | Formation du Bänkerjoch   |
| 15202110 | Bannalp-Konglomerat  | Conglomérat de la Bannalp   |
| 15200020 | Banné-Member   | Membre du Banné   |
| 15204012 | Bardella-Formation   | Formation de Bardella   |
| 15202328 | Bäregg-Gneiskomplex  | Complexe gneissique de la Bäregg                                  |
| 15202567 | Bäregg-Gneiskomplex:<br>Metavulkanite                      | Complexe gneissique de la Bäregg:<br>métavulcanite                |
| 15202565 | Bäregg-Gneiskomplex:<br>mylonitischer Orthogneis           | Complexe gneissique de la Bäregg:<br>orthogneiss mylonitique      |
| 15202566 | Bäregg-Gneiskomplex:<br>mylonitischer Paragneis            | Complexe gneissique de la Bäregg:<br>paragneiss mylonitique       |
| 15203178 | Bärenhorn-Formation  | Formation du Bärenhorn  |
| 15203580 | Bärenhorn-Formation:<br>Quarzsandstein                     | Formation du Bärenhorn: grès<br>quartzitique                      |
| 15203531 | Bargella-Brekzie   | Brèche de Bargella  |
| 15200223 | Bärhalde-Granit  | Granite de la Bärhalde  |
| 15203182 | Barrhorn-Serie   | Série du Barrhorn   |
| 15200672 | Bärschwil- bis<br>St-Ursanne-Formation,<br>undifferenziert | Bärschwil- bis<br>St-Ursanne-Formation,<br>undifferenziert        |
| 15200006 | Bärschwil-Formation  | Formation de Bärschwil  |
| 15203380 | Basale Tonschiefer der Grava- und<br>Tomül-Decke           | Basale Tonschiefer (Grava)  |
| 15202452 | Basaler Mines-Lias   | Lias des Mines basal  |
| 15203123 | Basaler Schlieren-Flysch                                   | Flysch basal des Schlieren  |
| 15205069 | Basaler Tuf  | Tuf basal permien du Sudalpin                                     |
| 15202172 | Basales Konglomerat (Bifertengrätli)                       | Conglomérat basal (Fm. du<br>Bifertengrätli)                      |
| 15205068 | Basalt   | Basalte permien du Sudalpin                                       |
| 15206079 | Basalt, undifferenziert                                    | basalte, indifférencié  |
| 15200394 | Basisbildungen der USM-J                                   | Formations de la base de l'USM-J                                  |
| 15206049 | Basischer Gang   | filon basique   |
| 15200433 | Basiskonglomerat (der Luzern-Fm.)                          | Conglomérat basal (Fm. de Lucerne)                                |
| 15203173 | Basiskonglomerat der<br>Stätzerhorn-Gruppe                 | Hauptkonglomerat (Flysch du<br>Tomül)                             |
| 15203148 | Basisserie   | Série basale (Fm. du Reiselsberg)                                 |

| GeolCode | Deutsch                                    | Français  |
|----------|--|---|
| 15200396 | Basler Juranagelfluh                       | Juranagelfluh du Jura bâlois                      |
| 15203521 | Batnall-Gneis                              | Gneiss du Batnall                                 |
| 15202039 | Batöni-Member                              | Membre de la Batöni                               |
| 15203208 | Bavugls-Gruppe                             | Groupe de Bavugls                                 |
| 15203024 | Beaumont-Konglomerat                       | Conglomérat de Beaumont                           |
| 15202528 | Beesten-Fazies                             | faciès de Beesten                                 |
| 15200086 | Beggingen-Member                           | Membre de Beggingen                               |
| 15200340 | Beichlen-Formation                         | Formation de la Beichlen                          |
| 15200127 | Belchen-Member                             | Membre du Belchen                                 |
| 15204081 | Bellaluna-Member                           | Membre de Bellaluna                               |
| 15205062 | Bellano-Formation                          | Formation de Bellano                              |
| 15200662 | Bellegarde-Bank                            | Bellegarde-Bank                                   |
| 15200402 | Belpberg-Formation                         | Formation du Belpberg                             |
| 15205024 | Bergamo-Flysch                             | Flysch de Bergamo                                 |
| 15206006 | Bergell-Granodiorit                        | Bergell-Granodiorit                               |
| 15206003 | Bergell-Intrusiva                          | Intrusion du Bergell                              |
| 15206007 | Bergell-Tonalit                            | Bergell-Tonalit                                   |
| 15202377 | Berglikehle-Bank                           | Berglikehle-Bank                                  |
| 15200208 | Berlingen-Member                           | Membre de Berlingen                               |
| 15205097 | Berrio-Gabbro                              | Berrio-Gabbro                                     |
| 15205060 | Besano-Formation                           | Formation de Besano                               |
| 15205039 | Besazio-Kalk                               | Calcaire de Besazio                               |
| 15202135 | Besoëns-Formation                          | Formation des Besoëns                             |
| 15202084 | Betlis-Formation                           | Formation de Betlis                               |
| 15203530 | Bettlerjoch-Brekzie                        | Brèche du Bettlerjoch                             |
| 15202115 | Bietenhorn-Member                          | Membre du Bietenhorn                              |
| 15202436 | Bifé-Formation                             | Formation de Bifé                                 |
| 15202193 | Bifertenfirn-Formation                     | Formation du Bifertenfirn                         |
| 15202169 | Bifertengrätli-Formation                   | Formation du Bifertengrätli                       |
| 15206046 | Biogener Kalk (Eozän)                      | calcaire biogène (Éocène)                         |
| 15203126 | Biot-Formation                             | Formation du Biot                                 |
| 15206092 | Biotit-Plagioklasgneis,<br>undifferenziert | gneiss à biotite et plagioclase,<br>indifférencié |
| 15203444 | Biotitgneis der Monte-Rosa-Decke           | Gneiss à biotite de la nappe du<br>Mont Rose      |
| 15200117 | Birmenstorf-Member                         | Membre de Birmenstorf                             |
| 15200271 | Bischofzell-Bentonit                       | Bentonite de Bischofzell                          |
| 15202475 | Bitschji-Augengneis                        | Gneiss oillé de Bitschji                          |
| 15200124 | Blagdeni-Schichten                         | Couches à Blagdeni                                |
| 15200489 | Blagdeni-Subformation                      | Blagdeni-Subformation                             |
| 15204007 | Blais-Formation                            | Formation du Blais                                |
| 15204018 | Blaisun-Member                             | Membre du (Piz) Blaisun                           |
| 15200259 | Blapbach-Kohleflöz                         | Niveau charbonneux du Blapbach                    |
| 15202287 | Blattengrat-Sandstein                      | Grès du Blattengrat                               |
| 15200233 | Blauen-Granit                              | Granite du Blauen                                 |
| 15200492 | Blaukalk-Subformation                      | Blaukalk-Subformation                             |
| 15202109 | Blegi-Eisenoolith                          | Oolite ferrugineuse de la Blegi                   |
| 15200461 | Bleiglanz-Bank                             | Bleiglanzbank (Fm. de Kaiseraugst)                |
| 15203306 | Bleis-Pintgas-Formation                    | Bleis-Pintgas-Formation                           |
| 15202535 | Blockmergel (Spirstock)                    | Blockmergel (Spirstock)                           |
| 15203279 | Bodeflue-Member                            | Membre de la Bodeflue                             |
| 15200583 | Bodensee-Nagelfluh                         | Bodensee-Nagelfluh                                |
| 15202318 | Bodevena-Melange                           | Mélange de la Bodevena                            |
| 15203286 | Boège-Mergel                               | Marne de Boège                                    |

| GeolCode | Deutsch  | Français   |
|----------|--|--|
| 15200175 | Bohnerzton   | Argile à pisolites ferrugineuses                               |
| 15203057 | Bois-de-Luan-Member  | Membre du Bois de Luan   |
| 15200301 | Bois-de-Raube-Formation                                      | Formation du Bois de Raube                                     |
| 15200385 | Bois-de-Raube-Member   | Membre du Bois de Raube  |
| 15200333 | Bois-Genoud-Bentonit   | Bentonite de Bois-Genoud                                       |
| 15200652 | Bôle-Member  | Membre de Bôle   |
| 15200046 | Bollement-Member   | Membre de Bollement  |
| 15200176 | Boluston   | Argile à bolus   |
| 15202583 | Bommerstein- und<br>Reischiben-Formation,<br>undifferenziert | Formations de Bommerstein et de<br>Reischiben, indifférenciées |
| 15202116 | Bommerstein-Formation  | Formation du Bommerstein                                       |
| 15203103 | Bonave-Formation   | Formation de Bonave  |
| 15203265 | Bonaveau-Kalk  | Calcaire de Bonaveau   |
| 15203311 | Bonigersee-Augengneis  | Bonigersee-Augengneis  |
| 15200585 | Bonneville-Sandstein   | Bonneville-Sandstein   |
| 15202232 | Borel-Gneiskomplex   | Complexe gneissique du Piz Borel                               |
| 15203520 | Bosco-Gneis  | Gneiss de Bosco  |
| 15203425 | Böshorn-Gneis  | Gneiss du Böshorn  |
| 15200242 | Böttstein-Granit   | Granite de Böttstein   |
| 15205088 | Bouquetins-Quarzdiorit                                       | Bouquetins-Quarzdiorit   |
| 15200049 | Bözen-Member   | Membre de Bözen  |
| 15204065 | Brachiopodenkalk-Member                                      | Brachiopodenkalk-Member  |
| 15203079 | Brand-Formation  | Formation de Brand   |
| 15200499 | Brand-Herrentisch-Tuffit                                     | Tuffite du Brand-Herrentisch                                   |
| 15203383 | Brasses-Formation  | Formation des Brasses  |
| 15200460 | Brauner Oolith   | Brauner Oolith   |
| 15205048 | Brecce Retiche   | Brecce Retiche   |
| 15200079 | Breitenmatt-Member   | Membre de Breitenmatt  |
| 15203487 | Breithorn-Serpentin  | Serpentine du Breithorn  |
| 15203504 | Brekzie-Formation  | Brekzie-Formation  |
| 15200328 | Brendenbach-Mergel   | Poudingue du Brendenbach                                       |
| 15205021 | Brenno-Formation   | Formation de Brenno  |
| 15202215 | Breya-Rhyolith   | Rhyolithe de la Breya  |
| 15203510 | Brione-Gabbro  | Gabbro de Brione   |
| 15202065 | Brisi-Kalk   | Calcaire de la Brisi   |
| 15202064 | Brisi-Member   | Membre de la Brisi   |
| 15202066 | Brisi-Sandstein  | Grès de la Brisi   |
| 15202190 | Bristenstock-Syenit  | Syénite du Bristenstock  |
| 15205044 | Broccatello d'Arzo   | Broccatello d'Arzo   |
| 15200204 | Brot-Schichten   | Couches de Brot  |
| 15200065 | Brüggli-Member   | Membre de Brüggli  |
| 15203183 | Bruneggjoch-Formation  | Formation du Bruneggjoch                                       |
| 15203347 | Bruneggjoch-Metabauxit                                       | Bruneggjoch-Metabauxit   |
| 15202178 | Brunni-Granit  | Granite de la Brunni   |
| 15202121 | Brunnistock-Formation  | Formation du Brunnistock                                       |
| 15200417 | Brüttelen-Muschelnagelfluh                                   | Poudingue coquillier de Brüttelen                              |
| 15200185 | Bryozoen-Mergel  | Marne à Bryozoaires  |
| 15204130 | Buffalora-Gruppe   | Groupe de Buffalora  |
| 15202163 | Bugnei-Granodiorit   | Granodiorite de Bugnei   |
| 15200034 | Buix-Member  | Membre de Buix   |
| 15202087 | Büls-Bank  | Banc de Büls   |
| 15200535 | Bumbach-Nagelfluh  | Poudingue de Bumbach   |
| 15206084 | Bündnerschiefer, kalkig                                      | Bündnerschiefer calcaires                                      |

| GeolCode | Deutsch  | Français  |
|----------|--|---|
| 15206085 | Bündnerschiefer, tonig                                       | Bündnerschiefer argileux                                  |
| 15206066 | Bündnerschiefer, undifferenziert                             | Bündnerschiefer, indifférencié                            |
| 15200324 | Bunte Rigi-Nagelfluh   | Bunte Rigi-Nagelfluh                                      |
| 15203570 | Bunter schiefriger Dolomit und<br>Rauwacke der Klippen-Decke | Dolomie schisteuse et cornieule des<br>Préalpes Médiannes |
| 15202503 | Buntgefleckte Schiefer                                       | Buntgefleckte Schiefer (Ilanz)                            |
| 15200143 | Buntsandstein  | Groupe du Buntsandstein                                   |
| 15200029 | Bure-Member  | Membre de Bure  |
| 15202288 | Burg-Sandstein   | Grès de Burg  |
| 15202595 | Bürgen- und Wildstrubel-Formation,<br>undiff.                | Formations du Bürgen et d'Euthal,<br>indiff.              |
| 15202032 | Bürgen-Formation   | Membre du Bürgen(stock)                                   |
| 15200102 | Burghorn-Formation   | Formation du Burghorn                                     |
| 15203332 | Burgruinen-Gneis   | Burgruinen-Gneis  |
| 15200407 | Bütschelbach-Nagelfluh                                       | Poudingue du Bütschelbach                                 |
| 15203238 | Buufal-Konglomerat   | Conglomérat de Buufal                                     |
| 15202222 | Cacciola-Granit  | Granite de la Cacciola                                    |
| 15205012 | Cagno-Sandstein  | Grès de Cagno   |
| 15200455 | Calcaire âpre  | Calcaire âpre   |
| 15200654 | Calcaire Roux  | Calcaire Roux   |
| 15200383 | Calcaire roux marneux  | Calcaire roux marneux                                     |
| 15205035 | Calcari a bivalvi planctonici                                | Calcari a bivalvi planctonici                             |
| 15202264 | Calmut-Gneiskomplex  | Complexe gneissique de Calmut                             |
| 15203234 | Calpionellenkalk der Arosa-Zone                              | Calcaire à Calpionelles de la zone<br>d'Arosa             |
| 15203498 | Calpionellenkalk der Platta-Decke                            | Calcaire à calpionelles de la nappe<br>du Platta          |
| 15204142 | Campocologno-Gabbro  | Gabbro de Campocologno                                    |
| 15200036 | Caquerelle-Pisolith  | Pisolite de la Caquerelle                                 |
| 15204114 | Carale-Paraschiefer  | Schistes du Carale  |
| 15202132 | Cardinia-Member  | Membre à Cardinia   |
| 15203174 | Carnusa-Formation  | Formation du Carnusa(horn)                                |
| 15205055 | Cassina-Bank   | Banc de Cassina   |
| 15205008 | Castel-di-Sotto-Ton  | Argile de Castel di Sotto                                 |
| 15202472 | Catogne-Gneiskomplex   | Complexe gneissique du Catogne                            |
| 15205057 | Cava Inferiore   | Cava Inferiore  |
| 15205056 | Cava Superiore   | Cava Superiore  |
| 15203437 | Cavalli-Formation  | Formation des Cavalli                                     |
| 15202191 | Cavardiras-Gruppe  | Groupe de Cavardiras                                      |
| 15204143 | Celerina-Orthogneis  | Orthogneiss de Celerina                                   |
| 15205084 | Ceneri-Gneis   | Ceneri-Gneis  |
| 15203529 | Cenomanbrekzien-Serie  | Cenomanbrekzien-Serie                                     |
| 15200668 | Censeau-Mergel   | Censeau-Mergel  |
| 15202445 | Cernement-Member   | Membre du Cernement                                       |
| 15200014 | Chailley-Member  | Membre du Chailley  |
| 15203035 | Chällihorn-Member  | Membre du Chällihorn                                      |
| 15200098 | Chambotte-Formation  | Formation de la Chambotte                                 |
| 15200630 | Champ-Vuillerat-Süsswasserkalk                               | Champ-Vuillerat-Süsswasserkalk                            |
| 15202498 | Chamseeli-Konglomerat  | Conglomérat du Chamseeli                                  |
| 15203392 | Chandoline-Sandstein   | Grès de Chandoline  |
| 15204002 | Chanèls-Formation  | Formation de Chanèls                                      |
| 15202149 | Chartegg-Formation   | Membre de la Chartegg                                     |
| 15204106 | Chaschauna-Brekzie   | Brèche du Piz Chaschauna                                  |
| 15202241 | Chastelhorn-Metagabbro                                       | Métagabbro du Chastelhorn                                 |

| GeolCode | Deutsch   | Français  |
|----------|---|---|
| 15200053 | Châtillon-Member  | Membre de Châtillon                                     |
| 15203055 | Chauderon-Formation                                     | Formation du Chauderon                                  |
| 15203591 | Chavanette- und Rubli-Member, undifferenziert           | Chavanette- und Rubli-Member, undifferenziert           |
| 15203093 | Chavanette-Member                                       | Membre de Chavanette                                    |
| 15204075 | Chazforà-Formation                                      | Formation de Chazforà                                   |
| 15203019 | Chenaux-Rouges-Formation                                | Formation des Chenaux Rouges                            |
| 15203021 | Chenaux-Rouges-Mineralkruste                            | Croûte minéralisée des Chenaux Rouges                   |
| 15202335 | Chéserys-Gneis  | Gneiss des Chéserys                                     |
| 15203002 | Chesselbach-Formation                                   | Formation du Chesselbach                                |
| 15200035 | Chestel-Member  | Membre du Chestel                                       |
| 15203127 | Chétillon-Formation                                     | Formation de Chétillon                                  |
| 15203050 | Chevalets-Member  | Membre des Chevalets                                    |
| 15200187 | Chevenez-Member   | Membre de Chevenez                                      |
| 15205018 | Chiasso-Formation                                       | Formation de Chiasso                                    |
| 15206081 | Chloritschiefer, undifferenziert                        | schiste chloriteux, indifférencié                       |
| 15203015 | Chlussli-Formation                                      | Formation de Chlussli                                   |
| 15200415 | Chnebelburg-Schichten                                   | Couches de la Chnebelburg                               |
| 15202051 | Choltal-Member  | Membre du Choltal                                       |
| 15202076 | Chopf-Bank  | Banc du Chopf   |
| 15202080 | Chriesiloch-Echinodermenkalk                            | Calcaire échinodermique du Chriesiloch                  |
| 15202040 | Chruteren-Member  | Membre de la Chruteren                                  |
| 15202454 | Chrüzlistock-Migmatit                                   | Migmatite du Chrüzlistock                               |
| 15203101 | Chumi-Formation   | Formation de la Chumi                                   |
| 15203542 | Cima-Lunga-D.: Amphibolit                               | Cima-Lunga-D.: Amphibolit                               |
| 15203537 | Cima-Lunga-D.: Dolomitmarmor                            | Cima-Lunga-D.: Dolomitmarmor                            |
| 15203543 | Cima-Lunga-D.: Eklogit                                  | Cima-Lunga-D.: Eklogit                                  |
| 15203541 | Cima-Lunga-D.: Granatit                                 | Cima-Lunga-D.: Granatit                                 |
| 15203536 | Cima-Lunga-D.: Kalkschiefer und Marmor                  | Cima-Lunga-D.: Kalkschiefer und Marmor                  |
| 15203538 | Cima-Lunga-D.: Paragneis                                | Cima-Lunga-D.: Paragneis                                |
| 15203544 | Cima-Lunga-D.: Ultramafitit                             | Cima-Lunga-D.: Ultramafitit                             |
| 15200017 | Cladocoropsis-Kalk                                      | Calcaire à Cladocoropsis                                |
| 15204140 | Clavadatsch-Brekzie                                     | Brèche de Clavadatsch                                   |
| 15202262 | Clavaniev-Zone  | zone de Clavaniev                                       |
| 15203192 | Cleuson-Member  | Membre de Cleuson                                       |
| 15203062 | Clôt-la-Cime-Formation                                  | Formation de Clôt la Cime                               |
| 15204043 | Cluozza-Member  | Membre du Val Cluozza                                   |
| 15203294 | Cocco-Gneis   | Cocco-Gneis   |
| 15203290 | Coicon-Serie  | Série de Coicon   |
| 15203186 | Col-de-Chassoure-Formation                              | Formation du Col de Chassoure                           |
| 15203089 | Col-de-Cordon-Member                                    | Membre du Col de Cordon                                 |
| 15202397 | Col-de-la-Plaine-Morte-Bank                             | Banc du Col de la Plaine Morte                          |
| 15203042 | Col-de-Lys-Member                                       | Membre du Col de Lys                                    |
| 15203590 | Col-de-Tompey- und Agreblierai-Member, undifferenziert  | Col-de-Tompey- und Agreblierai-Member, undifferenziert  |
| 15203585 | Col-de-Tompey- und Bois-de-Luan-Member, undifferenziert | Col-de-Tompey- und Bois-de-Luan-Member, undifferenziert |
| 15203059 | Col-de-Tompey-Formation                                 | Formation du Col de Tompey                              |
| 15202419 | Col-du-Jorat-Member                                     | Membre du Col du Jorat                                  |
| 15205025 | Coldrerio-Flysch  | Flysch de Coldrerio                                     |

| GeolCode | Deutsch   | Français   |
|----------|---|--|
| 15203344 | Colerin-Konglomerat   | Colerin-Konglomerat  |
| 15203036 | Comba-d'Avau-Member   | Membre de la Comba d'Avau  |
| 15203049 | Combe-du-Pissot-Formation                                       | Formation de la Combe du Pissot                                    |
| 15200304 | Combe-Girard-Bentonit   | Bentonite de la Combe Girard                                       |
| 15200625 | Combe-Girard-Member   | Combe-Girard-Member  |
| 15205015 | Como-Konglomerat  | Conglomérat de Como  |
| 15200024 | Complexe récifal  | Complexe récifal (Fm. des Etiollets)                               |
| 15200205 | Comptum-Bank  | Banc à Comptum   |
| 15202354 | Corandoni-Amphibolit  | Amphibolite de Corandoni   |
| 15200317 | Cornalle-Sandstein  | Grès de la Cornalle  |
| 15204141 | Corno-di-Campo-Granodiorit                                      | Granodiorite du Corno di Campo                                     |
| 15203403 | Corno-Gneis   | Gneiss du Corno  |
| 15202119 | Coroi-Formation   | Formation du Coroi   |
| 15203315 | Cortascia-Gneis   | Cortascia-Gneis  |
| 15204123 | Corvatsch-Granodiorit   | Granodiorite du Corvatsch  |
| 15203018 | Couches-Rouges-Gruppe   | Groupe des Couches Rouges  |
| 15203366 | Couches-Rouges (Falknis, Sulzfluh, Tasna)                       | Couches-Rouges (Falknis, Sulzfluh, Tasna)                          |
| 15203242 | Couches-Rouges der Brekzien-Decke                               | Couches Rouges de la nappe de la Brèche                            |
| 15203291 | Couches-Rouges der Klippen-Decke, undifferenziert               | Couches Rouges de la nappe des Préalpes Médiannes, indifférenciées |
| 15203563 | Couches-Rouges der ZSK  | Couches-Rouges de klippes de Suisse centrale                       |
| 15203016 | Coulaytes-Melange   | Mélange des Coulaytes  |
| 15203587 | Coulaytes-Melange und Cuvigne-Derrey-Formation, undifferenziert | Coulaytes-Melange und Cuvigne-Derrey-Formation, undifferenziert    |
| 15200445 | Courcelon-Süsswasserkalk  | Calcaire d'eau douce de Courcelon                                  |
| 15200003 | Courgenay-Formation   | Formation de Courgenay   |
| 15200019 | Courtedoux-Member   | Membre de Courtedoux   |
| 15200025 | Couvaloup-Member  | Membre du Couvaloup  |
| 15202423 | Covayes-Formation   | Formation des Covayes  |
| 15204035 | Crappa-Mala-Mergel  | Marne de la Crappa Mala  |
| 15200112 | Crenularis-Member   | Membre à Crenularis  |
| 15200626 | Crêt-du-Locle-Formation   | Crêt-du-Locle-Formation  |
| 15200306 | Crêt-du-Locle-Formation, Gompholitfazies                        | Gompholite du Locle  |
| 15200627 | Crêt-du-Locle-Formation, Mergelfazies                           | Crêt-du-Locle-Formation, Mergelfazies                              |
| 15200022 | Creugenat-Schichten   | Couches du Creugenat   |
| 15203051 | Creux-de-l'Ours-Member  | Membre du Creux-de-l'Ours  |
| 15202227 | Cristallina-Granodiorit   | Granodiorite de Cristallina  |
| 15200334 | Cuarny-Sandstein  | Grès de Cuarny   |
| 15200355 | Cucloz-Sandstein  | Grès de Cucloz   |
| 15200354 | Cucloz-Subformation   | Sous-formation de Cucloz   |
| 15200666 | Cul-du-Nozon-Bank   | Cul-du-Nozon-Bank  |
| 15205052 | Cunardo-Formation   | Formation de Cunardo   |
| 15202189 | Curtin-Monzodiorit  | Monzodiorite du (Piz) Curtin                                       |
| 15203017 | Cuvigne-Derrey-Formation  | Formation de Cuvigne Derrey  |
| 15200368 | Cyathulabank (Laufen-Becken)                                    | Banc à Cyathula (bassin de Laufon)                                 |
| 15200369 | Cyrenenmergel   | Marne à Cyrènes  |
| 15202490 | Dachquarzit (Leventina)   | Dachquarzit (Leventina)  |
| 15202449 | Dammagletscher-Diorit   | Diorite du Dammagletscher  |



| GeolCode | Deutsch                            | Français  |
|----------|------------------------------------|---|
| 15203308 | Danis-Formation                    | Danis-Formation                                   |
| 15200620 | Dardagny-Sandstein                 | Grès de Dardagny                                  |
| 15200393 | Daubrée-Kalk                       | Calcaire de Daubrée                               |
| 15200387 | Daubrée-Konglomerat                | Conglomérat de Daubrée                            |
| 15200293 | Degersheim-Kalknagelfluh           | Conglomérat de Degersheim                         |
| 15200344 | Delémont-Süßwasserkalk             | Calcaire d'eau douce de Delémont                  |
| 15203189 | Dent-de-Nendaz-Member              | Membre de la Dent de Nendaz                       |
| 15200485 | Dentalienton-Formation             | Dentalienton-Formation                            |
| 15200203 | Dewalquei-Kalk                     | Couches à Pecten dewalquei                        |
| 15206099 | Diabasgang, undifferenziert        | filon diabasique, indifférencié                   |
| 15202019 | Diablerets-Member                  | Membre des Diablerets                             |
| 15200463 | Diagonalschichtiger Sandstein      | Diagonalschichtiger Sandstein (Fm. du Dinkelberg) |
| 15204033 | Diavel-Formation                   | Formation du (Piz dal) Diavel                     |
| 15202174 | Diechtergletscher-Formation        | Formation du Diechtergletscher                    |
| 15200447 | Diegten-Süßwasserkalk              | Calcaire d'eau douce de Diegten                   |
| 15200144 | Dinkelberg-Formation               | Formation du Dinkelberg                           |
| 15206074 | Diorit, undifferenziert            | diorite, indifférenciée                           |
| 15202089 | Diphyoides-Kalk                    | Calcaire à Diphyoides                             |
| 15202348 | Distelgrat-Gneis                   | Gneiss du Distelgrat                              |
| 15203194 | Distulberg-Formation               | Formation du Distulberg                           |
| 15203272 | Dogger der Klippen-Decke           | Dogger de la nappe des Préalpes Médiannes         |
| 15202106 | Dogger des Helvetikums             | Dogger de l'Helvétique                            |
| 15200055 | Dogger des Juragebirges            | Dogger du Jura                                    |
| 15204087 | Dogger des Ostalpins               | Dogger des Ostalpins                              |
| 15205074 | Dogger des Südalpins               | Dogger des Südalpins                              |
| 15206026 | Dogger, undifferenziert            | Dogger, indifférencié                             |
| 15205001 | Dolin-Gruppe                       | Groupe du Dolin                                   |
| 15205002 | Dolin-Kalkbrekzie                  | Brèche calcaire du Dolin                          |
| 15203061 | Dolomies Blondes                   | Dolomies Blondes                                  |
| 15205101 | Dolomit-Band (Meride)              | Dolomit-Band (Fm. de Meride)                      |
| 15205103 | Dolomit der Dolin-Gruppe           | Dolomie du Groupe du Dolin                        |
| 15202546 | Dolomit der Helvetische Trias      | Dolomie du Trias helvétique                       |
| 15203568 | Dolomit der Klippen-Decke          | Dolomie des Préalpes Médiannes                    |
| 15203458 | Dolomit der Nordpenninische Trias  | Dolomie du Trias nord-pennique                    |
| 15203569 | Dolomit und Kalk der Klippen-Decke | Dolomie et calcaire des Préalpes Médiannes        |
| 15206023 | Dolomit, undifferenziert           | Dolomit, undifferenziert                          |
| 15203250 | Dolomitbrekzie (Terri)             | Brèche (Grava/Tomül)                              |
| 15206102 | Dolomitmarmor, undifferenziert     | marbre dolomitique, indifférencié                 |
| 15200216 | Dolomitzone                        | Dolomitzone (Fm. de Zeglingen)                    |
| 15202518 | Domérien-Sandstein                 | Domérien-Sandstein                                |
| 15203099 | Dorchaux-Member                    | Membre de Dorchaux                                |
| 15202359 | Dorénaz-Konglomerat                | Conglomérat de Dorénaz                            |
| 15204105 | Dorfberg-Gneis                     | Gneiss du Dorfberg                                |
| 15203082 | Dorfflüe-Formation                 | Formation de la Dorfflüe                          |
| 15204109 | Döss-Radond-Vulkanite              | Roches volcanique du Döss Radond                  |
| 15200411 | Dreilinden-Nagelfluh               | Poudingue de Dreilinden                           |
| 15203346 | Dréveneuse-Bauxit                  | Dréveneuse-Bauxit                                 |
| 15202077 | Drusberg-Member                    | Membre du Drusberg                                |
| 15204063 | Ducan-Formation                    | Formation du (Piz) Ducan                          |
| 15202118 | Dugny-Formation                    | Formation de Dugny                                |
| 15202045 | Dünden-Konglomerat                 | Conglomérat de la Dünden                          |

| GeolCode | Deutsch                                       | Français  |
|----------|---|---|
| 15200213 | Dünnlenberg-Bank                              | Banc du Dünnlenberg   |
| 15202059 | Durschlägi-Bank                               | Banc de la Durschlägi   |
| 15202179 | Düssi-Diorit                                  | Diorite du Düssi  |
| 15202325 | Dzéman-Member                                 | Membre du Dzéman  |
| 15200540 | Ebnat-Sandstein                               | Grès d'Ebnat  |
| 15200115 | Effingen-Member                               | Membre d'Effingen   |
| 15203165 | Eggberg-Formation                             | Formation de l'Eggberg  |
| 15200519 | Eggen-Member                                  | Membre de l'Eggen   |
| 15200502 | Eichbol-Tuffit                                | Tuffite d'Eichbol   |
| 15203152 | Eichholtobel-Formation                        | Formation de l'Eichholtobel                                     |
| 15200260 | Eimätteli-Member                              | Membre d'Eimätteli  |
| 15202038 | Einsiedeln-Member                             | Membre d'Einsiedeln   |
| 15202589 | Einsiedeln-Member, «Älterer Quarzsandstein»   | Membre d'Einsiedeln, «Älterer Quarzsandstein»                   |
| 15202592 | Einsiedeln-Member, Alveolinenkalk-Fazies      | Membre d'Einsiedeln, faciès calcaire à Alvéolines               |
| 15204066 | Eisendolomit-Member                           | Eisendolomit-Member   |
| 15206050 | Eklogit, undifferenziert                      | éclogite, indifférenciée  |
| 15202540 | Elm- und Matt-Formation, undifferenziert      | Formations d'Elm et de Matt, indifférenciées                    |
| 15202541 | Elm- und Matt-Formation: Quarzsandstein       | Formations d'Elm et de Matt: grès quartzitique                  |
| 15202009 | Elm-Formation                                 | Formation d'Elm   |
| 15200379 | Elsässer Molasse s.l.                         | Molasse alsacienne s.l.   |
| 15200343 | Elsässer Molasse s.s.                         | Molasse alsacienne s.s.   |
| 15203310 | Embd-Member                                   | Embd-Member   |
| 15204004 | Emmat-Formation                               | Formation d'Emmat   |
| 15202210 | Emosson-Glimmerschiefer                       | Micaschistes d'Emosson  |
| 15202007 | Engi-Dachschiefer                             | Schistes ardoisiers d'Engi                                      |
| 15202263 | Engi-Granit                                   | Granite d'Engi  |
| 15200524 | Ennetbühl-Member                              | Membre d'Ennetbühl  |
| 15200212 | Eptingen-Member                               | Banc d'Eptingen   |
| 15203199 | Ergischhorn-Komplex                           | Complexe de l'Ergischhorn                                       |
| 15200210 | Ergolz-Member                                 | Membre de l'Ergolz  |
| 15200072 | Eriwis-Bank                                   | Banc d'Eriwis   |
| 15200073 | Erlimoos-Bank                                 | Banc d'Erlimoos   |
| 15203094 | Erpilles-Member                               | Membre des Erpilles   |
| 15204015 | Err-Brekzie                                   | Brèche d'Err  |
| 15204102 | Err-Granodiorit                               | Granodiorite d'Err  |
| 15202197 | Erstfeld-Gneiskomplex                         | Complexe gneissique d'Erstfeld                                  |
| 15202532 | Erstfeld-Gneiskomplex, permisch verwittert    | Complexe gneissique d'Erstfeld, à altération permienne          |
| 15202551 | Erstfeld-Gneiskomplex: Biotit-Plagioklasgneis | Complexe gneissique d'Erstfeld: gneiss à plagioclase et biotite |
| 15202553 | Erstfeld-Gneiskomplex: Migmatit               | Complexe gneissique d'Erstfeld: migmatite                       |
| 15202552 | Erstfeld-Gneiskomplex: Orthogneis             | Complexe gneissique d'Erstfeld: orthogneiss                     |
| 15202107 | Erzegg-Formation                              | Formation de l'Erzegg   |
| 15200446 | Erzmatt-Krustenkalk                           | Calcaire concrétionné de la Erzmatt                             |
| 15203124 | Estavannens-Flysch                            | Flysch d'Estavannens  |
| 15200468 | Estherien-Schichten                           | Couches à Estheria (Fm. de Schinznach)                          |

| GeolCode | Deutsch   | Français  |
|----------|---|---|
| 15202171 | Estuarisches Member                               | Membre estuarien (Fm. du Bifertengrätli)              |
| 15200023 | Etiollets-Formation                               | Formation des Etiollets                               |
| 15200643 | Etzgen-Granit                                     | Granite d'Etzgen                                      |
| 15202036 | Euthal-Formation                                  | Formation d'Euthal                                    |
| 15202596 | Euthal-Formation und Steinbach-Member, undiff.    | Formation de l'Euthal et Membre du Steinbach, indiff. |
| 15202604 | Euthal-Formation: schwarzer schieferiger Tonstein | Formation d'Euthal: faciès argilo-schisteux noir      |
| 15203260 | Exergillod-Brekzie                                | Brèche d'Exergillod                                   |
| 15203167 | Fadura-Formation                                  | Formation de la Fadura                                |
| 15200279 | Falätschen-Mergel                                 | Marne de la Falätschen                                |
| 15203326 | Fäldbach-Gruppe                                   | Fäldbach-Gruppe                                       |
| 15203216 | Falknis-Brekzie                                   | Brèche du Falknis                                     |
| 15203210 | Falknis-Flysch                                    | Flysch de la nappe du Falknis                         |
| 15203499 | Falotta-Radiolarit                                | Radiolarite de la nappe du Platta                     |
| 15202278 | Fanee-Trias                                       | Trias de Fanee  |
| 15204041 | Fanez-Dolomit                                     | Dolomie de Fanez                                      |
| 15204039 | Fanez-Formation                                   | Formation de Fanez                                    |
| 15203144 | Fanola-Formation                                  | Formation de Fanola                                   |
| 15200084 | Fasiswald-Member                                  | Membre de Fasiswald                                   |
| 15204096 | Fedoz-Gneiskomplex                                | Complexe gneissique de Fedoz                          |
| 15204097 | Fedoz-Metagabbro                                  | Fedoz-Metagabbro                                      |
| 15200275 | Fellitobel-Süsswasserkalk                         | Calcaire d'eau douce du Fellitobel                    |
| 15203372 | Ferret-Schiefer                                   | Schistes de Ferret                                    |
| 15200196 | Ferrugineus-Oolith                                | Oolite à Ferrugineus                                  |
| 15203228 | Fêta-d'Août-Flysch                                | Flysch de la Fêta d'Août                              |
| 15202230 | Fibbia-Granit                                     | Granite de la Fibbia                                  |
| 15203138 | Filamentkalk                                      | Calcaires à filaments                                 |
| 15205133 | Finero-Peridotit                                  | Péridotite de Finero                                  |
| 15200364 | Fischschiefer                                     | Schistes à Poissons (Fischschiefer)                   |
| 15203214 | Fleckenkalk-Flysch (Neokom)                       | Fleckenkalk-Flysch (Neokom)                           |
| 15202041 | Fliegenspitz-Member                               | Membre du Fliegenspitz                                |
| 15203497 | Flix-Schichten                                    | Schistes de Flix                                      |
| 15204104 | Flüela-Augnengneis                                | Gneiss oillé de la Flüela                             |
| 15200556 | Flühli-Nagelfluh                                  | Poudingue de Flühli                                   |
| 15203115 | Flysch 2a tonig-sandig                            | Flysch 2a argilo-gréseux                              |
| 15203114 | Flysch 2b mit sandigen Turbiditen                 | Flysch 2b à turbidites siliceuses                     |
| 15203113 | Flysch 3a mergelig-sandig                         | Flysch 3a marno-gréseux                               |
| 15203112 | Flysch 3b mit bioklastischen Turbiditen           | Flysch 3b à turbidites bioclastiques                  |
| 15203111 | Flysch 4 mit siltigen Turbiditen                  | Flysch 4 à turbidites silteuses                       |
| 15203284 | Flysch 5, mit kieseligen Mikrokonglomeraten       | Flysch 5 à microconglomérats siliceux                 |
| 15206115 | Flysch, undifferenziert                           | Flysch, indifférencié                                 |
| 15202323 | Foostock-Member                                   | Membre du Foostock                                    |
| 15200365 | Foraminiferenmergel                               | Marnes à Foraminifères (Foraminiferenmergel)          |
| 15203135 | Foraminiferenschichten                            | Couches à foraminifères                               |
| 15203008 | Forclaz-Member                                    | Membre de la Forclaz                                  |
| 15203022 | Forclettes-Formation                              | Formation des Forclettes                              |
| 15203316 | Forcoletta-Gneis                                  | Forcoletta-Gneis                                      |
| 15202033 | Foribach-Member                                   | Membre du Foribach                                    |
| 15200330 | Formation der Granitischen Molasse                | Formation de la Molasse granitique                    |

| GeolCode | Deutsch  | Français   |
|----------|--|--|
| 15205095 | Fornale-Gabbro   | Fornale-Gabbro   |
| 15203342 | Forno-Amphibolit                                       | Forno-Amphibolit   |
| 15200651 | Fort-de-l'Ecluse-Member                                | Membre du Fort de l'Ecluse                                     |
| 15204117 | Forun-Augengneis                                       | Gneiss oeillé du Forun   |
| 15202277 | Fossilmarmor   | Fossilmarmor   |
| 15203134 | Fouyet-Formation                                       | Formation du Fouyet  |
| 15202031 | Fräkmünt-Member  | Membre de Fräkmünt   |
| 15202069 | Freschen-Member  | Membre du Freschen   |
| 15200409 | Freudenberg-Nagelfluh                                  | Poudingue du Freudenberg                                       |
| 15200082 | Frick-Member   | Membre de Frick  |
| 15200230 | Frühvariszische Intrusiva der Nordschweiz              | Roches plutoniques éo-varisques de la Forêt Noire              |
| 15202333 | Frühvariszische Intrusiva des Aiguilles-Rouges-Massivs | Roches plutoniques éo-varisques du massif des Aiguilles Rouges |
| 15203005 | Frutigen-Formation                                     | Formation de Frutigen  |
| 15203524 | Frutigen-Formation, Conglomérat intermédiaire          | Frutigen-Formation, Conglomérat intermédiaire                  |
| 15203525 | Frutigen-Formation, Schistes inférieurs                | Frutigen-Formation, Schistes inférieurs                        |
| 15202029 | Fruttli-Member   | Membre du Fruttli  |
| 15202177 | Fruttstock-Gruppe                                      | Groupe du Fruttstock   |
| 15206063 | Fuchsit-Zoisitschiefer, undifferenziert                | schiste à zoisite et fuchsite, indifférencié                   |
| 15202150 | Fuggstock-Member                                       | Membre du Fuggstock  |
| 15202494 | Fulen-Formation  | Formation du Fulen   |
| 15200182 | Fulie-Member   | Membre de la Fulie   |
| 15202482 | Fully-Gneiskomplex                                     | Complexe gneissique de Fully                                   |
| 15202202 | Fully-Granodiorit                                      | Granodiorite de Fully  |
| 15202350 | Fuorcla-Paradis-Serpentinit                            | Serpentine de la Fuorcla Paradis                               |
| 15204070 | Fuorn-Formation  | Formation du Fuorn   |
| 15200198 | Furcil-Mergel  | Marne du Furcil  |
| 15203438 | Furgg-Serie  | Série de Furgg   |
| 15200215 | Fützen-Bank  | Banc de Fützen   |
| 15206075 | Gabbro, undifferenziert                                | gabbro, indifférencié  |
| 15200496 | Gabelspitz-Schichten                                   | Couches de la Gabelspitz                                       |
| 15200515 | Gäbris-Nagelfluh                                       | Poudingue du Gäbris  |
| 15200087 | Gächlingen-Bank  | Banc de Gächlingen   |
| 15202127 | Galm-Member  | Membre de Galm   |
| 15203393 | Gälmji-Gneiss  | Gneiss de Gälmji   |
| 15202067 | Gams-Schichten   | Couches du Gams  |
| 15202228 | Gamsboden-Granit                                       | Granite du Gamsboden   |
| 15206024 | Ganggesteine, undifferenziert                          | Ganggesteine, undifferenziert                                  |
| 15203514 | Ganna-Gneis  | Gneiss de Ganna  |
| 15202353 | Ganneretsch-Gneis                                      | Gneiss du (Piz) Ganneretsch                                    |
| 15200209 | Gansingen-Member                                       | Membre de Gansingen  |
| 15203321 | Ganter-Gneis   | Ganter-Gneis   |
| 15206073 | Garbenschiefer, undifferenziert                        | Garbenschiefer, indifférencié                                  |
| 15203227 | Garde-de-Bordon-Serie                                  | Série de la Garde de Bordon                                    |
| 15203254 | Garenstock-Augengneis                                  | Gneiss oeillé du Garenstock                                    |
| 15204048 | Garone-Formation                                       | Formation du (Monte) Garone                                    |
| 15202052 | Garschella-Formation                                   | Formation de Garschella  |
| 15202329 | Gärsthorn-Gneiskomplex                                 | Complexe gneissique du Gärsthorn                               |
| 15202529 | Garwiidi-Diorit  | Diorite de Garwiidi  |
| 15203377 | Garzott-Brekzie  | Brèche de Garzott  |

| GeolCode | Deutsch                                    | Français                                      |
|----------|--|---|
| 15203154 | Gaschlo-Formation                          | Formation de Gaschlo                          |
| 15202095 | Gassen-Kalk                                | Calcaire du Gassen(stock)                     |
| 15202158 | Gastern-Granit                             | Granite de Gastern                            |
| 15203086 | Gastlosen-Oolith                           | Oolite des Gastlosen                          |
| 15202476 | Geimen-Augengneis                          | Gneiss oeillé de Geimen                       |
| 15202305 | Geissbach-Konglomerat                      | Conglomérat du Geissbach                      |
| 15200113 | Geissberg-Member                           | Membre du Geissberg                           |
| 15203323 | Geisspfad-Serpentinit                      | Geisspfad-Serpentinit                         |
| 15203200 | Gelbhorn-Flysch                            | Flysch du Gelbhorn                            |
| 15202021 | Gemmenalp-Kalk                             | Calcaire de la Gemmenalp                      |
| 15202082 | Gemsmättli-Bank                            | Banc du Gemsmättli                            |
| 15200537 | Gérignoz-Formation                         | Couches du Gérignoz                           |
| 15203032 | Gérignoz-Kalk                              | Calcaire de Gérignoz                          |
| 15200389 | Geröllsande                                | Sables à galets (OMM)                         |
| 15200683 | Gersbach-Schiefer                          | Gersbach-Schiefer                             |
| 15200116 | Gerstenhübel-Bank                          | Banc du Gerstenhübel                          |
| 15203245 | Gets-Ophiolith                             | Ophiolite des Gets                            |
| 15202293 | Ghölzwald-Member                           | Membre du Ghölzwald                           |
| 15203567 | Gibel- und Griggeli-Formation              | Formations de Gibel et de Griggeli            |
| 15203069 | Gibel-Formation                            | Formation de Gibel                            |
| 15203071 | Gibel-Member                               | Membre de Gibel                               |
| 15203399 | Ginals-Gneis                               | Gneiss de Ginals                              |
| 15200074 | Gipf-Bank                                  | Banc de Gipf                                  |
| 15202548 | Gips der Helvetische Trias                 | Gypse du Trias helvétique                     |
| 15203241 | Gips der Klippen-Decke                     | Gypse de la nappe des Préalpes Médiannes      |
| 15204145 | Gips der Raibl-Gruppe                      | Gypse du Groupe de Raibl                      |
| 15203526 | Gips der Zone Submédiane                   | Gypse de la Zone Submédiane                   |
| 15206021 | Gips, undifferenziert                      | Gips, undifferenziert                         |
| 15203572 | Gipsmergel und Sandstein der Klippen-Decke | Marne gypseuse et grès des Préalpes Médiannes |
| 15200200 | Gisliflue-Korallenkalk                     | Calcaire à coraux de la Gisliflue             |
| 15200628 | Gitzigrabe-Grobsandstein                   | Gitzigrabe-Grobsandstein                      |
| 15200528 | Gitzischöpf-Nagelfluh                      | Poudingue de la Gitzischöpf                   |
| 15200632 | Gitzitobel-Süswasserkalk                   | Clacaire d'eau douce du Gitzitobel            |
| 15202339 | Giubine-Gneiskomplex                       | Complexe gneissique de Giubine                |
| 15205083 | Giumello-Gneis                             | Giumello-Gneis                                |
| 15202188 | Giuv-Syenit                                | Syénite du (Piz) Giuv                         |
| 15203421 | Glanzschiefer der Zermatt-Saas-Decke       | Schistes lustrés de la nappe de Zermatt-Saas  |
| 15202144 | Glarus-Verrucano                           | Verrucano de Glaris                           |
| 15200180 | Glassand                                   | Sable siliceux vitrifiable                    |
| 15202495 | Glattmatt-Member                           | Membre de Glattmatt                           |
| 15200480 | Glaukonitsandmergel-Subformation           | Glaukonitsandmergel-Subformation              |
| 15206065 | Glaukophanschiefer, undifferenziert        | schiste à glaucophane, indifférencié          |
| 15200274 | Glimmersandstein-Formation                 | Formation du Glimmersand                      |
| 15205118 | Glimmerschiefer der Arolla-Gruppe          | Micaschiste du Groupe d'Arolla                |
| 15203446 | Glimmerschiefer der Monte-Rosa-Decke       | Micaschiste de la nappe du Mont Rose          |
| 15205132 | Glimmerschiefer der Sesia-Decke            | micaschiste de la nappe de Sesia              |
| 15206072 | Glimmerschiefer, undifferenziert           | micaschistes, indifférencié                   |
| 15203211 | Globorotalien-Schichten                    | Globorotalien-Schichten                       |
| 15202416 | Glockhaus-Member                           | Membre du Glockhaus                           |

| GeolCode | Deutsch   | Français  |
|----------|---|---|
| 15202545 | Glockhaus-Member: Schieferiger Eisensandstein                     | Membre du Glockhaus: grès ferrugineux schisteux                   |
| 15205110 | Gneis der Arolla-Gruppe, mikroaugig                               | Gneiss du Groupe d'Arolla, micro-oeillé                           |
| 15205109 | Gneis der Arolla-Gruppe, mylonitisch                              | Gneiss du Groupe d'Arolla, mylonitique                            |
| 15206070 | Gneis, undifferenziert  | gneiss, indifférencié   |
| 15203247 | Gneisquarzit der Zone Piz Terri - Lunschania                      | Quarzit und quarzitischer Schiefer (Grava/Tomül)                  |
| 15203364 | Gneiss basale (Lebendun)  | Gneiss basale (Lebendun)  |
| 15204001 | God-Drosa-Flysch  | Flysch du God Drosa   |
| 15200511 | Golat-Süsswasserkalk  | Calcaire d'eau douce du Golat                                     |
| 15200661 | Goldberg- bis Vuache-Formation, undifferenziert                   | Goldberg- bis Vuache-Formation, undifferenziert                   |
| 15200156 | Goldberg-Formation  | Formation du Goldberg   |
| 15200410 | Goldbrunnen-Schichten   | Couches de Goldbrunnen  |
| 15200361 | Goldegg-Sandstein   | Grès de la Goldegg  |
| 15203190 | Goli-d'Aget-Member  | Membre du Goli d'Aget   |
| 15202256 | Goltschenried-Formation   | Formation de Goltschenried  |
| 15202267 | Goms-Gneiskomplex   | Complexe gneissique de Goms                                       |
| 15202510 | Gonzen-Eisenerzhorizont   | Horizon du Gonzen   |
| 15200092 | Gorges-de-l'Orbe- und Vallorbe-Formation, undifferenziert         | Formations des Gorges de l'Orbe et de Vallorbe, indifférenciées   |
| 15200096 | Gorges-de-l'Orbe-Formation  | Formation des Gorges de l'Orbe                                    |
| 15204115 | Gosau-Gruppe  | Groupe de Gosau   |
| 15200488 | Gosheim-Formation   | Gosheim-Formation   |
| 15203187 | Gouille-Verte-Member  | Membre de la Gouille Verte  |
| 15200547 | Goumoëns-Sandstein  | Grès de Goumoëns  |
| 15204067 | Gracilis-Member   | Gracilis-Member   |
| 15200043 | Graitery-Member   | Membre du Graitery  |
| 15206098 | Granatamphibolit, undifferenziert                                 | amphibolite à grenat, indifférencié                               |
| 15206068 | Granatglimmerschiefer, undifferenziert                            | micaschistes à grenat, indifférencié                              |
| 15205098 | Grand-Dolin-Brekzie   | Grand-Dolin-Brekzie   |
| 15200660 | Grand-Essert- bis Narlay-Formation, undifferenziert               | Grand-Essert- bis Narlay-Formation, undifferenziert               |
| 15200150 | Grand-Essert-Formation  | Formation du Grand Essert   |
| 15203267 | Grand-Herba-Kalk  | Calcaire du Sex de Grand-Herba                                    |
| 15203054 | Grande-Bonavau-Formation  | Formation de la Grande Bonavau                                    |
| 15203589 | Grande-Bonavau-Formation und Formation spathique, undifferenziert | Grande-Bonavau-Formation und Formation spathique, undifferenziert |
| 15203006 | Grande-Eau-Formation  | Formation de la Grande Eau  |
| 15200670 | Grande-Varappe-Bank   | Grande-Varappe-Bank   |
| 15206032 | Granit, undifferenziert   | granite, indifférencié  |
| 15202246 | Granitartige Gesteine   | roches granitiques  |
| 15202260 | Granitischer Gneis der Ausserberg-Avat-Zone                       | Gneiss granitique de la zone d'Ausserberg-Avat                    |
| 15205066 | Granophyr   | Granophyre permien du Sudalpin                                    |
| 15206071 | Graphitschiefer, undifferenziert                                  | schiste graphiteux, indifférencié                                 |
| 15202094 | Graspas-Member  | Membre du Graspas   |
| 15200392 | Graue Molasse   | Molasse Grise (OMM)   |
| 15200564 | Graupensand   | Graupensand   |
| 15200037 | Grellingen-Member   | Membre de Grellingen  |

| GeolCode | Deutsch                                       | Français  |
|----------|---|---|
| 15200063 | Grenchenberg-Member                           | Membre du Grenchenberg                                      |
| 15200467 | Grenzdolomit                                  | Grenzdolomit (Fm. de Schinznach)                            |
| 15200481 | Grenzkalk                                     | Grenzkalk   |
| 15200016 | Grenznerineen-Bank                            | Banc à Nérinées du sommet                                   |
| 15205037 | Grenzposidonienschichten                      | Lumachelle à Posidonia alpina<br>(Grenzposidonienschichten) |
| 15202525 | Grenzquarzit der<br>Bommerstein-Formation     | Grenzquarzit der<br>Bommerstein-Formation                   |
| 15202473 | Grépillon-Leukogranitporphyr                  | Leucogranite des Grépillons                                 |
| 15203009 | Grès de Passage                               | Membre des Grès de Passage                                  |
| 15200336 | Grès et Marnes Gris à Gypse                   | Grès et Marnes Gris à Gypse                                 |
| 15203480 | Grosso-Someo-Zone                             | zone de Grosso-Someo  |
| 15202138 | Griaz-Member                                  | Membre de la Griaz  |
| 15203068 | Griggeli-Bank                                 | Banc du Griggeli  |
| 15203066 | Griggeli-Formation                            | Formation du Griggeli                                       |
| 15200422 | Grilly-Süsswasserkalk                         | Calcaire d'eau douce de Grilly                              |
| 15200414 | Grimmelfingen-Formation                       | Formation de Grimmelfingen                                  |
| 15202161 | Grimsel-Granodiorit                           | Granodiorite du Grimsel                                     |
| 15202568 | Grimsel-Granodiorit: aplitische<br>Randfazies | Granodiorite du Grimsel: faciès<br>aplitique de bordure     |
| 15200550 | Grindelegg-Formation                          | Formation de la Grindelegg                                  |
| 15202043 | Grindelwald-Marmor                            | Marbre de Grindelwald                                       |
| 15202322 | Grisch-Member                                 | Membre du (Piz) Grisch                                      |
| 15200352 | Grisigen-Mergel                               | Marne de Grisigen   |
| 15202317 | Gros-Plané-Melange                            | Mélange du Gros Plané                                       |
| 15200071 | Gross-Wolf-Member                             | Membre du Gross Wolf  |
| 15202380 | Grotzen-Austernbank                           | Grotzen-Austernbank   |
| 15203511 | Gruf-Migmatit                                 | Migmatite du Gruf   |
| 15200207 | Gruhalde-Member                               | Membre de la Gruhalde                                       |
| 15203447 | Grundberg-Serie                               | Série du Grundberg  |
| 15200194 | Grüne Mumienbank                              | Grüne Mumienbank  |
| 15206036 | Grüngestein, undifferenziert                  | roche verte, indifférenciée                                 |
| 15203467 | Grüngesteine der<br>Distulberg-Formation      | Roches vertes de la Formation du<br>Distulberg              |
| 15203179 | Grüngesteine der Grava- und<br>Tomül-Decke    | Roches vertes (Grava/Tomül)                                 |
| 15202173 | Grünhorn-Member («Vulkanisches<br>Member»)    | Membre volcanique (Fm. du<br>Bifertengrätli)                |
| 15200081 | Grünschholz-Member                            | Membre du Grünschholz                                       |
| 15202071 | Grünten-Member                                | Membre du Grünten   |
| 15202008 | Gruontal-Konglomerat                          | Conglomérat du Gruontal                                     |
| 15205028 | Gruppe der Scaglia Lombarda                   | Groupe de la Scaglia Lombarda                               |
| 15205023 | Gruppe des Lombardischen Flysch               | Groupe du Flysch Lombard                                    |
| 15205010 | Gruppe des Lombardischen<br>Gompholit         | Groupe de la Gompholite Lombarde                            |
| 15202442 | Gryonne-Formation                             | Formation de la Gryonne                                     |
| 15200516 | Gstaldenbach-Member                           | Membre du Gstaldenbach                                      |
| 15203121 | Guber-Sandstein                               | Grès de Guber   |
| 15203131 | Gueyras-Komplex                               | Complexe de la Gueyras                                      |
| 15202501 | Gufelialp-Member                              | Membre de la Gufelialp                                      |
| 15200657 | Gugenmühle-Member                             | Membre du Gugenmühle  |
| 15200298 | Guggershorn-Formation                         | Formation du Guggershorn                                    |
| 15200099 | Guiers-Member                                 | Membre du Guiers  |
| 15200425 | Gümmenen-Formation                            | Formation de Gümmenen                                       |

| GeolCode | Deutsch   | Français   |
|----------|---|--|
| 15203083 | Gummfluh-Mikrofazies  | Microfaciès de la Gummfluh   |
| 15200573 | Günsberg- und Vellerat-Formation, undifferenziert                                   | Formation de Günsberg et de Vellerat, indifférenciées                              |
| 15200160 | Günsberg-, Vellerat-, Villigen-, Balsthal- und Courgenay-Formation, undifferenziert | Formations de Günsberg, Vellerat, Villigen, Balsthal et Courgenay, indifférenciées |
| 15200118 | Günsberg-Formation  | Formation de Günsberg  |
| 15200321 | Gunten-Quarzitnagelfluh   | Poudingue quartzitique de Gunten   |
| 15202111 | Guppen-Fossilhorizont   | Horizon fossilifère de Guppen  |
| 15203110 | Gurnigel-Flysch   | Flysch du Gurnigel   |
| 15202112 | Gursbach-Fossilhorizont   | Horizon fossilifère du Gursbach  |
| 15202242 | Gurschen-Gneis  | Gneiss de la Gurschen(alp)   |
| 15202509 | Guschakopf-Sandstein  | Grès du Guschakopf   |
| 15202243 | Guspis-Gneis  | Gneiss de la Guspis  |
| 15204084 | Güstizia-Gneis  | Gneiss de la Güstizia  |
| 15204068 | Gutenstein-Formation  | Formation de Gutenstein  |
| 15202198 | Guttannen-Gneiskomplex  | Complexe gneissique de Guttannen   |
| 15202575 | Guttannen-Gneiskomplex: Amphibolit führend  | Complexe gneissique de Guttannen: avec amphibolite                                 |
| 15202576 | Guttannen-Gneiskomplex: aplitischer Granit  | Complexe gneissique de Guttannen: granite aplitique                                |
| 15202556 | Guttannen-Gneiskomplex: Biotit-Choritschiefer                                       | Complexe gneissique de Guttannen: schiste à chlorite et biotite                    |
| 15202557 | Guttannen-Gneiskomplex: Chlorit-Serizitschiefer                                     | Complexe gneissique de Guttannen: schiste à séricite et chlorite                   |
| 15202577 | Guttannen-Gneiskomplex: Marmor  | Complexe gneissique de Guttannen: marbre   |
| 15202574 | Guttannen-Gneiskomplex: Migmatit  | Complexe gneissique de Guttannen: migmatite  |
| 15202555 | Guttannen-Gneiskomplex: Orthogneis  | Complexe gneissique de Guttannen: orthogneiss                                      |
| 15202554 | Guttannen-Gneiskomplex: Paragneis   | Complexe gneissique de Guttannen: paragneiss                                       |
| 15202585 | Guttannen-Gneiskomplex: schierfriger Biotit-Chlorit-Serizit-Gneis                   | Complexe gneissique de Guttannen: gneiss schisteux à biotite, chlorite, séricite   |
| 15202578 | Guttannen-Gneiskomplex: Ultramafit  | Complexe gneissique de Guttannen: roche ultramafique                               |
| 15202313 | Gwürz-Flysch  | Flysch de Gwürz  |
| 15203166 | Gyrenspitz-Formation  | Formation du Gyrenspitz  |
| 15202316 | Habkern-Granit  | Granite de Habkern   |
| 15202001 | Habkern-Melange   | Mélange de Habkern   |
| 15202496 | Hahnenstock-Keratophyr  | Kératophyre du Hahnenstock   |
| 15200566 | Haldenhof-Mergel  | Marne de Haldenhof   |
| 15200090 | Hallau-Bank   | Banc de Hallau   |
| 15200486 | Hamitenton-Formation  | Hamitenton-Formation   |
| 15200469 | Hangende-Bankkalke-Formation  | Hangende-Bankkalke-Formation   |
| 15202157 | Haslital-Gruppe   | Groupe du Haslital   |
| 15200241 | Hauenstein-Granit   | Granite du Hauenstein  |
| 15200069 | Hauenstein-Member   | Membre de Hauenstein   |
| 15205050 | Hauptdolomit  | Dolomia Principale   |



| GeolCode | Deutsch  | Français   |
|----------|--|--|
| 15204150 | Hauptdolomit-Gr.: bituminöse Dolomitbrekzie      | Groupe de la Hauptdolomite: brèche dolomitique bitumineuse |
| 15204030 | Hauptdolomit-Gruppe                              | Hauptdolomit-Gruppe  |
| 15204127 | Haupter-Brekzie                                  | Brèche de l'Haupter  |
| 15200030 | Hauptmumienbank-Member                           | Membre du Hauptmumienbank (Oolithe nuciforme)              |
| 15200008 | Hauptrogenstein                                  | Hauptrogenstein  |
| 15203263 | Hauta-Crêtaz-Formation                           | Formation de Hauta-Crêtaz                                  |
| 15203382 | Haute-Pointe-Formation                           | Formation de la Haute Pointe                               |
| 15200152 | Hauterive-Mergel                                 | Membre d'Hauterive   |
| 15200458 | Hautes-Roches-Algenkalk                          | Calcaire algaire des Hautes Roches                         |
| 15200264 | Hegau-Basalt                                     | Basalte du Hegau   |
| 15200266 | Hegau-Deckentuffe                                | Tuffite du Hegau   |
| 15200265 | Hegau-Phonolith                                  | Phonolite du Hegau   |
| 15200263 | Hegau-Vulkanite                                  | Roches volcaniques du Hegau                                |
| 15200517 | Heiden-Member                                    | Membre de Heiden   |
| 15203586 | Heiti- und Rossinière-Formation, undifferenziert | Heiti- und Rossinière-Formation, undifferenziert           |
| 15203048 | Heiti-Formation                                  | Formation de Heiti   |
| 15200565 | Heliciden-Mergel                                 | Marne à Hélicidés  |
| 15203116 | Hellstätt-Formation                              | Formation de Hellstätt                                     |
| 15202079 | Helvetischer Kieselkalk                          | Kieselkalk Helvétique                                      |
| 15202515 | Helvetischer Kieselkalk, Basisschiefer           | Helvetischer Kieselkalk, Basisschiefer                     |
| 15202513 | Helvetischer Kieselkalk, Oberer Teil             | Helvetischer Kieselkalk, Oberer Teil                       |
| 15202514 | Helvetischer Kieselkalk, Unterer Teil            | Helvetischer Kieselkalk, Unterer Teil                      |
| 15200684 | Herdern-Streifengneis                            | Herdern-Streifengneis                                      |
| 15200044 | Herznach-Member                                  | Membre de Herznach   |
| 15200339 | Heuboden-Äschitannen-Nagelfluh                   | Poudingue de Heuboden-Äschitannen                          |
| 15204022 | Hierlatz-Kalk                                    | Calcaire de Hierlatz                                       |
| 15200358 | Hilfern-Formation                                | Formation de la Hilfern                                    |
| 15202483 | Hinterbalm-Granit                                | Granite d'Hinterbalm                                       |
| 15200068 | Hirnichopf-Member                                | Membre du Hirnichopf                                       |
| 15200525 | Hochalp-Member                                   | Membre de la Hochalp                                       |
| 15200268 | Höchegg-Brekzie                                  | Brèche de la Höchegg                                       |
| 15200523 | Hochfläschli-Member                              | Membre de la Hochfläschli                                  |
| 15202070 | Hochkugel-Schichten                              | Couches du Hochkugel                                       |
| 15203020 | Hochmatt-Kalkarenit                              | Calcarénite de la Hochmatt                                 |
| 15202363 | Höchst-Flysch                                    | Höchst-Flysch  |
| 15202113 | Hochstollen-Formation                            | Formation du Hochstollen                                   |
| 15200501 | Hohenolber-Tuffit                                | Tuffite du Hohenolber                                      |
| 15200655 | Hohentengen-Formation                            | Formation d'Hohentengen                                    |
| 15202022 | Hohgant-Sandstein                                | Grès du Hohgant  |
| 15202593 | Hohgant-Sandstein, Sandkalk und Kalk             | Grès du Hohgant, calcaire gréseux et calcaire              |
| 15200315 | Höhronen-Nagelfluh                               | Poudingue des Höhronen                                     |
| 15203091 | Holzerhorn-Einheit                               | Unité du Holzerhorn  |
| 15203324 | Holzerspitz-Gruppe                               | Holzerspitz-Gruppe   |
| 15203325 | Holzerspitz-Kalkschiefer                         | Calcschistes de l'Holzerspitz                              |
| 15200190 | Holzflue-Member                                  | Membre de la Holzflue                                      |
| 15200513 | Hombach-Member                                   | Formation du Hombach                                       |
| 15200514 | Homberg-Formation                                | Membre de Homberg  |
| 15200178 | Homomya-Mergel                                   | Marne à Homomyes   |

| GeolCode | Deutsch                                     | Français  |
|----------|---|---|
| 15200529 | Honegg-Mergel                               | Marne de la Honegg                                |
| 15200299 | Horgen-Käpfnach-Süsswasserkalk              | Calcaire d'eau douce de Horgen-Käpfnach           |
| 15205115 | Hornblendegabbro der Arolla-Decke           | Gabbro à hornblende du Groupe d'Arolla            |
| 15206091 | Hornblendegneis, undifferenziert            | gneiss à hornblende, indifférencié                |
| 15200111 | Hornbuck-Member                             | Membre du Hornbuck                                |
| 15200646 | Hornbüel-Melange                            | Mélange de Hornbüel                               |
| 15206090 | Hornfels, undifferenziert                   | cornéenne, indifférenciée                         |
| 15203080 | Horngraben-Formation                        | Formation du Horngraben                           |
| 15200297 | Hörnli-Formation                            | Formation du Hörnli                               |
| 15200267 | Hörnligipfel-Nagelfluh                      | Poudingue du Hörnligipfel                         |
| 15200269 | Hörnligubel-Mergel                          | Marne du Hörnligubel                              |
| 15200350 | Horw-Sandstein                              | Grès d'Horw                                       |
| 15200292 | Hüllistein-Konglomerat                      | Conglomérat d'Hüllistein                          |
| 15200066 | Humphriesi-Schichten                        | Couches à Humphriesi                              |
| 15200490 | Humphriesioolith-Subformation               | Humphriesioolith-Subformation                     |
| 15203140 | Hundsrügg-Formation                         | Formation du Hundsrügg                            |
| 15200531 | Hünibach-Nagelfluh                          | Poudingue de Hünibach                             |
| 15200177 | Hupper                                      | Hupper  |
| 15202381 | Hurst-Mergel                                | Hurst-Mergel                                      |
| 15203428 | Hyperaugengneis der Monte-Leone-Decke       | Hyperaugengneiss de la nappe du Monte Leone       |
| 15202308 | Iberg-Melange                               | Mélange d'Iberg                                   |
| 15200007 | Ifenthal-Formation                          | Formation d'Ifenthal                              |
| 15202508 | Ignimbritisches Member (Tscharren)          | Ignimbritisches Member (Tscharren)                |
| 15202153 | Ilanz-Verrucano                             | Verrucano d'Ilanz                                 |
| 15202502 | Ilanz-Verrucano s.s.                        | Verrucano d'Ilanz s.s.                            |
| 15200478 | Impressamergel-Formation                    | Impressamergel-Formation                          |
| 15202122 | Inferno-Formation                           | Formation d'Inferno                               |
| 15202402 | Inferno-Formation, Mittlerer Teil           | Formation d'Inferno, partie moyenne               |
| 15202401 | Inferno-Formation, Oberer Teil              | Formation d'Inferno, partie supérieure            |
| 15202403 | Inferno-Formation, Unterer Teil             | Formation d'Inferno, partie inférieure            |
| 15206016 | Informelle Zuordnung                        | Informelle Zuordnung                              |
| 15203282 | Infrabrèche-Melange                         | Mélange infra-brèche                              |
| 15202307 | Infrapräalpines Melange                     | Mélange Infrapréalpin                             |
| 15202195 | Innertkirchen-Migmatit                      | Migmatite d'Innertkirchen                         |
| 15202531 | Innertkirchen-Migmatit, permisch verwittert | Migmatite d'Innertkirchen, à altération permienne |
| 15202573 | Innertkirchen-Migmatit: Marmor              | Migmatite d'Innertkirchen: marbre                 |
| 15202168 | Intschi-Formation                           | Formation d'Intschi                               |
| 15203034 | Intyamon-Formation                          | Formation de l'Intyamon                           |
| 15202311 | Isentobel-Komplex                           | Complexe de l'Isentobel                           |
| 15202521 | Iserin-Flysch                               | Iserin-Flysch                                     |
| 15205134 | Ivrea Mafischer Komplex                     | Complexe Mafique d'Ivrée                          |
| 15202424 | Javrex-Formation                            | Formation du Javrex                               |
| 15200399 | Jensberg-Schichten                          | Couches du Jensberg                               |
| 15203215 | Jes-Formation                               | Formation de la Jes                               |
| 15202015 | Jochstock-Konglomerat                       | Conglomérat du Jochstock                          |
| 15202432 | Jogne-Formation                             | Formation de la Jogne                             |
| 15200360 | Jordisboden-Mergel                          | Marne du Jordisboden                              |

| GeolCode | Deutsch  | Français  |
|----------|--|---|
| 15206010 | Jorio-Tonalit                                  | Jorio-Tonalit                                     |
| 15202438 | Joux-Galez-Member                              | Membre de Joux Galez                              |
| 15203102 | Joux-Verte-Formation                           | Formation de la Joux Verte                        |
| 15204124 | Julier-Granodiorit                             | Granodiorite du Julier                            |
| 15200226 | Jüngere Flussablagerungen                      | Jüngere Flussablagerungen (Fm. de Weiach)         |
| 15200302 | Jura-Nagelfluh                                 | Juranagelfluh (OSM-J)                             |
| 15202298 | Jura des Helvetikums                           | Jurassique de l'Helvétique                        |
| 15200162 | Jura des Juragebirges                          | Jurassique du Jura                                |
| 15200575 | Jurensismergel-Formation                       | Jurensismergel-Formation                          |
| 15200139 | Kaiseraugst-Formation                          | Formation de Kaiseraugst                          |
| 15200211 | Kaisten-Bank                                   | Banc de Kaisten                                   |
| 15200408 | Kalchstätten-Formation                         | Formation de Kalchstätten                         |
| 15205102 | Kalk der Dolin-Gruppe                          | Calcaire du Groupe du Dolin                       |
| 15204134 | kalkalkalische Intrusiva des Ostalpins         | roches intrusives calc-alcalines de l'Austroalpin |
| 15203207 | Kalkberg-Gruppe                                | Groupe du Kalkberg                                |
| 15202451 | Kalkiger Mines-Lias                            | Lias des Mines calcaire                           |
| 15203581 | Kalkiger Tonschiefer der Grava-Decke           | Schiste argilo-calcaire de la nappe de la Grava   |
| 15206101 | Kalkmarmor, undifferenziert                    | marbre calcaire, indifférencié                    |
| 15200536 | Kalksandstein-Serie                            | Kalksandstein-Serie                               |
| 15203455 | Kalkschiefer der Fäldbach-Serie                | Calcschistes de la Série du Fäldbach              |
| 15206104 | Kalkschiefer, undifferenziert                  | calcschiste, indifférencié                        |
| 15205054 | Kalkschieferzone                               | Kalkschieferzone (Fm. de Meride)                  |
| 15206052 | Kalksilikatfels                                | roche calcsilicatée                               |
| 15206108 | Kalkstein, undifferenziert                     | calcaire, indifférencié                           |
| 15200530 | Kaltbach-Nagelfluh                             | Poudingue du Kaltbach                             |
| 15200647 | Kalter-Wangen-Formation                        | Formation du Kalter Wangen                        |
| 15202054 | Kamm-Bank                                      | Banc du Kamm                                      |
| 15200544 | Kännelegg-Nagelfluh                            | Poudingue de la Kännelegg                         |
| 15206056 | Känozoikum, undifferenziert                    | Cénozoïque, indifférencié                         |
| 15202491 | Kapfen-Formation                               | Formation de Kapfen                               |
| 15202492 | Kapfen-Sandstein                               | Grès de Kapfen                                    |
| 15200509 | Käpfnach-Formation                             | Formation de Käpfnach                             |
| 15203473 | Karbon der Maggia-Decke                        | Carbonifère de la nappe de la Maggia              |
| 15203348 | Karbon der Zone-Houillère                      | Carbonifère de la Zone Houillère                  |
| 15206080 | Karbon, undifferenziert                        | Carbonifère, indifférencié                        |
| 15200644 | Karbonatreiche Molasse                         | Karbonatreiche Molasse                            |
| 15200645 | Karbonatreiche Molasse: Kalk-Dolomit-Nagelfluh | Karbonatreiche Molasse: Kalk-Dolomit-Nagelfluh    |
| 15200147 | Karneol-Horizont                               | Karneol-Horizont (Fm. du Dinkelberg)              |
| 15203527 | Karpatischer Keuper                            | Karpatischer Keuper                               |
| 15202147 | Kärpf-Formation                                | Formation du Kärpf                                |
| 15202493 | Kärpfgipfel-Sernifit                           | Sernifite du Kärpfgipfel                          |
| 15202148 | Karrenstock-Formation                          | Formation du Karrenstock                          |
| 15204118 | Kesch-Augengneis                               | Gneiss oeilé du Piz Kesch                         |
| 15200125 | Keuper   | Groupe du Keuper                                  |
| 15200134 | Kienberg-Member                                | Membre de Kienberg                                |
| 15202364 | Kiental-Melange                                | Kiental-Melange                                   |
| 15200413 | Kirchberg-Formation                            | Formation de Kirchberg                            |
| 15202292 | Kistenstöckli-Member                           | Membre du Kistenstöckli                           |

| GeolCode | Deutsch                            | Français  |
|----------|------------------------------------|---|
| 15202062 | Klaus-Bank                         | Banc de Klaus                                   |
| 15202296 | Kleintal-Konglomerat               | Conglomérat du Kleintal                         |
| 15200234 | Klemmbach-Granit                   | Granite du Klemmbach                            |
| 15200126 | Klettgau-Formation                 | Formation du Klettgau                           |
| 15202028 | Klimsenhorn-Formation              | Formation du Klimsenhorn                        |
| 15200120 | Klingnau-Formation                 | Formation de Klingnau                           |
| 15203562 | Klippen-Flysch                     | Klippen-Flysch                                  |
| 15203171 | Klus-Formation                     | Formation de la Klus                            |
| 15203090 | Klus-Konglomerat                   | Conglomérat de la Klus                          |
| 15200518 | Klusbach-Member                    | Membre du Klusbach                              |
| 15200108 | Knollen-Bank                       | Knollen-Bank (Fm. de Villigen)                  |
| 15203065 | Knollenargovien                    | Knollenargovien                                 |
| 15200121 | Knorri-Ton                         | Argile à Knorri                                 |
| 15200229 | Kohle-Serie                        | Kohle-Serie (Fm. de Weiach)                     |
| 15206064 | Konglomerat, undifferenziert       | conglomérat, indifférencié                      |
| 15203376 | Konglomeratgneis (Terri)           | Konglomeratgneis (Terri)                        |
| 15206109 | Konglomeratgneis, undifferenziert  | gneiss conglomératique, indifférencié           |
| 15204024 | Kössen-Formation                   | Formation de Kössen                             |
| 15202047 | Kreide des Helvetikums             | Crétacé de l'Helvétique                         |
| 15200161 | Kreide des Juragebirges            | Crétacé du Jura                                 |
| 15204089 | Kreide des Ostalpins               | Kreide des Ostalpins                            |
| 15205072 | Kreide des Südalpins               | Kreide des Südalpins                            |
| 15206028 | Kreide, undifferenziert            | Crétacé, indifférencié                          |
| 15200681 | Kreuzlingen-Granit                 | Kreuzlingen-Granit                              |
| 15200273 | Krinau-Schichten                   | Couches de Krinau                               |
| 15203400 | Kristallin der Berisal-Decke       | Socle cristallin de la nappe de Berisal         |
| 15205127 | Kristallin der Margna-Sella        | socle cristallin de la nappe de la Margna-Sella |
| 15203320 | Kristallin der Monte-Leone-Decke   | Socle cristallin de la nappe du Monte Leone     |
| 15200616 | Kristallin der Nordschweiz         | Kristallin der Nordschweiz                      |
| 15203448 | Kristallin der Portjengrat-Decke   | Socle cristallin de la nappe du Portjengrat     |
| 15203433 | Kristallin der Ruginenta-Decke     | Socle cristallin de la nappe de Ruginenta       |
| 15203402 | Kristallin der Ruitor-Decke        | Socle cristallin de la nappe du Ruitor          |
| 15203405 | Kristallin des Briançonnais        | Socle cristallin du Briançonnais                |
| 15202466 | Kristallin des Helvetikums         | Socle cristallin de l'Helvétique                |
| 15204091 | Kristallin des Ostalpins           | Kristallin des Ostalpins                        |
| 15205078 | Kristallin des Südalpins           | Kristallin des Südalpins                        |
| 15206031 | Kristallingestein, undifferenziert | roche cristalline, indifférenciée               |
| 15200316 | Kronberg-Nagelfluh                 | Poudingue du Kronberg                           |
| 15200526 | Krummenau-Member                   | Membre de Krummenau                             |
| 15200424 | Krustenkalk                        | Calcaire concrétionné (USM)                     |
| 15202027 | Küblibad-Member                    | Membre du Küblibad                              |
| 15203271 | Kumli-Schichten                    | Couches de la Kumli                             |
| 15200288 | Küsnacht-Bentonit                  | Bentonite de Küsnacht                           |
| 15200109 | Küssaburg-Member                   | Membre de la Küssaburg                          |
| 15200449 | La-Charrue-Süsswasserkalk          | Calcaire d'eau douce de la Charrue              |
| 15200342 | La-Chaux-Süsswasserkalk            | Calcaire d'eau douce de La Chaux                |
| 15203398 | La-Dotse-Albitkalk                 | Calcaire albitisé de la Dotse                   |
| 15200027 | La-May-Member                      | Membre de la May                                |

| GeolCode | Deutsch   | Français  |
|----------|---|---|
| 15200438 | La-Presta-Mergel                                  | Argile de la Presta                               |
| 15204113 | La-Rösa-Orthogneis                                | Orthogneiss de la Rösa                            |
| 15200665 | La-Vaux-Bank                                      | La-Vaux-Bank                                      |
| 15200448 | La-Verrerie-Süsswasserkalk                        | Calcaire d'eau douce de la Verrerie               |
| 15202213 | Lac-Cornu-Eklogit                                 | Éclogite du Lac Cornu                             |
| 15203395 | Lacerandes-Augengneis                             | Gneiss oëillé des Lacerandes                      |
| 15200474 | Lacunosamergel-Formation                          | Lacunosamergel-Formation                          |
| 15203367 | Lagensandkalk                                     | Lagensandkalk                                     |
| 15203483 | Lago-Scuro-Formation                              | Formation du Lago Scuro                           |
| 15202234 | Laiets-Gneiskomplex                               | Complexe gneissique des Laiets                    |
| 15202170 | Lakustrisches Member                              | Membre lacustre (Fm. du Bifertengrätli)           |
| 15203244 | Lamperehubel-Sandstein                            | Grès du Lamperehubel                              |
| 15200456 | Landaize-Kalk                                     | Calcaire de Landaize                              |
| 15204058 | Landwasser-Member                                 | Membre de la Landwasser                           |
| 15203588 | Langel- und Col-de-Cordon-Member, undifferenziert | Langel- und Col-de-Cordon-Member, undifferenziert |
| 15203239 | Langel-Member                                     | Membre de Langel                                  |
| 15203578 | Langel-Member der Zentralschweizer Klippen        | Membre de Langel des klippes de Suisse centrale   |
| 15203328 | Langenegg-Formation                               | Langenegg-Formation                               |
| 15203007 | Langy-Member                                      | Membre de Langy                                   |
| 15202587 | Laubersmad-Flysch                                 | Flysch du Laubersmad                              |
| 15200395 | Laufen-Juranagelfluh                              | Juranagelfluh de Laufen                           |
| 15200191 | Laufen-Member                                     | Membre de Laufen                                  |
| 15200249 | Laufenburg-Gneiskomplex                           | Complexe gneissique de Laufenburg                 |
| 15203232 | Lavagna-Formation                                 | Formation de Lavagna                              |
| 15204093 | Lavatèra-Brekzie                                  | Lavatèra-Brekzie                                  |
| 15204126 | Lavinèr-Brekzie                                   | Brèche du Piz Lavinèr                             |
| 15202286 | Lavtina-Sandstein                                 | Grès de Lavtina                                   |
| 15200671 | Le-Coin-Formation                                 | Le-Coin-Formation                                 |
| 15200623 | Le-Locle-Formation                                | Le-Locle-Formation                                |
| 15200624 | Le-Verger-Member                                  | Le-Verger-Member                                  |
| 15203430 | Lebendun-Gneis, arkosisch                         | Gneiss du Lebendun, arkosique                     |
| 15203431 | Lebendun-Gneis, konglomeratisch                   | Gneiss du Lebendun, conglomératique               |
| 15203318 | Lebendun-Gneiskomplex                             | Complexe gneissique du Lebendun                   |
| 15204003 | Lech-Formation                                    | Formation de Lech                                 |
| 15203557 | Legiuna-Gneis                                     | Gneiss de Legiuna                                 |
| 15202422 | Leiboden-Mergel                                   | Marne du Leiboden                                 |
| 15200282 | Leimbach-Bentonit                                 | Bentonite de Leimbach                             |
| 15203155 | Leimern-Kalk                                      | Calcaire de la Leimern                            |
| 15203574 | Leimern-Schichten                                 | Couches de la Leimern                             |
| 15202421 | Leist-Mergel                                      | Marne du Leist                                    |
| 15200240 | Lenzkirch-Steina-Granit                           | Granite de Lenzkirch-Steina                       |
| 15200572 | Les-Bayards-Juranagelfluh                         | Gompholite des Bayards                            |
| 15203098 | Lessus-Member                                     | Membre du Lessus                                  |
| 15200107 | Letzi-Member                                      | Membre du Letzi                                   |
| 15200538 | Leuenfall-Nagelfluh                               | Poudingue du Leuenfall                            |
| 15203427 | Leukogneis der Monte-Leone-Decke                  | Leucogneiss de la nappe du Monte Leone            |
| 15200464 | Leutschenberg-Member                              | Membre du Leutschenberg                           |
| 15203551 | Leventina-D.: Amphibolit                          | Leventina-D.: Amphibolit                          |
| 15203548 | Leventina-D.: Kalksilikatfels                     | Leventina-D.: Kalksilikatfels                     |

| GeolCode | Deutsch  | Français  |
|----------|--|---|
| 15203549 | Leventina-D.: Leukogneis                             | Leventina-D.: Leukogneis  |
| 15203550 | Leventina-D.: Paragneis                              | Leventina-D.: Paragneis   |
| 15202273 | Leventina-Gneis                                      | Gneiss de la Leventina  |
| 15203546 | Leventina-Gneis: oberer Teil                         | Gneiss de la Leventina: partie supérieure                         |
| 15203547 | Leventina-Gneis: unterer Teil                        | Gneiss de la Leventina: partie inférieure                         |
| 15203010 | Leyderry-Member                                      | Membre de la Leyderry   |
| 15203251 | Lias-Kalk (Grava)                                    | Gryphäenkalk  |
| 15203275 | Lias der Klippen-Decke                               | Lias de la nappe des Préalpes Médianes                            |
| 15202120 | Lias des Helvetikums                                 | Lias de l'Helvétique  |
| 15200056 | Lias des Juragebirges                                | Lias du Jura  |
| 15204090 | Lias des Ostalpins                                   | Lias des Ostalpins  |
| 15205075 | Lias des Südalpins                                   | Lias des Südalpins  |
| 15206025 | Lias, undifferenziert                                | Lias, indifférencié   |
| 15200296 | Lichtensteig-Schichten                               | Formation de Lichtensteig   |
| 15202081 | Lidernen-Member                                      | Membre de la Lidernen   |
| 15203149 | Liechtenstein-Flysch                                 | Flysch du Liechtenstein   |
| 15200133 | Liedertswil-Member                                   | Membre de Liedertswil   |
| 15200471 | Liegende-Bankkalke-Formation                         | Liegende-Bankkalke-Formation                                      |
| 15200637 | Lienegg-Formation                                    | Formation du Lienegg  |
| 15200040 | Liesberg-Member                                      | Membre de Liesberg  |
| 15200619 | Limnischer Horizont (OMM-I)                          | Horizon limnique (OMM-I)  |
| 15200431 | Limnischer Horizont (OMM-II)                         | Horizon limnique (OMM-II)   |
| 15200680 | Lindau-Granit  | Lindau-Granit   |
| 15203197 | Lirec-Formation                                      | Formation de Lirec  |
| 15206020 | Lithologische Einheit, undifferenziert               | Lithologische Einheit, undifferenziert                            |
| 15203518 | Lizun-Grünschiefer                                   | Schistes verts du Lizun   |
| 15202411 | Lochegg-Brekzie                                      | Brèche de la Lochegg  |
| 15200476 | Lochen-Subformation                                  | Lochen-Subformation   |
| 15206018 | Lochsiten-Kalk                                       | Lochsiten-Kalk  |
| 15203313 | Lodano-Gneis   | Lodano-Gneis  |
| 15202218 | Lognan-Orthogneis                                    | Orthogneiss de Lognan   |
| 15205033 | Lombardische Radiolarit-Gruppe                       | Groupe de la Radiolarite Lombarde                                 |
| 15200590 | Loorenkopf-Nagelfluh                                 | Loorenkopf-Nagelfluh  |
| 15203488 | Loranco-Amphibolit                                   | Amphibolite de Loranco  |
| 15200532 | Losenegg-Formation                                   | Formation de la Losenegg  |
| 15205093 | Losone-Schiefer                                      | Losone-Schiefer   |
| 15202520 | Lotharingien-Sandstein                               | Lotharingien-Sandstein  |
| 15202200 | Lötschental-Gneiskomplex                             | Complexe gneissique du Lötschental                                |
| 15202560 | Lötschental-Gneiskomplex: Chloritschiefer            | Complexe gneissique du Lötschental: schiste à chlorite            |
| 15202559 | Lötschental-Gneiskomplex: migmatitischer Biotitgneis | Complexe gneissique du Lötschental: gneiss à biotite migmatitique |
| 15202558 | Lötschental-Gneiskomplex: Muskovitgneis              | Complexe gneissique du Lötschental: gneiss à muscovite            |
| 15205011 | Lucino-Konglomerat                                   | Conglomérat de Lucino   |
| 15203081 | Lückengraben-Formation                               | Formation du Lückengraben   |
| 15203374 | Lugnez-Schiefer                                      | Schistes du Val Lumnezia  |
| 15202211 | Luisin-Orthogneis                                    | Orthogneiss du Luisin   |

| GeolCode | Deutsch                          | Français                                  |
|----------|----------------------------------|---|
| 15202068 | Luitere-Bank                     | Banc de la Luitere                        |
| 15200312 | Luzern-Formation                 | Formation de Lucerne                      |
| 15202448 | Maasplanggstock-Metaandesit      | Méta-andésite du Maasplanggstock          |
| 15205043 | Macchia Vecchia                  | Macchia Vecchia                           |
| 15200482 | Macrocephalenoolith-Subformation | Macrocephalenoolith-Subformation          |
| 15203385 | Macugnaga-Augengneis             | Gneiss oeilé de Macugnaga                 |
| 15200199 | Maeandrina-Schichten             | Couches à Maeandrina                      |
| 15203552 | Maggia-D.: Amphibolit            | Maggia-D.: Amphibolit                     |
| 15203476 | Maggia-D.: Paragneis             | Maggia-D.: Paragneis                      |
| 15205092 | Maia-Metagabbro                  | Maia-Metagabbro                           |
| 15205032 | Maiolica Lombarda                | Maiolica Lombarda                         |
| 15203341 | Malenco-Serpentinit              | Malenco-Serpentinit                       |
| 15203269 | Malm der Klippen-Decke           | Malm de la nappe des Préalpes<br>Médianes |
| 15202096 | Malm des Helvetikums             | Malm de l'Helvétique                      |
| 15200012 | Malm des Juraebirges             | Malm du Jura                              |
| 15204088 | Malm des Ostalpins               | Malm des Ostalpins                        |
| 15205073 | Malm des Südalpins               | Malm des Südalpins                        |
| 15206027 | Malm, undifferenziert            | Malm, indifférencié                       |
| 15202538 | Malmbrekzie                      | Brèche du Malm                            |
| 15203064 | Malmkalk                         | Malmkalk                                  |
| 15205016 | Malnate-Sandstein                | Grès de Malnate                           |
| 15204099 | Maloja-Gneiskomplex              | Complexe gneissique du Maloja             |
| 15204098 | Maloja-Orthogneis                | Maloja-Orthogneis                         |
| 15202294 | Malor-Member                     | Membre du Malor                           |
| 15200232 | Malsburg-Granit                  | Granite de Malsburg                       |
| 15200239 | Mambach-Granit                   | Granite de Mambach                        |
| 15206053 | Mamor, undifferenziert           | marbre, indifférencié                     |
| 15203133 | Manche-Formation                 | Formation de la Manche                    |
| 15205070 | Manno-Formation                  | Formation de Manno                        |
| 15203494 | Maran-Brekzie                    | Brèche de Maran                           |
| 15200558 | Marbach-Member                   | Membre de Marbach                         |
| 15202151 | Mären-Formation                  | Formation de la Mären(egg)                |
| 15205126 | Marinelli-Formation              | Formation de Marinelli                    |
| 15203158 | Marmontains-Schichten            | Formation des Marmontains                 |
| 15203410 | Marmor der Tsaté-Decke           | Marbre de la nappe du Tsaté               |
| 15205121 | Marmor der Valpelline-Gruppe     | Marbre du Groupe de Valpelline            |
| 15203418 | Marmor der Zermatt-Saas-Decke    | Marbre de la nappe de<br>Zermatt-Saas     |
| 15200356 | Marnes gris-souris               | Marnes gris-souris                        |
| 15202281 | Martinsmad-Formation             | Formation de Martinsmad                   |
| 15202331 | Massa-Gneiskomplex               | Complexe gneissique de la Massa           |
| 15203485 | Massari-Formation                | Formation du (Pizzo) Massari              |
| 15200546 | Mathod-Sandstein                 | Grès de Mathod                            |
| 15203317 | Matorello-Gneis                  | Matorello-Gneis                           |
| 15203188 | Matse-Member                     | Membre de la Matse                        |
| 15202006 | Matt-Formation                   | Formation de Matt                         |
| 15202362 | Mättental-Melange                | Mättental-Melange                         |
| 15205096 | Matterhorn-Gabbro                | Matterhorn-Gabbro                         |
| 15203100 | Mattes-Melange                   | Mélange des Mattes                        |
| 15202034 | Mattgrat-Member                  | Membre du Mattgrat                        |
| 15200345 | Matzendorf-Süßwasserkalk         | Calcaire d'eau douce de Matzendorf        |
| 15202226 | Medel-Granit                     | Granite de Medel                          |
| 15203355 | Medola-Quarzit                   | Quartzite du Mèdola                       |

| GeolCode | Deutsch  | Français   |
|----------|--|--|
| 15200366 | Meeressand   | Meeressand   |
| 15202374 | Meierhof-Phyllit                                     | Meierhof-Phyllit                                     |
| 15200294 | Meilen-Kalk  | Calcaire de Meilen                                   |
| 15200507 | Meilen-Schichten                                     | Couches de Meilen                                    |
| 15202285 | Meilleret-Formation                                  | Formation du Meilleret                               |
| 15202523 | Meilleret-Formation, Arkose                          | Meilleret-Formation, Arkose                          |
| 15202522 | Meilleret-Formation, Calcaires<br>organo-détritiques | Meilleret-Formation, Calcaires<br>organo-détritiques |
| 15202524 | Meilleret-Formation, Conglomérat<br>basal            | Meilleret-Formation, Conglomérat<br>basal            |
| 15200416 | Meinisberg-Muschelsandstein                          | Grès coquillier de Meinisberg                        |
| 15206005 | Melirola-Augengneis                                  | Melirola-Augengneis                                  |
| 15202584 | Mels- und Röti-Formation,<br>undifferenziert         | Formations de Mels et de Röti,<br>indifférenciées    |
| 15202141 | Mels-Formation                                       | Formation de Mels                                    |
| 15200454 | Mergel- und Kalkzone (MKZ)                           | Zone marneuses et calcaire (MKZ)                     |
| 15200184 | Mergelkalk-Zone                                      | Zone marno-calcaire (Fm. du Grand<br>Essert)         |
| 15206118 | Mergelstein, undifferenziert                         | Mergelstein, undifferenziert                         |
| 15203298 | Mergoscia-Gneis                                      | Mergoscia-Gneis                                      |
| 15205053 | Meride-Formation                                     | Formation de Meride                                  |
| 15206034 | Mesozoikum, undifferenziert                          | Mésozoïque, indifférencié                            |
| 15205112 | Metabasit der Arolla-Gruppe                          | Métaroché basique du Groupe<br>d'Arolla              |
| 15205113 | Metabasit der Arolla-Gruppe,<br>mylonitisch          | Métaroché basique du Groupe<br>d'Arolla, mylonitique |
| 15205111 | Metagranitoide der Arolla-Gruppe                     | Métagranitoïde du Groupe d'Arolla                    |
| 15203193 | Métailler-Formation                                  | Formation du Métailler                               |
| 15203411 | Metaradiolarit der Tsaté-Decke                       | Métaradiolarite de la nappe du Tsaté                 |
| 15203492 | Metasedimente der Arosa-Decke                        | Métasédiments de la nappe d'Arosa                    |
| 15203502 | Metasedimente der Avers-Decke                        | Métasédiments de la nappe de<br>l'Avers              |
| 15203496 | Metasedimente der Platta-Decke                       | Métasédiments de la nappe du<br>Platta               |
| 15203409 | Metasedimente der Tsaté-Decke                        | Métasédiments de la nappe du<br>Tsaté                |
| 15203412 | Metasedimente der<br>Zermatt-Saas-Decke              | Métasédiments de la nappe de<br>Zermatt-Saas         |
| 15204042 | Mezdi-Member   | Membre du (Piz) Mezdi                                |
| 15203439 | Mezzalama-Granit                                     | Granite de Mezzalama                                 |
| 15204017 | Mezzaun-Member                                       | Membre du (Piz) Mezzaun                              |
| 15203274 | Mieussy-Member                                       | Membre de Mieussy                                    |
| 15202205 | Miéville-Mylonit                                     | Mylonite de Miéville                                 |
| 15202259 | Migmatit der Ausserberg-Avat-Zone                    | Migmatite de la zone<br>d'Ausserberg-Avat            |
| 15202269 | Migmatit der<br>Ausserbinn-Piz-Cavel-Zone            | Migmatite de la zone<br>d'Ausserbinn-Piz Cavel       |
| 15205122 | Migmatit der Valpelline-Gruppe                       | Migmatite du Groupe de Valpelline                    |
| 15206086 | Migmatit, undifferenziert                            | migmatite, indifférenciée                            |
| 15206061 | Mikrodiorit, undifferenziert                         | microdiorite, indifférenciée                         |
| 15206044 | Mikrogranit  | microgranite   |
| 15206043 | Mineralisierter Gang                                 | filon minéralisé                                     |
| 15204046 | Mingèr-Dolomit                                       | Dolomie du Val Mingèr                                |
| 15204045 | Mingèr-Formation                                     | Formation du Val Mingèr                              |



| GeolCode | Deutsch  | Français   |
|----------|--|--|
| 15203505 | Minschun-Brekzie   | Brèche du Minschun   |
| 15203465 | Minugrat-Eklogit   | Éclogite du Minugrat   |
| 15204026 | Mitgel-Member  | Membre du (Piz) Mitgel   |
| 15202159 | Mittagflue-Granit  | Granite de la Mittagflue                                       |
| 15203577 | Mittellias der Klippen-Decke                             | Lias moyen des Préalpes  |
| 15202332 | Mittelvariszische Intrusiva des Aiguilles-Rouges-Massivs | Roches plutoniques éo-varisques du massif des Aiguilles Rouges |
| 15200562 | Mittlere Juranagelfluh                                   | Mittlere Juranagelfluh   |
| 15203129 | Mocausa-Nagelfluh  | Poudingue de la Mocausa  |
| 15200254 | Molasse  | Molasse  |
| 15200337 | Molasse à Charbon  | Molasse à Charbon  |
| 15200332 | Molasse Grise de Lausanne                                | Molasse Grise de Lausanne                                      |
| 15200338 | Molasse Rouge  | Molasse Rouge  |
| 15200545 | Molasse Rouge des Jurasüdfusses                          | Molasse Rouge du Pied-du-Jura                                  |
| 15200549 | Molasse Rouge von Monthey                                | Molasse Rouge de Monthey                                       |
| 15200548 | Molasse Rouge von Vevey                                  | Molasse Rouge de Vevey   |
| 15203039 | Molésou-Formation  | Formation du Molésou   |
| 15200420 | Molière-Muschelsandstein                                 | Grès coquillier de la Molière                                  |
| 15205041 | Molino-Member  | Membre du Molino   |
| 15202117 | Mols-Member  | Membre de Mols   |
| 15205040 | Moltrasio-Formation                                      | Formation de Moltrasio   |
| 15204082 | Mönchalp-Augengneis                                      | Gneiss oillé de la Mönchalp                                    |
| 15203462 | Moncucco-Peridotit                                       | Péridotite du Moncucco   |
| 15203191 | Mondra-Member  | Membre de la Mondra  |
| 15202216 | Mont-Blanc-Granit  | Granite du Mont Blanc  |
| 15205005 | Mont-Collon-Komplex                                      | Complexe du Mont Collon  |
| 15203415 | Mont-des-Ritzes-Metabasalt                               | Métabasalte du Mont des Ritzes                                 |
| 15202126 | Mont-Joly-Formation                                      | Formation du Mont Joly   |
| 15205086 | Mont-Morion-Granit                                       | Mont-Morion-Granit   |
| 15203396 | Mont-Mort-Metapelit                                      | Métopélites du Mont Mort                                       |
| 15200318 | Mont-Pèlerin-Nagelfluh                                   | Poudingue du Mont Pèlerin                                      |
| 15203196 | Mont-Rogneux-Metagranit                                  | Métagranite du Mont Rogneux                                    |
| 15200083 | Mont-Terri-Member  | Membre du Mont Terri   |
| 15200586 | Montauban-Mergel   | Montauban-Mergel   |
| 15200587 | Montauban-Sandstein                                      | Montauban-Sandstein  |
| 15200386 | Montchaibeux-Member                                      | Membre du Montchaibeux   |
| 15200653 | Montcherand-Member                                       | Membre de Montcherand  |
| 15206008 | Monte-Bassetta-Quarzdiorit                               | Monte-Bassetta-Quarzdiorit                                     |
| 15203299 | Monte-Rosa-Gneis   | Monte-Rosa-Gneis   |
| 15203440 | Monte-Rosa-Orthogneis, grobkörnig                        | Orthogneiss du Mont Rose, à grain grossier                     |
| 15203453 | Monte-Rosa-Orthogneis, mittelkörnig                      | Orthogneiss du Mont Rose, à grain moyen                        |
| 15203442 | Monte-Rosa-Orthogneis, mylonitisch                       | Orthogneiss du Mont Rose, mylonitique                          |
| 15206013 | Monte-Rosso-Mikrogranit                                  | Monte-Rosso-Mikrogranit  |
| 15200419 | Montécu-Schichten  | Couches de Montécu   |
| 15202206 | Montées-Pélissiers-Granit                                | Granite des Montées-Pélissiers                                 |
| 15202217 | Montenvers-Granit  | Granite du Montenvers  |
| 15202123 | Monts-Rosset-Formation                                   | Formation des Monts Rosset                                     |
| 15204047 | Mora-Member  | Membre du Val Mora   |
| 15205038 | Morbio-Formation   | Formation de Morbio  |
| 15202480 | Morcles-Mikrogranit                                      | Microgranite de Morcles  |
| 15200588 | Mornex-Nagelfluh   | Mornex-Nagelfluh   |

| GeolCode | Deutsch   | Français  |
|----------|---|---|
| 15200664 | Morteau-Bänke   | Morteau-Bänke                                     |
| 15200669 | Morteau-Mergel  | Morteau-Mergel                                    |
| 15204116 | Morteratsch-Serpentinit                                   | Serpentine du Morteratsch                         |
| 15200442 | Mortier-Mergel  | Marne du Mortier                                  |
| 15200119 | Moutier-Korallenkalk                                      | Calcaire à coraux de Moutier                      |
| 15200059 | Movelier-Schichten  | Couches de Movelier                               |
| 15200618 | Mümliswil-Süsswasserkalk                                  | Calcaire d'eau douce de Mümliswil                 |
| 15200236 | Münsterhalden-Granit                                      | Granite des Münsterhalden                         |
| 15202180 | Munt-Dado-Granit  | Granite du Munt Dado                              |
| 15202290 | Muot-da-Rubi-Formation                                    | Formation du Muot da Rubi                         |
| 15200493 | Murchisonaeoolith-Formation                               | Murchisonaeoolith-Formation                       |
| 15203343 | Muretto-Quarzit   | Muretto-Quarzit                                   |
| 15203013 | Murgaz-Kalk   | Calcaire de Murgaz                                |
| 15202324 | Murgtal-Formation   | Formation du Murgtal                              |
| 15200248 | Murgtal-Gneiskomplex                                      | Complexe gneissique du Murgtal                    |
| 15202044 | Mürren-Brekzie  | Brèche de Mürren                                  |
| 15204031 | Murtèr-Plattenkalk  | Calcaire plaqueté du (Piz) Murtèr                 |
| 15204032 | Murteret-Dolomit  | Dolomie du Murteret                               |
| 15202101 | Mürtschen-Member  | Membre de Mürtschen                               |
| 15204037 | Müschauns-Dolomit   | Dolomie du (Val) Müschauns                        |
| 15200129 | Muschelkalk   | Groupe du Muschelkalk                             |
| 15200391 | Muschelsandstein  | Zone du grès coquillier (OMM)                     |
| 15205124 | Musella-Granit  | Granite de Musella                                |
| 15203073 | Musenalp-Member   | Membre de la Musenalp                             |
| 15200078 | Müsenegg-Bank   | Banc de la Müsenegg                               |
| 15200181 | Mussel-Member   | Membre de Mussel                                  |
| 15205119 | Mylonit der Valpelline-Gruppe                             | Mylonite du Groupe de Valpelline                  |
| 15206051 | Mylonit, undifferenziert                                  | mylonite, indifférenciée                          |
| 15203067 | Mythen-Kieselkalk   | Calcaire siliceux des Mythen                      |
| 15203088 | Mytilus-Schichten   | Couches à Mytilus                                 |
| 15204092 | Nair-Porphyröid   | Nair-Porphyröid                                   |
| 15200258 | Napf-Formation  | Formation du Napf                                 |
| 15200622 | Napf-Formation, distale Fazies                            | Napf-Formation, distale Fazies                    |
| 15200621 | Napf-Formation, proximale Fazies                          | Napf-Formation, proximale Fazies                  |
| 15203486 | Naret-Formation   | Formation du Narèt                                |
| 15200148 | Narlay-Formation  | Formation de Narlay                               |
| 15202237 | Nelva-Gneiskomplex  | Complexe gneissique de Nelva                      |
| 15203063 | Neokom  | Neokom  |
| 15200649 | Netzbachtal-Nagelfluh                                     | Poudingue du Netzbachtal                          |
| 15202020 | Niederhorn-Formation                                      | Formation du Niederhorn                           |
| 15202060 | Nideri-Schichten  | Couches de la Nideri                              |
| 15200401 | Niedermatt-Formation                                      | Formation de Niedermatt                           |
| 15203001 | Niesen-Flysch   | Flysch du Niesen                                  |
| 15203004 | Niesenkulm-Formation                                      | Formation du Niesenkulm                           |
| 15203205 | Nisellas-Gruppe   | Groupe de Nisellas                                |
| 15203176 | Nolla-Kalkschiefer  | Calcaire de la Nolla                              |
| 15203209 | Nolla-Kristallin  | Socle cristallin du Nolla                         |
| 15203177 | Nolla-Tonschiefer   | Argillite de la Nolla                             |
| 15203579 | Nolla-Tonschiefer: Quarzsandstein                         | Schistes argileux de la Nolla: grès quartzitique  |
| 15202005 | Nordhelvetische Flysch-Gruppe                             | Groupe du Flysch nord-helvétique                  |
| 15202542 | Nordhelvetische Flysch-Gruppe, vorw. schiefriger Tonstein | Formations d'Elm et de Matt: argillite schisteuse |
| 15203252 | Nordpenninische Trias                                     | Trias nord-pennique                               |

| GeolCode | Deutsch   | Français                                       |
|----------|---|--|
| 15203456 | Nordpenninischer Dogger                                     | Dogger nord-pennique                           |
| 15203457 | Nordpenninischer Lias                                       | Lias nord-pennique                             |
| 15206002 | Novate-Intrusiva  | Intrusion de Novate                            |
| 15202369 | Nufenen-Granatschiefer                                      | Nufenen-Granatschiefer                         |
| 15202367 | Nufenen-Knotenschiefer                                      | Nufenen-Knotenschiefer                         |
| 15202368 | Nufenen-Sandstein   | Nufenen-Sandstein                              |
| 15200578 | Numismalismergel-Formation                                  | Numismalismergel-Formation                     |
| 15202257 | Oberaar-Furka-Zone  | zone de l'Oberaar-Furka                        |
| 15203164 | Oberäpli-Formation  | Formation de l'Oberäpli                        |
| 15200331 | Oberaquitane Mergelzone                                     | Oberaquitane Mergelzone                        |
| 15200430 | Oberdorf-Süswasserkalk                                      | Calcaire d'eau douce d'Oberdorf                |
| 15200472 | Obere-Felsenkalke-Formation                                 | Obere-Felsenkalke-Formation                    |
| 15200061 | Obere Acuminata-Schichten                                   | Couches à Acuminata supérieures                |
| 15203104 | Obere Brekzie   | Brèche Supérieure                              |
| 15200429 | Obere bunte Molasse   | Molasse bariolée supérieure                    |
| 15202282 | Obere Flyschabfolge (Sardona)                               | Obere Flyschabfolge (Sardona)                  |
| 15200412 | Obere Grenznagelfluh  | Obere Grenznagelfluh (Fm. de Saint-Gall)       |
| 15203246 | Obere Kalk- und Tonschiefer der Zone Piz Terri - Lunschania | Obere Kalk- und Tonschiefer (Grava/Tomül)      |
| 15200307 | Obere Meeresmolasse (OMM)                                   | Molasse marine supérieure (OMM)                |
| 15200060 | Obere Oolithische Serie (Grande Oolithe)                    | Série oolitique supérieure (Grande Oolithe)    |
| 15203240 | Obere Rauwacke der Klippen-Decke                            | Cornieule Supérieure                           |
| 15202534 | Obere Sandsteine (Spirstock)                                | Obere Sandsteine (Spirstock)                   |
| 15203105 | Obere Schiefer (Schistes Ardoisiers)                        | Schistes Ardoisiers                            |
| 15200136 | Obere Sufatzzone  | Obere Sufatzzone (Fm. de Zeglingen)            |
| 15200255 | Obere Süswassermolasse (OSM)                                | Molasse d'eau douce supérieure (OSM)           |
| 15203120 | Obere Tonsteinschichten                                     | Obere Tonsteinschichten (Flysch des Schlieren) |
| 15203470 | Oberems-Albitgneis  | Gneiss albitique d'Oberems                     |
| 15205099 | Oberer Meride-Kalk  | Partie supérieure du Calcaire de Meride        |
| 15202302 | Oberer Quintner Kalk  | «Oberer Quinten-Kalk»                          |
| 15202599 | Oberer Quintner Kalk: Korallenkalk                          | Oberer Quintner Kalk: calcaire à coraux        |
| 15202600 | Oberer Quintner Kalk: Unterer Kalk                          | Oberer Quintner Kalk: Unterer Kalk             |
| 15200217 | Oberer Schuttfächer   | Oberer Schuttfächer (Fm. de Weitenau)          |
| 15200380 | Oberer Teil des Hauptrogensteins                            | Partie supérieure du Hauptrogenstein           |
| 15200015 | Oberer Virgula-Mergel                                       | Marnes à Virgula supérieures                   |
| 15200475 | Oberjura-Massenkalk-Formation                               | Oberjura-Massenkalk-Formation                  |
| 15202352 | Oberstafel-Gneis  | Gneiss d'Oberstafel                            |
| 15203078 | Obflue-Formation  | Formation de la Obflue                         |
| 15203201 | Obrist-Gruppe   | Groupe de l'Obrist                             |
| 15200579 | Obtususton-Formation  | Obtususton-Formation                           |
| 15200303 | Oehningien des Juragebirges                                 | Oehningien du Jura                             |
| 15200346 | Oensingien-Süswasserkalk                                    | Calcaire d'eau douce d'Oensingien              |
| 15202201 | Ofenhorn-Stampfhorn-Gneiskomplex                            | Complexe gneissique de l'Ofenhorn-Stampfhorn   |

| GeolCode | Deutsch  | Français   |
|----------|--|--|
| 15202580 | Ofenhorn-Stampfhorn-Gneiskomplex: aplitischer Granit                 | Complexe gneissique de l'Ofenhorn-Stampfhorn: granite aplitique                      |
| 15202563 | Ofenhorn-Stampfhorn-Gneiskomplex: Biotitgneis                        | Complexe gneissique de l'Ofenhorn-Stampfhorn: gneiss à biotite                       |
| 15202561 | Ofenhorn-Stampfhorn-Gneiskomplex: gebänderter Biotit-Plagioklasgneis | Complexe gneissique de l'Ofenhorn-Stampfhorn: gneiss rubané à plagioclase et biotite |
| 15202562 | Ofenhorn-Stampfhorn-Gneiskomplex: Migmatit                           | Complexe gneissique de l'Ofenhorn-Stampfhorn: migmatite                              |
| 15202579 | Ofenhorn-Stampfhorn-Gneiskomplex: mit Schollenamphibolit             | Complexe gneissique de l'Ofenhorn-Stampfhorn: avec amphibolite à blocs               |
| 15202564 | Ofenhorn-Stampfhorn-Gneiskomplex: Orthogneis                         | Complexe gneissique de l'Ofenhorn-Stampfhorn: orthogneiss                            |
| 15202581 | Ofenhorn-Stampfhorn-Gneiskomplex: Schollenamphibolit                 | Complexe gneissique de l'Ofenhorn-Stampfhorn: amphibolite à blocs                    |
| 15202582 | Ofenhorn-Stampfhorn-Gneiskomplex: Ultramafit                         | Complexe gneissique de l'Ofenhorn-Stampfhorn: roche ultramafique                     |
| 15200503 | Öhningen-Formation   | Formation d'Öhningen   |
| 15200504 | Öhningen-Süsswasserkalk  | Calcaire d'eau douce d'Öhningen  |
| 15200272 | Öhningen-Zone im Hörnligebiet  | Zone d'Öhningen de la région du Hörnli   |
| 15202091 | Öhrli-Formation  | Formation de l'Öhrli   |
| 15202527 | Öhrli-Formation, von Siderolithikum durchsetzt                       | Formation de l'Öhrli, à infiltrations de Sidérolithique                              |
| 15200638 | Öligraben-Formation  | Formation de l'Öligraben   |
| 15200192 | Olten-Member   | Membre d'Olten   |
| 15200553 | Oltingue-Kalkarenit  | Calcarénite d'Oltingue   |
| 15200311 | OMM-I  | OMM-I  |
| 15200308 | OMM-II   | OMM-II   |
| 15200567 | OMM-J  | OMM-J  |
| 15200028 | Oolithe-Rousse-Member  | Membre de l'Oolithe rousse   |
| 15200010 | Opalinus-Ton   | Argile à Opalinus  |
| 15206059 | Ophikalzit, undifferenziert  | ophicalcite, indifférenciée  |
| 15203424 | Ophiolith der Antrona-Decke  | Ophiolite de la nappe d'Antrona  |
| 15203236 | Ophiolith der Arosa-Zone   | Ophiolite de la zone d'Arosa   |
| 15203503 | Ophiolith der Avers-Decke  | Ophiolite de la nappe de l'Avers   |
| 15203500 | Ophiolith der Platta-Decke   | Ophiolite de la nappe du Platta  |
| 15203491 | Ophiolith der Ramosch-Zone   | Ophiolite de la zone de Ramosch  |
| 15203414 | Ophiolith der Tsaté-Decke  | Ophiolite de la nappe du Tsaté   |
| 15203422 | Ophiolith der Zermatt-Saas-Decke                                     | Ophiolite de la nappe de Zermatt-Saas  |
| 15200423 | Orbe-Süsswasserkalk  | Calcaire d'eau douce d'Orbe  |
| 15200140 | Orbicularis-Mergel   | Marne à Orbicularis  |
| 15200479 | Ornatenton-Formation   | Ornatenton-Formation   |
| 15205006 | Orthogneis der Arolla-Gruppe   | orthogneiss du Groupe d'Arolla   |
| 15205107 | Orthogneis der Arolla-Gruppe, augig                                  | Orthogneiss du Groupe d'Arolla, oillé  |
| 15205106 | Orthogneis der Arolla-Gruppe, leukokrat                              | Orthogneiss du Groupe d'Arolla, leucocrate   |

| GeolCode | Deutsch   | Français  |
|----------|---|---|
| 15205108 | Orthogneis der Arolla-Gruppe, mylonitisch         | Orthogneiss du Groupe d'Arolla, mylonitique       |
| 15202274 | Orthogneis der Lukmanier-Decke                    | Orthogneiss de la nappe du Lukmanier              |
| 15203426 | Orthogneis der Monte-Leone-Decke                  | Orthogneiss de la nappe du Monte Leone            |
| 15203449 | Orthogneis der Portjengrat-Decke                  | Orthogneiss de la nappe du Portjengrat            |
| 15205131 | Orthogneis der Sesia-Decke                        | orthogneiss de la nappe de Sesia                  |
| 15206076 | Orthogneis, undifferenziert                       | orthogneiss, indifférencié                        |
| 15200295 | OSM-I   | OSM-I   |
| 15200262 | OSM-II  | OSM-II  |
| 15200300 | OSM-J   | OSM-J   |
| 15203268 | Oudiou-Formation                                  | Formation d'Oudiou                                |
| 15202012 | Paläogen des Helvetikums                          | Paléogène de l'Helvétique                         |
| 15206055 | Paläozoikum, undifferenziert                      | Paléozoïque, indifférencié                        |
| 15202092 | Palfris-Formation                                 | Formation de Palfris                              |
| 15202382 | Palis-Member                                      | Palis-Member                                      |
| 15203233 | Palombini-Formation                               | Formation à Palombini                             |
| 15203218 | Panier-Formation                                  | Formation de Panier                               |
| 15202351 | Paradis-Gneiskomplex                              | Complexe gneissique du (Piz) Paradis              |
| 15202261 | Paragneis der Ausserberg-Avat-Zone                | Paragneiss de la zone d'Ausserberg-Avat           |
| 15202270 | Paragneis der Ausserbinn-Piz-Cavel-Zone           | Paragneiss de la zone d'Ausserbinn-Piz Cavel      |
| 15202275 | Paragneis der Lukmanier-Decke                     | Paragneiss de la nappe du Lukmanier               |
| 15203429 | Paragneis der Monte-Leone-Decke                   | Paragneiss de la nappe du Monte Leone             |
| 15203443 | Paragneis der Monte-Rosa-Decke                    | Paragneiss de la nappe du Mont Rose               |
| 15203435 | Paragneis der Ruginenta-Decke                     | Paragneiss de la nappe de Ruginenta               |
| 15206077 | Paragneis, undifferenziert                        | paragneiss, indifférencié                         |
| 15205117 | Paragneiss der Arolla-Gruppe                      | Paragneiss du Groupe d'Arolla                     |
| 15204052 | Parai-Alba-Member                                 | Membre de la Parai Alba                           |
| 15204139 | Parait-Chavagl-Granit                             | Granite du Parait Chavagl                         |
| 15202486 | Pardatschas-Granit                                | Granite du (Piz) Pardatschas                      |
| 15200202 | Parkinsoni-Schichten                              | Couches à Parkinsoni                              |
| 15200487 | Parkinsonioolith-Subformation                     | Parkinsonioolith-Subformation                     |
| 15203307 | Parnegl-Formation                                 | Parnegl-Formation                                 |
| 15204050 | Partnach-Formation                                | Formation de la Partnach                          |
| 15203482 | Passo-di-Cristallina-Zone                         | zone du Passo di Cristallina                      |
| 15200673 | Passwang- bis Ifenthal-Formation, undifferenziert | Passwang- bis Ifenthal-Formation, undifferenziert |
| 15200009 | Passwang-Formation                                | Formation du Passwang                             |
| 15200195 | Pecten-Bank                                       | Banc à Pecten (Fm. de Wildegg)                    |
| 15206040 | Pegmatit  | pegmatite   |
| 15202439 | Pereyres-Formation                                | Formation de la Pereyre                           |
| 15206001 | Periadriatische Vulkanite                         | roches volcaniques cénozoïques péri-adriatiques   |
| 15206096 | Peridotit, undifferenziert                        | péridotite, indifférencié                         |
| 15203472 | Perm der Maggia-Decke                             | Permien de la nappe de la Maggia                  |

| GeolCode | Deutsch  | Français  |
|----------|--|---|
| 15202504 | Perm der Tavetsch-Decke (Val Acla Mulin)       | Permien de la nappe du Tavetsch (Val Acla Mulin)        |
| 15203386 | Perm der Zone-Houillère                        | Permien de la Zone Houillère                            |
| 15203389 | Perm der Zone-Houillère, konglomeratisch       | Permien conglomératique de la Zone Houillère            |
| 15203387 | Perm der Zone-Houillère, quarzschiefrig        | Permien quarzoschisteux de la Zone Houillère            |
| 15206100 | Perm, undifferenziert                          | Permien, indifférencié                                  |
| 15202255 | Permisch verwittertes Kristallin               | Cristallin à altération permienne                       |
| 15202254 | Permische Sedimente der Illanz-Zone            | Sédiments permien de la zone d'Illanz                   |
| 15205065 | Permische Vulkanite                            | Roches volcanique permienne du Sudalpin                 |
| 15203471 | Permo-Karbon der Maggia-Decke                  | Permo-Carbonifère de la nappe de la Maggia              |
| 15200221 | Permo-Karbon der Nordschweiz                   | Permo-Carbonifère du NW de la Suisse                    |
| 15203406 | Permo-Karbon der Ruitor-Decke                  | Permo-Carbonifère de la nappe du Ruitor                 |
| 15203407 | Permo-Karbon der Ruitor-Decke, konglomeratisch | Permo-Carbonifère conglomératique de la nappe du Ruitor |
| 15202266 | Permo-Karbon der Urseren-Garvera-Zone          | Permo-Carbonifère de la zone d'Urseren-Garvera          |
| 15202465 | Permo-Karbon des Aiguilles-Rouges-Massivs      | Permo-Carbonifère du massif des Aiguilles Rouges        |
| 15202142 | Permo-Karbon des Helvetikums                   | Permo-Carbonifère de l'Helvétique                       |
| 15204128 | Permo-Karbon des Ostalpins                     | Permo-Carbonifère de l'Austroalpin                      |
| 15205077 | Permo-Karbon des Südalpins                     | Permo-Karbon des Südalpins                              |
| 15206103 | Permokarbon, undifferenziert                   | Permo-Carbonifère, indifférencié                        |
| 15203141 | Perrières-Formation                            | Formation des Perrières                                 |
| 15202214 | Perrons-Orthogneis                             | Orthogneiss des Perrons                                 |
| 15203545 | Personico-Gneis                                | Gneiss de Personico                                     |
| 15200149 | Perte-du-Rhône-Formation                       | Formation de la Perte-du-Rhône                          |
| 15203481 | Pertusio-Zone                                  | zone de Pertusio  |
| 15200571 | Péry-Geröllsande                               | Sable à galets de Péry                                  |
| 15202220 | Pesciora-Gruppe                                | Groupe de Pesciora                                      |
| 15203052 | Petit-Liençon-Formation                        | Formation du Petit Liençon                              |
| 15202219 | Pétoudes-Orthogneis                            | Orthogneiss des Pétoudes                                |
| 15200512 | Petrefaktenlager                               | Petrefaktenlager (Fm. du Belpberg)                      |
| 15203160 | Peula-Schichten                                | Couches de la Peula                                     |
| 15203084 | Pfad-Mikrofazies                               | Microfaciès de Pfad                                     |
| 15200403 | Pfadflüe-Nagelfluh                             | Poudingue de la Pfadflüe                                |
| 15200677 | Pfaffnau-Granit                                | Pfaffnau-Granit   |
| 15200257 | Pfänder-Schichten                              | Couches du Pfänder                                      |
| 15200280 | Pfannenstiel-Schichten                         | Couches du Pfannenstiel                                 |
| 15203168 | Pfävigrat-Formation                            | Formation du Pfävigrat                                  |
| 15200542 | Pfiffegg-Nagelfluh                             | Poudingue de la Pfiffegg                                |
| 15200522 | Pfingstboden-Member                            | Membre du Pfingstboden                                  |
| 15204072 | Pflanzenquarzit                                | Pflanzenquarzit (Fm. du Fuorn)                          |
| 15203423 | Pfulwe-Metabasalt                              | Métabasalte du Pfulwe                                   |
| 15203381 | Phengitgneis der Aul-Decke                     | Phengitgneis (Grava)                                    |
| 15206082 | Phyllit, undifferenziert                       | phyllite, indifférenciée                                |
| 15206095 | Phyllitgneis, undifferenziert                  | gneiss phyllitique, indifférencié                       |

| GeolCode | Deutsch   | Français  |
|----------|---|---|
| 15203356 | Pianasciom-Kalkschiefer   | Calcschiste de Pianasciom   |
| 15203357 | Piano-delle-Creste-Sandstein                                    | Grès du Piano delle Creste  |
| 15200039 | Pichoux-Formation   | Formation du Pichoux  |
| 15203408 | Piémont-Glanzschiefer   | Schistes lustrés du Piémontais  |
| 15203413 | Piémont-Ophiolith   | Ophiolite du Piémontais   |
| 15203345 | Pierre-Avoi-Brekzie   | Pierre-Avoi-Brekzie   |
| 15203156 | Pierre-Avoi-Melange   | Mélange de la Pierre Avoi   |
| 15200058 | Pierre-Blanche  | Pierre Blanche (Hauptrogenstein)  |
| 15200097 | Pierre-Châtel-, Vions- und Chambotte-Formation, undifferenziert | Formations de Pierre-Châtel, de Vions et de la Chambotte, indifférenciées |
| 15200101 | Pierre-Châtel-Formation   | Formation de Pierre-Châtel  |
| 15200151 | Pierre Jaune de Neuchâtel                                       | Membre de Neuchâtel   |
| 15202017 | Pierredar-Kalk  | Calcaire de Pierredar   |
| 15203026 | Pissot-Member   | Membre du Pissot  |
| 15202455 | Piz-Cuolmet-Gneiskomplex  | Complexe gneissique du Piz Cuolmet  |
| 15203507 | Piz-del-Palo-Gneis  | Gneiss du Piz del Palo  |
| 15204111 | Piz-Trovat-Metarhyolit  | Métarhyolite du Piz Trovat  |
| 15205051 | Pizzella-Mergel   | Marne du (Monte) Pizzella   |
| 15203351 | Pizzo-Castello-Wildflysch                                       | Wildflysch du Pizzo Castello  |
| 15205094 | Pizzo-Leone-Gneis   | Pizzo-Leone-Gneis   |
| 15203033 | Plagersflue-Kalkarenit  | Calcarénite de la Plagersflue   |
| 15202361 | Plaine-Morte-Melange  | Plaine-Morte-Melange  |
| 15203060 | Plan-Falcon-Formation   | Formation de Plan Falcon  |
| 15202435 | Planière-Member   | Membre de la Planière   |
| 15203146 | Planken-Formation   | Formation de Planken  |
| 15203145 | Planknerbrücke-Formation  | Formation de Planknerbrücke   |
| 15202304 | Planplatte-Eisenoolith  | Oolite ferrugineuse de la Planplatte                                      |
| 15204085 | Plasseggen-Augengneis   | Gneiss oëillé de Plasseggen   |
| 15203224 | Plattamala-Granit   | Granite de la nappe de la Tasna   |
| 15204008 | Plattas-Member  | Membre de Plattas   |
| 15202602 | Plattazüg-Formation   | Formation du Plattazüg  |
| 15200146 | Plattensandstein  | Plattensandstein (Fm. du Dinkelberg)                                      |
| 15202058 | Plattenwald-Bank  | Banc du Plattenwald   |
| 15200218 | Playa-Serie   | Playa-Serie (Fm. de Weitenau)   |
| 15202203 | Plex-Aboyeu-Rhyodazit   | Rhyodacite de Plex-Aboyeu   |
| 15202519 | Pliensbachien-Spatkalk  | Pliensbachien-Spatkalk  |
| 15200444 | Poet-Bank   | Banc du Poet  |
| 15205087 | Pointe-d'Otemma-Granodiorit                                     | Pointe-d'Otemma-Granodiorit   |
| 15203264 | Pointe-de-l'Au-Brekzie  | Brèche de la Pointe de l'Au   |
| 15200390 | Polygene Nagelfluh  | Poudingue polygénique (OMM)   |
| 15200436 | Poncin-Member   | Membre de Poncin  |
| 15200667 | Pont-des-Pierres-Bank   | Pont-des-Pierres-Bank   |
| 15205009 | Pontegana-Konglomerat   | Conglomérat de Pontegana  |
| 15200440 | Ponthoud-Bank   | Banc du Ponthoud  |
| 15205137 | Pontida-Formation   | Formation de Pontida  |
| 15202236 | Pontino-Gneiskomplex  | Complexe gneissique de Pontino  |
| 15202207 | Pormenaz-Granit   | Granite de Pormenaz   |
| 15200370 | Porrentruy-Konglomerat  | Conglomérat de Porrentruy   |
| 15200026 | Porrentruy-Member   | Membre de Porrentruy  |
| 15200576 | Posidonienschiefer-Formation                                    | Posidonienschiefer-Formation  |
| 15204103 | Postvariszische Diabasgänge                                     | Filons de diabase postvarisques   |

| GeolCode | Deutsch   | Français  |
|----------|---|---|
| 15200243 | Prä- und frühvariszische Sedimente und Vulkanite der Nordschweiz              | Roches sédimentaires et volcaniques anté- à éo-varisques de la Forêt Noire      |
| 15202357 | Prä- und Frühvariszische Sedimente und Vulkanite des Aiguilles-Rouges-Massivs | Roches sédimentaires et volcaniques éo-varisques du massif des Aiguilles Rouges |
| 15203029 | Pra-du-Pont-Hartgrund   | Hardground de Pra du Pont   |
| 15204036 | Pra-Grata-Member  | Membre de Pra Grata   |
| 15204078 | Präbichl-Formation  | Formation de Präbichl   |
| 15203277 | Pralet-Formation  | Formation du Pralet   |
| 15205114 | Prasinit der Arolla-Gruppe  | Prasinite du Groupe d'Arolla  |
| 15203468 | Prasinit der Métailler-Formation  | Prasinites de la Formation du Métailler   |
| 15206041 | Prasinit, undifferenziert   | prasinite, indifférenciée   |
| 15202347 | Prato-Gneis   | Gneiss de Prato   |
| 15203162 | Prättigau-Schiefer  | Schistes du Prättigau   |
| 15200253 | Prävariszische Grüngesteine der Nordschweiz                                   | Roches vertes de la Forêt Noire   |
| 15204137 | prävariszische Grüngesteine des Ostalpins                                     | roches vertes anté-varisques de l'Austroalpin                                   |
| 15205130 | Prävariszische Metaarkose, Orthogneise  | Métaarkose, orthogneiss anté-varisque   |
| 15205081 | Prävariszische Metasedimente des Südalpins                                    | métasédiments anté-varisques du Sudalpin  |
| 15200250 | Prävariszische Migmatite der Nordschweiz                                      | Migmatites de la Forêt Noire  |
| 15200246 | Prävariszische Orthogneise der Nordschweiz                                    | Orthogneiss de la Forêt Noire   |
| 15204135 | prävariszische Orthogneise des Ostalpins                                      | orthogneiss anté-varisques de l'Austroalpin                                     |
| 15205136 | Prävariszische Orthogneise des Südalpins                                      | orthogneiss anté-varisques du Sudalpin  |
| 15204136 | prävariszische Paragneise des Ostalpins                                       | paragneiss anté-varisques de l'Austroalpin                                      |
| 15203475 | Prävariszisches Grundgebirge der Maggia-Decke                                 | Socle cristallin anté-varisque de la nappe de la Maggia                         |
| 15205129 | Prävariszisches Grundgebirge der Margna-Sella                                 | socle polycyclique anté-varisque de la nappe de la Margna-Sella                 |
| 15203461 | Prävariszisches Grundgebirge des Briançonnais                                 | Socle cristallin anté-varisque du Briançonnais                                  |
| 15202340 | Prävariszisches polyzyklisches Grundgebirge der Gotthardt-Decke               | Socle polycyclique anté-varisque de la nappe du Gotthard                        |
| 15200245 | Prävariszisches polyzyklisches Grundgebirge der Nordschweiz                   | Socle polycyclique anté-varisque de la Forêt Noire                              |
| 15202355 | Prävariszisches polyzyklisches Grundgebirge der Tavetsch-Decke                | Socle polycyclique anté-varisque de la nappe du Tavetsch                        |
| 15202194 | Prävariszisches polyzyklisches Grundgebirge des Aar-Massivs                   | Socle métamorphique polycyclique anté-varisque du massif de l'Aar               |
| 15202334 | Prävariszisches polyzyklisches Grundgebirge des Aiguilles-Rouges-Massivs      | Socle polycyclique anté-varisque du massif des Aiguilles Rouges                 |
| 15202468 | Prävariszisches polyzyklisches Grundgebirge des Helvetikums                   | Socle polycyclique anté-varisque de l'Helvétique                                |



| GeolCode | Deutsch  | Français   |
|----------|--|--|
| 15202337 | Prävariszisches polyzyklisches Grundgebirge des Mont-Blanc-Massivs   | Socle polycyclique anté-varisque du massif du Mont Blanc             |
| 15204119 | prävariszisches polyzyklisches Grundgebirge des Ostalpins            | socle polycyclique anté-varisque de l'Austroalpin                    |
| 15206110 | Prävariszisches, polyzyklisches Grundgebirge, undifferenziert        | socle polycyclique anté-varisque, indifférencié                      |
| 15202440 | Praz-Couquain-Formation  | Formation de Praz Couquain   |
| 15203289 | Praz-Serie   | Série des Praz   |
| 15203436 | Preja-Formation  | Formation de la Preja  |
| 15205022 | Prella-Konglomerat   | Conglomérat de Prella  |
| 15205014 | Prestino-Pelite  | Pélite de Prestino   |
| 15202601 | Prodkamm- bis Sexmor-Formation, undifferenziert                      | Formation du Prodkamm à Formation du Sexmor, indifférenciées         |
| 15202131 | Prodkamm-Formation   | Formation du Prodkamm  |
| 15202390 | Prodkamm-Formation, Mittlerer Teil                                   | Prodkamm-Formation, Mittlerer Teil                                   |
| 15202389 | Prodkamm-Formation, Oberer Teil                                      | Prodkamm-Formation, Oberer Teil                                      |
| 15202391 | Prodkamm-Formation, Unterer Teil                                     | Prodkamm-Formation, Unterer Teil                                     |
| 15202271 | Prosa-Granit   | Granite du (Monte) Prosa   |
| 15204053 | Prosanto-Formation   | Formation du (Piz) Prosanto  |
| 15205085 | Proterozoische und paläozoische Mafite und Ultramafite des Südalpins | Proterozoische und paläozoische Mafite und Ultramafite des Südalpins |
| 15202239 | Prüsfa-Gneiskomplex  | Complexe gneissique de Prüsfa  |
| 15200582 | Psilonotenton-Formation  | Psilonotenton-Formation  |
| 15202456 | Pulanera-Gneiskomplex  | Pulanera-Gneiskomplex  |
| 15204071 | Punt-la-Drossa-Member  | Membre de Punt la Drossa   |
| 15203371 | Punta-Rossa-Komplex  | Complexe de la Punta Rossa   |
| 15202184 | Punteglias-Granit  | Granite de Punteglias  |
| 15202085 | Pygurus-Member   | Membre à Pygurus   |
| 15202136 | Quarten-Formation  | Formation de Quarten   |
| 15206038 | Quarzgang  | filon de quartz  |
| 15205105 | Quarzit der Dolin-Gruppe   | Quartzite du Groupe du Dolin   |
| 15203404 | Quarzit der Nordpenninische Trias                                    | Quartzite du Trias nord-pennique                                     |
| 15203419 | Quarzit der Zermatt-Saas-Decke                                       | Quartzite de la nappe de Zermatt-Saas                                |
| 15206062 | Quarzit, undifferenziert   | quartzite, indifférenciée  |
| 15200432 | Quarzitnagelfluh (der St.-Gallen-Fm.)                                | Poudingue quartzitique (Fm. de Saint-Gall)                           |
| 15206083 | Quarzphyllit, undifferenziert  | quartzphyllite, indifférenciée                                       |
| 15203212 | Quarzsandstein-Flysch (Gault)  | Quarzsandstein-Flysch (Gault)  |
| 15206117 | Quarzsandstein, undiff.  | Grès quartzitique, indiff.   |
| 15204034 | Quattervals-Formation  | Formation du (Piz) Quattervals                                       |
| 15202097 | Quinten-Formation  | Formation de Quinten   |
| 15203137 | Radiolarit   | Radiolarites   |
| 15203235 | Radiolarit der Arosa-Zone  | Radiolarite de la zone d'Arosa                                       |
| 15206107 | Radiolarit, undifferenziert  | radiolarite, indifférenciée  |
| 15200325 | Radiolaritreiche Nagelfluh   | Radiolaritreiche Nagelfluh (Fm. du Rigi)                             |
| 15202083 | Rahberg-Bank   | Membre du Rahberg  |
| 15204149 | Raibl-Gr.: Dolomit   | Groupe de Raible: dolomite   |
| 15204038 | Raibl-Gruppe   | Groupe de Raibl  |

| GeolCode | Deutsch  | Français  |
|----------|--|---|
| 15204151 | Raibl-Gruppe der Zentralschweizer Klippen                    | Groupe de Raibl des klippes de Suisse centrale                      |
| 15200371 | Raitsche   | Raitsche  |
| 15204027 | Ramoz-Member   | Membre de Ramoz   |
| 15200505 | Ramschwag-Nagelfluh  | Poudingue de la Ramschwag   |
| 15203070 | Rämsi-Member   | Membre de Rämsi   |
| 15203185 | Randa-Augengneis   | Gneiss oeilé de Randa   |
| 15200570 | Randen-Grobkalk  | Calcaire grossier du Randen   |
| 15200398 | Randen-Juranagelfluh   | Juranagelfluh du Randen   |
| 15200235 | Randgranit   | Randgranit  |
| 15202063 | Rankweil-Member  | Membre de Rankweil  |
| 15203309 | Raschil-Formation  | Raschil-Formation   |
| 15202418 | Rauwacke (Röti-Fm.)  | Cornieule (Fm. de la Röti)  |
| 15203243 | Rauwacke der Brekzien-Decke                                  | Cornieule de la nappe de la Brèche                                  |
| 15205104 | Rauwacke der Dolin-Gruppe                                    | Cornieule du Groupe du Dolin  |
| 15202547 | Rauwacke der Helvetische Trias                               | Cornieule du Trias helvétique                                       |
| 15203571 | Rauwacke der Klippen-Decke                                   | Cornieule des Préalpes Médiannes                                    |
| 15204146 | Rauwacke der Raibl-Gruppe                                    | Cornieule du Groupe de Raibl  |
| 15203575 | Rauwacke und Quarzsandstein der Klippen-Decke (basale Trias) | Cornieule et grès quartzitique des Préalpes Médiannes (Trias basal) |
| 15206022 | Rauwacke, undifferenziert                                    | Rauwacke, undifferenziert   |
| 15204061 | Ravais-ch-Member   | Membre de Ravais-ch   |
| 15203011 | Raverette-Member   | Membre de la Raverette  |
| 15202074 | Rawil-Member   | Membre du Rawil   |
| 15203025 | Rayes-Kalk   | Calcaire des Rayes  |
| 15200400 | Rebhubel-Schichten   | Couches du Rebhubel   |
| 15203509 | Rebi-Gneis   | Gneiss de Rebi  |
| 15204069 | Reichenhall-Formation  | Formation de Reichenhall  |
| 15203125 | Reidigen-Formation   | Formation de Reidigen   |
| 15204062 | Reifling-Formation   | Formation de Reiflingen   |
| 15202108 | Reischiben-Formation   | Formation de la Reischiben  |
| 15203147 | Reiselsberg-Formation  | Formation du Reiselsberg  |
| 15200042 | Renggeri-Member  | Membre à Renggeri   |
| 15203556 | Renten-Gneis   | Gneiss de Renten  |
| 15200002 | Reuchenette-Formation  | Formation de Reuchenette  |
| 15203336 | Rhät der Brekzien-Decke                                      | Rhät der Brekzien-Decke   |
| 15203142 | Rhenodanubischer Flysch                                      | Flysch Rhénodanubien  |
| 15206045 | Rhétien, undifferenziert                                     | Rhétien, indifférencié  |
| 15200145 | Rhötton  | Rhötton   |
| 15206035 | Rhyolit, undifferenziert                                     | rhyolite, indifférenciée  |
| 15203362 | Ri-d'Antabia-Konglomerat                                     | Conglomérat du Ri d'Antabia   |
| 15203388 | Ricard-Rhyolit   | Rhyolite de Ricard  |
| 15200077 | Rickenbach-Member  | Membre de Rickenbach  |
| 15202373 | Riein-Schichten  | Riein-Schichten   |
| 15200359 | Rietbad-Subformation   | Sous-formation de Rietbad   |
| 15200075 | Rietheim-Member  | Membre de Rietheim  |
| 15203420 | Riffelberg-Melange   | Mélange du Riffelberg   |
| 15204147 | Rifffazies der Arlberg-Formation                             | faciès récifal de la Formation de l'Arlberg                         |
| 15200322 | Rigi-Formation   | Formation du Rigi   |
| 15203085 | Rindenkorn-Mikrofazies                                       | Microfaciès à oncolithes (Fm. de la Dorfflüe)                       |
| 15203327 | Rinderbach-Formation   | Rinderbach-Formation  |
| 15202489 | Rinderbiel-Mikrogranit                                       | Microgranite de Rinderbiel  |

| GeolCode | Deutsch                          | Français                            |
|----------|----------------------------------|-------------------------------------|
| 15202537 | Ringgenberg-Schichten            | Couches de Ringgenberg              |
| 15205017 | Rio-dei-Gioghi-Pelite            | Pélite du Rio dei Gioghi            |
| 15202431 | Riondounaire-Member              | Membre de Riondounaire              |
| 15203322 | Ritter-Gneis                     | Ritter-Gneis                        |
| 15205049 | Riva-di-Solto-Tonstein           | Argilite de Riva di Solto           |
| 15200094 | Rivière-Member                   | Membre de la Rivière                |
| 15203350 | Robiei-Wildflysch                | Wildflysch de Robièi                |
| 15202393 | Roc-Champion-Konglomerat         | Roc-Champion-Konglomerat            |
| 15200650 | Rocher-des-Hirondelles-Formation | Formation du Rocher des Hirondelles |
| 15206047 | Rodingit                         | rodingite                           |
| 15203128 | Rodomonts-Formation              | Formation des Rodomonts             |
| 15203037 | Rodosex-Member                   | Membre de Rodosex                   |
| 15203330 | Roffna-Gneis                     | Roffna-Gneis                        |
| 15202310 | Roggenegg-Komplex                | Complexe de la Roggenegg            |
| 15203540 | Rognoi-Gneis                     | Gneiss de Rognoi                    |
| 15202072 | Rohrbachstein-Bank               | Banc du Rohrbachstein               |
| 15205123 | Roisan-Marmor                    | Marbre de Roisan                    |
| 15205003 | Roisan-Zone                      | zone de Roisan                      |
| 15203329 | Rombach-Formation                | Rombach-Formation                   |
| 15203030 | Rontins-Member                   | Membre des Rontins                  |
| 15200031 | Röschenz-Member                  | Membre de Röschenz                  |
| 15202046 | Rosenlaur-Marmor                 | Marbre de Rosenlaur                 |
| 15202487 | Rossbodenstock-Diorit            | Diorite du Rossbodenstock           |
| 15200640 | Rossemaison-Formation            | Formation de Rossemaison            |
| 15203519 | Rossi-Formation                  | Formation des Rossi                 |
| 15203047 | Rossinière-Formation             | Formation de Rossinière             |
| 15205034 | Rosso ad Aptici                  | Rosso ad Aptici                     |
| 15205036 | Rosso Ammonitico Lombardo        | Rosso Ammonitico Lombardo           |
| 15202378 | Rossplatten-Diorit               | Rossplatten-Diorit                  |
| 15202499 | Rotberg-Sandstein                | Grès du Rotberg                     |
| 15203027 | Rote-Platte-Formation            | Formation de Rote Platte            |
| 15203023 | Roter-Sattel-Hartgrund           | Hartground de Roter Sattel          |
| 15200064 | Rothenfluh-Member                | Membre de la Rothenfluh             |
| 15202139 | Röti-Formation                   | Formation de la Röti                |
| 15202183 | Rötifirn-Gruppe                  | Groupe du Rötifirn                  |
| 15202221 | Rotondo-Granit                   | Granite du Rotondo                  |
| 15203441 | Rottal-Migmatit                  | Migmatite du Rottal                 |
| 15203490 | Roz-Schiefer                     | Schistes du Roz                     |
| 15203092 | Rubli-Member                     | Membre du Rubli                     |
| 15203163 | Ruchberg-Formation               | Formation du Ruchberg               |
| 15203304 | Rudnal-Formation                 | Rudnal-Formation                    |
| 15202356 | Rueras-Gneiskomplex              | Complexe gneissique de Rueras       |
| 15202314 | Ruestel-Flysch                   | Flysch de Ruestel                   |
| 15204009 | Ruhpolding-Formation             | Formation de Ruhpolding             |
| 15204079 | Ruina-Formation                  | Formation de la Ruina               |
| 15202376 | Ruinas-Sandstein                 | Ruinas-Sandstein                    |
| 15202372 | Runcaleida-Schichten             | Runcaleida-Schichten                |
| 15203297 | Ruscada-Gneis                    | Ruscada-Gneis                       |
| 15202010 | Rüschelweid-Bank                 | Banc du Rüschelweid                 |
| 15202181 | Russein-Diorit                   | Diorite de Russein                  |
| 15204005 | Russenna-Formation               | Formation du (Munt) Russenna        |
| 15200095 | Russille-Member                  | Membre de la Russille               |
| 15202297 | Rütenen-Konglomerat              | Conglomérat de Rütenen              |

| GeolCode | Deutsch                                       | Français                                     |
|----------|---|--|
| 15200541 | Rütiberg-Kalksandstein                        | Grès calcaire de Rütiberg                    |
| 15200283 | Rütschlibach-Riedhof-Süsswasserkalk           | Calcaire d'eau douce du Rütschlibach-Riedhof |
| 15204059 | S-charl-Formation                             | Formation de S-charl                         |
| 15200214 | Saalfeld-Bank                                 | Banc de Saalfeld                             |
| 15203450 | Saas-Fee-Augengneis                           | Gneiss ocellé de Saas Fee                    |
| 15203319 | Sabbione-Sandstein                            | Sabbione-Sandstein                           |
| 15200225 | Säckingen-Granit                              | Granite de Säckingen                         |
| 15200404 | Sädel-Kalknagelfluh                           | Poudingue calcaire de Sädel                  |
| 15202223 | Sädelhorn-Diorit                              | Diorite du Sädelhorn                         |
| 15200313 | Safenwil-Muschelsandstein                     | Grès coquillier de Safenwil                  |
| 15203175 | Safien-Kalk                                   | Calcaire de Safien                           |
| 15202444 | Saix-Member                                   | Membre des Saix                              |
| 15203533 | Salahorn-Fm.: Metaplutonit                    | Formation du Salahorn: métagranite           |
| 15203534 | Salahorn-Fm.: Paragneis                       | Formation du Salahorn: paragneiss            |
| 15204014 | Salamun-Brekzie                               | Brèche de Salamun                            |
| 15203432 | Salarioli-Serie                               | Série du (Passo) Salarioli                   |
| 15206019 | Salleren-Brekzie                              | Salleren-Brekzie                             |
| 15204013 | Salteras-Formation                            | Formation du (Piz) Salteras                  |
| 15205042 | Saltrio-Formation                             | Formation de Saltrio                         |
| 15204011 | Saluver-Formation                             | Formation du (Piz) Saluver                   |
| 15204010 | Saluver-Gruppe                                | Groupe du (Piz) Saluver                      |
| 15202155 | Salvan-Member                                 | Membre de Salvan                             |
| 15200137 | Salzlager                                     | Salzlager (Fm. de Zeglingen)                 |
| 15205080 | San-Bernardo-Gneis                            | San-Bernardo-Gneis                           |
| 15206015 | San-Fedelino-Granit                           | San-Fedelino-Granit                          |
| 15205058 | San-Giorgio-Dolomit                           | Dolomie du (Monte) San Giorgio               |
| 15205061 | San-Salvatore-Dolomit                         | Dolomie du (Monte) San Salvatore             |
| 15203217 | Sanalada-Formation                            | Formation de Sanalada                        |
| 15202506 | Sandalp-Rhyolith                              | Rhyolithe de la Sandalp                      |
| 15204080 | Sandhubel-Member                              | Membre du Sandhubel                          |
| 15202392 | Sandpass-Formation                            | Sandpass-Formation                           |
| 15206105 | Sandstein, undifferenziert                    | grès, indifférencié                          |
| 15202016 | Sanetsch-Formation                            | Formation du Sanetsch                        |
| 15202280 | Sardona-Mélange                               | Mélange du Sardona                           |
| 15202283 | Sardona-Quarzit                               | Quartzite du Sardona                         |
| 15204112 | Sass-Queder-Metarhyolith                      | Métarhyolite du Sass Queder                  |
| 15205091 | Sassa-Metagabbro                              | Sassa-Metagabbro                             |
| 15203169 | Sassauna-Formation                            | Formation de la Sassauna                     |
| 15202343 | Sassina-Augengneis                            | Gneiss ocellé du Sassina                     |
| 15202238 | Sasso-Rosso-Gneiskomplex                      | Complexe gneissique du Sasso Rosso           |
| 15204125 | Sasso-Rosso-Granodiorit                       | Granodiorite du Sasso Rosso                  |
| 15200050 | Saulcy-Member                                 | Membre de Saulcy                             |
| 15202247 | Saure vulkanische und subvulkanische Gesteine | roches volcaniques et subvolcaniques acides  |
| 15206048 | Saurer Gang                                   | filon acide                                  |
| 15203305 | Savognin-Formation                            | Savognin-Formation                           |
| 15205030 | Scaglia Bianca Lombarda                       | Scaglia Bianca Lombarda                      |
| 15205029 | Scaglia Rossa Lombarda                        | Scaglia Rossa Lombarda                       |
| 15205031 | Scaglia Variegata Lombarda                    | Scaglia Variegata Lombarda                   |
| 15202511 | Schabell-Mélange                              | Schabell-Mélange                             |
| 15200676 | Schafisheim-Syenit                            | Schafisheim-Syenit                           |

| GeolCode | Deutsch   | Français   |
|----------|---|--|
| 15200497 | Schallenberg-Member                                   | Marne du Schallenberg                              |
| 15200089 | Schambelen-Member                                     | Membre du Schambelen                               |
| 15202035 | Scharti-Member  | Membre de Scharti                                  |
| 15202539 | Schattwald-Mergelkalk                                 | Calcaire marneux du Schattwald                     |
| 15202315 | Scheidegg-Flysch                                      | Flysch de la Scheidegg                             |
| 15200323 | Scheidegg-Nagelfluh                                   | Poudingue de la Rigi-Scheidegg                     |
| 15200045 | Schellenbrücke-Bank                                   | Banc du Schellenbrücke                             |
| 15200051 | Schelmenloch-Member                                   | Membre du Schelmenloch                             |
| 15203394 | Scherbadung-Gabbro                                    | Gabbro du Scherbadung                              |
| 15200421 | Scherli-Quarzitnagelfluh                              | Poudingue quartzitique du Scherli(grabe)           |
| 15204028 | Schesaplana-Member                                    | Membre du Schesaplana                              |
| 15203434 | Schiefer der Ruginenta-Decke                          | Schistes de la nappe de Ruginenta                  |
| 15200244 | Schiefer und Grauwacken                               | Schistes et grauwackes de la Forêt Noire           |
| 15206111 | Schiefer, undifferenziert                             | schiste, indifférencié                             |
| 15202450 | Schiefriger Mines-Lias                                | Lias des Mines schisteux                           |
| 15202100 | Schilt-Formation                                      | Formation du Schilt                                |
| 15202025 | Schimberg-Member                                      | Membre du Schimberg                                |
| 15200130 | Schinznach-Formation                                  | Formation de Schinznach                            |
| 15203012 | Schistes à Miches                                     | Membre des Schistes à Miches                       |
| 15200357 | Schistes marno-micacés                                | Schistes marno-micacés                             |
| 15203397 | Schistes noirs (Pierre Avoi)                          | Schistes noirs (Pierre Avoi)                       |
| 15200465 | Schlächtenhaus-Granit                                 | Granite de Schlächtenhaus                          |
| 15200682 | Schlächtenhaus-Schiefer                               | Schlächtenhaus-Schiefer                            |
| 15200088 | Schleithem-Bank                                       | Banc de Schleithem                                 |
| 15203117 | Schlieren-Flysch                                      | Flysch des Schlieren                               |
| 15203576 | Schlieren-Flysch: Hauptmasse (Paläogen)               | Flysch des Schlieren: masse principale (Paléogène) |
| 15203118 | Schlieren-Sandstein                                   | Grès des Schlieren                                 |
| 15203573 | Schlieren-Sandstein, im Paläogen tektonisch überprägt | Grès des Schlieren, tectonisé au Paléogène         |
| 15203153 | Schloss-Formation                                     | Formation de Schloss                               |
| 15200224 | Schluchsee-Granit                                     | Granite du Schluchsee                              |
| 15202379 | Schöllenen-Diorit                                     | Schöllenen-Diorit                                  |
| 15200237 | Schönau-Herrenschwand-Granit                          | Granite de Schönau-Herrenschwand                   |
| 15202145 | Schönbüel-Formation                                   | Formation de Schönbüel                             |
| 15202146 | Schönbüel-Quarzit                                     | Quartzite de Schönbüel                             |
| 15203119 | Schoni-Sandstein                                      | Grès de la Schoni                                  |
| 15202073 | Schrattenkalk-Formation                               | Formation du Schrattenkalk                         |
| 15202590 | Schrattenkalk-Formation, vermergelt                   | Formation du Schrattenkalk, devenant marneuse      |
| 15200261 | Schüpferegg-Nagelfluh                                 | Poudingue de la Schüpferegg                        |
| 15202544 | Schwalmern-Kalk                                       | Calcaire de la Schwalmern                          |
| 15202543 | Schwalmern-Schiefer                                   | Schistes de la Schwalmern                          |
| 15200533 | Schwändibach-Nagelfluh                                | Poudingue de Schwändibach                          |
| 15200641 | Schwaningen-Merenbach-Rhyolith                        | Rhyolithe de Schwaningen-Merenbach                 |
| 15200642 | Schwaningen-Weizen-Granit                             | Granite de Schwaningen-Weizen                      |
| 15200658 | Schwarzbach-Schichten                                 | Couches du Schwarzbach                             |
| 15202114 | Schwarzhorn-Member                                    | Membre du Schwarzhorn                              |
| 15200441 | Scie-Besse-Sandstein                                  | Grès de Scie Besse                                 |
| 15203038 | Sciernes-d'Albeuve-Formation                          | Formation des Sciernes d'Albeuve                   |
| 15203363 | Scisti bruni (Lebendun)                               | Scisti bruni (Lebendun)                            |

| GeolCode | Deutsch                                   | Français  |
|----------|---|---|
| 15206054 | Sedimentäre Brekzie, undifferenziert      | brèche sédimentaire, indifférenciée               |
| 15206030 | Sedimentgestein, undifferenziert          | roche sédimentaire, indifférenciée                |
| 15200227 | Seeablagerungen                           | Seeablagerungen (Fm. de Weiach)                   |
| 15200206 | Seebi-Member                              | Membre de Seebi                                   |
| 15200506 | Seerücken-Tuffit                          | Tuffite du Seerücken                              |
| 15202050 | Seewen-Formation                          | Formation de Seewen                               |
| 15202500 | Seez-Member                               | Membre de Seez                                    |
| 15202104 | Seeztal-Member                            | Membre du Seeztal                                 |
| 15200498 | Seli-Nagelfluh                            | Poudingue de Seli                                 |
| 15205125 | Sella-Granodiorit                         | Granodiorite de la Sella                          |
| 15202057 | Sellamatt-Schichten                       | Couches de la Sellamatt                           |
| 15202053 | Selun-Member                              | Membre de Selun                                   |
| 15200418 | Sense-Formation                           | Formation de la Singine                           |
| 15200363 | Septarienton                              | Argile à Septaria (Septarienton)                  |
| 15202312 | Serhalten-Flysch                          | Flysch der Serhalten                              |
| 15203369 | Série conglomeratique (Pierre Avoi)       | Série conglomeratique (Pierre Avoi)               |
| 15200552 | Serie der Süsswasserkalke und Dolomite    | Série des calcaires d'eau douce et dolomie (GMGG) |
| 15203181 | Série du Tounô                            | Série du Tounô                                    |
| 15203226 | Série Grise                               | Série Grise                                       |
| 15203225 | Série Rousse                              | Série Rousse                                      |
| 15203391 | Série schisteuse moyenne                  | Série schisteuse moyenne                          |
| 15203390 | Série schisto-gréseuse supérieure         | Série schisto-gréseuse supérieure                 |
| 15203368 | Série schisto-quartzitique (Pierre Avoi)  | Série schisto-quartzitique (Pierre Avoi)          |
| 15203003 | Seron-Formation                           | Formation de Seron                                |
| 15203522 | Seron-Formation, Calcschistes zoogènes    | Seron-Formation, Calcschistes zoogènes            |
| 15203523 | Seron-Formation, Conglomérat moyen        | Seron-Formation, Conglomérat moyen                |
| 15206042 | Serpentinit, undifferenziert              | serpentinite, indifférenciée                      |
| 15200663 | Serrières-Bank                            | Serrières-Bank                                    |
| 15204060 | Sertig-Member                             | Membre du Sertig                                  |
| 15205063 | Servino                                   | Servino   |
| 15204107 | Sesvenna-Augengneis                       | Gneiss oëillé de la Sesvenna                      |
| 15203360 | Sevinera-Marmor                           | Marbre de Sevinèra                                |
| 15203361 | Sevinera-Sandstein                        | Grès de Sevinèra                                  |
| 15203266 | Sex-du-Tronc-Kalk                         | Calcaire du Sex du Tronc                          |
| 15202447 | Sex-Mort-Flysch                           | Flysch de la nappe du Sex Mort                    |
| 15202125 | Sexmor-Formation                          | Formation du Sexmor                               |
| 15202404 | Sexmor-Formation, Oberer Teil             | Formation du Sexmor, partie supérieure            |
| 15202405 | Sexmor-Formation, Unterer Teil            | Formation du Sexmor, partie inférieure            |
| 15200679 | Siblingen-Granit                          | Siblingen-Granit                                  |
| 15202088 | Sichel-Kalk                               | Calcaire de la Sichel                             |
| 15202042 | Siderolithikum (des Helvetikums)          | Sidérolithique (de l'Helvétique)                  |
| 15200091 | Siderolithikum des Juragebirges           | Sidérolithique du Jura                            |
| 15203337 | Siderolithisches Dogger der Klippen-Decke | Siderolithisches Dogger der Klippen-Decke         |
| 15203558 | Simano-D.: Amphibolit                     | Simano-D.: Amphibolit                             |
| 15203554 | Simano-D.: Dolomitmarmor                  | Simano-D.: Dolomitmarmor                          |
| 15203553 | Simano-D.: Kalkmarmor                     | Simano-D.: Kalkmarmor                             |

| GeolCode | Deutsch   | Français   |
|----------|---|--|
| 15203555 | Simano-D.: Paragneis  | Simano-D.: Paragneis   |
| 15203559 | Simano-D.: Ultramafitit   | Simano-D.: Ultramafitit  |
| 15203292 | Simmen-Flysch, undifferenziert                                    | Flysch de la Simme, indifférencié  |
| 15200070 | Sissach-Member  | Membre de Sissach  |
| 15203516 | Sivigia-Gneis   | Gneiss de Sivigia  |
| 15202330 | Sogn-Placi-Gneiskomplex   | Complexe gneissique de Sogn Placi  |
| 15203584 | Soladier- und Verdy-Member, undifferenziert                       | Soladier- und Verdy-Member, undifferenziert                                    |
| 15203045 | Soladier-Member   | Membre de Soladier   |
| 15203495 | Solis-Kalk  | Calcaire de Solis  |
| 15200426 | Solothurner Schildkrötenkalk                                      | Calcaire à tortues de Soleure  |
| 15203046 | Sommant-Formation   | Formation de Sommant   |
| 15200327 | Sommersberg-Nagelfluh   | Poudingue du Sommersberg   |
| 15202497 | Sonnenberg-Horizonte  | Horizons du Sonnenberg   |
| 15202002 | Sörenberg-Melange   | Mélange de Sörenberg   |
| 15202244 | Sorescia-Gneis  | Gneiss de Sorescia   |
| 15206009 | Sorico-Tonalit  | Sorico-Tonalit   |
| 15200041 | Sornetan-Member   | Membre de Sornetan   |
| 15203375 | Sosto-Schiefer  | Schistes du Sosto  |
| 15203184 | Sous-le-Rocher-Member   | Membre de Sous le Rocher   |
| 15200220 | Spät- bis postvariszische Intrusiva der Nordschweiz               | Roches plutoniques tardi- à postvarisques de la Forêt Noire                    |
| 15202336 | Spät- bis postvariszische Intrusiva des Mont-Blanc-Massivs        | Roches plutoniques tardi- à post-varisques du massif du Mont Blanc             |
| 15202164 | Spät- bis postvariszische Sedimente und Vulkanite des Aar-Massivs | Roches sédimentaires et volcaniques tardi- à post-varisques du massif de l'Aar |
| 15202464 | Spät- bis postvariszische Sedimente und Vulkanite des Helvetikums | Roches sédimentaires et volcaniques tardi- à post-varisques de l'Helvétique    |
| 15200057 | Spatkalk  | Spatkalk (Hauptrogenstein)   |
| 15203139 | Spatkalk (Tissota-Melange)  | Calcaires spathiques   |
| 15200319 | Speer-Formation   | Formation du Speer   |
| 15203303 | Spegnas-Formation   | Spegnas-Formation  |
| 15202394 | Spirstock-Member  | Membre du Spirstock  |
| 15203076 | Spis-Kalk   | Calcaire de la Spis  |
| 15202086 | Spitzern-Member   | Membre de la Spitzern  |
| 15202128 | Spitzmeilen-Formation   | Formation du Spitzmeilen   |
| 15202388 | Spitzmeilen-Formation, Basaler Teil                               | Spitzmeilen-Formation, Basaler Teil  |
| 15202386 | Spitzmeilen-Formation, Oberer Teil                                | Spitzmeilen-Formation, Oberer Teil   |
| 15202387 | Spitzmeilen-Formation, Unterer Teil                               | Spitzmeilen-Formation, Unterer Teil  |
| 15204095 | Sprenkel-Schiefer   | Sprenkel-Schiefer  |
| 15200054 | St-Brais-Member   | Membre de St-Braix   |
| 15203157 | St-Christophe-Schichten   | Formation de St-Christophe   |
| 15200309 | St-Gallen-Formation   | Formation de St-Gall   |
| 15203096 | St-Triphon-Formation  | Formation de St-Triphon  |
| 15200005 | St-Ursanne-Formation  | Formation de St-Ursanne  |
| 15200238 | St.-Blasien-Granit  | Granite de St-Blasien  |
| 15205082 | Stabbiello-Gneis  | Stabbiello-Gneis   |
| 15202013 | Stad-Formation  | Formation de Stad  |
| 15202597 | Stad-Formation (e6)   | Formation de Stad (e6)   |
| 15202588 | Stad-Formation, «Jüngerer Quarzsandstein»                         | Formation de Stad, «Jüngerer Quarzsandstein»                                   |

| GeolCode | Deutsch   | Français  |
|----------|---|---|
| 15200310 | Staffelbach-Grobsandstein                                 | Grès grossier de Staffelbach                              |
| 15200011 | Staffelegg-Formation                                      | Formation de la Staffelegg                                |
| 15200675 | Staffelegg-Formation und<br>Opalinus-Ton, undifferenziert | Staffelegg-Formation und<br>Opalinus-Ton, undifferenziert |
| 15203041 | Staldengraben-Formation                                   | Formation du Staldengraben                                |
| 15200132 | Stamberg-Member   | Membre du Stamberg  |
| 15203074 | Stanserhorn-Formation                                     | Formation du Stanserhorn                                  |
| 15203172 | Stätzerhorn-Gruppe  | Flysch du Tomül   |
| 15200466 | Steinatal-Gneiskomplex                                    | Complexe gneissique du Steinatal                          |
| 15202037 | Steinbach-Member  | Membre du Steinbach                                       |
| 15203072 | Steinberg-Konglomerat                                     | Conglomérat du Steinberg                                  |
| 15200193 | Steinibach-Member   | Membre du Steinibach                                      |
| 15203223 | Steinsberg-Kalk   | Calcaire du Steinsberg                                    |
| 15203454 | Stellihorn-Mylonit  | Mylonite du Stellihorn                                    |
| 15202598 | Stgir- und Inferno-Formation,<br>undifferenziert          | Formations du Stgir et d'Inferno,<br>indifférenciées      |
| 15202133 | Stgir-Formation   | Formation du Stgir  |
| 15202371 | Stgir-Formation, Oberer Teil                              | Stgir-Formation, Oberer Teil                              |
| 15202370 | Stgir-Formation, Unterer Teil                             | Stgir-Formation, Unterer Teil                             |
| 15200222 | Stockberg-Quarzporphyr                                    | Quarzporphyre du Stockberg                                |
| 15203273 | Stockenflue-Kalk  | Calcaire de la Stockenflue                                |
| 15202306 | Stöcki-Sandstein  | Grès de Stöckli   |
| 15202199 | Straligenstöckli-Gneiskomplex                             | Complexe gneissique du<br>Straligenstöckli                |
| 15206033 | Stratigraphische Einheit,<br>undifferenziert              | unité stratigraphique indifférenciée                      |
| 15202240 | Streifengneis-Komplex                                     | Complexe du Streifengneiss                                |
| 15202186 | Strem-Granit  | Granite du (Val) Strem                                    |
| 15200639 | Studweid-Formation  | Formation du Studweid                                     |
| 15204044 | Stugl-Member  | Membre de Stugl   |
| 15202319 | Subalpiner Flysch   | Flysch Subalpin   |
| 15200123 | Subfurcatum-Bank  | Banc à Subfurcatum  |
| 15203257 | Submédiane-Melange  | Mélange Submédian   |
| 15203370 | Südegg-Komplex  | Compexe de Südegg   |
| 15202295 | Südelbach-Member  | Membre du Südelbach                                       |
| 15202004 | Südhelvetische Flyscheinheiten                            | Unités de flysch sud-helvétiques                          |
| 15202162 | Südwestlicher Aare-Granit                                 | Granite sud-occidental de l'Aar                           |
| 15200520 | Sulzbach-Member   | Membre de Sulzbach  |
| 15200521 | Sulzbach-Nagelfluh  | Poudingue de Sulzbach                                     |
| 15203219 | Sulzfluh-Flysch   | Flysch de la nappe de la Suzfluh                          |
| 15203221 | Sulzfluh-Granit   | Granite de la nappe de la Suzfluh                         |
| 15203220 | Sulzfluh-Kalk   | Calcaire de la Sulzfluh                                   |
| 15203335 | Sulzgrabe-Formation                                       | Sulzgrabe-Formation                                       |
| 15202309 | Surbrunnen-Flysch   | Flysch de Surbrunnen                                      |
| 15202533 | Suren-Flysch  | Flysch du Suren   |
| 15206113 | Süswasserkalk, undifferenziert                            | Süswasserkalk, undifferenziert                            |
| 15206088 | Syenit, undifferenziert                                   | syénite, indifférenciée                                   |
| 15200584 | Tabalcon-Kalk   | Tabalcon-Kalk   |
| 15202443 | Taffon-Member   | Membre du Taffon  |
| 15206060 | Talkschiefer, undifferenziert                             | talcschiste, indifférencié                                |
| 15203352 | Tamier-Zött-Wildflysch                                    | Wildflysch de Tamier-Zött                                 |
| 15202570 | Tamina-Gneiskomplex                                       | Complexe gneissique de la Tamina                          |
| 15202572 | Tamina-Gneiskomplex: mylonitisch                          | Complexe gneissique de la Tamina:<br>mylonitique          |



| GeolCode | Deutsch   | Français   |
|----------|---|--|
| 15202571 | Tamina-Gneiskomplex: schiefriger Biotitgneis          | Complexe gneissique de la Tamina: gneiss schisteux à biotite |
| 15200256 | Tannenberg-Schichten                                  | Couches de Tannenberg  |
| 15200495 | Tannenwald-Schichten                                  | Couches du Tannenwald  |
| 15203506 | Tasna-Altkristallin                                   | Socle cristallin de la nappe de la Tasna                     |
| 15203222 | Tasna-Flysch  | Flysch de la nappe de la Tasna                               |
| 15203333 | Taspegn-Gneis   | Taspegn-Gneis  |
| 15202011 | Taveyannaz-Formation                                  | Formation de Taveyannaz                                      |
| 15202512 | Taveyannaz-Sandstein, Dachschiefer vorherrschend      | Taveyannaz-Sandstein, Dachschiefer vorherrschend             |
| 15203354 | Teggiolo-Kalkschiefer                                 | Calcschistes du Teggiolo                                     |
| 15206017 | Tektonische Brekzie, undifferenziert                  | Tektonische Brekzie, undifferenziert                         |
| 15206114 | Tektonisches Melange                                  | mélange tectonique   |
| 15202594 | Tektonisches Melange der Internen Einsiedeln-Schuppen | Mélange tectonique des écaillés internes d'Einsiedeln        |
| 15202453 | Tektonisierte Basis des Glarner-Verrucano             | base tectonisée du Verrucano de Glaris («Plagioklasgneis»)   |
| 15206089 | Tektonit, undifferenziert                             | tectonite, indifférenciée                                    |
| 15202526 | Telltistock-Granit                                    | Telltistock-Granit   |
| 15202233 | Tenelin-Gneiskomplex                                  | Complexe gneissique du Piz Tenelin                           |
| 15200568 | Tenniken-Muschelagglomerat                            | Poudingue coquillier de Tenniken                             |
| 15202366 | Termen-Kalkschiefer                                   | Termen-Kalkschiefer  |
| 15202365 | Termen-Tonschiefer                                    | Termen-Tonschiefer   |
| 15205020 | Ternate-Formation                                     | Formation de Ternate   |
| 15203349 | Terri-Schiefer  | Schistes du (Piz) Terri                                      |
| 15203373 | Terri-Schiefer_Basale                                 | Schistes basaux du (Piz) Terri                               |
| 15205071 | Tertiär des Südalpins                                 | Tertiär des Südalpins  |
| 15205089 | Tête-de-Valpelline-Phyllit                            | Tête-de-Valpelline-Phyllit                                   |
| 15200320 | Thun-Formation  | Formation de Thoun   |
| 15203195 | Thyon-Metagranophyr                                   | Métagranophyre de Thyon                                      |
| 15204055 | Tiaun-Brekzie   | Brèche du Tiaun  |
| 15202026 | Tierberg-Member                                       | Membre du Tierberg   |
| 15202129 | Tierces-Formation                                     | Formation des Tierces  |
| 15200033 | Tiergarten-Member                                     | Membre du Tiergarten   |
| 15202075 | Tierwis-Formation                                     | Formation de Tierwis   |
| 15200551 | Tillerée-Schichten                                    | Couches de Tillerée  |
| 15203340 | Timun-Komplex   | Timun-Komplex  |
| 15203130 | Tissota-Melange                                       | Mélange de la Tissota  |
| 15202516 | Toarcienschiefer                                      | Toarcienschiefer   |
| 15202517 | Toarcienspatkalk                                      | Toarcienspatkalk   |
| 15202185 | Tödi-Granit   | Granite du Tödi  |
| 15200247 | Todtmoos-Horbach-Gneiskomplex                         | Complexe gneissique de Todtmoos-Horbach                      |
| 15203180 | Tomül-Mélange   | Mélange du Tomül   |
| 15204144 | Tonale-Schiefer                                       | Schistes du Tonale   |
| 15206087 | Tonalit, undifferenziert                              | tonalite, indifférenciée                                     |
| 15203582 | Toniger Kalkschiefer der Grava-Decke                  | Schiste calcaréo-argileux de la nappe de la Grava            |
| 15206106 | Tonschiefer, undifferenziert                          | schiste argileux, indifférencié                              |
| 15203312 | Törbel-Gneis  | Törbel-Gneis   |
| 15205026 | Torre-Konglomerat                                     | Conglomérat de Torre   |
| 15203417 | Torrembey-Brekzie                                     | Brèche de Torrembey  |
| 15203040 | Torrent-de-Lessoc-Formation                           | Formation du Torrent de Lessoc                               |

| GeolCode | Deutsch                                   | Français  |
|----------|---|---|
| 15202124 | Torrentalp-Member                         | Membre de la Torrentalp                         |
| 15202320 | Torrenthorn-Formation                     | Formation du Torrenthorn                        |
| 15200270 | Tösswald-Schichten                        | Couches du Tösswald                             |
| 15203493 | Totalp-Serpentinit                        | Serpentinite de la Totalp                       |
| 15200080 | Trasadingen-Bank                          | Banc de Trasadingen                             |
| 15202235 | Tremola-Gneiskomplex                      | Complexe gneissique de la Tremola               |
| 15205047 | Tremona-Formation                         | Formation de Tremona                            |
| 15203293 | Trepsen-Flysch                            | Flysch de Trepsen                               |
| 15203109 | Trias der Brekzien-Decke                  | Trias de la nappe de la Brèche                  |
| 15203583 | Trias der Grava-Decke,<br>undifferenziert | Trias de la nappe de la Grava,<br>indifférencié |
| 15203276 | Trias der Klippen-Decke                   | Trias de la nappe des Préalpes<br>Médianes      |
| 15203014 | Trias der Niesen-Decke                    | Trias de la nappe du Niesen                     |
| 15202134 | Trias des Helvetikums                     | Trias de l'Helvétique                           |
| 15200163 | Trias des Juragebirges                    | Trias du Jura                                   |
| 15204086 | Trias des Ostalpins                       | Trias de l'Austroalpin                          |
| 15205076 | Trias des Südalpins                       | Trias des Südalpins                             |
| 15206029 | Trias, undifferenziert                    | Trias, indifférencié                            |
| 15203150 | Triesen-Formation                         | Flysch de Triesen                               |
| 15202167 | Trift-Formation                           | Formation du Trift                              |
| 15203213 | Tristel-Formation                         | Formation de Tristel                            |
| 15204064 | Trochitendolomit-Member                   | Trochitendolomit-Member                         |
| 15200629 | Trois-Rods-Süsswasserkalk                 | Trois-Rods-Süsswasserkalk                       |
| 15200635 | Tröleten-Süsswasserkalk                   | Calcaire d'eau douce de Tröleten                |
| 15203259 | Trom-Brekzie                              | Brèche de Trom                                  |
| 15202098 | Tros-Kalk                                 | Calcaire de Tros                                |
| 15203261 | Troublon-Kalk                             | Calcaire du Troublon                            |
| 15203258 | Truche-Brekzie                            | Brèche de la Truche                             |
| 15204019 | Trupchun-Member                           | Membre du (Val) Trupchun                        |
| 15203508 | Truzzo-Granit                             | Granite de Truzzo                               |
| 15202018 | Tsanfleuron-Member                        | Membre de Tsanfleuron                           |
| 15202175 | Tscharren-Formation                       | Formation de la Tscharren                       |
| 15203203 | Tschera-Marmor                            | Marbre de la Tschera                            |
| 15204101 | Tschima-da-Flix-Granit                    | Tschima-da-Flix-Granit                          |
| 15200636 | Tschöplihof-Süsswasserkalk                | Calcaire d'eau douce du Tschöplihof             |
| 15204083 | Tschuggen-Augengneis                      | Gneiss oëillé de Tschuggen                      |
| 15202507 | Tuffitisches Member (Tscharren)           | Tuffitisches Member (Tscharren)                 |
| 15200378 | Tüllingen-Süsswasserkalk                  | Calcaire d'eau douce de Tüllingen               |
| 15203206 | Tumpriv-Gruppe                            | Groupe de la Tumpriv                            |
| 15204076 | Tuors-Member                              | Membre du (Val) Tuors                           |
| 15204057 | Turettas-Member                           | Membre du (Piz) Turettas                        |
| 15200569 | Turritellen-Kalk                          | Calcaire à Turritelles                          |
| 15200001 | Twannbach-Formation                       | Formation du Twannbach                          |
| 15202061 | Twäriberg-Bank                            | Banc du Twäriberg                               |
| 15202152 | Üblital-Formation                         | Formation de l'Üblital                          |
| 15200534 | Uerscheli-Formation                       | Formation d'Uerscheli                           |
| 15200278 | Uetliberg-Mergel                          | Poudingue de l'Uetliberg                        |
| 15200276 | Uetliberg-Schichten                       | Couches de l'Uetliberg                          |
| 15200277 | Uetliberggipfel-Nagelfluh                 | Poudingue de l'Uetliberggipfel                  |
| 15202229 | Uffiern-Diorit                            | Diorite du Val Uffiern                          |
| 15204138 | Uglix-Plattenkalk                         | Calcaire d'Uglix                                |
| 15200406 | Ulmiz-Quarzitnagelfluh                    | Poudingue quarzitique d'Ulmiz                   |
| 15202279 | Ultrahelvetische Flyscheinheiten          | Unités de flysch ultrahelvétiques               |

| GeolCode | Deutsch  | Français  |
|----------|--|---|
| 15206057 | Ultramafische Gesteine                                       | roche ultramafique                                |
| 15203469 | Ultramafit der Métailler-Formation                           | Roches ultramafiques de la Formation du Métailler |
| 15205116 | Ultramafitit der Arolla-Gruppe                               | Roche ultramafique du Groupe d'Arolla             |
| 15200353 | UMM-I  | UMM-I   |
| 15200351 | UMM-II   | UMM-II  |
| 15200349 | UMM-III  | UMM-III   |
| 15200362 | UMM-J  | UMM-J   |
| 15202245 | Undifferenzierte Kristallingesteine                          | roches cristallines indifférenciées               |
| 15202469 | Undifferenziertes Kristallin des Helvetikums                 | Socle cristallin indifférencié de l'Helvétique    |
| 15200453 | Unité Inférieure Oolithique (UIO)                            | Unité Inférieure Oolithique (UIO)                 |
| 15200452 | Unité Moyenne Calcaire (UMC)                                 | Unité Moyenne Calcaire (UMC)                      |
| 15202485 | Unter-der-Flue-Fazies  | faciès d'Unter-der-Flue                           |
| 15200048 | Unter-Erli-Bank  | Banc d'Unter Erli                                 |
| 15200555 | Unter-Lochsiti-Nagelfluh                                     | Poudingue d'Unter Lochsiti                        |
| 15200473 | Untere-Felsenkalke-Formation                                 | Untere-Felsenkalke-Formation                      |
| 15200201 | Untere Acuminata-Schichten                                   | Couches à Acuminata inférieures                   |
| 15203106 | Untere Brekzie   | Brèche Inférieure                                 |
| 15200560 | Untere Bunte Molasse des Jurasüdfusses                       | Molasse bariolée inférieure                       |
| 15202284 | Untere Flyschabfolge (Sardona)                               | Untere Flyschabfolge (Sardona)                    |
| 15202396 | Untere Götzis-Bank   | Banc de Götzis inférieur                          |
| 15203248 | Untere Kalk- und Tonschiefer der Zone Piz Terri - Lunschania | Untere Kalk- und Tonschiefer (Grava/Tomül)        |
| 15203108 | Untere Kalke   | Calcaires Inférieurs                              |
| 15200348 | Untere Meeresmolasse (UMM)                                   | Molasse marine inférieure (UMM)                   |
| 15200062 | Untere Oolithische Serie (Oolithe Subcompacte)               | Série oolitique inférieure (Oolithe Subcompacte)  |
| 15203281 | Untere Rauwacke der Klippen-Decke                            | Cornieule Inférieure                              |
| 15202536 | Untere Sandsteine (Spirstock)                                | Untere Sandsteine (Spirstock)                     |
| 15203107 | Untere Schiefer  | Schistes Inférieurs                               |
| 15200138 | Untere Sulfatzone  | Untere Sulfatzone (Fm. de Zeglingen)              |
| 15200314 | Untere Süsswassermolasse (USM)                               | Molasse d'eau douce inférieure (USM)              |
| 15203122 | Untere Tonsteinschichten                                     | Untere Tonsteinschichten (Flysch des Schlieren)   |
| 15205100 | Unterer Meride-Kalk  | Partie inférieure du Calcaire de Meride           |
| 15202303 | Unterer Quintner Kalk  | «Unterer Quinten-Kalk»                            |
| 15200219 | Unterer Schuttfächer   | Unterer Schuttfächer (Fm. de Weitenau)            |
| 15200076 | Unterer Stein  | Unterer Stein (Fm. de la Staffelegg)              |
| 15200382 | Unterer Teil des Hauptrogensteins                            | Partie inférieure du Hauptrogenstein              |
| 15200018 | Unterer Virgula-Mergel                                       | Marnes à Virgula inférieures                      |
| 15204073 | Unteres Member der Fuorn-Formation                           | Membre inférieur de la Fm. du Fuorn               |
| 15202341 | Unterwassern-Gneis   | Gneiss d'Unterwassern                             |
| 15204100 | Ur-Brekzie   | Ur-Brekzie  |
| 15200289 | Urdorf-Bentonit  | Bentonite d'Urdorf                                |
| 15200335 | USM-I  | USM-I   |
| 15200329 | USM-II   | USM-II  |

| GeolCode | Deutsch                                      | Français  |
|----------|--|---|
| 15200326 | USM-III                                      | USM-III   |
| 15200589 | USM-III bis OSM-I                            | USM-III bis OSM-I                                       |
| 15200341 | USM-J  | USM-J   |
| 15200183 | Uttins-Mergel                                | Marne des Uttins  |
| 15200405 | Utzigen-Muschelsandstein                     | Grès coquillier d'Utzigen                               |
| 15200021 | Vabenau-Member                               | Membre de Vabenau                                       |
| 15203539 | Vacarisc-Gneis                               | Gneiss de Vacarisc                                      |
| 15203151 | Vaduz-Flysch                                 | Flysch de Vaduz   |
| 15202212 | Val-Bérard-Gneiskomplex                      | Complexe gneissique du Val Bérard                       |
| 15203513 | Val-Chironico-Gneis                          | Gneiss du Val Chironico                                 |
| 15202289 | Val-d'Illiez-Sandstein                       | Grès du Val-d'Illiez                                    |
| 15202488 | Val-da-Surplattas-Diorit                     | Diorite du Val da Surplattas                            |
| 15202192 | Val-Gliems-Formation                         | Formation du Val Gliems                                 |
| 15205013 | Val-Grande-Sandstein                         | Grès du Val Grande                                      |
| 15202349 | Val-Gronda-Augengneis                        | Gneiss oeilé du Val Gronda                              |
| 15202225 | Val-Lavaz-Gruppe                             | Groupe du Val Lavaz                                     |
| 15206011 | Val-Masino-Granodiorit                       | Val-Masino-Granodiorit                                  |
| 15204074 | Val-Müstair-Gruppe                           | Groupe du Val Müstair                                   |
| 15202346 | Val-Nalps-Gneiskomplex                       | Complexe gneissique du Val Nalps                        |
| 15202265 | Val-Pigniu-Gneiskomplex                      | Complexe gneissique du Val Pigniu                       |
| 15204077 | Val-Püra-Member                              | Membre du Val Püra                                      |
| 15202231 | Val-Rondadura-Gruppe                         | Groupe du Val Rondadura                                 |
| 15204122 | Val-Rude-Orthogneis                          | Orthogneiss du Val Rude                                 |
| 15203484 | Val-Sabbia-Formation                         | Formation du Val Sabbia                                 |
| 15205059 | Val-Serrata-Tuffite                          | Tuffite du Val Serrata                                  |
| 15202276 | Val-Stgira-Riffmarmor                        | Marbre du Val Stgira                                    |
| 15202272 | Val-Tremola-Granit                           | Granite du Val Tremola                                  |
| 15204040 | Valbella-Member                              | Membre de la Valbella                                   |
| 15203459 | Valgrande-Paragneis                          | Paragneiss de Vagrande                                  |
| 15204054 | Vallatscha-Formation                         | Formation du (Piz) Vallatscha                           |
| 15204056 | Vallatscha-Member                            | Membre du (Piz) Vallatscha                              |
| 15200093 | Vallorbe-Member                              | Formation de Vallorbe                                   |
| 15202204 | Vallorcine-Granit                            | Granite de Vallorcine                                   |
| 15202156 | Vallorcine-Konglomerat                       | Conglomérat de Vallorcine                               |
| 15205007 | Valpelline-Serie                             | Série de Valpelline                                     |
| 15203170 | Valzeina-Formation                           | Formation de Valzeina                                   |
| 15203043 | Vanil-Carré-Member                           | Membre du Vanil Carré                                   |
| 15203359 | Vanis-Formation                              | Formation des Vanis                                     |
| 15204094 | Varaina-Schiefer                             | Varaina-Schiefer  |
| 15205027 | Varesotto-Flysch                             | Flysch du Varesotto                                     |
| 15200484 | Variansmergel-Formation                      | Variansmergel-Formation                                 |
| 15203474 | Variszische Intrusiva der<br>Maggia-Decke    | Roches intrusives varisques de la<br>nappe de la Maggia |
| 15205128 | Variszische Intrusiva der<br>Margna-Sella    | roches intrusives de la nappe de la<br>Margna-Sella     |
| 15203460 | Variszische Intrusiva des<br>Briançonnais    | Roches intrusives varisques du<br>Briançonnais          |
| 15204132 | Variszische Intrusiva des Ostalpins          | roches intrusives varisques de<br>l'Austroalpin         |
| 15205079 | Variszische Intrusiva des Südalpins          | roches intrusives varisques du<br>Sudalpin              |
| 15200617 | Variszisches Grundgebirge der<br>Nordschweiz | Variszisches Grundgebirge der<br>Nordschweiz            |

| GeolCode | Deutsch                                      | Français   |
|----------|--|--|
| 15202467 | Variszisches Kristallin des Helvetikums      | Variszisches Kristallin des Helvetikums          |
| 15202400 | Vättis-Fossilbrekzie                         | Brèche fossilifère de Vättis                     |
| 15200443 | Vauglène-Bänke                               | Couches de Vauglène                              |
| 15204108 | Vaüglia-Granodiorit                          | Granodiorite de Vaüglia                          |
| 15200554 | Vaulruz-Formation (UMM-II+III undiff.)       | Formation de Vaulruz (UMM-II+III indiff.)        |
| 15200004 | Vellerat-Formation                           | Formation de Vellerat                            |
| 15203044 | Verdy-Member                                 | Membre du Verdy                                  |
| 15200189 | Verena-Member                                | Membre de Ste-Vérène                             |
| 15203314 | Vergeletto-Gneis                             | Vergeletto-Gneis                                 |
| 15200305 | Vermes-Süßwasserkalk                         | Calcaire d'eau douce de Vermes                   |
| 15202154 | Vernayaz-Formation                           | Formation de Vernayaz                            |
| 15200439 | Vernettes-Sandstein                          | Grès des Vernettes                               |
| 15202143 | Verrucano-Gruppe                             | Groupe du Verrucano                              |
| 15205064 | Verrucano Lombardo                           | Verrucano Lombardo                               |
| 15203161 | Versoyen-Schichten                           | Couches du Versoyen                              |
| 15203231 | Verspala-Formation                           | Formation de la Verspala                         |
| 15206058 | Verwitterter Fels, undifferenziert           | roche altérée, indifférenciée                    |
| 15203295 | Verzasca-Gneis                               | Verzasca-Gneis                                   |
| 15202430 | Veveyse-de-Châtel-Member                     | Membre de la Veveyse de Châtel                   |
| 15202140 | Vieux-Emosson-Formation                      | Formation du Vieux Emosson                       |
| 15203501 | Vignun-Gneis                                 | Gneiss de Vignone                                |
| 15205019 | Villa-Olmo-Konglomerat                       | Conglomérat de Villa Olmo                        |
| 15202429 | Villarbeney-Formation                        | Formation de Villarbeney                         |
| 15200451 | Villers-Schichten                            | Couches de Villers                               |
| 15200105 | Villigen-Formation                           | Formation de Villigen                            |
| 15200100 | Vions-Formation                              | Formation de Vions                               |
| 15202209 | Viséen                                       | Viséen des Aiguilles Rouges                      |
| 15202090 | Vitznau-Mergel                               | Marne de Vitznau                                 |
| 15203202 | Vizan-Brekzie                                | Brèche du Vizan                                  |
| 15200179 | Vogesen-Sandstein                            | Grès des Vosges                                  |
| 15203296 | Vogorno-Gneis                                | Vogorno-Gneis                                    |
| 15203285 | Voirons-Flysch                               | Flysch des Voirons                               |
| 15203288 | Voirons-Sandstein                            | Grès des Voirons                                 |
| 15202182 | Voralp-Granit                                | Granite de la Voralp                             |
| 15202569 | Voralp-Granit: saure Randfazies              | Granite de la Voralp: faciès acide de bordure    |
| 15203143 | Vorarlberg-Flysch                            | Flysch du Vorarlberg                             |
| 15200032 | Vorbouurg-Member                             | Membre du Vorbouurg                              |
| 15203287 | Vouan-Konglomerat                            | Conglomérat du Vouan                             |
| 15200013 | Vouglans-Member                              | Membre de Vouglans                               |
| 15200437 | Vraconne-Sandstein                           | Grès de la Vraconne                              |
| 15200153 | Vuache-Formation                             | Formation du Vuache                              |
| 15202434 | Vuavres-Member                               | Membre des Vuavres                               |
| 15203056 | Vudalla-Formation                            | Formation de la Vudalla                          |
| 15206078 | Vulkanische Gesteine, undifferenziert        | roche volcanique, indifférenciée                 |
| 15202023 | Wagenmoos-Bänke                              | Couches du Wagenmoos                             |
| 15203283 | Wägitäl-Flysch                               | Flysch du Wägitäl                                |
| 15203566 | Wägitäl-Flysch: basaler, tektonisierter Teil | Flysch du Wägitäl: partie basale, tectonisée     |
| 15203564 | Wägitäl-Flysch: oberer Teil (Paläogen)       | Flysch du Wägitäl: partie supérieure (Paléogène) |

| GeolCode | Deutsch                                   | Français  |
|----------|---|---|
| 15203565 | Wägital-Flysch: untererer Teil (Kreide)   | Flysch du Wägital: partie inférieure (Crétacé)      |
| 15200067 | Waldenburg-Member                         | Membre de Waldenburg                                |
| 15202375 | Waltensburg-Verrucano                     | Waltensburg-Verrucano                               |
| 15200388 | Wanderblock-Bildungen                     | Dépôts de blocs pérégrins (Wanderblock-Bildungen)   |
| 15203087 | Wandfluh-Mikrofazies                      | Microfaciès de la Wandfluh                          |
| 15202299 | Wang-Brekzie                              | Brèche de Wang                                      |
| 15202048 | Wang-Formation                            | Formation de Wang                                   |
| 15200659 | Wangen- und Letzi-Member, undifferenziert | Membres de Wangen et du Letzi, indifférenciés       |
| 15202014 | Wängen-Kalk                               | Calcaire de Wängen                                  |
| 15202591 | Wängen-Kalk, Lithothamnienkalk-Fazies     | Calcaire de Wängen, faciès calcaire à Lithothamnies |
| 15200110 | Wangen-Member                             | Membre de Wangen                                    |
| 15200500 | Wangen-Tuffit                             | Tuffite de Wangen                                   |
| 15200106 | Wangental-Member                          | Membre du Wangental                                 |
| 15202056 | Wannenalp-Bank                            | Banc de la Wannenalp                                |
| 15200491 | Wedelsandstein-Formation                  | Wedelsandstein-Formation                            |
| 15200543 | Weggis-Formation                          | Formation de Weggis                                 |
| 15200252 | Wehratal-Syenit                           | Syénite du Wehratal                                 |
| 15200287 | Wehrenbach-Höckler-Süsswasserkalk         | Calcaire d'eau douce du Wehrenbach-Höckler          |
| 15200159 | Weiach-Formation                          | Formation de Weiach                                 |
| 15200656 | Weilergraben-Formation                    | Formation du Weilergraben                           |
| 15203132 | Weissenburg-Flysch                        | Flysch de la Weissenburg                            |
| 15200085 | Weissenstein-Member                       | Membre du Weissenstein                              |
| 15202321 | Weissgandstöckli-Bank                     | Banc du Weissgandstöckli                            |
| 15203452 | Weissmies-Paragneis                       | Paragneiss du Weissmies                             |
| 15200158 | Weitenau-Formation                        | Formation de Weitenau                               |
| 15200142 | Wellendolomit                             | Wellendolomit                                       |
| 15200141 | Wellenkalk / Wellenmergel                 | Wellenkalk / Wellenmergel                           |
| 15202165 | Wendenjoch-Formation                      | Formation du Wendenjoch                             |
| 15200103 | Wettigen-Member                           | Membre de Wettingen                                 |
| 15200251 | Wiesen-Wehratal-Komplex                   | Complexe du Wiesental-Wehratal                      |
| 15200157 | Wiesental-Formation                       | Formation du Wiesental                              |
| 15200114 | Wildeggen-Formation                       | Formation de Wildeggen                              |
| 15203028 | Wildenbach-Member                         | Membre du Wildenbach                                |
| 15203280 | Wildgrimmi-Member                         | Membre du Wildgrimmi                                |
| 15202003 | Wildhaus-Melange                          | Mélange de Wildhaus                                 |
| 15202024 | Wildstrubel-Formation                     | Formation du Wildstrubel                            |
| 15202166 | Windgällen-Formation                      | Formation des Windgällen                            |
| 15202505 | Windgällen-Formation, Mikrogranit         | Microgranite de la Windgällenlücke                  |
| 15202327 | Windgällen-Formation, Rhyolith            | Rhyolithe de la Chli Windgällen                     |
| 15202105 | Windgällen-Member                         | Membre des Windgällen                               |
| 15202224 | Winterhorn-Granit                         | Granite du Winterhorn                               |
| 15200539 | Wintersberg-Member                        | Membre du Wintersberg                               |
| 15200284 | Winterthur-Bentonit                       | Bentonite de Winterthur                             |
| 15203095 | Wiriehorn-Formation                       | Formation du Wiriehorn                              |
| 15203204 | Wissberg-Brekzie                          | Brèche du Wissberg                                  |
| 15200633 | Wissenbach-Süsswasserkalk                 | Calcaire d'eau douce du Wissenbach                  |
| 15200197 | Wittnau-Korallenkalk                      | Calcaire à coraux de Wittnau                        |
| 15200477 | Wohlgeschichtete-Kalke-Formation          | Wohlgeschichtete-Kalke-Formation                    |

| GeolCode | Deutsch  | Français  |
|----------|--|---|
| 15200631 | Wolhusen-Bentonit  | Bentonite de Wholusen   |
| 15200122 | Wuerttembergica-Schichten                                    | Couches à Wuerttembergica   |
| 15200508 | Wulp-Rotzone   | Rotzone Wulp  |
| 15200483 | Wutach-Formation   | Wutach-Formation  |
| 15200347 | Wynau-Süsswasserkalk   | Calcaire d'eau douce de Wynau   |
| 15202196 | Zäsenberg-Gneis  | Gneiss du Zäsenberg   |
| 15200135 | Zeglingen-Formation  | Formation de Zeglingen  |
| 15202603 | Zementstein- bis<br>Garschella-Formation,<br>undifferenziert | Formation du Zementstein à<br>Formation de Garschella,<br>indifférenciées |
| 15200470 | Zementmergel-Formation                                       | Zementmergel-Formation  |
| 15202093 | Zementstein-Formation  | Formation du Zementstein  |
| 15202160 | Zentraler Aare-Granit  | Granite central de l'Aar  |
| 15203253 | Zervreila-Granitgneis  | Orthogneiss de Zervreila  |
| 15202586 | Zettenalp-Trochematt-Melange                                 | Mélange de la Zettenalp-Trochematt  |
| 15204025 | Zirmenkopf-Kalk  | Calcaire du Zirmenkopf  |
| 15206014 | Zocca-Aplit  | Zocca-Aplit   |
| 15205135 | Zona Dioritico-Kinzigitica                                   | Zona Dioritico-Kinzigitica  |
| 15200557 | Zone der Schiefermergel (der<br>St.-Gallen-Fm.)              | Zone der Schiefermergel (Fm. de<br>Saint-Gall)                            |
| 15203075 | Zoophycos-Schichten  | Couches à Zoophycos (Fm. du<br>Stanserhorn)                               |
| 15205046 | Zu-Kalk  | Calcaire de Zu  |
| 15200186 | Zuckerkörniger Kalk  | Calcaire saccharoïde  |
| 15203262 | Zünegg-Knollenkalk   | Calcaire noduleux de la Zünegg  |
| 15200281 | Zürich-Schichten   | Couches de Zürich   |
| 15200678 | Zurzach-Granit   | Zurzach-Granit  |
| 15206094 | Zweiglimmergneis, undifferenziert                            | gneiss à deux micas, indifférencié  |
| 15203528 | Zwischenmythen-Mergel  | Marne de Zwischenmythen   |
| 999997   | Unknown  | inconnu   |
| 999998   | Not applicable   | not applicable  |

## 10 Annexe GC\_LITSTRAT\_UNCO\_CD

Table des valeurs des unités lithostratigraphiques

| GeolCode | Deutsch                       | Français   |
|----------|-------------------------------|--|
| 15201044 | 1. letzteiszeitlichs Vorstoss | 1ère avancée glaciaire de la<br>Dernière Période glaciaire |
| 15201043 | 2. letzteiszeitlichs Vorstoss | 2ème avancée glaciaire de la<br>Dernière Période glaciaire |
| 15201210 | Aabach-Schotter               | Gravier de l'Aabach  |
| 15201055 | Aarau-Schotter                | Gravier d'Aarau  |
| 15201167 | Aarburg-Schotter              | Gravier d'Aarburg  |
| 15201136 | Aare-Schotter                 | Gravier de l'Aar   |
| 15201271 | Aatal-Seebodenlehm            | Aatal-Seebodenlehm   |
| 15201075 | Aathal-Schotter               | Gravier de l'Aathal  |
| 15201540 | Alluvion von Ransun           | Alluvion de Ransun   |
| 15201012 | Altberg-Till                  | Till de l'Altberg  |
| 15201183 | Alte Doubsschotter            | Gravier ancien du Doubs                                    |
| 15201135 | Altenburg-Fulach-Terrasse     | terrasse d'Altenburg-Fulach                                |

| GeolCode | Deutsch   | Français   |
|----------|---|--|
| 15201001 | Ältere Ablagerungen, undifferenziert            | Dépôts indifférenciés précédant le Dernier Maximum Glaciaire |
| 15201071 | Ältere Beckenfüllungen                          | Anciens remplissages de bassin                               |
| 15201189 | Alterswil-Schotter                              | Gravier d'Alterswil  |
| 15201028 | Ämmert-Schotter                                 | Gravier d'Ämmert   |
| 15201029 | Ämmert-Till                                     | Till d'Ämmert  |
| 15201512 | Ämmet-Schotter                                  | Ämmet-Schotter   |
| 15201160 | Attiswil-Schotter                               | Gravier d'Attiswil   |
| 15201326 | Bachschutt der Gamsa                            | dépôts torrentiels de la Gamsa                               |
| 15201331 | Bachschutt der Gürbe                            | dépôts torrentiels de la Gürbe                               |
| 15201328 | Bachschutt der Lonza                            | dépôts torrentiels de la Lonza                               |
| 15201329 | Bachschutt der Saltina                          | dépôts torrentiels de la Saltina                             |
| 15201330 | Bachschutt der Vispa                            | dépôts torrentiels de la Viège                               |
| 15201323 | Bachschutt des Baltschiederbachs                | dépôts torrentiels du Baltschiederbach                       |
| 15201324 | Bachschutt des Bietschbachs                     | dépôts torrentiels du Bietschbach                            |
| 15201325 | Bachschutt des Chelchbachs                      | dépôts torrentiels du Chelchbach                             |
| 15201327 | Bachschutt des Jolibachs                        | dépôts torrentiels du Jolibach                               |
| 15201332 | Bachschutt des Lombachs                         | dépôts torrentiels du Lombach                                |
| 15201550 | Balm-Schotter                                   | Gravier de Balm  |
| 15201248 | Bänkel-Schotter                                 | Gravier de Bänkel  |
| 15201548 | Bannhalden-Schotter                             | Gravier de Bannhalden  |
| 15201256 | Bannholz-Schotter                               | Gravier du Bannholz  |
| 15201097 | Bärengaben-Schotter und -Till                   | Gravier et Till du Bärengaben                                |
| 15201336 | Bärenholz-Till                                  | Till du Bärenholz  |
| 15201194 | Bennau-Schotter                                 | Gravier de Bennau  |
| 15201017 | Berg-Schotter                                   | Gravier de Berg  |
| 15201532 | Bergsturzablagerung von Bargis                  | dépôt d'éboulement de Bargis                                 |
| 15201533 | Bergsturzablagerung von Fidaz                   | dépôt d'éboulement de Fidaz                                  |
| 15201531 | Bergsturzablagerung von Ralligen (im Thunersee) | Dépôt d'écroulement de Ralligen (dans le lac de Thoune)      |
| 15201299 | Bergsturzablagerungen vom Chapf                 | dépôt d'écroulement de Chapf                                 |
| 15201302 | Bergsturzablagerungen vom Delenwald             | dépôt d'écroulement du Delenwald                             |
| 15201301 | Bergsturzablagerungen vom Drusetschawald        | dépôt d'écroulement du Drusetschawald                        |
| 15201306 | Bergsturzablagerungen vom Kernwald              | dépôt d'écroulement du Kernwald                              |
| 15201460 | Bergsturzablagerungen vom Stützwald             | dépôt d'écroulement du Stützwald                             |
| 15201296 | Bergsturzablagerungen von Brienz                | dépôt d'écroulement de Brienz                                |
| 15201298 | Bergsturzablagerungen von Brüsis                | dépôt d'écroulement de Brüsis                                |
| 15201291 | Bergsturzablagerungen von Castasegna            | dépôt d'écroulement de Castasegna                            |
| 15201288 | Bergsturzablagerungen von Chessel-Noville       | dépôt d'écroulement de Chessel-Noville                       |
| 15201287 | Bergsturzablagerungen von Chiètres              | dépôt d'écroulement de Chiètres                              |
| 15201300 | Bergsturzablagerungen von Derborence            | Bergsturzablagerungen von Derborence                         |
| 15201303 | Bergsturzablagerungen von Elm                   | dépôt d'écroulement d'Elm                                    |
| 15201297 | Bergsturzablagerungen von Flims                 | dépôt d'écroulement de Flims                                 |
| 15201304 | Bergsturzablagerungen von Goldau                | dépôt d'écroulement de Goldau                                |
| 15201290 | Bergsturzablagerungen von Gwelber-Lau-Weid      | dépôt d'écroulement de Gwelber-Lau-Weid                      |



| GeolCode | Deutsch  | Français  |
|----------|--|---|
| 15201305 | Bergsturzablagerungen von Iragell                | dépôt d'écroulement d'Iragell                                       |
| 15201295 | Bergsturzablagerungen von Mutta                  | dépôt d'écroulement de Mutta  |
| 15201289 | Bergsturzablagerungen von<br>Novalles-Vugelles   | dépôt d'écroulement de<br>Novalles-Vugelles                         |
| 15201293 | Bergsturzablagerungen von Prapan                 | dépôt d'écroulement de Prapan                                       |
| 15201294 | Bergsturzablagerungen von<br>Schaingels          | dépôt d'écroulement de Schaingels                                   |
| 15201286 | Bergsturzablagerungen von Sierre                 | dépôt d'écroulement de Sierre                                       |
| 15201292 | Bergsturzablagerungen von Sogno                  | dépôt d'écroulement de Sogno  |
| 15201310 | Bergsturzablagerungen von Tamins                 | dépôt d'écroulement de Tamins                                       |
| 15201307 | Bergsturzablagerungen von<br>Triesenberg         | dépôt d'écroulement de Triesenberg                                  |
| 15201053 | Beringen-Eiszeit                                 | Période glaciaire de Beringen<br>(Avant-dernière Période glaciaire) |
| 15201164 | Berken-Sand                                      | Sable de Berken   |
| 15201163 | Berken-Schotter                                  | Gravier de Berken   |
| 15201156 | Bersturzmasse von Selzach                        | Dépôt d'écroulement de Selzach                                      |
| 15201523 | Beuggen-Schotter                                 | Beuggen-Schotter  |
| 15201153 | Bick-Till  | Till du Bick(acher)   |
| 15201263 | Bire-Bergsturzablagerungen                       | Bire-Bergsturzablagerungen  |
| 15201462 | Birkenhof-Formation                              | Birkenhof-Formation   |
| 15201009 | Birmenstorf-Vergletscherung (2.<br>LGM-Vorstoss) | Glaciation de Birmenstorf   |
| 15201013 | Birmenstorf-Vorstoss                             | Avancée glaciaire de Birmenstorf                                    |
| 15201014 | Birr-Schotter                                    | Gravier de Birr   |
| 15201052 | Birrfeld- und Klettgau-Paläoböden                | Paléosols du Birrfeld et du Klettgau                                |
| 15201006 | Birrfeld-Eiszeit (Letzte Eiszeit)                | Période glaciaire du Birrfeld<br>(Dernière Période glaciaire)       |
| 15201255 | Bohlingen-Schotter                               | Gravier de Bohlingen  |
| 15201308 | Bonaduz-Formation                                | Formation de Bonaduz  |
| 15201309 | Bonfol-Ton                                       | Argile de Bonfol  |
| 15201465 | Böschmatt-Schotter                               | Böschmatt-Schotter  |
| 15201466 | Bramegg-Schotter                                 | Bramegg-Schotter  |
| 15201221 | Brandflue-Schotter                               | Gravier de la Brandflue   |
| 15201150 | Breite-Terrasse                                  | terrasse de la Breite   |
| 15201520 | Bruderhäusle-Schotter                            | Bruderhäusle-Schotter   |
| 15201339 | Brüggstutz-Schotter                              | Gravier du Brüggstutz   |
| 15201120 | Buechen-Formation                                | Formation de Buechen  |
| 15201470 | Büel-Schotter                                    | Büel-Schotter   |
| 15201469 | Büelm-Schotter                                   | Büelm-Schotter  |
| 15201085 | Buerfeld-Schotter                                | Gravier du Buerfeld   |
| 15201471 | Bünten-Schotter                                  | Bünten-Schotter   |
| 15201094 | Bünten-Till                                      | Till de Bünten  |
| 15201558 | Burgacher-Schotter                               | Gravier de Burgacher  |
| 15201243 | Butteberg-Schotter                               | Gravier du Butteberg  |
| 15201458 | Ceppo  | Ceppo   |
| 15201233 | Chälen-Schotter                                  | Gravier de Chälen   |
| 15201234 | Chälen-Till                                      | Till de Chälen  |
| 15201559 | Chatzenstig-Schotter                             | Gravier du Chatzenstig  |
| 15201223 | Chatzenstrick-Schotter                           | Gravier du Chatzenstrick  |
| 15201258 | Chilchstapfen-Schotter                           | Gravier de la Chilchstapfen   |
| 15201191 | Chisetel-Schotter                                | Gravier du Chisetel   |
| 15201242 | Chräjeloch-Schotter                              | Gravier du Chräjeloch   |
| 15201214 | Dagmersellen-Vorstoss                            | Avancée glaciaire de Dagmersellen                                   |

| GeolCode | Deutsch                                      | Français   |
|----------|--|--|
| 15201250 | Deckenschotter, undifferenziert              | Deckenschotter, indifférencié                        |
| 15201116 | Degermoos-Schotter                           | Gravier de Degermoos                                 |
| 15201115 | Dürn-Formation                               | Formation du Dürn                                    |
| 15201472 | Durnagel-Schotter                            | Durnagel-Schotter                                    |
| 15201473 | Dürrenroth-Schotter                          | Dürrenroth-Schotter                                  |
| 15201117 | Ebnet-Schotter                               | Gravier de l'Ebnet                                   |
| 15201123 | Egg-Schotter                                 | Gravier de l'Egg                                     |
| 15201119 | Egghalden-Schotter                           | Gravier de l'Egghalden                               |
| 15201547 | Eggholz-Formation                            | Formation de l'Eggholz                               |
| 15201474 | Egghüsli-Schotter                            | Egghüsli-Schotter                                    |
| 15201197 | Einsiedeln-Lehm                              | Limon d'Einsiedeln                                   |
| 15201546 | Ellikerholz-Formation                        | Formation de l'Ellikerholz                           |
| 15201284 | Embrach-Seeablagerungen                      | Embrach-Seeablagerungen                              |
| 15201144 | Emme-Schotter                                | Gravier de l'Emme                                    |
| 15201475 | Emmental-Schotter                            | Emmental-Schotter                                    |
| 15201030 | Emmet-Vorstoss                               | Avancée glaciaire d'Emmet                            |
| 15201180 | Endingen-Schotter                            | Gravier d'Endingen                                   |
| 15201159 | Enge-Schotter                                | Gravier de l'Enge                                    |
| 15201065 | Engiwald-Vorstoss                            | Avancée glaciaire de l'Engiwald                      |
| 15201054 | Entfelden-Schotter                           | Gravier d'Entfelden                                  |
| 15201476 | Ergolztal-Schotter                           | Ergolztal-Schotter                                   |
| 15201510 | Ermensee-Schotter                            | Ermensee-Schotter                                    |
| 15201272 | Eschenbach-Formation                         | Eschenbach-Formation                                 |
| 15201265 | Fankhusgrabe-Schotter                        | Fankhusgrabe-Schotter                                |
| 15201524 | Feldhof-Schotter                             | Feldhof-Schotter                                     |
| 15201121 | Feusi-Schotter                               | Gravier du Feusi                                     |
| 15201096 | Fisibach-Schotter                            | Gravier de Fisibach                                  |
| 15201262 | Fisistock-Bergsturzablagerungen              | Fisistock-Bergsturzablagerungen                      |
| 15201174 | Fislisbach-Schotter                          | Gravier de Fislisbach                                |
| 15201154 | Flüe-Till                                    | Till de Flüe   |
| 15201011 | Flüefeld-Schotter                            | Gravier du Flüefeld                                  |
| 15201146 | Flumenthal-Lehm                              | Limon du Flumenthal                                  |
| 15201051 | Flurlingen-Quelltuff                         | Tuf calcaire de Flurlingen                           |
| 15201106 | Forenirchel-Schotter                         | Gravier du Forenirchel                               |
| 15201105 | Fornech-Schotter                             | Gravier de la Fornech                                |
| 15201018 | Fornholz-Till                                | Till de Fornholz                                     |
| 15201217 | Forst-Schotter                               | Gravier du Forst                                     |
| 15201477 | Gammenthal-Schotter                          | Gammenthal-Schotter                                  |
| 15201145 | Gäu-Schotter                                 | Gravier du Gäu                                       |
| 15201079 | Geisslingen-Schotter                         | Gravier de Geisslingen                               |
| 15201251 | Girenbad-Schotter                            | Gravier du Girenbad                                  |
| 15201047 | Glazi-lakustrische Serie                     | Série glaciolacustre (Gravier du Klettgau)           |
| 15201343 | Glütschtal-Formation                         | Formation du Glütschtal                              |
| 15201478 | Gondiswil-Formation                          | Gondiswil-Formation                                  |
| 15201050 | Gondiswil-Interglazial (Letztes Integlazial) | Interglaciaire de Gondiswil (Dernier Interglaciaire) |
| 15201203 | Gontenschwil-Lehm                            | Limon de Gontenschwil                                |
| 15201020 | Gontenschwil-Till                            | Till de Gontenschwil                                 |
| 15201019 | Gontenschwil-Vorstoss                        | Avancée glaciaire de Gontenschwil                    |
| 15201038 | Gossau-Interstadial                          | Interstade de Gossau                                 |
| 15201169 | Grandson-Formation                           | Formation de Grandson                                |
| 15201083 | Gränichen-Schotter                           | Gravier de Gränichen                                 |
| 15201192 | Grauholz-Schotter                            | Gravier du Grauholz                                  |

| GeolCode | Deutsch   | Français                                      |
|----------|---|---|
| 15201267 | Grundtal-Schotter   | Grundtal-Schotter                             |
| 15201232 | Gubel-Schotter  | Gravier de Gubel                              |
| 15201275 | Gublen-Schotter   | Gublen-Schotter                               |
| 15201031 | Gündelmoos-Lehm   | Limon de Gündelmoos                           |
| 15201341 | Guntelsei-Schotter  | Gravier de la Guntelsei                       |
| 15201340 | Guntelsei-Till  | Till de la Guntelsei                          |
| 15201274 | Günterstall-Schotter  | Günterstall-Schotter                          |
| 15201240 | Gutsch-Schotter   | Gravier du Gutsch                             |
| 15201082 | Habsburg-Eiszeit  | Période glaciaire de Habsburg                 |
| 15201080 | Habsburg-Hagenholz-Interglazial                                 | Interglaciaire Habsburg-Hagenholz             |
| 15201088 | Habsburg-Schotter   | Gravier de Habsburg                           |
| 15201086 | Habsburg-Vergletscherung  | Glaciation de Habsburg                        |
| 15201087 | Habsburg-Vorstoss   | Avancée glaciaire de Habsburg                 |
| 15201072 | Hagenholz-Eiszeit   | Période glaciaire du Hagenholz                |
| 15201073 | Hagenholz-Vergletscherung                                       | Glaciation du Hagenholz                       |
| 15201074 | Hagenholz-Vorstoss  | Avancée glaciaire du Hagenholz                |
| 15201506 | Hagnau-Niveau   | Hagnau-Niveau                                 |
| 15201344 | Hahni-Schotter  | Gravier de Hahni                              |
| 15201530 | Hahni-Till  | Till de Hahni                                 |
| 15201278 | Halden-Seeablagerungen  | Halden-Seeablagerungen                        |
| 15201208 | Haselbach-Schotter  | Gravier du Haselbach                          |
| 15201479 | Hasewald-Schotter   | Hasewald-Schotter                             |
| 15201264 | Hasle-Schotter  | Hasle-Schotter                                |
| 15201270 | Haslentobel-Schotter  | Haslentobel-Schotter                          |
| 15201564 | Hasli-Formation   | Formation de Hasli                            |
| 15201177 | Hausen-Lehm   | Limon de Hausen                               |
| 15201178 | Hausen-Moräne   | Till de Hausen                                |
| 15201245 | Heitere-Schotter  | Gravier de Heitere                            |
| 15201515 | Heubeerihübel-Schotter  | Heubeerihübel-Schotter                        |
| 15201480 | Hirzmatt-Schotter   | Hirzmatt-Schotter                             |
| 15201244 | Höchi-Schotter  | Gravier du Höchi                              |
| 15201003 | Hochterrasse  | Hochterrasse                                  |
| 15201464 | Höhenschotter   | Höhenschotter                                 |
| 15201005 | Höhere Deckenschotter   | Höhere Deckenschotter                         |
| 15201246 | Holziken-Schotter   | Gravier de Holziken                           |
| 15201513 | Homburg-Till  | Homburg-Till                                  |
| 15201041 | Hombrechtikon-Vergletscherung<br>(Frühletzteiszeitliche Vergl.) | Glaciation de Hombrechtikon                   |
| 15201257 | Hungerbol-Schotter  | Gravier d'Hungerbol                           |
| 15201195 | Hütten-Schotter   | Gravier de Hütten                             |
| 15201098 | Iberig-Schotterkomplex  | Gravier de l'Iberig                           |
| 15201032 | Igliste-Schotter  | Gravier d'Igliste                             |
| 15201311 | Informell benannte<br>Bergsturzablagerungen                     | dépôts d'écroulement nommés<br>informellement |
| 15201319 | Informell benannte fluviatile<br>Schotter                       | graviers fluviatiles nommés<br>informellement |
| 15201312 | Informell benannte künstliche<br>Ablagerungen                   | dépôts artificiels nommés<br>informellement   |
| 15201317 | Informell benannte<br>Sackungsmassen                            | masses tassées nommées<br>informellement      |
| 15201322 | Informell benannter Bachschutt                                  | dépôts torrentiels nommés<br>informellement   |
| 15201111 | Irchel-Dolomitschotter  | Gravier dolomitique de l'Irchel               |
| 15201108 | Irchel-Schotterkomplex  | Gravier de l'Irchel                           |

| GeolCode | Deutsch  | Français                                       |
|----------|--|--|
| 15201077 | Ittingen-Schotter                              | Gravier d'Ittingen                             |
| 15201209 | Jonen-Schotter                                 | Gravier de Jonen                               |
| 15201241 | Junkerenwald-Schotter                          | Gravier du Junkerenwald                        |
| 15201182 | Juraschotter                                   | Juraschotter                                   |
| 15201467 | Kaltenegg-Schotter                             | Kaltenegg-Schotter                             |
| 15201166 | Käppelihof-Schotter                            | Gravier du Käppelihof                          |
| 15201190 | Karlsruhe-Schotter                             | Gravier de Karlsruhe                           |
| 15201142 | Kiessande von Madretsch                        | Sable à gravier de Madretsch                   |
| 15201147 | Killwangen-Schaffhausen-Mellingen-Stadium      | stade de Killwangen-Schaffhouse-Mellingen      |
| 15201037 | Kirchleerau-Till                               | Till de Kirchleerau                            |
| 15201036 | Kirchleerau-Vorstoss                           | Avancée glaciaire de Kirchleerau               |
| 15201219 | Kleinhöchstetten-Kies-Sand-Komplex             | Complexe sablo-graveleux de Kleinhöchstetten   |
| 15201045 | Klettgau-Schotter                              | Gravier du Klettgau                            |
| 15201236 | Kollbrunn-Schotter                             | Gravier de Kollbrunn                           |
| 15201220 | Krauchthal-Schotter                            | Gravier du Krauchthal                          |
| 15201539 | Kunkels-Formation                              | Formation de Kunkels                           |
| 15201315 | Künstliche Ablagerungen der Gamsenried-Deponie | dépôts artificiels de la décharge de la Lonza  |
| 15201313 | Künstliche Ablagerungen des Bahnhofs Brig      | dépôts artificiels de la gare de Brigue        |
| 15201316 | Künstliche Ablagerungen des Riedertals         | dépôts artificiels du Riedertal                |
| 15201314 | Künstliche Ablagerungen Golar                  | dépôts artificiels Golar                       |
| 15201222 | Küsnacht-Schotter                              | Gravier de Küsnacht                            |
| 15201158 | La-Côte-Schotter                               | Alluvions de la Côte                           |
| 15201202 | La-Tuffière-Schotter                           | Gravier de la Tuffière                         |
| 15201114 | Langacher-Schotter                             | Gravier du Langacher                           |
| 15201059 | Langwiesen-Vergletscherung                     | Glaciation de Langwiesen                       |
| 15201060 | Langwiesen-Vorstoss                            | Avancée glaciaire de Langwiesen                |
| 15201007 | Last Glacial Maximum (LGM), undiff.            | Dernier Maximum Glaciaire (LGM), indifférencié |
| 15201008 | LGM-Rückzug                                    | Phase de retrait du LGM                        |
| 15201514 | Lindenberg-Till                                | Lindenberg-Till                                |
| 15201122 | Lindhau-Schotter                               | Gravier du Lindenhau                           |
| 15201024 | Lindmühle-Vergletscherung (1. LGM-Vorstoss)    | Glaciation de Lindmühle                        |
| 15201027 | Lindmühle-Vorstoss                             | Avancée glaciaire du Lindmühle                 |
| 15201064 | Löhningen-Engiwald-Vergletscherung             | Glaciation de Löhningen-Engiwald               |
| 15201067 | Löhningen-Vorstoss                             | Avancée glaciaire de Löhningen                 |
| 15201161 | Lommiswil-Schotter                             | Gravier de Lommiswil                           |
| 15201444 | Löss, undifferenziert                          | Loess, indifférencié                           |
| 15201063 | Lupfig-Schotter                                | Gravier de Lupfig                              |
| 15201186 | Malmkalk-Schotter der Randen-Täler             | Malmkalk-Schotter (vallée du Randen)           |
| 15201151 | Maximalstand (Kilwangen-Schaffhausen-Stadium)  | stade maximal (Kilwangen-Schaffhouse)          |
| 15201070 | Meikirch-Interglazial                          | Interglaciaire de Meikirch                     |
| 15201141 | Mély-Formation                                 | Formation de Mély                              |
| 15201201 | Menzingen-Schotter                             | Gravier de Menzingen                           |
| 15201185 | Merenbach-Schotter                             | Gravier du Merenbach                           |
| 15201481 | Mettlen-Schotter                               | Mettlen-Schotter                               |

| GeolCode | Deutsch  | Français  |
|----------|--|---|
| 15201125 | Mischschotter                                  | Mischschotter (Sundgau)                                 |
| 15201101 | Mittlere Iberigschotter                        | Gravier moyen de l'Iberig                               |
| 15201112 | Mittlere Irchelschotter                        | Gravier moyen de l'Irchel                               |
| 15201048 | Mittlere Klettgauschotter                      | Gravier moyen du Klettgau                               |
| 15201091 | Möhlin-Eiszeit (Grösste Eiszeit)               | Période glaciaire de Möhlin                             |
| 15201092 | Möhlin-Vergletscherung                         | Glaciation de Möhlin                                    |
| 15201093 | Möhlin-Vorstoss                                | Avancée glaciaire de Möhlin                             |
| 15201081 | Möhlinerfeld-Paläoboden                        | Paléosol du Möhlinerfeld                                |
| 15201482 | Möhlinerfeld-Schotter                          | Möhlinerfeld-Schotter                                   |
| 15201511 | Mooretal-Schotter                              | Mooretal-Schotter                                       |
| 15201204 | Mooslerau-Lehm                                 | Limon du Mooslerau                                      |
| 15201039 | Mülligen-Paläoboden                            | Paléosol de Mülligen                                    |
| 15201042 | Mülligen-Schotter                              | Gravier de Mülligen                                     |
| 15201521 | Mumpf-Schotter                                 | Mumpf-Schotter  |
| 15201148 | Munot-Terrasse                                 | terrasse du Munot                                       |
| 15201188 | Münsingen-Schotterkomplex                      | Complexe graveleux de Münsingen                         |
| 15201268 | Murg-Schieferkohle                             | Murg-Schieferkohle                                      |
| 15201483 | Muttenfeld-Schotter                            | Muttenfeld-Schotter                                     |
| 15201033 | Niderholz-Till                                 | Till du Niderholz                                       |
| 15201527 | Niderstalden-Schotter                          | Gravier de Niderstalden                                 |
| 15201484 | Nidfurn-Schotter                               | Nidfurn-Schotter  |
| 15201002 | Niederterrasse                                 | Niederterrasse  |
| 15201536 | Niederterrassenschotter, oberste Terrasse      | Niederterrasse, premier niveau graveleux le plus élevé  |
| 15201534 | Niederterrassenschotter, tiefere Niveaus       | Niederterrasse, niveaux graveleux inférieurs            |
| 15201535 | Niederterrassenschotter, zweitoberste Terrasse | Niederterrasse, deuxième niveau graveleux le plus élevé |
| 15201040 | Niederweningen-Formation                       | Formation de Niederweningen                             |
| 15201542 | Niklaushalden-Formation                        | Formation de Niklaushalden                              |
| 15201134 | Nohl-Terrasse                                  | terrasse de Nohl  |
| 15201459 | Novazzano-Sand                                 | Sable de Novazzano                                      |
| 15201099 | Obere Iberigschotter                           | Gravier supérieur de l'Iberig                           |
| 15201109 | Obere Irchelschotter                           | Gravier supérieur de l'Irchel                           |
| 15201046 | Obere Klettgauschotter                         | Gravier supérieur du Klettgau                           |
| 15201132 | Obere Singen-Terrasse                          | terrasse supérieure de Singen                           |
| 15201100 | Oberer Till                                    | Oberer Till (Iberig)                                    |
| 15201015 | Oberhard-Till                                  | Till d'Oberhard   |
| 15201485 | Oberhöhe-Grundmoräne                           | Oberhöhe-Grundmoräne                                    |
| 15201273 | Oberkirch-Seebodenlehm                         | Oberkirch-Seebodenlehm                                  |
| 15201486 | Obermoos-Schotter                              | Obermoos-Schotter                                       |
| 15201269 | Oberricken-Schotter                            | Oberricken-Schotter                                     |
| 15201162 | Oensingen-Moos-Lehm                            | Limon d'Oensingen-Moos                                  |
| 15201261 | Oeschinensee-Bergsturzlagerungen               | Oeschinensee-Bergsturzlagerungen                        |
| 15201259 | Ofenloch-Karstfüllung                          | Ofenloch-Karstfüllung                                   |
| 15201487 | Öflingen-Schotter                              | Öflingen-Schotter                                       |
| 15201215 | Oftringen-Schotter                             | Gravier d'Oftringen                                     |
| 15201138 | Orvin-Schotter                                 | Gravier d'Orvin   |
| 15201025 | Otelfingen-Vorstoss                            | Avancée glaciaire d'Otelfingen                          |
| 15201561 | Paradiesgärtli-Schotter                        | Gravier du Paradiesgärtli                               |
| 15201076 | Pfyn-Vorstoss                                  | Avancée glaciaire de Pfyn                               |
| 15201566 | Plaffeien-Seetone                              | Plaffeien-Seetone                                       |
| 15201567 | Plasselb-Stauschotter                          | Plasselb-Stauschotter                                   |

| GeolCode | Deutsch  | Français   |
|----------|--|--|
| 15201157 | Plateauschotter                                  | Plateauschotter                                    |
| 15201333 | Pliozäne Ablagerungen                            | dépôts pliocènes                                   |
| 15201170 | Poissine-Formation                               | Formation de la Poissine                           |
| 15201212 | Port-Stauschotter                                | Gravier de Port                                    |
| 15201249 | Quartär, undifferenziert                         | Quaternaire, indifférencié                         |
| 15201224 | Rabennest-Schotter                               | Gravier du Rabennest                               |
| 15201218 | Raintal-Deltaschotter                            | Gravier du Raintal                                 |
| 15201225 | Ratengütsch-Schotter                             | Gravier du Ratengütsch                             |
| 15201277 | Regelstein-Till                                  | Regelstein-Till                                    |
| 15201230 | Reidbach-Schotter                                | Gravier du Reidbach                                |
| 15201069 | Remigen-Schotter                                 | Gravier de Remingen                                |
| 15201068 | Remigen-Vorstoss                                 | Avancée glaciaire de Remingen                      |
| 15201213 | Rempen-Stauschotter                              | Gravier de Rempen                                  |
| 15201062 | Reuenthal-Vorstoss                               | Avancée glaciaire de Reuenthal                     |
| 15201505 | Reuss-Schotterkomplex                            | Reuss-Schotterkomplex                              |
| 15201176 | Reusstal-Lehm                                    | Limon du Reusstal                                  |
| 15201175 | Reusstal-Sand                                    | Sable du Reusstal                                  |
| 15201507 | Reusstal-Seebodensediment                        | Reusstal-Seebodensediment                          |
| 15201181 | Rhein- und Aareschotter                          | Gravier du Rhin et de l'Aar                        |
| 15201133 | Rheinau-Terrasse                                 | terrasse de Rheinau                                |
| 15201545 | Rheinau-Till                                     | Till de Rheinau                                    |
| 15201228 | Richterswil-Seeton                               | Argile lacustre de Richterswil                     |
| 15201509 | Rickenbach-Schotter                              | Rickenbach-Schotter                                |
| 15201522 | Riedmatt-Schotter                                | Riedmatt-Schotter                                  |
| 15201554 | Risibüel-Schotter                                | Gravier de Risibüel                                |
| 15201238 | Ritteren-Schotterkomplex                         | Complexe graveleux de Ritteren                     |
| 15201516 | Ritzhans-Schotter                                | Ritzhans-Schotter                                  |
| 15201084 | Roggehuse-Schotter                               | Gravier de Roggehuse                               |
| 15201266 | Rossgaden-Schotter                               | Rossgaden-Schotter                                 |
| 15201488 | Rottal-Schotter                                  | Rottal-Schotter                                    |
| 15201179 | Ruckfeld-Schotter                                | Gravier du Ruckfeld                                |
| 15201489 | Rüdelwald-Schotter                               | Rüdelwald-Schotter                                 |
| 15201541 | Rüdlingen-Till                                   | Till de Rüdlingen                                  |
| 15201247 | Ruedertal-Schotter                               | Gravier du Ruedertal                               |
| 15201066 | Rüfenach-Vorstoss                                | Avancée glaciaire de Rüfenach                      |
| 15201490 | Rufswil-Schotter                                 | Rufswil-Schotter                                   |
| 15201491 | Rütimatt-Schotter                                | Rütimatt-Schotter                                  |
| 15201078 | Ryhirt-Formation                                 | Formation du Ryhirt                                |
| 15201519 | Säckingen-Schotter                               | Säckingen-Schotter                                 |
| 15201318 | Sackungsmasse des Heinzenbergs                   | masse tassée du Heinzenberg                        |
| 15201252 | Sagenbach-Schotter                               | Gravier du Sagenbach                               |
| 15201556 | Saxegrabe-Schotter                               | Gravier du Saxegrabe                               |
| 15201279 | Schafbüel-Formation                              | Schafbüel-Formation                                |
| 15201061 | Schaffhausen-Schotter                            | Gravier de Schaffhouse                             |
| 15201226 | Scherenspitz-Schotter                            | Gravier du Scherenspitz                            |
| 15201095 | Schleitheim-Vorstoss                             | Avancée glaciaire de Schleitheim                   |
| 15201131 | Schlieren-Diessenhofen-Stetten-Stadien           | stade de Schlieren-Diessenhofen-Stetten            |
| 15201553 | Schlossbuck-Schotter                             | Gravier de Schlossbuck                             |
| 15201338 | Schlyffi-Till                                    | Till de la Schlyffi                                |
| 15201555 | Schmerlet- und Toktri-Formation, undifferenziert | Formations de Schmerlet et Toktri, indifférenciées |
| 15201196 | Schnabelsberg-Stauchotter                        | Gravier de Schnabelsberg                           |
| 15201518 | Schöneegg-Formation                              | Schöneegg-Formation                                |

| GeolCode | Deutsch  | Français                                      |
|----------|--|---|
| 15201320 | Schotter und Sand der Rhône                    | graviers et sables du Rhône                   |
| 15201321 | Schotter und Sand der Vispa                    | graviers et sables de la Viège                |
| 15201253 | Schrotzburg-Schotter                           | Gravier de la Schrotzburg                     |
| 15201254 | Schrotzburg-Till                               | Till de la Schrotzburg                        |
| 15201137 | Schüss-Schotter                                | Gravier de la Suze                            |
| 15201493 | Schwande-Seebodensedimente                     | Schwande-Seebodensedimente                    |
| 15201229 | Schwanden-Schotter                             | Gravier de Schwanden                          |
| 15201492 | Schwanderholzwald-Schotter                     | Schwanderholzwald-Schotter                    |
| 15201165 | Schwarzhäusern-Lehm                            | Limon de Schwarzhäusern                       |
| 15201139 | Seeablagerungen von Frinvillier und Rondchâtel | Dépôts lacustres de Frinvillier et Rondchâtel |
| 15201143 | Seeland-Schotter                               | Gravier du Seeland                            |
| 15201016 | Seon-Vorstoss                                  | Avancée glaciaire de Seon                     |
| 15201207 | Sihl-Schotter                                  | Gravier de la Sihl                            |
| 15201235 | Sihlsprung-Schotter                            | Gravier du Sihlsprung                         |
| 15201187 | Solothurn-Stadium                              | stade de Soleure                              |
| 15201494 | Soppensee-Seebodensedimente                    | Soppensee-Seebodensedimente                   |
| 15201525 | Spärgacher-Schotter                            | Spärgacher-Schotter                           |
| 15201495 | Speicherboden-Lokalmoräne                      | Speicherboden-Lokalmoräne                     |
| 15201529 | Spiez-Schotter                                 | Gravier de Spiez                              |
| 15201543 | Stadel-Till                                    | Till de Stadel                                |
| 15201022 | Staffelbach-Schotter                           | Gravier de Staffelbach                        |
| 15201023 | Staffelbach-Till                               | Till de Staffelbach                           |
| 15201021 | Staffelbach-Vorstoss                           | Avancée glaciaire de Staffelbach              |
| 15201211 | Starrberg-Schotter                             | Gravier de Starrberg                          |
| 15201140 | Stauschotter von Diessbach                     | Gravier de retenue de Diessbach               |
| 15201342 | Steghalden-Schotter                            | Gravier de la Steghalden                      |
| 15201107 | Steig-Schotter                                 | Gravier du Steig                              |
| 15201468 | Steinhuserberg-Schotter                        | Steinhuserberg-Schotter                       |
| 15201565 | Stetten-Schotter                               | Gravier de Stetten                            |
| 15201334 | Stockesee-Sediment                             | Sédiments du Stockesee                        |
| 15201149 | Stokar-Terrasse                                | terrasse de Stokar                            |
| 15201335 | Strätligen-Till                                | Till de Strätligen                            |
| 15201058 | Stüsslingen-Schotter                           | Gravier de Stüsslingen                        |
| 15201552 | Südranden-Till                                 | Gravier du Südranden                          |
| 15201056 | Suhr-Schotter                                  | Gravier de Suhr                               |
| 15201124 | Sundgau-Schotter                               | Gravier du Sundgau                            |
| 15201171 | Surbtal-Lehm                                   | Limon du Surbtal                              |
| 15201173 | Surbtal-Schotter                               | Gravier du Surbtal                            |
| 15201172 | Surbtal-Till                                   | Till du Surbtal                               |
| 15201026 | Tägerhard-Schotter                             | Gravier de Tägerhard                          |
| 15201496 | terrasse lémanique de 10 m                     | terrasse lémanique de 10 m                    |
| 15201497 | terrasse lémanique de 3 m                      | terrasse lémanique de 3 m                     |
| 15201090 | Thalgut-Interglazial                           | Interglaciaire de Thalgut                     |
| 15201282 | Tiefenwinkel-Seebodensedimente                 | Tiefenwinkel-Seebodensedimente                |
| 15201004 | Tiefere Deckenschotter                         | Tiefere Deckenschotter                        |
| 15201538 | Tiefere Deckenschotter, oberes Niveau          | Tiefere Deckenschotter, niveau supérieur      |
| 15201537 | Tiefere Deckenschotter, unteres Niveau         | Tiefere Deckenschotter, niveau inférieur      |
| 15201193 | Trachslau-Schotter                             | Gravier de Trachslau                          |
| 15201206 | Triengen-Lehm                                  | Limon de Triengen                             |
| 15201205 | Triengen-Schotter                              | Gravier de Triengen                           |
| 15201562 | Tubeschwanz-Schotter                           | Gravier de Tubeschwanz                        |

| GeolCode | Deutsch                         | Français                                      |
|----------|---------------------------------|---|
| 15201168 | Tuileries-Formation             | Formation des Tuileries                       |
| 15201276 | Unter-Buechwald-Schotter        | Unter-Buechwald-Schotter                      |
| 15201517 | Unterdorf-Schotter              | Unterdorf-Schotter                            |
| 15201102 | Untere Iberigschotter           | Gravier inférieur de l'Iberig                 |
| 15201113 | Untere Irchelschotter           | Gravier inférieur de l'Irchel                 |
| 15201049 | Untere Klettgauschotter         | Gravier inférieur du Klettgau                 |
| 15201130 | Untere Singen-Terrasse          | terrasse inférieure de Singen                 |
| 15201498 | Untere Zeller Schotter          | Untere Zeller Schotter                        |
| 15201103 | Unterer Till                    | Unterer Till (Iberig)                         |
| 15201280 | Unteres-Huttenbüel-Schotter     | Unteres-Huttenbüel-Schotter                   |
| 15201499 | Untergrabehüsli-Schotter        | Untergrabehüsli-Schotter                      |
| 15201089 | Unterschlatt-Vorstoss           | Avancée glaciaire d'Unterschlatt              |
| 15201500 | Untertreie-Schotter             | Untertreie-Schotter                           |
| 15201283 | Uznach-Schieferkohle            | Uznach-Schieferkohle                          |
| 15201057 | Veltheim-Schotter               | Gravier de Veltheim                           |
| 15201544 | Volken-Lehm                     | Limon de Volken                               |
| 15201239 | Vorholz-Schotter                | Gravier du Vorholz                            |
| 15201526 | Wagenmoos-Till                  | Till du Wagenmoos                             |
| 15201237 | Walenberg-Schotter              | Gravier de Walenberg                          |
| 15201501 | Wallbach-Schotter               | Wallbach-Schotter                             |
| 15201227 | Walsenhaus-Schotter             | Gravier de Walsenhaus                         |
| 15201118 | Wannen-Schotter                 | Gravier du Wannen(buck)                       |
| 15201337 | Wässerifluh-Formation           | Formation de la Wässerlifluh                  |
| 15201560 | Wasterkingen-Schotter           | Gravier de Wasterkingen                       |
| 15201152 | Wehntal-Schotter                | Gravier du Wehntal                            |
| 15201549 | Weiach-Schotter                 | Gravier de Weiach                             |
| 15201126 | Weisse Serie                    | Weisse Serie (Sundgau)                        |
| 15201563 | Weisweil-Schotter               | Gravier de Weisweil                           |
| 15201502 | Werthenstein-Schotter           | Werthenstein-Schotter                         |
| 15201155 | Wettingen-Schotter              | Gravier de Wettingen                          |
| 15201010 | Wettingen-Vorstoss              | Avancée glaciaire de Wettingen                |
| 15201200 | Wiggen-Schotter                 | Gravier de la Wigger                          |
| 15201503 | Willburg-Formation              | Willburg-Formation                            |
| 15201198 | Willisau-Schotter               | Gravier de Willisau                           |
| 15201504 | Wilzigen-Seebodensedimente      | Wilzigen-Seebodensedimente                    |
| 15201281 | Winden-Schieferkohle            | Winden-Schieferkohle                          |
| 15201551 | Windlach-Till                   | Till de Windlach                              |
| 15201104 | Wolfacher-Schotter und -Till    | Gravier et Till de Wolfacher                  |
| 15201199 | Wolhusen-Schotter               | Gravier de Wolhusen                           |
| 15201260 | Wurmsbach-Deltaablagerungen     | Wurmsbach-Deltaablagerungen                   |
| 15201184 | Wutach-Schotter                 | Gravier de la Wutach                          |
| 15201508 | Wyna-Schotter                   | Wyna-Schotter                                 |
| 15201463 | Zeiningen-Till                  | Zeiningen-Till                                |
| 15201216 | Zelg-Schotter                   | Gravier de Zelg                               |
| 15201231 | Zell-Schotterkomplex            | Gravier de Zell                               |
| 15201035 | Zetzwil-Till                    | Till de Zetzwil                               |
| 15201034 | Zetzwil-Vorstoss                | Avancée glaciaire de Zetzwil                  |
| 15201528 | Zulgtal-Schotter                | Gravier du Zulgtal                            |
| 15201129 | Zürich-Stein-Bremgarten-Stadien | stade glaciaire de<br>Zürich-Stein-Bremgarten |
| 15201557 | Zweidlen-Schotter               | Gravier de Zweidlen                           |
| 999997   | Unknown                         | inconnu                                       |
| 999998   | Not applicable                  | not applicable                                |



## 11 Annexe GC\_LITHO\_CD

Tables des valeurs de la description lithologique

| GeolCode | Deutsch   | Français   |
|----------|---|--|
| 15104015 | (Meso)Kataklasit  | (méso)cataclasite  |
| 15104044 | Adergneis   | gneiss veiné   |
| 15104046 | agmatischer Gneis   | gneiss agmatique   |
| 15104087 | Albitit   | albitite   |
| 15103040 | Alkalirhyolith  | rhyolite alcaline  |
| 15103013 | Alkalisyenit  | syénite alcaline   |
| 15103046 | Alkalitrachyt   | trachite alcaline  |
| 15103006 | Alkalogranit  | granite alcalin  |
| 15101039 | Alluvion, undifferenziert   | alluvions, indifférenciés                                      |
| 15104060 | Amphibolit  | amphibolite  |
| 15104063 | Amphibolitgneis   | gneiss amphibolitique  |
| 15104074 | Anatexit, undifferenziert   | anatexite, indifférenciée                                      |
| 15103045 | Andesit   | andésite   |
| 15102071 | Anhydrit  | anhydrite  |
| 15102059 | Anthrazit   | anthracite   |
| 15101067 | anthropogene Elemente, undifferenziert                                  | éléments anthropiques, indifférenciés                          |
| 15101062 | äolischer Sand, Flugsand  | sable éolien   |
| 15101061 | äolisches Sediment, undifferenziert                                     | sédiments éoliens, indifférenciés                              |
| 15103030 | Aplit   | aplite   |
| 15102044 | Aptychenkalk  | calcaire à aptychus  |
| 15102038 | Arenit  | calcarénite  |
| 15102016 | Arkose  | arkose   |
| 15103058 | Aschentuff  | cendres volcaniques  |
| 15101071 | Auffüllung  | comblement   |
| 15101070 | Aufschüttung, Damm  | remblai, digue   |
| 15104042 | Augengneis  | gneiss oeilé   |
| 15101041 | Bachschutt  | dépôts torrentiels   |
| 15104061 | Bänderamphibolit  | amphibolite rubanée  |
| 15104043 | Bändergneis   | gneiss rubané  |
| 15103048 | Basalt  | basalte  |
| 15103068 | basisches Ganggestein   | roche filonienne basique                                       |
| 15103069 | Basisches Gestein   | roche basique  |
| 15103066 | Bentonit  | bentonite  |
| 15101006 | Bergsturzablagerung   | dépôt d'écroulement  |
| 15102045 | biogener Kalkstein, undifferenziert                                     | calcaire biogénique, indifférencié                             |
| 15102032 | biogenes / biochemisches / organisches Sedimentgestein, undifferenziert | roche sédim. biogène / biochimique / organique, indifférenciée |
| 15102106 | bioklastischer Kalk   | calcaire bioclastique  |
| 15104085 | Biotitit  | biotitite  |
| 15101015 | Blockgletscher  | glacier rocheux  |
| 15101010 | Blockschutt   | amas de blocs éboulés  |
| 15102082 | Bohnerz   | pisolite ferrugineuse  |
| 15102087 | Boluston  | argile à bolus   |
| 15102006 | Brekzie   | brèche   |
| 15102093 | Caliche   | caliche  |
| 15102068 | chemisches Sedimentgestein, undifferenziert                             | roche sédimentaire chimique, indifférenciée                    |
| 15104089 | Chloritit   | chloritite   |

| GeolCode | Deutsch  | Français  |
|----------|--|---|
| 15104034 | Chloritschiefer  | chloritoschiste   |
| 15103043 | Dazit  | dacite  |
| 15101072 | Deponie  | décharge  |
| 15101049 | detritische Verlandungsbildung                                 | dépôts d'atterrissement détritiques                           |
| 15102046 | detritischer Kalk  | calcaire détritique   |
| 15104079 | Diatexit mit nebulitischer Textur                              | diatexite à structure nébulitique                             |
| 15104080 | Diatexit mit Schlierentextur                                   | diatexite à structure artéritique (Schlieren)                 |
| 15104081 | Diatexit mit Schollentextur                                    | diatexite à enclaves (Schollen)                               |
| 15103011 | Diorit   | diorite   |
| 15103035 | Dolerit  | dolérite  |
| 15102049 | Dolomit  | dolomie   |
| 15102109 | Dolomitbrekzie   | brèche dolomitique  |
| 15104216 | dolomitischer Marmor   | marbre dolomitique  |
| 15102012 | Dolomitsandstein   | grès dolomitique  |
| 15101075 | dünne Lockermaterialbedeckung                                  | couverture meuble pelliculaire                                |
| 15102100 | Echinodermenkalk   | calcaire échinodermique                                       |
| 15102061 | Eisenoolith  | oolite ferrugineuse   |
| 15102103 | Eisensandstein   | grès ferrugineux  |
| 15102108 | eisenschüssiger Kalk   | calcaire ferrugineux  |
| 15104064 | Eklogit  | éclogite  |
| 15101086 | Entwässerungssediment  | sédiment formé par échappement d'eau                          |
| 15103039 | Ergussgestein, undifferenziert                                 | roche effusive, indifférenciée                                |
| 15103023 | Essexit  | essexite  |
| 15102070 | Evaporit, undifferenziert                                      | évaporite, indifférenciée                                     |
| 15103037 | Extrusivgestein, undifferenziert                               | roche extrusive, indifférenciée                               |
| 15104053 | Fels, undifferenziert  | roche à texture granoblastique, indifférenciée                |
| 15101007 | Felssturzablagerung  | dépôt d'éboulement  |
| 15101040 | fluviatiler Schotter   | graviers fluviaux   |
| 15101026 | fluviatiles Sediment, undifferenziert                          | sédiments fluviaux, indifférenciés                            |
| 15102017 | Flyschsandstein, Grauwacke                                     | grès du flysch, grauwacke                                     |
| 15103015 | Gabbro   | gabbro  |
| 15103026 | Ganggestein, undifferenziert                                   | roche filonienne, indifférenciée                              |
| 15101035 | gemischter Schutt  | dépôts mixtes   |
| 15101076 | geringmächtige Lockergesteinsbedeckung                         | couverture de roches meubles peu épaisse                      |
| 15104210 | Geröll führender Metasandstein                                 | métagrès à galets   |
| 15102018 | Geröll führender Sandstein                                     | grès à galets   |
| 15104027 | Gestein der Regional- und Kontaktmetamorphose, undifferenziert | roche du métamorphisme régional et du contact, indifférenciée |
| 15104002 | Gestein der Störungszone                                       | roche liée à une zone de déformation                          |
| 15104003 | Gestein der Störungszone, undifferenziert                      | roche liée à une zone de déformation, indifférenciée          |
| 15104006 | Gesteinsmehl   | roche pulvérisée  |
| 15102072 | Gips   | gypse   |
| 15102101 | glaukonitischer Kalkstein                                      | calcaire glauconieux  |
| 15102104 | glaukonitischer Mergel   | marne glauconieuse  |
| 15102020 | Glaukonitsandstein   | grès glauconieux  |
| 15104036 | Glaukophanschiefer   | schiste à glaucophane   |
| 15101031 | glazifluviatiler Schotter                                      | graviers fluvioglaciaux                                       |

| GeolCode | Deutsch   | Français   |
|----------|---|--|
| 15101028 | glazifluviatiles Sediment, undifferenziert                        | sédiments fluvioglaciaires, indifférenciés         |
| 15101019 | glazigenes Sediment, undifferenziert                              | sédiments glaciaires, indifférenciés               |
| 15101047 | glazilakustrisches Deltasediment                                  | dépôts deltaïques glaciolacustres                  |
| 15101046 | glazilakustrisches Sediment, undifferenziert                      | dépôts glaciolacustres, indifférenciés             |
| 15102019 | Glimmersandstein  | grès micacé  |
| 15104035 | Glimmerschiefer   | micaschiste  |
| 15104072 | Gneis mit Feldspatblasten   | gneiss à blastes de feldspath                      |
| 15104041 | Gneis, undifferenziert  | gneiss, indifférencié                              |
| 15104097 | Granat-Glimmerschiefer  | micaschiste à grenat                               |
| 15103007 | Granit  | granite  |
| 15103008 | Granodiorit   | granodiorite                                       |
| 15103024 | Granophyr   | granophyre   |
| 15104058 | Granulit  | granulite  |
| 15101003 | gravitative Sedimente und Verwitterungsbildungen, undifferenziert | dépôts gravitaires et d'altération, indifférenciés |
| 15104071 | Greisen   | greisen  |
| 15104098 | Grünschiefer  | schiste vert                                       |
| 15101079 | Gyttja  | gyttja   |
| 15101073 | Halde   | terril   |
| 15101014 | Hanglehm, Schwemmlehm   | limons de pente, colluvions                        |
| 15101009 | Hangschutt  | éboulis  |
| 15104086 | Hornblendit   | hornblendite                                       |
| 15104067 | Hornfels  | hornfels   |
| 15102054 | Hornstein, Chert  | chaille, chert                                     |
| 15102088 | Huppererde  | hupper   |
| 15101081 | hydrochemische Bildungen (Kalksinter)                             | dépôts hydrochimiques                              |
| 15103054 | Ignimbrit   | ignimbrite   |
| 15101083 | In-situ-Verwitterungsschutt                                       | dépôt d'altération in situ                         |
| 15103003 | Intrusivgestein, undifferenziert                                  | roche intrusive, indifférenciée                    |
| 15104005 | Kakirit, undifferenziert  | kakirite, indifférenciée                           |
| 15102041 | Kalkbrekzie   | calcaire bréchique                                 |
| 15102029 | Kalkmergelstein   | marne calcaire                                     |
| 15102042 | Kalkoolith  | calcaire oolitique                                 |
| 15102011 | Kalksandstein   | grès calcaire                                      |
| 15104037 | Kalkschiefer  | calcschiste  |
| 15104054 | Kalksilikatfels   | roche à calcsilicates                              |
| 15102034 | Kalkstein, undifferenziert  | calcaire, indifférencié                            |
| 15104056 | Karbonat- und Silikat führendes Gestein                           | roche à carbonates et silicates                    |
| 15102075 | Karbonat, undifferenziert   | roche carbonatée, indifférenciée                   |
| 15103051 | Karbonatit  | carbonatite  |
| 15104010 | Kataklasit, undifferenziert                                       | cataclasite, indifférenciée                        |
| 15102013 | kieseliger Sandstein  | grès siliceux                                      |
| 15102051 | kieseliges Gestein, undifferenziert                               | sédiment siliceux, indifférencié                   |
| 15102035 | Kieselkalk  | calcaire siliceux                                  |
| 15104051 | Kinzigit  | kinzigite  |
| 15102003 | klastisches Sedimentgestein, undifferenziert                      | roche sédimentaire clastique, indifférenciée       |
| 15104007 | Kluftletten   | argile de faille                                   |

| GeolCode | Deutsch   | Français  |
|----------|---|---|
| 15102056 | Kohle, undifferenziert  | charbon, indifférencié  |
| 15102007 | Konglomerat   | poudingue   |
| 15102005 | Konglomerat und Brekzie,<br>undifferenziert (Psephit, Korngrösse:<br>Kies, Steine und Blöcke) | conglomérat et brèche,<br>indifférencié (psephite: classe des<br>graviers, cailloux et blocs) |
| 15102105 | kreidiger Kalk  | calcaire crayeux  |
| 15103057 | Kristalltuff  | tuff à cristaux   |
| 15102094 | Krustenkalk   | calcrète  |
| 15101069 | künstliche Ablagerung,<br>undifferenziert   | dépôts artificiels, indifférenciés  |
| 15101057 | lakustrisches Deltasediment   | dépôts deltaïques lacustres   |
| 15101044 | lakustrisches Sediment,<br>undifferenziert  | sédiments lacustres, indifférenciés   |
| 15103033 | Lamprophyr  | lamprophyre   |
| 15103056 | Lapillituff   | lapilli   |
| 15101008 | Lawinenschutt   | dépôts d'avalanche  |
| 15104047 | Leptinit  | leptynite   |
| 15102057 | Lignit (organisches<br>Sedimentgestein)   | lignite (roche sédimentaire<br>organique)   |
| 15101054 | Lignit (palustrisches Sediment)   | lignite (sédiment palustre)   |
| 15102102 | Lithothamnien sandstein   | grès à lithothamnies  |
| 15101001 | Lockergestein   | roche meuble  |
| 15101063 | Löss, Lösslehm  | loess, loess argileux   |
| 15103001 | Magmatit  | roche magmatique  |
| 15104055 | Marmor (Fels)   | marbre (texture granoblastique)   |
| 15104215 | Marmor (sedimentärer Protolith)   | marbre (protolithe sédimentaire)  |
| 15102014 | mergeliger Sandstein  | grès marneux  |
| 15102107 | Mergelkalk  | calcaire marneux  |
| 15102027 | Mergelstein   | marne   |
| 15104433 | Metaalkalirhyolith  | métarhyolite alcaline   |
| 15104411 | Metaalkalisyenit  | métasyénite alcaline  |
| 15104439 | Metaalkalitrachyt   | métatrachite alcaline   |
| 15104404 | Metaalkalogranit  | métagranite alcalin   |
| 15104438 | Metaandesit   | méta-andésite   |
| 15104427 | Metaaplit   | méta-aplite   |
| 15104208 | Metaarkose  | méta-arkose   |
| 15104441 | Metabasalt  | métabasalte   |
| 15104203 | Metabrekzie   | métabrèche  |
| 15104436 | Metadazit   | métadacite  |
| 15104409 | Metadiorit  | métadiorite   |
| 15104432 | Metadolerit   | métadolérite  |
| 15104421 | Metaessexit   | méta-essexite   |
| 15104413 | Metagabbro  | métagabbro  |
| 15104423 | Metaganggestein   | métaroche filonienne  |
| 15104405 | Metagranit  | métagranite   |
| 15104406 | Metagranodiorit   | métagranodiorite  |
| 15104422 | Metagranophyr   | métagranophyre  |
| 15104209 | Metagrauwacke   | métagrauwacke   |
| 15104445 | Metaignimbrit   | méta-ignimbrite   |
| 15104218 | Metakarbonat  | métaroche carbonatée  |
| 15104204 | Metakonglomerat   | métapoudingue   |
| 15104430 | Metalamprophyr  | métalamprophyre   |
| 15104401 | Metamagmatit  | métamagmatite   |
| 15104214 | Metamergel  | métamarne   |

| GeolCode | Deutsch   | Français  |
|----------|---|---|
| 15104428 | Metamikrodiorit                                   | métamicrodiorite  |
| 15104429 | Metamikrogabbro                                   | métamicrogabbro   |
| 15104424 | Metamikrogranit                                   | métamicrogranite  |
| 15104415 | Metamonzodiorit                                   | métamonzodiorite  |
| 15104416 | Metamonzogabbro                                   | métamonzogabbro   |
| 15104417 | Metamonzonit                                      | métamonzonite   |
| 15104402 | metamorph überprägtes<br>Intrusivgestein          | métaroché intrusive   |
| 15104444 | metamorph überprägtes<br>pyroklastisches Gestein  | métaroché pyroclastique   |
| 15104001 | Metamorphit                                       | roche métamorphique   |
| 15104095 | Metamorphit (magmatischer<br>Protolith erkennbar) | roche métamorphique (protolithe<br>magmatique reconnaissable)   |
| 15104092 | Metamorphit (Protolith erkennbar)                 | roche métamorphique (protolithe<br>reconnaissable)              |
| 15104093 | Metamorphit (sedimentärer<br>Protolith erkennbar) | roche métamorphique (protolithe<br>sédimentaire reconnaissable) |
| 15104414 | Metanorit   | métanorite  |
| 15104426 | Metapegmatit                                      | métapegmatite   |
| 15104211 | Metapelit   | métapélite  |
| 15104419 | Metaperidotit                                     | métapéridotite  |
| 15104443 | Metaphonolit                                      | métaphonolite   |
| 15104431 | Metapikrit  | métapicrite   |
| 15104403 | Metaplutonit                                      | métaroché plutonique  |
| 15104207 | Metapsammit                                       | méta-arénite  |
| 15104202 | Metapsephit                                       | métaconglomérat   |
| 15104418 | Metapyroxenit                                     | métapyroxénite  |
| 15104437 | Metaquarzandesit                                  | méta-andésite quartzique  |
| 15104407 | Metaquarzdiort                                    | métadiorite quartzique  |
| 15104412 | Metaquarzgabbro                                   | métagabbro quartzique   |
| 15104217 | Metaradiolarit                                    | métaradiolarite   |
| 15104435 | Metarhyodazit                                     | métarhyodacite  |
| 15104434 | Metarhyolith                                      | métarhyolite  |
| 15104205 | Metasandstein                                     | métagrès  |
| 15104201 | Metasediment                                      | métasediment  |
| 15104212 | Metasiltstein                                     | métasiltite   |
| 15104069 | Metasomatit, undifferenziert                      | métasomatite, indifférenciée                                    |
| 15104410 | Metasyenit  | métasyénite   |
| 15104076 | Metatexit mit Fleckentextur                       | métatexite à structure tachetée                                 |
| 15104078 | Metatexit mit Netztextur                          | métatexite à structure réticulée                                |
| 15104077 | Metatexit mit stromatitischer Textur              | métatexite à structure<br>stromatitique                         |
| 15104408 | Metatonalit                                       | métatonalite  |
| 15104440 | Metatrachyt                                       | métatrachite  |
| 15104446 | Metavulkanit                                      | métavulcanite   |
| 15104075 | Migmatit  | migmatite   |
| 15102037 | Mikrit  | calcaire micritique   |
| 15103031 | Mikrodiorit                                       | microdiorite  |
| 15103032 | Mikrogabbro                                       | microgabbro   |
| 15103027 | Mikrogranit                                       | microgranite  |
| 15104084 | monomineralischer Metamorphit,<br>undifferenziert | roche métamorphique<br>monominérale, indifférenciée             |
| 15103017 | Monzodiorit                                       | monzodiorite  |
| 15103018 | Monzogabbro                                       | monzogabbro   |

| GeolCode | Deutsch   | Français   |
|----------|---|--|
| 15103019 | Monzonit  | monzonite  |
| 15101021 | Moräne (Till), undifferenziert  | moraine (till), indifférenciée   |
| 15101024 | Moräne auf Gletscher oder Toteis<br>(Glacier or Dead Ice covered by Till)                   | moraine sur glacier ou glace morte<br>(glacier or dead ice covered by till)      |
| 15101037 | Murgangablagerung   | dépôts de laves torrentielles  |
| 15102022 | Muschelsandstein  | grès coquillier  |
| 15104020 | Mylonit   | (méso)mylonite   |
| 15104018 | Mylonit, undifferenziert  | mylonite, indifférenciée   |
| 15104420 | nephelinitischer Metasyenit   | métasyénite néphélinique   |
| 15103022 | nephelinitischer Syenit   | syénite néphélinique   |
| 15103016 | Norit   | norite   |
| 15102043 | Nummulitenkalk  | calcaire à nummulites  |
| 15102021 | Nummulitensandstein   | grès à nummulites  |
| 15104099 | Ophikalzit  | ophicalcite  |
| 15104049 | Orthogneis  | orthogneiss  |
| 15101050 | palustrisches Sediment  | sédiments palustres  |
| 15101051 | palustrisches Sediment,<br>undifferenziert  | sédiments palustres, indifférenciés  |
| 15104048 | Paragneis   | paragneiss   |
| 15102092 | pedogenes Karbonat,<br>undifferenziert  | roche carbonatée pédogénétique,<br>indifférenciée                                |
| 15103029 | Pegmatit  | pegmatite  |
| 15102024 | Pelit, undifferenziert  | pélite, indifférenciée   |
| 15103021 | Peridotit (Intrusivgestein)   | péridotite (roche intrusive)   |
| 15104065 | Peridotit (Metamorphit)   | péridotite (roche métamorphique)   |
| 15103050 | Phonolith   | phonolite  |
| 15102065 | phosphoritreicher Kalkstein   | calcaire phosphaté   |
| 15102066 | phosphoritreicher Mergelstein   | marne phosphatée   |
| 15102064 | phosphoritreicher Sandstein   | grès phosphaté   |
| 15102063 | phosphoritreiches Gestein,<br>undifferenziert   | roche phosphatée, indifférenciée   |
| 15104029 | Phyllit   | phyllite   |
| 15104023 | Phyllonit   | phyllonite   |
| 15103049 | Pikrit (Effusiva)   | picrite (roche effusive)   |
| 15103034 | Pikrit (Intrusivgestein)  | picrite (roche intrusive)  |
| 15101013 | Plateaulehm   | limons de plateau, éluvions  |
| 15104038 | Prasinit  | prasinite  |
| 15104014 | Protokataklasit   | protocataclasite   |
| 15104019 | Protomylonit  | protomylonite  |
| 15104025 | Pseudotachylit  | pseudotachylite  |
| 15103055 | Pyroklastische Brekzie  | brèche pyroclastique   |
| 15103053 | pyroklastisches Gestein,<br>undifferenziert (vulkanischer Tuff, ><br>75 % pyroklast. Komp.) | roche pyroclastique, indifférenciée<br>(tuf volcanique, > 75 % comp.<br>pyrocl.) |
| 15103020 | Pyroxenit (Intrusivgestein)   | pyroxénite (roche intrusive)   |
| 15104088 | Pyroxenit (monomineralischer<br>Metamorphit)  | pyroxénite (roche métamorphique<br>monominérale)                                 |
| 15103044 | Quarzandesit  | andésite quartzique  |
| 15103009 | Quarzdiorit   | diorite quartzique   |
| 15103014 | Quarzgabbro   | gabbro quartzique  |
| 15104091 | Quarzit (monomineralischer<br>Metamorphit)  | quartzite (roche métamorphique<br>monominérale)                                  |
| 15104206 | Quarzit (sedimentärer Protolith)  | quartzite (protolithe sédimentaire)  |
| 15102089 | Quarzsand   | sable quartzitique   |

| GeolCode | Deutsch  | Français   |
|----------|--|--|
| 15102010 | Quarzsandstein   | grès quartzitique  |
| 15104096 | Quarzschiefer  | quartzschiste  |
| 15101080 | Quelltuff (Kalksinter, Lockergestein)                          | tuf calcaire (dépôt non consolidé)                                     |
| 15102077 | Quelltuff (Kalksinter, Sedimentgestein)                        | tuf calcaire (roche sédimentaire)                                      |
| 15102052 | Radiolarit   | radiolarite  |
| 15101030 | randglazialer Schotter   | graviers de bordure glaciaire  |
| 15104011 | Rauwacke (Kataklasit)  | rauwacke (roche cataclastique)   |
| 15102076 | Rauwacke (Sedimentgestein)                                     | rauwacke (roche sédimentaire)  |
| 15102080 | Residualgestein / pedogen überprägtes Gestein, undifferenziert | roche résiduelle / roche sédim. transf. par pédogenèse, indifférenciée |
| 15103042 | Rhyodazit  | rhyodacite   |
| 15103041 | Rhyolith   | rhyolite   |
| 15103028 | Rhyolithporphyr  | porphyre rhyolitique   |
| 15102040 | Riffkalk   | calcaire récifal   |
| 15104059 | Rodingit   | rodingite  |
| 15101033 | Rückzugsschotter   | graviers de retrait  |
| 15102039 | Rudit  | calcirudite  |
| 15101017 | Rutschmasse  | masse glissée  |
| 15102009 | Sandstein, undifferenziert (Psammit: Sandkorngrösse)           | grès, indifférencié (psammite: classe des sables)                      |
| 15103067 | saures Ganggestein   | roche filonienne acide   |
| 15104031 | Schiefer, undifferenziert                                      | schiste, indifférencié   |
| 15102030 | Schlammstein   | mudstone   |
| 15104062 | Schollenamphibolit   | amphibolite à blocs  |
| 15101087 | Sedimentärer Gang (clastic dike)                               | filon sédimentaire   |
| 15102001 | Sedimentgestein  | roche sédimentaire   |
| 15101058 | Seebodensediment   | sédiments de fond lacustre   |
| 15101059 | Seekreide  | craie lacustre   |
| 15104033 | Serizitschiefer  | séricitoschiste  |
| 15104090 | Serpentinit  | serpentinite   |
| 15102084 | siderolithische Verwitterungsbildungen                         | sédiment d'altération sidérolithique                                   |
| 15102090 | Silcrete   | silcrète   |
| 15104057 | silikatreicher Marmor  | cipolin  |
| 15102086 | silikatreiches Gestein, undifferenziert                        | roche silicatée, indifférenciée  |
| 15102025 | Siltstein  | siltite  |
| 15104070 | Skarn  | skarn  |
| 15102036 | Spatkalk   | calcaire spathique   |
| 15102053 | Spiculit   | spiculite  |
| 15101034 | Stauschotter   | graviers de retenue  |
| 15102058 | Steinkohle   | houille  |
| 15102073 | Steinsalz  | sel  |
| 15101056 | Strandablagerungen   | dépôts de terrasses lacustres  |
| 15104050 | Stronalit  | stronalite   |
| 15101084 | strukturierter Hangschutt                                      | éboulis structuré  |
| 15101005 | Sturzablagerung, undifferenziert                               | dépôts d'écroulement, d'éboulement, indifférenciés                     |
| 15101048 | subaquatisch abgelagerte Moräne (Waterlaid Till)               | moraine aquatique (waterlaid till)                                     |
| 15101052 | Sumpf  | dépôts paludéens   |
| 15102047 | Süßwasserkalk  | calcaire d'eau douce   |

| GeolCode | Deutsch  | Français   |
|----------|--|--|
| 15103012 | Syenit   | syénite  |
| 15104039 | Talkschiefer   | talcschiste  |
| 15104008 | tektonische Brekzie (kohäsionslos)   | brèche de faille   |
| 15104013 | tektonische Brekzie (mit Kohäsion)   | brèche tectonique  |
| 15104012 | tektonische Dolomitbrekzie   | brèche tectonique dolomitique  |
| 15104448 | tektonische Kalkbrekzie  | brèche tectonique calcaire   |
| 15103005 | Tiefengestein, undifferenziert   | roche plutonique, indifférenciée   |
| 15101078 | tiefgründige Verwitterungsdecke  | sol d'altération profonde  |
| 15103010 | Tonalit  | tonalite   |
| 15102015 | toniger Sandstein  | grès argileux  |
| 15102028 | Tonmergelstein   | marne argileuse  |
| 15104032 | Tonschiefer (Schiefer)   | ardoise, schiste ardoisier   |
| 15104213 | Tonschiefer (sedimentärer Protolith)   | méta-argilite (protolithe sédimentaire)                                    |
| 15102026 | Tonstein   | argilite   |
| 15101053 | Torfmoor, Torf   | dépôts de tourbière, tourbe  |
| 15103047 | Trachyt  | trachite   |
| 15101082 | Travertin (Kalksinter, Lockergestein)  | travertin (dépôt non consolidé)  |
| 15102078 | Travertin (Kalksinter, Sedimentgestein)  | travertin (roche sédimentaire)   |
| 15101085 | Tsunamiablagerung  | dépôt de tsunami   |
| 15103060 | Tuffit, undifferenziert (pyroklast. und nicht vulk. Sedimente, 75-25 % pyroklast. Komp.) | roche volcano-sédimentaire, indifférenciée (tuffite 75-25 % comp. pyrocl.) |
| 15103061 | tuffitische Brekzie  | brèche tuffitique  |
| 15103063 | tuffitischer Sandstein   | grès tuffitique  |
| 15103064 | tuffitischer Siltstein   | siltite tuffitique   |
| 15103065 | tuffitischer Tonstein  | argilite tuffitique  |
| 15103062 | tuffitisches Konglomerat   | poudingue tuffitique   |
| 15101042 | Überschwemmungssediment  | dépôts d'inondation  |
| 15103070 | Ultrabasisches Gestein   | roche ultrabasique   |
| 15104016 | Ultrakataklasit  | ultracataclasite   |
| 15104447 | ultramafisches Gestein   | roche ultramafique   |
| 15104021 | Ultramylonit   | ultramylonite  |
| 15101012 | Verwitterungslehm, undifferenziert   | limons d'altération, indifférenciés  |
| 15101032 | Vorstossschotter   | graviers de progression  |
| 15101065 | vulkanische Asche  | cendres volcaniques  |
| 15101016 | zerrüttete Sackungsmasse   | masse de roche tassée et disloquée   |
| 15104045 | Zweiglimmergneis   | gneiss à deux micas  |
| 999997   | Unknown  | inconnu  |
| 999998   | Not applicable   | not applicable   |

## 12 Annexe GC\_LITHO\_UNCO\_CD

Tables des valeurs de la description lithologique (roches meubles)

| GeolCode | Deutsch                                | Français                              |
|----------|--|---------------------------------------|
| 15101039 | Alluvion, undifferenziert              | alluvions, indifférenciés             |
| 15101067 | anthropogene Elemente, undifferenziert | éléments anthropiques, indifférenciés |
| 15101062 | äolischer Sand, Flugsand               | sable éolien                          |
| 15101061 | äolisches Sediment, undifferenziert    | sédiments éoliens, indifférenciés     |



| GeolCode | Deutsch  | Français   |
|----------|--|--|
| 15101071 | Auffüllung   | comblement   |
| 15101070 | Aufschüttung, Damm   | remblai, digue   |
| 15101041 | Bachscht   | dépôts torrentiels   |
| 15101006 | Bergsturzablagerung  | dépôt d'écroulement  |
| 15101015 | Blockgletscher   | glacier rocheux  |
| 15101010 | Blockschutt  | amas de blocs éboulés  |
| 15101072 | Deponie  | décharge   |
| 15101049 | detritische Verlandungsbildung   | dépôts d'atterrissement détritiques                                      |
| 15101075 | dünne Lockermaterialbedeckung  | couverture meuble pelliculaire   |
| 15101086 | Entwässerungssediment  | sédiment formé par échappement d'eau                                     |
| 15101007 | Felssturzablagerung  | dépôt d'éboulement   |
| 15101040 | fluviatiler Schotter   | graviers fluviaux  |
| 15101026 | fluviatiles Sediment, undifferenziert                                  | sédiments fluviaux, indifférenciés                                       |
| 15101035 | gemischter Schutt  | dépôts mixtes  |
| 15101076 | geringmächtige Lockergesteinsbedeckung                                 | couverture de roches meubles peu épaisse                                 |
| 15101031 | glazifluviatiler Schotter  | graviers fluvioglaciaires  |
| 15101028 | glazifluviatiles Sediment, undifferenziert                             | sédiments fluvioglaciaires, indifférenciés                               |
| 15101019 | glazigenes Sediment, undifferenziert                                   | sédiments glaciaires, indifférenciés                                     |
| 15101047 | glazilakustrisches Deltasediment                                       | dépôts deltaïques glaciolacustres  |
| 15101046 | glazilakustrisches Sediment, undifferenziert                           | dépôts glaciolacustres, indifférenciés                                   |
| 15101003 | gravitative Sedimente und Verwitterungsbildungen, undifferenziert      | dépôts gravitaires et d'altération, indifférenciés                       |
| 15101079 | Gyttja   | gyttja   |
| 15101073 | Halde  | terril   |
| 15101014 | Hanglehm, Schwemmlehm  | limons de pente, colluvions  |
| 15101009 | Hangschutt   | éboulis  |
| 15101081 | hydrochemische Bildungen (Kalksinter)                                  | dépôts hydrochimiques  |
| 15101083 | In-situ-Verwitterungsschutt  | dépôt d'altération in situ   |
| 15101069 | künstliche Ablagerung, undifferenziert                                 | dépôts artificiels, indifférenciés                                       |
| 15101057 | lakustrisches Deltasediment  | dépôts deltaïques lacustres  |
| 15101044 | lakustrisches Sediment, undifferenziert                                | sédiments lacustres, indifférenciés                                      |
| 15101008 | Lawinenschutt  | dépôts d'avalanche   |
| 15101054 | Lignit (palustrisches Sediment)  | lignite (sédiment palustre)  |
| 15101001 | Lockergestein  | roche meuble   |
| 15101063 | Löss, Lösslehm   | loess, loess argileux  |
| 15101021 | Moräne (Till), undifferenziert   | moraine (till), indifférenciée   |
| 15101024 | Moräne auf Gletscher oder Toteis (Glacier or Dead Ice covered by Till) | moraine sur glacier ou glace morte (glacier or dead ice covered by till) |
| 15101037 | Murgangablagerung  | dépôts de laves torrentielles  |
| 15101050 | palustrisches Sediment   | sédiments palustres  |
| 15101051 | palustrisches Sediment, undifferenziert                                | sédiments palustres, indifférenciés                                      |
| 15101013 | Plateaulehm  | limons de plateau, éluvions  |
| 15101080 | Quelltuff (Kalksinter, Lockergestein)                                  | tuf calcaire (dépôt non consolidé)                                       |
| 15101030 | randglazialer Schotter   | graviers de bordure glaciaire  |

| GeolCode | Deutsch  | Français   |
|----------|--|--|
| 15101033 | Rückzugsschotter                                 | graviers de retrait                                |
| 15101017 | Rutschmasse                                      | masse glissée                                      |
| 15101087 | Sedimentärer Gang (clastic dike)                 | filon sédimentaire                                 |
| 15101058 | Seebodensediment                                 | sédiments de fond lacustre                         |
| 15101059 | Seekreide  | craie lacustre                                     |
| 15101034 | Stauschotter                                     | graviers de retenue                                |
| 15101056 | Strandablagerungen                               | dépôts de terrasses lacustres                      |
| 15101084 | strukturierter Hangschutt                        | éboulis structuré                                  |
| 15101005 | Sturzablagerung, undifferenziert                 | dépôts d'écroulement, d'éboulement, indifférenciés |
| 15101048 | subaquatisch abgelagerte Moräne (Waterlaid Till) | moraine aquatique (waterlaid till)                 |
| 15101052 | Sumpf  | dépôts paludéens                                   |
| 15101078 | tiefgründige Verwitterungsdecke                  | sol d'altération profonde                          |
| 15101053 | Torfmoor, Torf                                   | dépôts de tourbière, tourbe                        |
| 15101082 | Travertin (Kalksinter, Lockergestein)            | travertin (dépôt non consolidé)                    |
| 15101085 | Tsunamiablagerung                                | dépôt de tsunami                                   |
| 15101042 | Überschwemmungssediment                          | dépôts d'inondation                                |
| 15101012 | Verwitterungslehm, undifferenziert               | limons d'altération, indifférenciés                |
| 15101032 | Vorstossschotter                                 | graviers de progression                            |
| 15101065 | vulkanische Asche                                | cendres volcaniques                                |
| 15101016 | zerrüttete Sackungsmasse                         | masse de roche tassée et disloquée                 |
| 999997   | Unknown  | inconnu  |
| 999998   | Not applicable                                   | not applicable                                     |

## 13 Annexe GC\_CHRONO\_CD

Table des valeurs des unités chronostratigraphiques

| GeolCode | Deutsch       | Français      |
|----------|---------------|---------------|
| 15001074 | Aalénien      | Aalénien      |
| 15001059 | Albien        | Albien        |
| 15001087 | Anisien       | Anisien       |
| 15001060 | Aptien        | Aptien        |
| 15001028 | Aquitanién    | Aquitanién    |
| 15001153 | Archaikum     | Archaikum     |
| 15001113 | Artinskien    | Artinskien    |
| 15001117 | Assélien      | Assélien      |
| 15001073 | Bajocien      | Bajocien      |
| 15001061 | Barrémien     | Barrémien     |
| 15001041 | Bartonien     | Bartonien     |
| 15001140 | Bashkirien    | Bashkirien    |
| 15001072 | Bathonien     | Bathonien     |
| 15001064 | Berriasien    | Berriasien    |
| 15001025 | Burdigalien   | Burdigalien   |
| 15001010 | Calabrien     | Calabrien     |
| 15001071 | Callovien     | Callovien     |
| 15001053 | Campanien     | Campanien     |
| 15001102 | Capitanien    | Capitanien    |
| 15001084 | Carnien       | Carnien       |
| 15001057 | Cénomanién    | Cénomanién    |
| 15001096 | Changhsingien | Changhsingien |

| GeolCode | Deutsch                 | Français              |
|----------|-------------------------|-----------------------|
| 15001031 | Chattien                | Chattien              |
| 15001151 | Chibanien               | Chibanien             |
| 15001110 | Cisuralien              | Cisuralien            |
| 15001055 | Coniacien               | Coniacien             |
| 15001048 | Danien                  | Danien                |
| 15001128 | Devon                   | Dévonien              |
| 15001035 | Eozän                   | Eocène                |
| 15001058 | Frühe Kreide            | Crétacé précoce       |
| 15001088 | Frühe Trias             | Trias précoce         |
| 15001075 | Früher Jura             | Jurassique précoce    |
| 15001027 | frühes Burdigalien      | Burdigalien précoce   |
| 15001033 | frühes Chattien         | Chattien précoce      |
| 15001129 | Frühes Devon            | Dévonien tardif       |
| 15001043 | Frühes Eozän            | Eocène précoce        |
| 15001024 | Frühes Miozän           | Miocène précoce       |
| 15001127 | Frühes Mississippien    | Mississippien précoce |
| 15001150 | Frühes Ordovizium       | Frühes Ordovizium     |
| 15001123 | Frühes Pennsylvanien    | Pennsylvanien précoce |
| 15001009 | Frühes Pleistozän       | Pléistocène précoce   |
| 15001039 | frühes Priabonien       | Priabonien précoce    |
| 15001011 | Gélasien                | Gélasien              |
| 15001101 | Guadalupien             | Guadalupien           |
| 15001137 | Gzhélien                | Gzhélien              |
| 15001062 | Hauterivien             | Hauterivien           |
| 15001079 | Hettangien              | Hettangien            |
| 15001004 | Holozän                 | Holocène              |
| 15001090 | Indusien                | Indusien              |
| 15001065 | Jura                    | Jurassique            |
| 15001135 | Kambrium                | Cambrien              |
| 15001002 | Känozoikum              | Cénozoïque            |
| 15001119 | Karbon                  | Carbonifère           |
| 15001138 | Kasimovien              | Kasimovien            |
| 15001068 | Kimméridgien            | Kimméridgien          |
| 15001050 | Kreide                  | Crétacé               |
| 15001111 | Kungurien               | Kungurien             |
| 15001086 | Ladinien                | Ladinien              |
| 15001023 | Langhien                | Langhien              |
| 15001147 | Llandovery              | Llandoveryien         |
| 15001095 | Lopingien               | Lopingien             |
| 15001145 | Ludlow                  | Ludlowien             |
| 15001042 | Lutétien                | Lutétien              |
| 15001052 | Maastrichtien           | Maastrichtien         |
| 15001049 | Mesozoikum              | Mésozoïque            |
| 15001019 | Messinien               | Messinien             |
| 15001017 | Miozän                  | Miocène               |
| 15001124 | Mississippien           | Mississippien         |
| 15001085 | Mittlere Trias          | Trias moyen           |
| 15001070 | Mittlerer Jura          | Jurassique moyen      |
| 15001130 | Mittleres Devon         | Dévonien moyen        |
| 15001040 | Mittleres Eozän         | Eocène moyen          |
| 15001021 | Mittleres Miozän        | Miocène moyen         |
| 15001126 | Mittleres Mississippien | Mississippien moyen   |
| 15001149 | Mittleres Ordovizium    | Mittleres Ordovizium  |
| 15001122 | Mittleres Pennsylvanien | Pennsylvanien moyen   |

| GeolCode | Deutsch              | Français                       |
|----------|----------------------|--------------------------------|
| 15001007 | Mittleres Pleistozän | Pléistocène moyen              |
| 15001139 | Moscovien            | Moscovien                      |
| 15001013 | Neogen               | Néogène                        |
| 15001083 | Norien               | Norien                         |
| 15001089 | Olénékien            | Olénékien                      |
| 15001030 | Oligozän             | Oligocène                      |
| 15001134 | Ordovizium           | Ordovicien                     |
| 15001069 | Oxfordien            | Oxfordien                      |
| 15001029 | Paläogen             | Paléogène                      |
| 15001091 | Paläozoikum          | Paléozoïque                    |
| 15001045 | Paleozän             | Paléocène                      |
| 15001120 | Pennsylvanien        | Pennsylvanien                  |
| 15001093 | Perm                 | Permien                        |
| 15001001 | Phanerozoikum        | Phanérozoïque                  |
| 15001015 | Plaisancien          | Plaisancien                    |
| 15001005 | Pleistozän           | Pléistocène                    |
| 15001077 | Pliensbachien        | Pliensbachien                  |
| 15001014 | Pliozän              | Pliocène                       |
| 15001152 | Präkambrium          | Präkambrium                    |
| 15001037 | Priabonien           | Priabonien                     |
| 15001144 | Pridoli              | Pridolien                      |
| 15001136 | Proterozoikum        | Protérozoïque                  |
| 15001003 | Quartär              | Quaternaire                    |
| 15001082 | Rhät                 | Rhétien                        |
| 15001108 | Roadien              | Roadien                        |
| 15001034 | Rupélien             | Rupélien                       |
| 15001115 | Sakmarien            | Sakmarien                      |
| 15001054 | Santonien            | Santonien                      |
| 15001047 | Sélandien            | Sélandien                      |
| 15001141 | Serpukhovien         | Serpukhovien                   |
| 15001022 | Serravallien         | Serravallien                   |
| 15001133 | Silur                | Silurien                       |
| 15001078 | Sinémurien           | Sinémurien                     |
| 15001051 | Späte Kreide         | Crétacé tardif                 |
| 15001081 | Späte Trias          | Trias tardif                   |
| 15001066 | Später Jura          | Jurassique tardif              |
| 15001026 | spätes Burdigalien   | Burdigalien tardif             |
| 15001032 | spätes Chattien      | Chattien tardif                |
| 15001131 | Spätes Devon         | Dévonien tardif                |
| 15001036 | Spätes Eozän         | Eocène tardif                  |
| 15001018 | Spätes Miozän        | Miocène tardif                 |
| 15001125 | Spätes Mississippien | Mississippien tardif           |
| 15001148 | Spätes Ordovizium    | Spätes Ordovizium              |
| 15001121 | Spätes Pennsylvanien | Pennsylvanien tardif           |
| 15001006 | Spätes Pleistozän    | Pléistocène tardif             |
| 15001038 | spätes Priabonien    | Priabonien tardif / Latdorfien |
| 15001012 | Tertiär              | Tertiaire                      |
| 15001046 | Thanétien            | Thanétien                      |
| 15001067 | Tithonien            | Tithonien                      |
| 15001076 | Toarcien             | Toarcien                       |
| 15001020 | Tortonien            | Tortonien                      |
| 15001143 | Tournaisien          | Tournaisien                    |
| 15001080 | Trias                | Trias                          |
| 15001056 | Turonien             | Turonien                       |

| GeolCode | Deutsch        | Français       |
|----------|----------------|----------------|
| 15001063 | Valanginien    | Valanginien    |
| 15001142 | Viséen         | Viséen         |
| 15001146 | Wenlock        | Wenlockien     |
| 15001106 | Wordien        | Wordien        |
| 15001098 | Wuchiapingien  | Wuchiapingien  |
| 15001044 | Yprésien       | Yprésien       |
| 15001016 | Zancléen       | Zancléen       |
| 999997   | Unknown        | inconnu        |
| 999998   | Not applicable | not applicable |

## 14 Annexe GC\_TECTO\_CD

Table des valeurs des unités tectoniques

| GeolCode | Deutsch                          | Français                                |
|----------|----------------------------------|---|
| 15301125 | «Zone Kronberg-Süd»              | zone du Kronberg-Sud                    |
| 15303009 | Aar-Massiv                       | massif de l'Aar                         |
| 15301027 | Abgescherter Tafeljura           | Jura tabulaire cisailé                  |
| 15301001 | Abgeschertes Nordalpines Vorland | Avant-pays nord-alpin décollé           |
| 15307004 | Adamello-Intrusion               | Adamello-Intrusion                      |
| 15304018 | Adula-Decke                      | nappe de l'Adula                        |
| 15303003 | Aiguilles-Rouges-Massiv          | massif des Aiguilles Rouges             |
| 15305007 | Allgäu-Decke                     | Allgäu-Decke                            |
| 15304151 | Antigorio-Decke                  | nappe d'Antigorio                       |
| 15304010 | Antigorio-Deckenkomplex          | complexe de nappes d'Antigorio          |
| 15304092 | Antrona-Decke                    | nappe d'Antrona                         |
| 15303081 | Anzeinde-Decke                   | nappe d'Anzeinde                        |
| 15303017 | Ardon-Decke                      | nappe d'Ardon                           |
| 15304076 | Areua-Bruschghorn-Melange        | mélange de l'Areua-Bruschghorn          |
| 15304130 | Argio-Schuppe                    | écaille d'Argio                         |
| 15308015 | Arolla-Einheit                   | unité d'Arolla                          |
| 15304100 | Arosa-Decke                      | nappe d'Arosa                           |
| 15303075 | Arveyes-Decke                    | nappe d'Arveyes                         |
| 15304158 | Aubrig-Schuppe                   | écaille de l'Aubrig                     |
| 15305053 | Augstenberg-Schuppe              | Augstenberg-Schuppe                     |
| 15304036 | Aul-Decke                        | nappe de l'Aul                          |
| 15302040 | Autochtones Nordalpines Vorland  | Avant-pays nord-alpin autochtone        |
| 15301022 | Avant-Monts-Zone                 | Zone des Avant-monts                    |
| 15304097 | Avers-Decke                      | nappe de l'Avers                        |
| 15303041 | Axen-Decke                       | nappe de l'Axen                         |
| 15303131 | Axen-Nordschuppe                 | Axen-Nordschuppe                        |
| 15303130 | Axen-Südschuppe                  | Axen-Südschuppe                         |
| 15303086 | Bächistock-Schuppe               | écaille du Bächistock                   |
| 15303119 | Bad-Ragaz-Decke                  | Bad-Ragaz-Decke                         |
| 15305043 | Bardella-Padella-Schuppenkomplex | complexe d'écailles de Bardella-Padella |
| 15303002 | Belledonne-Massiv                | massif de Belledonne                    |
| 15301131 | Belmont-Schuppe                  | écaille de Belmont                      |
| 15304082 | Berisal-Decke                    | nappe de Berisal                        |
| 15305029 | Bernina-Decke                    | nappe de la Bernina                     |
| 15305028 | Bernina-Deckenkomplex            | Bernina-Deckenkomplex                   |
| 15303074 | Bex-Laubhorn-Decke               | nappe de Bex-Laubhorn                   |

| GeolCode | Deutsch                                | Français                                  |
|----------|--|---|
| 15303082 | Blattengrat-Decke                      | nappe du Blattengrat                      |
| 15301127 | Blueme-Beichle-Schuppe                 | écaille de la Blueme-Beichle              |
| 15304131 | Bodengo-Schuppe                        | écaille de Bodengo                        |
| 15303109 | Bois-de-Bouleyres-Schuppe              | écaille du Bois de Bouleyres              |
| 15304078 | Bombogno-Zone                          | zone de Bombogno                          |
| 15304026 | Bosco-Zone                             | zone de Bosco                             |
| 15307006 | Bregaglia-Intrusion                    | Intrusion de Bregaglia                    |
| 15304065 | Brekzien-Decke                         | nappe de la Brèche                        |
| 15302046 | Bresse-Graben                          | fossé bressan                             |
| 15303105 | Broc-Schuppenkomplex                   | complexe des écailles de Broc             |
| 15303099 | Bürgenstock-Urmiberg-Schuppe           | Bürgenstock-Urmiberg-Schuppe              |
| 15303091 | Calanda-Decke                          | Calanda-Decke                             |
| 15303145 | Calanda-Decke (Blattengrat-Anteil)     | Nappe du Calanda (partie Blattengrat)     |
| 15303149 | Calanda-Decke (Sardona-Anteil)         | Nappe du Calanda (partie Sardona)         |
| 15303151 | Calanda-Schuppe<br>(Aar-Massiv-Anteil) | Nappe du Calanda (partie massif de l'Aar) |
| 15303102 | Camosci-Decke                          | Camosci-Decke                             |
| 15305019 | Campo-Decke                            | Campo-Decke                               |
| 15304153 | Camughera-Decke                        | nappe de Camughera                        |
| 15306004 | Canavese-Zone                          | Canavese-Zone                             |
| 15305039 | Carungas-Schuppe                       | écaille du Carungas                       |
| 15305060 | Casanna-Schuppe                        | écaille de la Casanna                     |
| 15303027 | Cavistrau-Decke                        | nappe du Cavistrau                        |
| 15303011 | Chaînes-subalpines-Decke               | nappe des Chaînes subalpines              |
| 15303121 | Chamerstock-Schuppe                    | écaille du Chamerstock                    |
| 15301139 | Champotey-Ramsera-Schuppe              | écaille de Champotey-Ramsera              |
| 15305042 | Chastelets-Schuppe                     | écaille du Chastelets                     |
| 15308028 | Chatillon-Schuppe                      | écaille de Chatillon                      |
| 15308026 | Chatillon-St-Vincent-Schuppen          | écailles de Chatillon-St-Vincent          |
| 15304034 | Chiavenna-Decke                        | nappe de Chiavenna                        |
| 15301123 | Chräzerli-Schuppe                      | écaille de Chräzerli                      |
| 15303128 | Chropfsberg-Gaffia-Schuppen            | écailles du Chropfsberg-Gaffia            |
| 15303094 | Chropfsberg-Schuppe                    | Chropfsberg-Schuppe                       |
| 15304017 | Cima-Lunga-Decke                       | nappe de la Cima Lunga                    |
| 15304055 | Cimes-Blanches-Decke                   | nappe des Cimes Blanches                  |
| 15303120 | Clariden-Schuppenkomplex               | complexe des écailles des Clariden        |
| 15304118 | Claro-Schuppe                          | écaille de Claro                          |
| 15305041 | Corvatsch-Schuppe                      | écaille du Corvatsch                      |
| 15301133 | Cully-Schuppe                          | écaille de Cully                          |
| 15304128 | Darlun-Schuppe                         | écaille de Darlun                         |
| 15308014 | Dent-Blanche-Decke                     | nappe de la Dent Blanche                  |
| 15303030 | Diablerets-Decke                       | nappe des Diablerets                      |
| 15303016 | Doldenhorn-Decke                       | nappe du Doldenhorn                       |
| 15305058 | Dorfberg-Decke                         | nappe du Dorfberg                         |
| 15304107 | Dranses-Decke                          | nappe des Dranses                         |
| 15305056 | Drei-Schwestern-Schuppe                | écaille des Drei-Schwestern               |
| 15304148 | Dros-Scholle                           | écaille de Dros                           |
| 15303046 | Drusberg-Decke                         | nappe du Drusberg                         |
| 15301150 | Eichberg-Schuppe                       | écaille de l'Eichberg                     |
| 15303060 | Einsiedeln-Schuppenkomplex             | complexe d'écailles d'Einsiedeln          |
| 15305032 | Ela-Decke                              | Ela-Decke                                 |
| 15305038 | Err-Decke                              | Err-Decke                                 |
| 15305035 | Err-Deckenkomplex                      | Err-Deckenkomplex                         |

| GeolCode | Deutsch                     | Français                       |
|----------|-----------------------------|--------------------------------|
| 15308025 | Etirol-Levaz-Schuppe        | écaille d'Etirol-Levaz         |
| 15303061 | Externe Einsiedeln-Schuppen | écaïlles externes d'Einsiedeln |
| 15301024 | Externer Faltenjura         | Jura plissé externe            |
| 15303112 | Externes Aar-Massiv         | massif de l'Aar externe        |
| 15303141 | Externes Belledonne-Massiv  | massif de Belledonne externe   |
| 15303115 | Externes Mont-Blanc-Massiv  | Externes Mont-Blanc-Massiv     |
| 15301025 | Faisceaux                   | Faisceaux                      |
| 15304066 | Falknis-Decke               | nappe du Falknis               |
| 15304113 | Fanella-Schuppe             | écaille de la Fanella          |
| 15304029 | Ferret-Schuppe              | écaille de Ferret              |
| 15304043 | Feuerstätter-Decke          | nappe de Feuerstätt            |
| 15303127 | Fiseten-Orthalgen-Schuppen  | écaïlles de Fiseten-Orthalgen  |
| 15303071 | Fläscherberg-Decke          | nappe du Fläscherberg          |
| 15304134 | Forcellina-Schuppe          | écaille de la Forcellina       |
| 15304056 | Frilhorn-Decke              | nappe du Frilhorn              |
| 15303138 | Friteren-Schuppe            | écaille de Friteren            |
| 15301126 | Gäbris-Schuppe              | écaille du Gäbris              |
| 15303095 | Gaffia-Schuppe              | Gaffia-Schuppe                 |
| 15304143 | Gälmji-Zone                 | zone de Gälmji                 |
| 15304117 | Gana-Palinger-Schuppe       | écaille de Gana-Palinger       |
| 15304111 | Garzott-Schuppe             | écaille de Garzott             |
| 15303008 | Gastern-Massiv              | massif de Gastern              |
| 15303122 | Geisstritt-Schuppe          | écaille du Geisstritt          |
| 15304070 | Gelbhorn-Decke              | nappe du Gelbhorn              |
| 15303020 | Gellhorn-Decke              | nappe du Gellhorn              |
| 15303124 | Gemsfähen-Schuppe           | écaille du Gemsfähen           |
| 15301137 | Gérignoz-La-Roche-Schuppe   | écaille de Gérignoz-la-Roche   |
| 15304096 | Gets-Decke                  | nappe des Gets                 |
| 15301151 | Giebelegg-Schuppe           | écaille de la Giebelegg        |
| 15303026 | Gitschen-Decke              | nappe du Gitschen              |
| 15303038 | Glarner Deckenkomplex       | complexe de nappes de Glaris   |
| 15304139 | Glegghorn-Schuppe           | écaille du Glegghorn           |
| 15308019 | Gneiss-minuti-Einheit       | «Gneiss minuti»                |
| 15303044 | Gonzen-Walenstadt-Schuppen  | écaïlles du Gonzen-Walenstadt  |
| 15304140 | Gornergrat-Decke            | nappe du Gornergrat            |
| 15305052 | Gorvion-Schuppe             | écaille du Gorvion             |
| 15304147 | Gotschnawang-Scholle        | écaille la Gotschnawang        |
| 15303058 | Gothard-Decke               | nappe du Gothard               |
| 15304138 | Grauspitz-Schuppe           | écaille du Grauspitz           |
| 15304038 | Grava-Decke                 | nappe de Grava                 |
| 15303023 | Griessstock-Decke           | nappe du Griessstock           |
| 15303106 | Gros-Plané-Mélange          | Mélange du Gros Plané          |
| 15304129 | Groven-Schuppe              | écaille de Groven              |
| 15305059 | Grüenhorn-Schuppe           | nappe du Grüenhorn             |
| 15304019 | Gruf-Komplex                | complexe du Gruf               |
| 15308030 | Grun-Schuppe                | écaille de Grun                |
| 15308027 | Grun-Schuppe                | écaille de Grun                |
| 15304006 | Güda-Alpettas-Schuppen      | écaïlles de Güda-Alpettas      |
| 15304103 | Gurnigel-Decke              | nappe du Gurnigel              |
| 15303077 | Habkern-Mélange-Zone        | Zone de mélange de Habkern     |
| 15304145 | Haupterhorn-Scholle         | écaille de l'Haupterhorn       |
| 15302042 | Haute-Saône-Tafel           | plateau de Haute Saône         |
| 15302020 | Hegau-Bodensee-Störungszone | fossé d'Hegau-Bodensee         |
| 15307010 | Hegau-Provinz               | province du Hegau              |

| GeolCode | Deutsch                           | Français                          |
|----------|-----------------------------------|-----------------------------------|
| 15303100 | Helvetikum                        | Helvetikum                        |
| 15305055 | Heubühl-Schuppe                   | écaille du Heubühl                |
| 15301128 | Hilfern-Schuppe                   | écaille d'Hilfern                 |
| 15301148 | Hirschberg-Schuppe                | écaille du Hirschberg             |
| 15303088 | Hoch-Fulen-Decke                  | nappe du Hoch-Fulen               |
| 15303133 | Höch-Turm-Schuppen                | écaille de la Hoch Turm           |
| 15303101 | Hochflue-Schuppe                  | Hochflue-Schuppe                  |
| 15303040 | Hohenems-Decke                    | nappe de Hohenems                 |
| 15301120 | Höhronen-Schuppe                  | écaille de la Höhronen            |
| 15301149 | Hölzliberg-Schuppe                | écaille du Hölzliberg             |
| 15301129 | Hornbüel-Schuppenzone             | zone d'écailles de Hornbüel       |
| 15303104 | Iberg-Melange                     | Iberg-Melange                     |
| 15308018 | Ila Zona Dioritico-Kinzigitica    | Ila Zona Dioritico-Kinzigitica    |
| 15303055 | Ilanz-Decke                       | nappe d'Ilanz                     |
| 15304154 | Infra-Niesen-Melange              | mélange Infra-Niesen              |
| 15304159 | Infrapräalpines Melange           | Mélange infrapréalpin             |
| 15305005 | Inntal-Decke                      | Inntal-Decke                      |
| 15303062 | Interne Einsiedeln-Schuppen       | écailles internes d'Einsiedeln    |
| 15301023 | Interner Faltenjura               | Jura plissé interne               |
| 15303113 | Internes Aar-Massiv               | massif de l'Aar interne           |
| 15303140 | Internes Belledonne-Massiv        | massif de Belledonne interne      |
| 15303116 | Internes Mont-Blanc-Massiv        | Internes Mont-Blanc-Massiv        |
| 15304025 | Isorno-Zone                       | zone de l'Isorno                  |
| 15306002 | Ivrea-Verbano-Zone                | Ivrea-Verbano-Zone                |
| 15303018 | Jägerchrüz-Decke                  | nappe du Jägerchrüz               |
| 15305033 | Julier-Decke                      | Julier-Decke                      |
| 15303129 | Kaminspitz-Schuppe                | nappe du Kaminspitz               |
| 15303025 | Kammlistock-Decke                 | nappe des Kammlistock             |
| 15307009 | Känozoische magmatische Provinzen | provinces magmatiques cénozoïques |
| 15304120 | Kiental-Melange                   | Mélange du Kiental                |
| 15303024 | Klausenpass-Schuppen              | écailles du Klausenpasse          |
| 15304057 | Klippen-Decke                     | nappe des Préalpes médianes       |
| 15304073 | Knorren-Melange                   | Mélange de Knorren                |
| 15305004 | Krabachjoch-Decke                 | Krabachjoch-Decke                 |
| 15301124 | Kronberg-Schuppe                  | écaille du Kronberg               |
| 15301140 | La-Pattaz-La-Holena-Schuppe       | écaille de La-Pattaz-la-Holena    |
| 15303126 | Langfirn-Schuppe                  | écaille du Langfirn               |
| 15305020 | Languard-Decke                    | Languard-Decke                    |
| 15301134 | Lavaux-Schuppe                    | écaille du Lavaux                 |
| 15304011 | Lebendun-Decke                    | nappe de Lebendun                 |
| 15305006 | Lechtal-Decke                     | Lechtal-Decke                     |
| 15304123 | Lenk-Decke                        | nappe de la Lenk                  |
| 15303108 | Les-Pléiades-Schuppe              | écaille des Pléiades              |
| 15304002 | Leventina-Lucomagno-Decke         | nappe de la Léventine-Lukmanier   |
| 15303068 | Liebenstein-Decke                 | Liebenstein-Decke                 |
| 15304133 | Livizung-Schuppe                  | écaille de Livizung               |
| 15303096 | Logsbach-Schuppe                  | Logsbach-Schuppe                  |
| 15301132 | Lutry-Thonon-Schuppe              | écaille de Lutry-Thonon           |
| 15305072 | Madrisa-Schuppe                   | écaille de Madrisa                |
| 15305031 | Madulain-Schuppenkomplex          | zone d'écailles de Madulain       |
| 15304086 | Maggia-Decke                      | nappe de la Maggia                |
| 15303139 | Maisander-Schuppe                 | écaille de Maisander              |
| 15304098 | Malenco-Forno-Lizun-Decke         | nappe du Malenco-Forno-Lizun      |



| GeolCode | Deutsch                                      | Français  |
|----------|--|---|
| 15303155 | Maliens-Schuppe                              | écaille de Maliens                              |
| 15301142 | Marbach-Berneck-Dreieckzone                  | zone triangulaire Marbach-Berneck               |
| 15303144 | Marchegghorn-Schuppe<br>(Blattengrat-Anteil) | écaille du Marchegghorn (partie<br>Blattengrat) |
| 15303147 | Marchegghorn-Schuppe<br>(Sardona-Anteil)     | écaille du Marchegghorn (partie<br>Sardona)     |
| 15308022 | Margna-Decke                                 | nappe de la Margna                              |
| 15304075 | Martegnas-Melange                            | Mélange du Martegnas                            |
| 15303118 | Mättental-Melange                            | Mättental-Melange                               |
| 15304121 | Meilleret-Decke                              | nappe du Meilleret                              |
| 15304132 | Mergoscia-Zone                               | zone de Mergoscia                               |
| 15305030 | Mezzaun-Schuppe                              | écaille du Mezzaun                              |
| 15308021 | Micascisti-eclogitici-Einheit                | «Micascisti eclogitici»                         |
| 15306008 | Milan Belt                                   | Arc milanais                                    |
| 15303092 | Mirutta-Decke                                | Mirutta-Decke                                   |
| 15303152 | Mirutta-Schuppen<br>(Aar-Massiv-Anteil)      | Nappe de Mirutta (partie massif de<br>l'Aar)    |
| 15303146 | Mirutta-Schuppen<br>(Blattengrat-Anteil)     | Nappe de Mirutta (partie<br>Blattengrat)        |
| 15303150 | Mirutta-Schuppen (Sardona-Anteil)            | Nappe de Mirutta (partie Sardona)               |
| 15304049 | Mittelpenninikum                             | Pennique moyen                                  |
| 15304077 | Moncucco-Decke                               | nappe du Moncucco                               |
| 15303007 | Mont-Blanc-Massiv                            | massif du Mont Blanc                            |
| 15303049 | Mont-Chétif-Decke                            | nappe du Mont-Chétif                            |
| 15308009 | Mont-Emilius-Decke                           | nappe du Mont Emilius                           |
| 15304084 | Mont-Fort-Decke                              | nappe du Mont Fort                              |
| 15303033 | Mont-Gond-Decke                              | nappe du Mont-Gond                              |
| 15308010 | Mont-Mary-Decke                              | nappe du Mont Mary                              |
| 15301135 | Mont-Pèlerin-Schuppe                         | écaille du Mont-Pèlerin                         |
| 15304012 | Monte-Leone-Decke                            | nappe du Monte Leone                            |
| 15304085 | Monte-Rosa-Decke                             | nappe du Mont Rose                              |
| 15303107 | Montsalvens-Schuppe                          | écaille de Montsalvens                          |
| 15303015 | Morcles-Decke                                | nappe de Morcles                                |
| 15304030 | Moûtiers-Schuppe                             | écaille de Moûtiers                             |
| 15305036 | Murtiröl-Schuppe                             | écaille du Murtiröl                             |
| 15303039 | Mürtschen-Decke                              | nappe du Mürtschen                              |
| 15304047 | Muttler-Decke                                | nappe du Muttler                                |
| 15304155 | Mythen-Roggenegg-Schuppe                     | Mythen-Roggenegg-Schuppe                        |
| 15303098 | Niederhorn-Pilatus-Schuppe                   | Niederhorn-Pilatus-Schuppe                      |
| 15304027 | Niesen-Decke                                 | nappe du Niesen                                 |
| 15307005 | Novate-Intrusion                             | Novate-Intrusion                                |
| 15308013 | Obere Einheit der Mont-Mary-Decke            | unité supérieure de la nappe du<br>Mont Mary    |
| 15306005 | Obere Orobische Decke                        | Obere Orobische Decke                           |
| 15304156 | Obere Rotenflue-Schuppe                      | écaille de l'Obere Rotenflue                    |
| 15304081 | Obere Stalden-Decke                          | nappe de Stalden supérieure                     |
| 15304142 | Obere Vals-Schuppen                          | écaillles de Vals supérieures                   |
| 15303028 | Oberhelvetikum                               | Helvétique supérieur                            |
| 15305002 | Oberostalpin                                 | Oberostalpin                                    |
| 15304091 | Oberpenninikum                               | Pennique supérieur                              |
| 15302045 | Oberrhein-Graben                             | fossé du Haut-Rhin                              |
| 15305054 | Ochsenkopf-Schuppe                           | écaille de l'Ochsenkopf                         |
| 15304122 | Ochsenweid-Decke                             | nappe de l'Ochsenweid                           |

| GeolCode | Deutsch   | Français  |
|----------|---|---|
| 15303143 | Orglen-Schuppen<br>(Aar-Massiv-Anteil)                      | écailles de l'Orglen (partie massif<br>de l'Aar)            |
| 15303148 | Orglen-Schuppen (Sardona-Anteil)                            | écailles de l'Orglen (partie Sardona)                       |
| 15304119 | Orselina-Bellinzona-Zone                                    | zone d'Orselina-Bellinzona                                  |
| 15305018 | Ortler-Decke  | Ortler-Decke  |
| 15305001 | Ostalpin  | Ostalpin  |
| 15305013 | Ötztal-Decke  | Ötztal-Decke  |
| 15304014 | Penninikum  | Pennique  |
| 15307003 | Periadriatische Provinz                                     | Province périadriatique                                     |
| 15307008 | Periadriatische Vulkanite entlang<br>der Insubrischen Linie | Periadriatische Vulkanite entlang<br>der Insubrischen Linie |
| 15304033 | Petit-St-Bernard-Schuppe                                    | écaille du Petit St-Bernard                                 |
| 15304032 | Pierre-Avoi-Schuppe   | écaille de la Pierre Avoi                                   |
| 15303103 | Piora-Peiden-Schuppenkomplex                                | Piora-Peiden-Schuppenkomplex                                |
| 15303111 | Piz-d'Artgas-Decke  | nappe du Piz d'Artgas                                       |
| 15304005 | Piz-Terri-Lunschania-Decke                                  | nappe du Piz-Terri-Lunschania                               |
| 15303137 | Pizalun-Schuppe   | écaille du Pizalun  |
| 15304013 | Pizzo-del-Vallone-Decke                                     | nappe du Pizzo del Vallone                                  |
| 15303072 | Plaine-Morte-Decke  | nappe de la Plaine Morte                                    |
| 15303019 | Plammis-Decke   | nappe de Plammis  |
| 15301026 | Plateaus  | Plateaux  |
| 15304099 | Platta-Decke  | nappe du Platta   |
| 15306007 | Po-Becken   | bassin du Pô  |
| 15308029 | Pontey-Schuppe  | écaille de Pontey   |
| 15304126 | Portjengrat-Decke   | nappe du Portjengrat  |
| 15304058 | Préalpes médianes plastiques                                | Préalpes médianes plastiques                                |
| 15304059 | Préalpes médianes rigides                                   | Préalpes médianes rigides                                   |
| 15305015 | Quattervals-Decke   | Quattervals-Decke   |
| 15301147 | Ralligen-Schuppenzone                                       | zone d'écailles de Ralligen                                 |
| 15304046 | Ramosch-Zone  | zone de Ramosch   |
| 15301118 | Rigi-Rossberg-Schuppe                                       | écaille du Rigi-Rossberg                                    |
| 15305070 | Roggenstock-Mördergruebi-Decke                              | nappe du<br>Roggenstock-Mördergruebi                        |
| 15304031 | Roignais-Versoyen-Schuppe                                   | écaille du Roignais-Versoyen                                |
| 15308011 | Roisan-Cignana-Scherzone                                    | zone de cisaillement de<br>Roisan-Cignana                   |
| 15303029 | Roselette-Decke   | nappe de Roselette  |
| 15304152 | Rosswald-Schuppe  | écaille de Rosswald   |
| 15305024 | Rothorn-Decke   | Rothorn-Decke   |
| 15303125 | Rotstock-Schuppe  | écaille du Rotstock   |
| 15304045 | Roz-Champatsch-Melange                                      | Mélange de Roz-Campatsch                                    |
| 15304125 | Ruginenta-Decke   | nappe de Ruginenta  |
| 15304080 | Ruitor-Decke  | nappe du Ruitor   |
| 15305012 | S-chanf-Schuppen  | écailles de S-chanf   |
| 15305016 | S-charl-Sesvenna-Decke                                      | nappe de S-charl-Sesvenna                                   |
| 15304108 | Saane-Decke   | nappe de la Sarine  |
| 15308001 | Salassikum  | Salassique  |
| 15308002 | Salassikum Sub-Domäne<br>undifferenziert                    | sous-domaine indifférencié du<br>Salassique                 |
| 15304088 | Sambuco-Decke   | nappe du Sambuco  |
| 15304109 | San-Giorgio-Schuppe   | écaille de San Giorgio                                      |
| 15303045 | Säntis-Decke  | nappe du Säntis   |
| 15303069 | Sardona-Decke   | nappe du Sardona  |
| 15304150 | Sasseneire-Decke  | nappe du Sasseneire   |

| GeolCode | Deutsch                                 | Français                                     |
|----------|---|--|
| 15303135 | Schabell-Melange                        | Schabell-Melange                             |
| 15303132 | Schächentaler<br>Windgällen-Schuppen    | écailles des Schächentaler<br>Windgällen     |
| 15305057 | Schafträger-Decke                       | nappe du Schafträger                         |
| 15304069 | Schams-Deckenkomplex                    | complexe de nappes du Schams                 |
| 15301130 | Schangnau-Schuppe                       | écaille de Schangnau                         |
| 15305051 | Schesaplana-Schuppe                     | écaille de Schesaplana                       |
| 15305048 | Schiahorn-Decke                         | nappe du Schiahorn                           |
| 15304105 | Schlieren-Decke                         | nappe des Schlieren                          |
| 15301122 | Schorhüttenberg-Schuppe                 | écaille du Schorhüttenberg                   |
| 15303078 | Scopi-Decke                             | nappe du Scopi                               |
| 15301144 | Seftigswand-Schuppe                     | écaille de Seftigswand                       |
| 15308023 | Sella-Decke                             | nappe de la Sella                            |
| 15308017 | Sesia-Decke                             | nappe de Sesia                               |
| 15303073 | Sex-Mort-Decke                          | nappe du Sex Mort                            |
| 15303085 | Silberen-Schuppen                       | écailles du Silberen                         |
| 15305009 | Silvretta-Decke                         | Silvretta-Decke                              |
| 15304008 | Simano-Decke                            | nappe du Simano                              |
| 15308024 | Simmen-Decke                            | nappe de la Simme                            |
| 15304028 | Sion-Courmayeur-Decke                   | nappe de Sion-Courmayeur                     |
| 15304083 | Siviez-Mischabel-Decke                  | nappe de Siviez-Mischabel                    |
| 15304115 | Soazza-Schuppe                          | écaille de Soazza                            |
| 15304004 | Soja-Decke                              | nappe du Soi                                 |
| 15303154 | Sörenberg-Melange                       | Mélange de Sörenberg                         |
| 15301121 | Speer-Stockberg-Schuppe                 | écaille du Speer-Stockberg                   |
| 15301119 | St.-Jost-Schuppe                        | écaille de St-Jost                           |
| 15304157 | Stäglerenegg-Brünnelistock-<br>Schuppen | écailles de la<br>Stäglerenegg-Brünnelistock |
| 15305027 | Stammerspitz-Schuppe                    | écaille du Stammerspitz                      |
| 15301145 | Steffisburg-Schuppe                     | écaille de Steffisburg                       |
| 15303142 | Stelli-Schuppe                          | écaille du Stelli                            |
| 15303123 | Stichplatten-Schuppe                    | écaille des Stichplatten                     |
| 15304127 | Stockhorn-Decke                         | nappe du Stockhorn                           |
| 15306003 | Strona-Ceneri-Zone                      | Strona-Ceneri-Zone                           |
| 15303059 | Subalpine Flysch-Zone                   | zone du Flysch subalpin                      |
| 15301116 | Subalpine Molasse                       | Molasse subalpine                            |
| 15301143 | Subalpiner Schuppenkomplex              | complexe des écailles subalpines             |
| 15303034 | Sublage-Decke                           | nappe du Sublage                             |
| 15306001 | Südalpin                                | Südalpin                                     |
| 15306009 | Südalpin Sub-Domäne<br>undifferenziert  | sous-domaine indifférencié du<br>Sudalpin    |
| 15302043 | Süddeutsche Tafel                       | plateau d'Allemagne méridionale              |
| 15303153 | Südelbach-Zone                          | zone du Südelbach                            |
| 15304067 | Sulzfluh-Decke                          | nappe de la Sulzfluh                         |
| 15304090 | Suretta-Decke                           | nappe de Suretta                             |
| 15304089 | Tambo-Decke                             | nappe du Tambo                               |
| 15304068 | Tasna-Decke                             | nappe du Tasna                               |
| 15303057 | Tavetsch-Decke                          | nappe du Tavetsch                            |
| 15304112 | Terri-Schuppe                           | écaille du Terri                             |
| 15305047 | Terza-Schuppe                           | écaille du Piz Terza                         |
| 15304041 | Tomül-Decke                             | nappe du Tomül                               |
| 15305022 | Tonale-Decke                            | nappe du Tonale                              |
| 15303097 | Toralp-Schuppe                          | Toralp-Schuppe                               |
| 15304149 | Totalp-Ophiolithkomplex                 | complexe ophiolithique de la Totalp          |

| GeolCode | Deutsch                            | Français                                  |
|----------|------------------------------------|---|
| 15304114 | Trescolmen-Schuppe                 | écaille de Trescolmen                     |
| 15304136 | Triesenberg-Schuppenkomplex        | zone d'écailles du Triesenberg            |
| 15303114 | Trun-Punteglias-Teilmassiv         | Trun-Punteglias-Teilmassiv                |
| 15304094 | Tsaté-Decke                        | nappe du Tsaté                            |
| 15303021 | Tschep-Schuppe                     | nappe du Tschep                           |
| 15304072 | Tschera-Kalkberg-Decke             | nappe du Tscherra-Kalkberg                |
| 15304137 | Tschingel-Schuppe                  | écaille du Tschingel                      |
| 15303136 | Tschingelhörner-Schuppe            | Tschingelhörner-Schuppe                   |
| 15305026 | Tschirpen-Decke                    | Tschirpen-Decke                           |
| 15303110 | Tulle-Melange                      | Mélange de la Tulle                       |
| 15303048 | Ultrahelvetikum                    | Ultrahelvétique                           |
| 15305082 | Umbrail-Chavalatsch-Schuppen       | écailles de l'Umbrail-Chavalatsch         |
| 15305014 | Umbrail-Terza-Schuppenkomplex      | complexe d'écailles de l'Umbrail-Terza    |
| 15308012 | Untere Einheit der Mont-Mary-Decke | unité inférieure de la nappe du Mont Mary |
| 15306006 | Untere Orobische Decke             | Untere Orobische Decke                    |
| 15304054 | Untere Stalden-Schuppe             | écaille de Stalden inférieure             |
| 15304141 | Untere Vals-Schuppen               | écailles de Vals inférieures              |
| 15303001 | Unterhelvetikum                    | Helvétique inférieur                      |
| 15305023 | Unterostalpin                      | Unterostalpin                             |
| 15304015 | Unterpenninikum                    | Pennique inférieur                        |
| 15304044 | Üntschen-Decke                     | nappe de l'Üntschen                       |
| 15304135 | Val-Gronda-Schuppe                 | écaille du Val Gronda                     |
| 15308016 | Valpelline-Einheit                 | unité de la Valpelline                    |
| 15304035 | Vals-Schuppenkomplex               | complexe d'écailles de Vals               |
| 15301138 | Vaulruz-Schuppe                    | écaille de Vaulruz                        |
| 15304009 | Verampio-Decke                     | nappe de Verampio                         |
| 15301136 | Vevey-Evian-Schuppe                | écaille de Vevey-Evian                    |
| 15301141 | Villarvolard-Schuppe               | écaille de Villarvolard                   |
| 15304053 | Visperterminen-Schuppe             | écaille de Visperterminen                 |
| 15304104 | Voirons-Decke                      | nappe des Voirons                         |
| 15308031 | Vollon-Schuppe                     | écaille de Vollon                         |
| 15301031 | Vorfaltenzone                      | Vorfaltenzone                             |
| 15301030 | Vorlandplateau                     | Plateau de l'Avant-pays                   |
| 15303037 | Wageten-Schuppe                    | écaille de la Wageten                     |
| 15304106 | Wägital-Decke                      | nappe du Wägital                          |
| 15304146 | Weissfluh-Scholle                  | écaille de la Weissfluh                   |
| 15303063 | Wildhaus-Melange                   | Mélange de Wildhaus                       |
| 15303031 | Wildhorn-Deckenkomplex             | complexe de nappes du Wildhorn            |
| 15303042 | Wissberg-Schuppe                   | écaille du Wissberg                       |
| 15303134 | Wissenwand-Schuppe                 | écaille de la Wissenwand                  |
| 15301146 | Wolfsegg-Schuppe                   | écaille de la Wolfsegg                    |
| 15304093 | Zermatt-Saas-Fee-Decke             | nappe de Zermatt-Saas-Fee                 |
| 15304116 | Zervreila-Schuppe                  | écaille de Zervreila                      |
| 15304050 | Zone Houillère                     | zone Houillère                            |
| 15304051 | Zone Houillère externe             | zone Houillère externe                    |
| 15304052 | Zone Houillère interne             | zone Houillère interne                    |
| 15304048 | Zone Submédiane                    | zone Submédiane                           |
| 999997   | Unknown                            | inconnu                                   |
| 999998   | Not applicable                     | not applicable                            |

## 15 Annexe GC\_MINERAL\_CD

Minéral important de la roche métamorphique

| GeolCode | Deutsch         | Français           |
|----------|-----------------|--------------------|
| 20401056 | Adular          | adulaire           |
| 20401057 | Aegirin         | aegirine           |
| 20401058 | Aegirin-Augit   | aegirine-augite    |
| 20401001 | Aktinolith      | actinote           |
| 20401002 | Albit           | albite             |
| 20401024 | Alkalifeldspat  | feldspath alcalin  |
| 20401003 | Allanit         | allanite           |
| 20401004 | Almandin        | almandin           |
| 20401050 | Alumosilikat    | silicate d'alumine |
| 20401005 | Amphibol        | amphibole          |
| 20401006 | Andalusit       | andalousite        |
| 20401059 | Andesin         | andésine           |
| 20401060 | Anhydrit        | anhydrite          |
| 20401007 | Ankerit         | ankérite           |
| 20401061 | Annit           | annite             |
| 20401008 | Anorthit        | anorthite          |
| 20401009 | Antigorit       | antigorite         |
| 20401062 | Aragonit        | aragonite          |
| 20401063 | Augit           | augite             |
| 20401010 | Biotit          | biotite            |
| 20401014 | Chlorit         | chlorite           |
| 20401015 | Chloritoid      | chloritoïde        |
| 20401064 | Chrysotil       | chrysotile         |
| 20401017 | Coesit          | coésite            |
| 20401018 | Cordierit       | cordiérite         |
| 20401019 | Diopsid         | diopside           |
| 20401020 | Disthen         | disthène           |
| 20401021 | Dolomit         | dolomite           |
| 20401082 | Enstatit        | enstatite          |
| 20401022 | Epidot          | épidote            |
| 20401081 | Fayalit         | fayalite           |
| 20401023 | Feldspat        | feldspath          |
| 20401080 | Forsterit       | forstérite         |
| 20401085 | Fuchsit         | fuchsite           |
| 20401026 | Glaukophan      | glaucophane        |
| 20401032 | Glimmer         | mica               |
| 20401028 | Granat          | grenat             |
| 20401027 | Graphit         | graphite           |
| 20401065 | Grossular       | grossulaire        |
| 20401033 | Hellglimmer     | mica blanc         |
| 20401029 | Hornblende      | hornblende         |
| 20401066 | Jadeit          | jadéite            |
| 20401011 | Kalzit          | calcite            |
| 20401012 | Karbonatmineral | carbonate          |
| 20401013 | Karpholith      | carpholite         |
| 20401070 | Klinopyroxen    | clinopyroxène      |
| 20401016 | Klinozoisit     | clinozoïsite       |
| 20401030 | Lawsonit        | lawsonite          |
| 20401031 | Magnetit        | magnétite          |
| 20401067 | Margarit        | margarite          |

| GeolCode | Deutsch        | Français       |
|----------|----------------|----------------|
| 20401034 | Mikroklin      | microcline     |
| 20401035 | Muskovit       | muscovite      |
| 20401068 | Oligoklas      | oligoclase     |
| 20401036 | Olivin         | olivine        |
| 20401037 | Omphazit       | omphacite      |
| 20401038 | Orthoklas      | orthose        |
| 20401069 | Orthopyroxen   | orthopyroxène  |
| 20401039 | Paragonit      | paragonite     |
| 20401071 | Phengit        | phengite       |
| 20401040 | Phlogopit      | phlogopite     |
| 20401041 | Plagioklas     | plagioclase    |
| 20401042 | Prehnit        | préhnite       |
| 20401072 | Pumpellyit     | pumpellyite    |
| 20401043 | Pyrit          | pyrite         |
| 20401044 | Pyrop          | pyrope         |
| 20401045 | Pyrophyllit    | pyrophyllite   |
| 20401046 | Pyroxen        | pyroxène       |
| 20401047 | Quarz          | quartz         |
| 20401073 | Sanidin        | sanidine       |
| 20401074 | Sapphirin      | sapphirine     |
| 20401084 | Serizit        | séricite       |
| 20401049 | Serpentin      | serpentine     |
| 20401051 | Sillimanit     | sillimanite    |
| 20401075 | Spessartin     | spessartine    |
| 20401076 | Spinell        | spinelle       |
| 20401052 | Staurolith     | staurotide     |
| 20401053 | Stilpnomelan   | stilpnomélane  |
| 20401054 | Talk           | talc           |
| 20401077 | Titanit        | titanite       |
| 20401078 | Tremolit       | trémolite      |
| 20401079 | Turmalin       | tourmaline     |
| 20401083 | Zeolith        | zéolithe       |
| 20401055 | Zoisit         | zoisite        |
| 999997   | Unknown        | inconnu        |
| 999998   | Not applicable | not applicable |

## 16 Annexe GC\_ADMIXTURE

### Incorporation

| GeolCode | Deutsch                           | Français                           |
|----------|-----------------------------------|------------------------------------|
| 14509001 | mit Löss                          | avec loess                         |
| 14509002 | mit Lösslehm                      | avec loess argileux                |
| 14509003 | mit Seekreide                     | avec craie lacustre                |
| 14509004 | mit Blöcken                       | avec blocs                         |
| 14509005 | mit alpinen Geröllen              | avec galets alpins                 |
| 14509006 | mit Block- und Geschiebestreu     | parsemé de blocs                   |
| 14509007 | mit Blockschutt vermischt         | mélangé à des dépôts d'éboulement  |
| 14509008 | mit Hangschutt vermischt          | mélangé à des éboulis              |
| 14509009 | mit Verwitterungsschutt vermischt | mélangé à des résidus d'altération |
| 14509010 | mit Torf                          | avec tourbe                        |

| GeolCode | Deutsch                                | Français                                   |
|----------|--|--|
| 14509011 | mit jurassischen Geröllen              | avec galets jurassiens                     |
| 14509012 | mit Geröllen aus Vogesen / Schwarzwald | avec galets des Vosges / de la Forêt Noire |
| 14509013 | mit Schieferkohle                      | mit Schieferkohle                          |

## 17 Annexe GC\_COMPOSIT

Composition de la roche meuble

| GeolCode | Deutsch     | Français        |
|----------|-------------|-----------------|
| 14508001 | tonig       | argileux        |
| 14508002 | lehmig      | limoneux        |
| 14508003 | siltig      | silteux         |
| 14508004 | sandig      | sableux         |
| 14508005 | kiesig      | graveleux       |
| 14508006 | geröllreich | riche en galets |
| 14508007 | torfig      | tourbeux        |

## 18 Annexe GC\_CHARCAT

Structure sédimentaire

| GeolCode | Deutsch                                   | Français                                     |
|----------|---|--|
| 14511001 | fossil                                    | fossile                                      |
| 14511002 | rezent                                    | récent                                       |
| 14511003 | verwittert                                | altéré                                       |
| 14511004 | verfestigt (durch Überlast), konsolidiert | consolidé (par surcharge)                    |
| 14511005 | verkittet (zementiert)                    | cimenté                                      |
| 14511006 | verschwemmt                               | délavé                                       |
| 14511007 | sumpfig                                   | marécageux                                   |
| 14511008 | umgelagert                                | remanié                                      |
| 14511009 | abgebaut                                  | exploité                                     |
| 14511010 | drainiert                                 | drainé                                       |
| 14511011 | künstlich bewässert (Wässermatten)        | inondé artificiellement (prairies irriguées) |

## 19 Annexe GC\_SYSTEM

Groupe de fossile

| GeolCode | Deutsch | Français |
|----------|---------|----------|
|----------|---------|----------|